

玉名市文化財調査報告 第29集

川原遺跡・紺町遺跡

－玉名市新庁舎建設事業に伴う発掘調査報告書－

2014

玉名市教育委員会

序

玉名市は古くから菊池川の恩恵を受けた地域で、市内各所に豊富な文化財が所在しています。貝塚、支石墓、装飾古墳、玉名郡衙跡、海外貿易港の伊倉・高瀬津、干拓施設群など熊本県の歴史を知る上で重要な文化財であり、歴史的財産の豊富なことが本市の特徴です。

近年は九州新幹線の開通に伴い県北の政治経済、教育文化、観光の中心都市として発展を遂げようとしています。

本文にあるように、「川原遺跡・紺町遺跡」は玉名市新庁舎建設事業に伴い発掘調査を行ったものです。調査の結果、中世期の水田・畦・溝・杭列が検出され、玉名平野での農地開発の歴史を知る資料が検出されました。また、水田として利用する以前は海水の流入する地域であったことを知ることができました。

本調査報告書が埋蔵文化財の保護に対する認識と理解を深め、子供たちが郷土の歴史を知る一助となれば幸いです。

最後に、発掘調査を実施するにあたり関係者をはじめ地域の方々からの御指導・御協力を賜りましたことに対し、ここに厚く御礼申し上げます。

平成26年2月28日

玉名市教育長 森 義 臣

例　　言

1. 本書は、熊本県玉名市大字岩崎字川原及び字紺町に所在する川原遺跡と紺町遺跡の発掘調査報告書である。検出した水田関連遺構は2遺跡にまたがっているが遺構の特質上、報告を1本化した。
2. この発掘調査は玉名市新庁舎建設事業に伴い、記録保存を目的として実施した。
3. 確認調査は平成20年3月4日～平成20年3月31日までと平成20年4月21日～平成20年5月7日の期間に玉名市教育委員会文化課兵谷有利、大倉千寿が担当した。
4. 発掘調査は平成24年12月3日～平成25年3月29日までの期間に玉名市教育委員会文化課兵谷が行った。
5. 発掘調査における遺構実測、遺物取上は兵谷、古賀武子、堀田祐子、岐部みかが行い、写真撮影は兵谷が行った。
6. 発掘調査における自然科学分析はパリノサーヴェイ株式会社、航空写真撮影は株式会社九州航空に業務委託した。
7. 整理・報告書作成作業は平成25年4月8日～平成25年9月30日までの期間で行った。
8. 遺物の実測、トレース作業等は兵谷、古賀、堀田、岐部が行った。
9. 遺物の写真撮影は兵谷が行った。
10. 方位及び座標は、国土地理院「平面直角座標系II系」による。標高値は海拔高である。埋蔵文化財発掘調査は日本測地系によっているため、これに準じている。
11. 本書で用いた土壤・胎土色調名は農林水産省農林水産技術会議事務局監修「新版標準土色帳」に基づく。
12. 本書の編集・執筆は、兵谷が担当した。

序

例言

本文目次

第I章 調査の概要

第1節 調査に至る経緯	1
第2節 調査の組織	2

第II章 遺跡の環境

第1節 地理的環境	3
第2節 歴史的環境	4

第III章 確認調査

第1節 確認調査の成果	
1. 確認調査の経緯及び方法	8
2. 確認調査の成果	
(1) 各トレンチの概要	9
(2) まとめ	14

第IV章 本調査

第1節 調査の方法	
1. 調査方法	31
第2節 遺構	
1. 水田1面	
(1) 水田	35
(2) 畦状遺構	38
2. 水田2面	
(1) 水田	46
(2) 畦状遺構	49
(3) 溝状遺構	53
(4) 杭列	58
第3節 遺物	
1. 遺物	65

第V章 自然科学分析

第1節 自然科学分析調査 (その1)	(パリノ・サーヴェイ株式会社)	94
第2節 自然科学分析調査 (その2)	(パリノ・サーヴェイ株式会社)	104
第3節 出土杭列の年代と樹種調査	(パリノ・サーヴェイ株式会社)	116

第VI章 まとめ

写真図版

報告書抄録

挿図目次

番号	名称	スケール	ページ
第1図	川原遺跡・紺町遺跡位置図	—	5
第2図	周辺主要遺跡分布図	1:50000	7
第3図	確認調査トレンチ配置図	1:2000	10
第4図	確認調査トレンチ土層断面図(1) T1・2	1:40	15
第5図	確認調査トレンチ土層断面図(2) T3	1:40	16
第6図	確認調査トレンチ土層断面図(3) T4~6	1:40	17
第7図	確認調査トレンチ土層断面図(4) T7	1:40	18
第8図	確認調査トレンチ土層断面図(5) T8	1:40	19
第9図	確認調査トレンチ土層断面図(6) T9	1:40	20
第10図	確認調査トレンチ土層断面図(7) T9	1:40	21
第11図	確認調査トレンチ土層断面図(8) T9	1:40	22
第12図	確認調査トレンチ土層断面図(9) T10・11	1:40	23
第13図	確認調査トレンチ土層断面図(10) T12~14	1:40	24
第14図	確認調査トレンチ土層断面図(11) T15	1:40	25
第15図	確認調査トレンチ土層断面図(12) T16	1:40	26
第16図	確認調査トレンチ土層断面図(13) T17~19	1:40	27
第17図	確認調査トレンチ土層断面図(14) T20~22	1:40	28
第18図	確認調査トレンチ土層断面図(15) T23~26	1:40	29
第19図	調査区内遺跡範囲・土層断面位置図	1:200	30
第20図	調査区内土層断面図(1) 南北方向	1:40	32
第21図	調査区内土層断面図(2) B区内東西方向	1:40	33
第22図	調査区内土層断面図(3) 東西方向	1:40	34
第23図	遺構配置図(水田1)	1:200	36
第24図	水田床面高低図(水田1)	1:200	37
第25図	断面位置図(水田1)	1:200	39
第26図	畦状遺構断面図(1) S-6	1:20	41
第27図	畦状遺構断面図(2) S-7~11	1:20	43
第28図	遺構配置図(水田2)	1:200	47
第29図	水田床面高低図(水田2)	1:200	48
第30図	断面位置図(水田2)	1:200	50
第31図	畦状遺構断面図(1) S-18~20	1:20	52
第32図	畦状遺構断面図(2) S-22	1:20(1:40)	54
第33図	畦状遺構断面図(3) S-23~28	1:20	55
第34図	溝状遺構(大) S-27	1:200	57
第35図	杭列配置図	1:200	59
第36図	杭列実測図(1) 列1・2	1:20	61
第37図	杭列実測図(2) 列3・4	1:20	62
第38図	杭列実測図(3) 列5・6・7	1:20(1:30)	63
第39図	杭列実測図(4) 列8・9・10・11	1:20	64
第40図	出土遺物実測図(1) 1~7	1:2	67
第41図	出土遺物実測図(2) 8~14	1:2(1:3)	68
第42図	出土遺物実測図(3) 15~26	1:2	69
第43図	出土遺物実測図(4) 27~36	1:2	70
第44図	出土遺物実測図(5) 37~42	1:2	71
第45図	出土遺物実測図(6) 43~48	1:2	72
第46図	出土遺物実測図(7) 49~51	1:2	73
第47図	杭実測図(1) 1・2	1:4	77
第48図	杭実測図(2) 3・4・5	1:4	78

番号	名称	スケール	ページ
第49図	杭実測図(3) 6・7	1:4(1:6)	79
第50図	杭実測図(4) 8・9	1:4(1:6)	80
第51図	杭実測図(5) 10・11	1:4	81
第52図	杭実測図(6) 12・13	1:4	82
第53図	杭実測図(7) 14・15・16	1:4	83
第54図	杭実測図(8) 17・18	1:4	84
第55図	杭実測図(9) 19・20	1:4	85
第56図	杭実測図(10) 21・22	1:4	86
第57図	杭実測図(11) 23・24	1:4	87
第58図	杭実測図(12) 25・26	1:4	88
第59図	杭実測図(13) 27・28	1:4	89
第60図	杭実測図(14) 29・30	1:4	90
第61図	杭実測図(15) 31・32	1:4(1:6)	91
第62図	杭実測図(16) 33・34・35	1:4	92
第63図	肥後国(元禄国絵図)トレイス版	—	123
第64図	玉名郡絵図トレイス版	—	123

表目次

番号	名称	ページ
第1図	周辺主要遺跡名	7
第2図	出土遺物観察表	74
第3図	主要木製品観察表	93

写真目次

番号	名称	ページ
図版 1	1 菊池川右岸の玉名平野	124
図版 2	1 遺跡遠景(上空より)	125
図版 3	1 遺跡全景(上空より)	126
図版 4	1 確認調査第1トレーニング 北壁土層 2 確認調査第2トレーニング 全景 3 確認調査第2トレーニング 北壁土層 4 確認調査第3トレーニング 北壁土層 5 確認調査第4トレーニング 東壁土層 6 確認調査第5トレーニング 東壁土層 7 確認調査第6トレーニング 北壁土層 8 確認調査第7トレーニング 東壁土層	127
図版 5	1 確認調査第7トレーニング 作業風景 2 確認調査第8トレーニング 北壁土層 3 確認調査第8トレーニング 東端 北壁土層 4 確認調査第9トレーニング 東壁土層 5 確認調査第10トレーニング 東壁土層 6 確認調査第11トレーニング 東壁土層 7 確認調査第12トレーニング 北壁土層 8 確認調査第13トレーニング 杭検出状況	128

番号	名称	ページ
図版 6	1 確認調査第14トレンチ 北壁土層	129
	2 確認調査第15トレンチ 北壁土層	
	3 確認調査第16トレンチ 北壁土層	
	4 確認調査第16トレンチ 作業風景	
	5 確認調査第17トレンチ 東壁土層	
	6 確認調査第18トレンチ 全景	
	7 確認調査第18トレンチ 北壁土層	
	8 確認調査第19トレンチ 東壁土層	
図版 7	1 確認調査第20トレンチ 東壁土層	130
	2 確認調査第21トレンチ 北壁土層	
	3 確認調査第21トレンチ 作業風景	
	4 確認調査第22トレンチ 東壁土層	
	5 確認調査第23トレンチ 東壁土層	
	6 確認調査第24トレンチ 東壁土層	
	7 確認調査第25トレンチ 東壁土層	
	8 確認調査第26トレンチ 東壁土層	
図版 8	1 水田1 (A区 北から)	131
	2 水田1 (A・B区 西から)	
	3 水田1 (B区 北から)	
図版 9	1 水田1 (C・D区 北から)	132
	2 水田1 (C・D区 東から)	
	3 水田1 (C・D区南端 東から)	
図版10	1 水田2南北ベルト① (A区 西から)	133
	2 水田2南北ベルト② (D区 西から)	
	3 水田2南北ベルト③ (D区 西から)	
図版11	1 水田2東西ベルト (B区内 北から)	134
	2 水田2東西ベルト① (D区 南から)	
	3 水田2東西ベルト② (C区 南から)	
図版12	1 水田2杭列1・3 (D区 北から)	135
	2 水田2杭列1・2・3 (D区 北東から)	
	3 水田2杭列1・2・3 (D区 南西から)	
図版13	1 水田2杭列1・3 (D区 北西から)	136
	2 水田2杭列2 (D区 北西から)	
	3 水田2杭列4 (D区 北から)	
図版14	1 水田2杭列5の一部 (北から)	137
	2 水田2杭列5の一部 (北から)	
	3 水田2杭列6の一部 (北から)	
図版15	1 水田2杭列7の一部 (北から)	138
	2 水田2南北ベルトの畦状隆起	
	3 水田2溝状遺構 (南西より)	
図版16	1 遺物 1~14	139
図版17	1 遺物 15~26	140
図版18	1 遺物 27~36	141
図版19	1 遺物 37~51	142

第Ⅰ章 調査の概要

第1節 調査に至る経緯

本地域は旧玉名平野条里跡として以前から知られていた。昭和40年代の圃場整備により旧地形は殆ど改変している。新庁舎建設予定地に決まった時点から調査の必要性が高いことは分かっていた。

玉名市では1市3町の合併に伴い、平成28年度に新庁舎が建設されることになり、平成19年夏から新庁舎建設準備室と文化課で協議を行った。平成20年2月20日付け玉市政第52号にて玉名市長から新庁舎建設予定地20,199m²と駐車場予定地6,771m²の確認調査依頼が提出されたが、駐車場部分については盛土による造成を行うため調査対象外となった。玉名市教育委員会は確認調査を平成20年3月4日から平成20年5月7日まで実施し、平成20年6月7日付け玉市教文第117号にて玉名市長に確認調査結果報告を行った。

この後、熊本県教育厅文化課と協議を行い、発掘調査範囲を建物基礎部で遺構が集中する部分525m²となった。

市内部で平成20年6月18日に協議を行い、例年調査区前で行われる大俵祭り終了後の平成20年11月25日から本調査を行うこととなる。

しかし、用地買収等の問題により23年度までの期間、本調査を行うことが出来なかつた。

平成24年度に入り、平成28年度の新庁舎完成予定が前倒しとなり、平成26年度末までの完成となつた。平成24年11月20日付け庁舎建設地埋蔵文化財発掘調査委託書が玉名市長から教育長に提出され、同月22日にこれを受託。平成24年12月25日付け玉市教文第331号（川原遺跡）と第332号（紺町遺跡）にて文化財保護法99条第1項に基づき書類を県に提出。平成25年3月29日までの期間で本調査を行つた。

第2節 調査の組織

発掘調査は、下記の体制により実施した。なお、職員の役職は当時のものである。

調査組織

①確認調査

事業主体	玉名市
調査主体	玉名市教育委員会文化課
調査責任	教育長 菊川茂男（平成20年～平成21年度）
調査総括	文化課長 西田道喜（平成20年度） 中山富雄（平成21年度）
庶務担当	文化財係長 安田信孝（平成20年～平成21年度） 主任 清田静香（平成20年度） 主任 永野摩美子（平成21年度）
調査担当	主任 兵谷有利（平成20年～平成21年度） 調査員 大倉千寿（平成20年～平成21年度）

②発掘調査及び報告書作成

事業主体	玉名市
調査主体	玉名市教育委員会文化課
調査責任	教育長 森 義臣（平成24年～平成25年度）
調査総括	文化課長 小山正義（平成24年～平成25年度）
庶務担当	課長補佐兼文化財係長 境 順一（平成25年度） 文化財係長 植原孝信（平成24年度） 主任 西田言道（平成24年度） 主任 伊藤登志也（平成25年度）
調査・報告書担当	参事 兵谷有利（平成24年～25年度）

③発掘調査作業員（50音順）

[確認調査] 尾崎延枝、片山昭義、亀井佳代子、古賀武子、平野輝代、福田まき、馬田洋治、森 辰興、浜口 望

[発掘調査] 荒木康利、北原靖治、岐部みか、古賀武子、小塙勝美、住友須美子、田口一美、中尾弘明、西嶋ヨシエ、野添美恵子、袴田勝志、濱田悦子、林 政治、堀田祐子、宮崎榮子、村上厚生、村上 亘、森 辰興

[報告書作成]

岐部みか、古賀武子、堀田祐子

第II章 遺跡の環境

第1節 地理的環境

熊本県北部に位置する玉名市は、面積約152平方キロメートル、人口約6万9千人の県北を代表する都市である。市域は中央部を北東から南西に流れる菊池川を中心に、北部に小岱山地とその周辺の丘陵及び台地、東部に国見山地や木葉山や金峰山地北麓に続く八嘉、伊倉の台地からなる。南部は有明海、西部は旧境川が形成した段丘と、有明海の形成した浜堤がつづく。

玉名平野は、高瀬と大倉を結ぶ線（現高瀬大橋付近）の上流部に広がる谷底平野と下流部に広がる三角州平野の2つに分けられる。縄文期以前は谷底平野部分は玉杵名湖（淡水湖）であったが、草創期の海退により高瀬と大倉を結ぶ丘陵が決壊し、湖は消滅した。その後、菊池川の流路ができ、玉名平野が形成されていく。

上流部の谷底平野は右岸が玉名牟田、左岸が梅林牟田と呼ばれている。水田地帯の標高にはばらつきがあり、下小田から木葉川沿いで7～7.5m前後、上小田8.5～10m前後、玉名7.5m程度である。土壌は表層部の沖積地層で菊池川の氾濫時の堆積物、砂礫層、砂層、シルト層からなり、その下層には阿蘇火砕流堆積物がある。海成堆積を示す土壌は確認されていない。

下流部の三角州平野は右岸が大野牟田、左岸が小田牟田と呼ばれている。水田地帯の標高は3m前後で周辺の微耕地に集落が点在する。土壌は縄文期の海面上昇時の海成粘土層と菊池川の氾濫時の堆積物で形成されている。上流側では標高3mの低地にまで貝殻片が混じる砂質シルト層があり、過去に汽水域か海域であったことが分かっている。小島橋周辺の川床には現在も大形のカキ殻が多く見られる。

玉名平野は、古くから国主に重用視される地域で、和銅6年（713）に肥後・筑後の兼任国司となった道君首名が律令制下、条里整備のため繁根木川の流路変更を行ったのをはじめ、天正16年（1588）に加藤清正が肥後に入国後、治水事業として菊池川に刎・ワクを造り、流路整備が行われた。また、高瀬津にならぶ伊倉の丹倍津は港としての機能が低下してきたため、木葉川と唐人川を改修し、港下流部を穀倉地帯に整備した。近世・近代には干拓によりさらに耕地化が進み、現在も県北有数の穀倉地帯である。

第2節 歴史的環境

玉名市の中央を流れる菊池川の恩恵を受け、古くからの遺跡が集中する県内でも有数の遺跡密集地帯である。

[旧石器時代]

市内での旧石器時代の発掘調査例はないが、表面採取など踏査の結果、三ッ川古閑遺跡、岱明町西照寺の備中原遺跡、築地の西ノ山遺跡群や西ノ山北遺跡群などで遺物が確認されている。

[縄文時代]

縄文時代当時の海岸線沿いに縄文時代前期から後期にかけての貝塚が分布する。金峰山南裾に尾田貝塚、竹崎貝塚など、小代山から南に伸びる低丘陵の裾には古閑原貝塚、庄司貝塚、尾崎貝塚、菊池川河口付近では繁根木貝塚、保田木貝塚、桃田貝塚が所在する。近年の確認調査では後期後半から晩期にかけての遺跡が伊倉、山田の低丘陵上で調査されている。柳町や両迫間日渡遺跡など河川に沿った低湿地遺跡でも晩期の刻目突帶文土器が出土している。

[弥生時代]

斎藤山貝塚から板付式と袋状鋳造鉄斧が伴出した。中期には各所に甕棺墓地が営まれ、境川右岸の東南大門遺跡で方形周溝墓と数十基の甕棺墓、菊池川左岸の伊倉丘陵性台地には中北遺跡があり黒髮式の甕棺墓群が確認されている。

菊池川と境川の間に所在する高岡原遺跡や菊池川に沿う柳町遺跡では集落遺跡が確認されている。また、両迫間日渡遺跡では水田跡と杭列を伴う畦畔が確認されている。

[古墳時代]

4世紀後半の山下古墳を初め、5世紀代の天水町の大塚古墳、岱明町の院塚古墳には舟形石棺が埋葬されており、菊池川下流域で製作されたと考えられている。この石棺は、畿内周辺の首長墓にも使用されており、大和政権下に畿内と玉名の繋がりを示している。6世紀になると装飾古墳が出現し、6世紀前半の大坊古墳、馬出古墳、6世紀後半の永安寺東・西古墳がある。また6世紀末には横穴墓群が多く営まれ、飾縁に彩色文様を施し剣や舟などを浮き彫りにした装飾をもつ石貫ナギノ横穴群や奥壁に觀音像を浮き彫りにし、天井部に建物の軒先を表現した石貫穴觀音横穴がある。集落遺跡は多量の木製品を出土し、木製短甲と文字が記入された留め具が出土したことでも有名な柳町遺跡がある。

[古代]

大宝律令（701年）の完成により国・郡・里が設けられ国司・郡司・里長がおかれて、玉名郡の郡司は日置氏であった。小代山麓の立願寺周辺に郡衙関連施設が集中しており、郡家、郡倉、郡衙道、大湊、日置氏の氏寺で自鳳期から奈良時代までの瓦を出土する立願寺廃寺の発掘調査が行われている。

当時、筑後と肥後の兼任国司であった道君首名が繁根木川の掘り換えを行い玉名牟田を乾



第1図 川原遺跡・紺町遺跡位置図

田化したと云われており、条里制の整備が行われたのであろう。玉名に残る条里は、玉名牟田、梅林牟田、小田牟田に条里制の痕跡があるが小田牟田は補助整備により条里の面影を留めていない。

[中世]

10世紀には律令制が崩壊し、10世紀中頃から11世紀中頃にかけて私的土地位所有が元になる庄園制が始まる。菊池川下流域では左岸の宇佐八幡宮領伊倉別府、東隣に大宰府天満宮安樂寺領玉名庄、また、右岸には筥崎宮領大野別府、東隣りに仁和寺領玉名庄が判明している。

14世紀後半、菊池武尚の子である武国が高瀬氏を称することになり、高瀬武権が高瀬に保田木城（別名高瀬城）を造った。武国が高瀬の代官になることで大野氏の力を抑え、海上交通・貿易の拠点であった高瀬の津と菊池川河口から上流域の舟運を確保した。また、政治的軍事的活動の拠点ともなった。保田木城周辺の高瀬本町通り遺跡内で昭和30年代に下水工事が行われた際、地下約4mで貝類、磁器片、宋錢、漆器などが出土している。近年、菊池川に架かる高瀬鉄橋より下流部の川底から明初頭の青磁片や割花文などの陶磁器片が大量に採集されている。

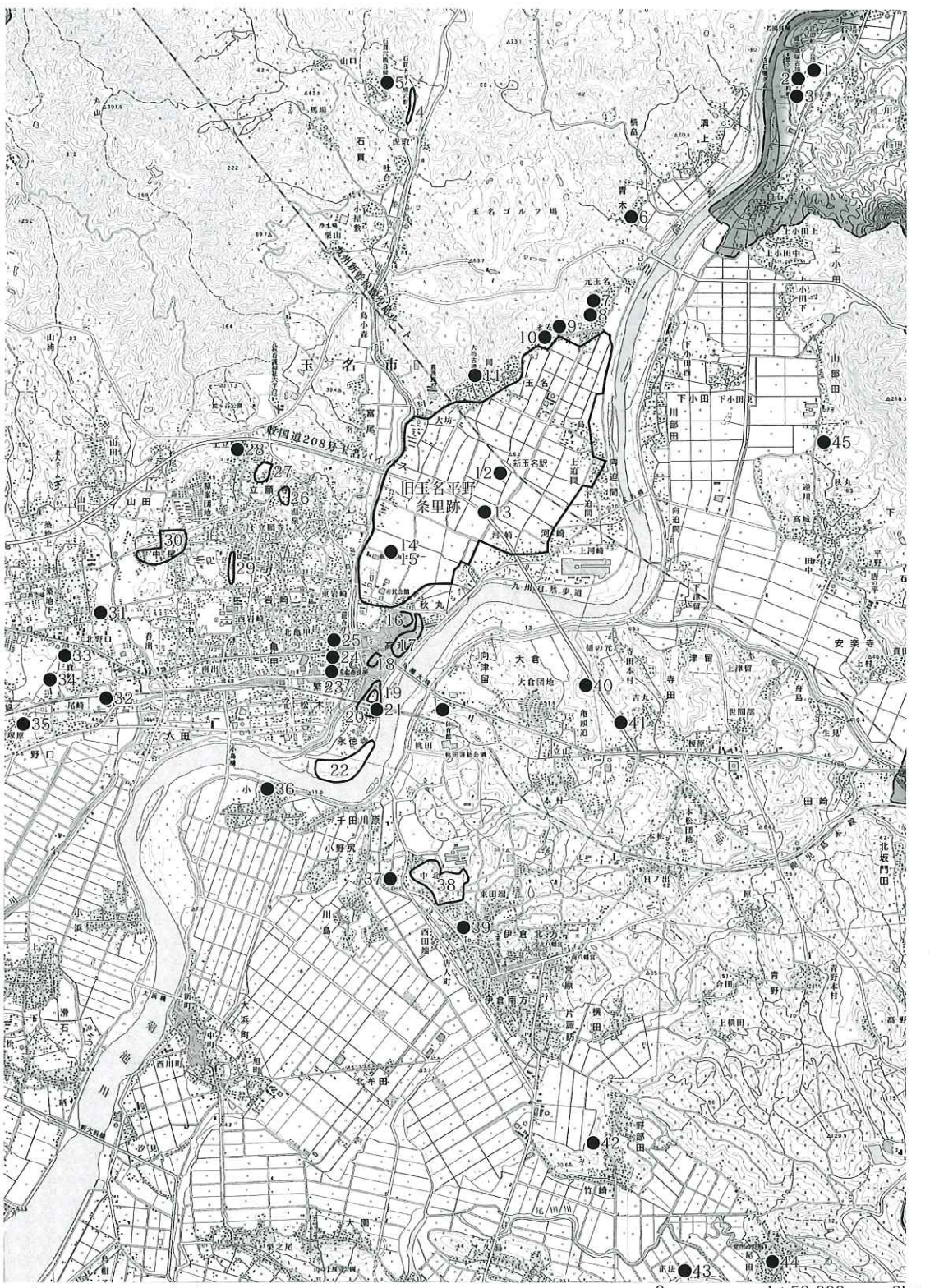
戦国期には大友、島津、龍造寺の侵攻を受け、大友氏統治のときには国崩大砲が高瀬の津から陸揚げされた。

[近世・近代]

天正15年に肥後一国の領主となった佐々成政は国衆一揆で失脚したあと、天正16年に加藤清正が秀吉直轄地の代官として入国する。秀吉の直轄地は中世以来の貿易港として高瀬津と伊倉の丹倍津を中心とする一帯であり、秀吉の兵站供給拠点であり海外貿易港を直接把握するためでもあった。入国後は高瀬御倉、御茶屋の建設を行った。

慶長5年の関ヶ原の役で東軍に組した清正は肥後54万石の大名になり、肥後領内の灌漑設備や治水事業を行い多くの新地を開発した。この後に領主となった細川氏も干拓などで新地を増やし藩内最高の25万俵を取り扱うため御倉を増設した。

明治10年の西南の役では、高瀬の町も戦火により高瀬御倉、御茶屋、宝成就寺などが焼け落ちた。



第1表 周辺主要遺跡名

1 江田船山古墳	2 虚空藏塚古墳	3 塚坊主古墳	4 石貫ナギノ横穴群	5 石貫穴觀音横穴	6 青木磨崖梵字群
7 小路古墳	8 馬出古墳	9 永安寺東古墳	10 永安寺西古墳	11 大坊古墳	12 両迫間日渡遺跡
13 柳町遺跡	14 川原遺跡	15 紺町遺跡	16 保田木城跡	17 高瀬本町通遺跡	18 宝成就寺跡
19 高瀬御茶屋跡	20 高瀬御倉跡	21 高瀬船着場跡	22 永徳寺川床遺跡	23 繁根木貝塚	24 稲荷山古墳
25 伝左山古墳	26 玉名郡倉跡	27 立願寺廃寺	28 玉名郡家跡	29 郡衛道	30 高岡原遺跡
31 東南大門遺跡	32 尾崎貝塚	33 大原遺跡	34 木船西遺跡	35 塚原遺跡	36 小島城跡
37 城ヶ崎城跡	38 中北遺跡	39 丹倍津	40 城ヶ辻城跡	41 吉丸西遺跡	42 竹崎貝塚
43 斎藤山貝塚	44 尾田貝塚	45 山下古墳			

第2図 周辺主要遺跡分布図

第Ⅲ章 確認調査

第1節 確認調査の成果

1 確認調査の経緯及び方法

新庁舎建設予定地である調査区は玉名市岩崎字川原267他20筆の20,199m²である。現状は水田として利用されており、用地は未買収である。確認調査で現耕作中水田の床面を掘り抜くため、水田の保水力が低下し、掘削後はぬかるむため次年度の水田利用は難しい旨を市の政策推進課に説明した。文化課と政策推進課で建設予定地（確認調査範囲）に関して、地権者、相続権者及び耕作者との対応の必要が生じた場合は政策推進課が責任を持つようになった。

旧遺跡名である玉名平野条里跡で古代の条里関連遺構の検出が想定された。調査面積が広大であり、周辺での調査資料が少ないため、敷地内全体の埋蔵文化財の状態を把握出来るよう、調査区内に出来るだけ長いトレンチを設定し、重機及び人力で掘削し調査を行った。

確認調査は平成20年2月末から平成20年5月7日の間行った。調査区内に26箇所のトレンチを設定し、トレンチ幅約1.5～2m、深さ約1.2～1.5mで掘削を行い、部分深掘りを行った。同年3月7日に土砂崩落の事故が起き、玉名労働基準署の是正勧告により作業を一時中断した。同年4月21日に調査を再開し、トレンチ幅を広げ、安全勾配を設けた。トレンチ内の土質は非常に柔く、壁や床面からの湧水も多く、壁面もろいため、土層断面図の一部は柱状図とした。また遺構等が検出されたり、畦と思われる地層の隆起が確認された場所には、その周囲にトレンチを再設定した。

2 確認調査の成果 (第3図)

(1) 各トレンチの概要

第1トレンチ (第4図 図版4-1)

調査区北側の岩崎字川原271、266番地に設定した東西方向のトレンチである。長さ96m、幅2m、深さ1.7~2.3mで土層14層を確認した。土層断面図は、東から5、17、58、71、82、91、95m地点の柱状図を作成した。17m地点では9層と11層で畦畔と思われる隆起が確認された。

第2トレンチ (第4図 図版4-2・3)

調査区中央部の岩崎字紺町161、165番地に設定した東西方向のトレンチである。長さ93m、幅2m、深さ1.5~2.8mで土層21層を確認した。土層断面図は、西から7mまで、22、30、35、43、50、58、73、76、81、90m地点の柱状図を作成した。15・16層、20層に酸化鉄が多く含まれており旧水田面と思われる。

第3トレンチ (第5図 図版4-4)

調査区南側の字紺町157-1、157-2、158、170番地に設定した東西方向のトレンチである。長さ91m、幅2m、深さ1.8~2.2mで土層20層を確認した。

一部土砂の崩落で実測不能となったが、土層断面図の17層は西から23m前後、53m前後の地点で若干の起伏が確認された。

第4トレンチ (第6図 図版4-5)

調査区北側の岩崎字川原266番地に設定した南北方向のトレンチである。長さ24m、幅2m、深さ1.5mで土層14層を確認した。土層断面図は、北から5、18、24m地点の柱状図を作成した。11層から14層までに鉄分を含み、14層は特に鉄分のシミが多く確認された。

第5トレンチ (第6図 図版4-6)

調査区中央部の字紺町164、165、166番地に設定した南北方向のトレンチである。長さ50m、幅3m、深さ2.1mで土層14層を確認した。土層断面図は北から1、6、10、15、20、25、30、36、42、50mで柱状図を作成した。13層には、流木が含まれており河川の氾濫時のものと思われる。

第6トレンチ (第6図 図版4-7)

調査区南側の字紺町156番地に設定した東西方向のトレンチである。長さ28m、幅2m、深さ1.5mで土層15層を確認した。土層断面図は西から1.5、5、9、12、14から17、24mで柱状図を作成した。15.5m地点で8層、14層が幅0.5m、高さ0.1mほどの畦畔状の起伏が確認された。



0 1 : 2,000 100m

第3図 確認調査トレンチ配置図

第7トレンチ (第7図 図版4-8、図版5-1)

調査区南側の字紺町157-1、166、168番地に設定した南北方向のトレンチである。長さ61m、幅3m、深さ1.6~2mで土層17層を確認した。北から10m地点でA層が幅2m、高さ0.18mほど隆起しており、20m地点でもB層が幅2m、高さ0.2mほどの隆起が確認された。

第8トレンチ (第8図 図版5-2・3)

調査区南東側の字紺町171番地に設定した東西方向のトレンチである。長さ30m、幅3m、深さ1.8mで土層15層を確認した。西から22m地点の深さ約1mのE層で東から西へ落ち込みが確認された。

第9トレンチ (第9・10・11図 図版5-4)

調査区東側の字紺町164、165、166、170番地に設定した南北方向のトレンチである。長さ114.5m、幅3.5m、深さ2~2.2mで土層54層を確認した。13層は南から12m地点で幅1.3m、高さ0.1m、16m地点で幅1m、高さ0.1mの畦畔が確認された。南から25mから26m地点に南から北への落ち込みが確認された。南から64m地点から78m地点までは大畦状の隆起が確認された。

第10トレンチ (第12図 図版5-5)

調査区南西側の字紺町158、159番地に設定した南北方向のトレンチである。長さ35m、幅3.5m、深さ1.3~1.6mで土層12層を確認した。深さ約0.4mの3層と4層は小さな起伏が連続し、近世の畠と考えられる。

第11トレンチ (第12図 図版5-6)

調査区西侧の字紺町160番地に設定した南北方向のトレンチである。長さ23m、幅3.5m、深さ1.6mで土層17層を確認した。南から3.5m地点の深さ0.7mには、幅1m、高さ0.2mの畦状の隆起が確認された。

第12トレンチ (第13図 図版5-7)

調査区中央部南西側の字紺町159番地に設定した東西方向のトレンチである。長さ5m、幅3m、深さ1.5mで土層10層を確認した。

第13トレンチ (第13図 図版5-8)

調査区中央部北西側の字紺町162、163番地に設定した東西方向のトレンチである。長さ27m、幅3.5m、深さ1.8mで土層21層を確認した。西から12m地点までは土砂崩落の恐れがあり、柱状図とした。

第14トレンチ (第13図 図版6-1)

調査区中央部北東側の字紺町164番地に設定した東西方向のトレンチである。長さ7.3m、幅3.5m、深さ1.8~2.2mで土層14層を確認した。

第15トレンチ (第14図 図版6-2)

調査区北側の字川原266、267番地に設定した東西方向のトレンチである。長さ33.8m、幅3m、深さ1.9mで土層18層を確認した。西から15m地点と11.3m地点の深さ0.7mの8b層に畦畔状の起伏が確認された。

第16トレンチ (第15図 図版6-3・4)

調査区北側の字川原266番地に設定した東西方向のトレンチである。長さ38m、幅2m、深さ1.7~2mで土層21層を確認した。西から10.5m地点に深さ0.5mと0.8mに幅1m、高さ約0.1mの畦畔状の隆起が確認された。また、24.3m地点に深さ1.1mに幅0.4m、高さ0.1mの畦畔状の隆起が確認された。

第17トレンチ (第16図 図版6-5)

調査区北東側の字川原266番地に設定した南北方向のトレンチである。長さ22.1m、幅3.5m、深さ1.8mで土層18層を確認した。南から8.5m地点に幅1m、高さ0.15mの畦畔状の隆起が確認された。

第18トレンチ (第16図 図版6-6・7)

調査区中央部北東側の字紺町164番地に設定した東西方向のトレンチである。長さ12m、幅3m、深さ1.8mで土層12層を確認した。東から1m地点の深さ1.2mに幅1m以上、高さ0.3m以上の大きめの畦畔状の隆起が確認された。

第19トレンチ (第16図 図版6-8)

調査区北側の字川原266番地に設定した南北方向のトレンチである。長さ16m、幅3.5m、深さ1.7mで土層15層を確認した。南から13.3m地点の深さ0.7mに幅0.6m、高さ0.2mの畦畔状が確認された。

第20トレンチ (第17図 図版7-1)

調査区中央部北西側の字紺町163番地に設定した南北方向のトレンチである。長さ6.5m、幅4m、深さ1.9mで土層15層を確認した。土層断面図は地下からの湧水が多いため、柱状図とした。

第21トレンチ (第17図 図版7-2・3)

調査区北側の字川原268番地に設定した東西方向のトレンチである。長さ21m、幅3m、深さ1.9mで土層19層を確認した。西から0.5m地点の深さ1.3mで幅3.4m、高さ0.15mの畦畔状隆の隆起が確認された。

第22トレンチ (第17図 図版7-4)

調査区中央部西側の字紺町161、163番地に設定した南北方向のトレンチである。長さ17m、幅3m、深さ1.8mで土層17層を確認した。16m地点の深さ1mと1.3mで大きめの畦畔の一部と考えられる落ち込みを確認した。

第23トレンチ (第18図 図版7-5)

調査区中央部北西側の字川原271番地に設定した南北方向のトレンチである。長さ9.5m、幅3m、深さ2mで土層12層を確認した。南から2m地点の深さ1.3mで第12層が幅1.1m、高さ0.3m隆起し、7m地点の深さ1.3mで第12層が幅1.5m、高さ0.2m隆起している。同一の層であり同時期の畦畔と考えられる。

第24トレンチ (第18図 図版7-6)

調査区中央部北東側の字紺町164番地に設定した南北方向のトレンチである。長さ8.7m、幅3m、深さ1.9mで土層17層を確認した。北から3m地点の深さ1.3mから南側に下がる落ち込みが確認された。

第25トレンチ (第18図 図版7-7)

調査区中央部東側の字紺町164、165番地に設定した南北方向のトレンチである。長さ11.6m、幅3m、深さ1.6mで土層11層を確認した。全土層ともほぼ水平に堆積している。

第26トレンチ (第18図 図版7-8)

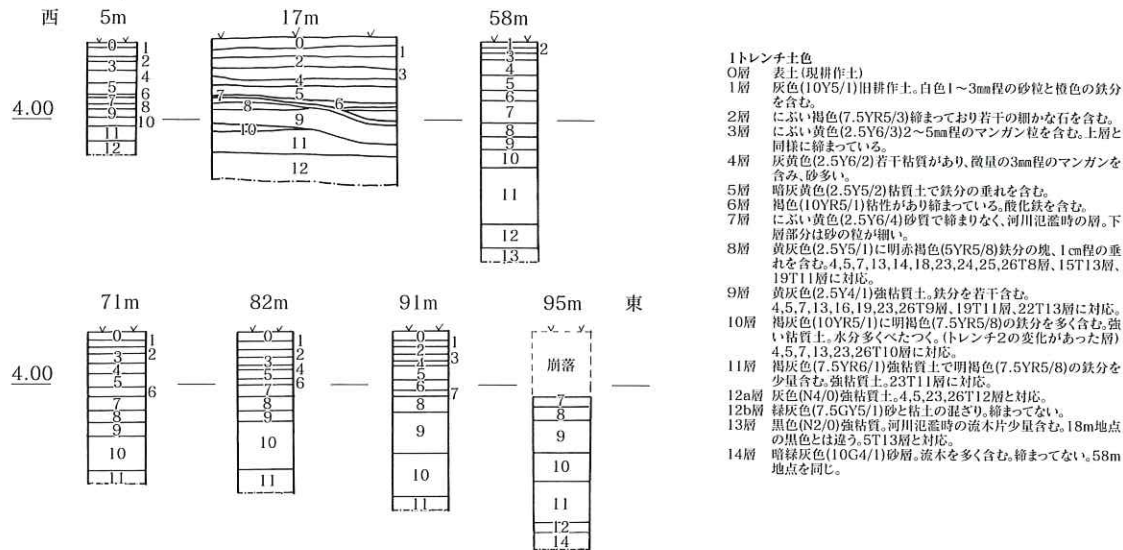
調査区北西側の字川原267、268番地に設定した南北方向のトレンチである。長さ14m、幅3m、深さ1.8mで土層12層を確認した。全土層ともほぼ水平に堆積している。

(2) まとめ

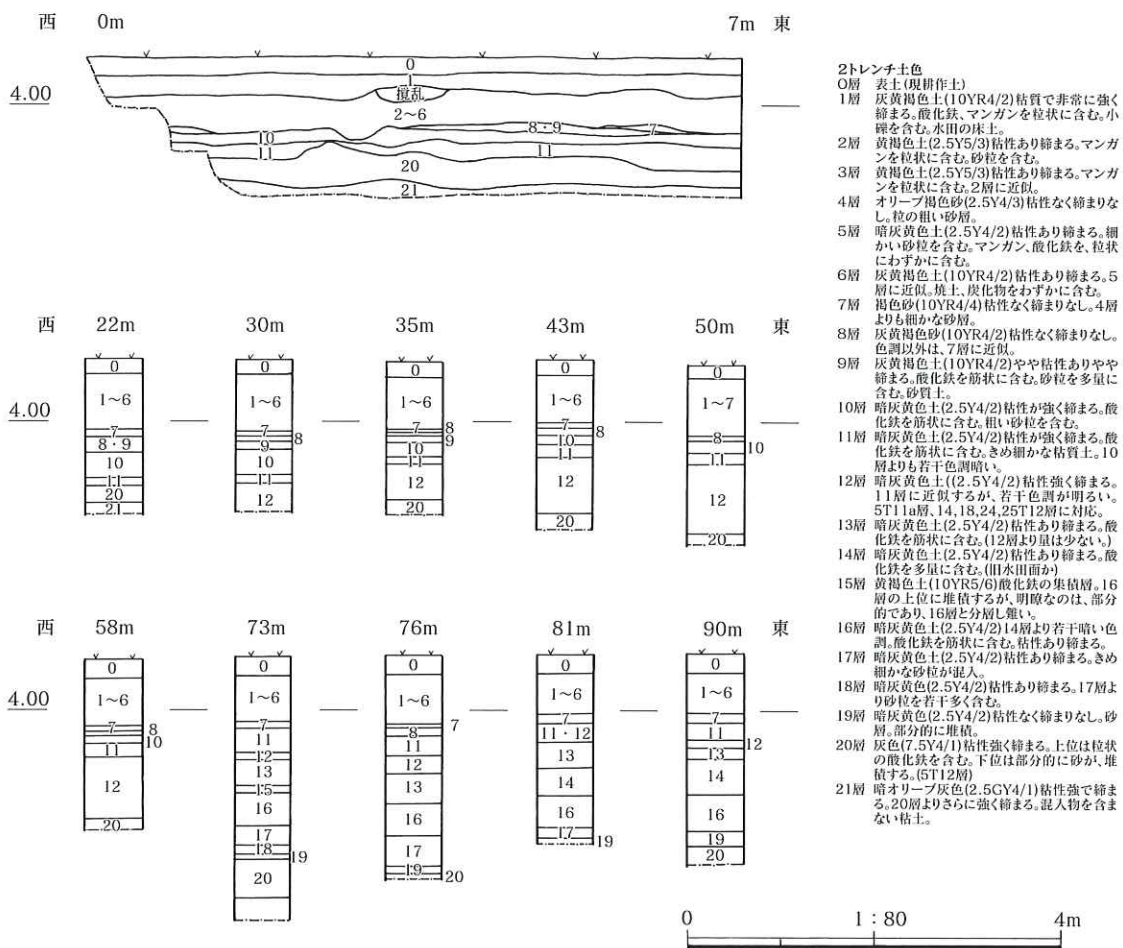
トレンチ内からの土器等の遺物はほとんど出土していない。木製杭が深さ1.3m地点から出土した。出土したトレンチは第1、第15、第21、第23トレンチで、試掘の調査区内を北東から南西に延びている。調査区中央部に東西に設置した第2トレンチ以南の各トレンチからは河川の氾濫で堆積した砂層が多く、第6トレンチの最深部では、まとまった流木が確認されている。

よって、調査区北西に畦畔を伴う杭列と北東部から南部にかけての流路又は小河川が想定された。

第1トレンチ



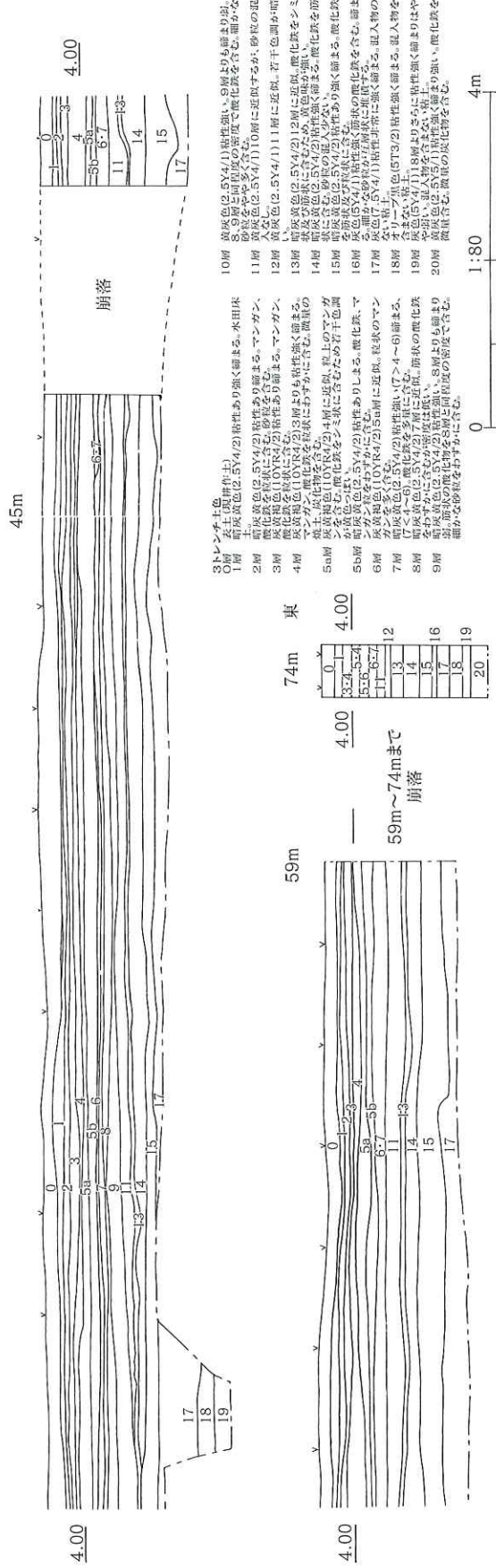
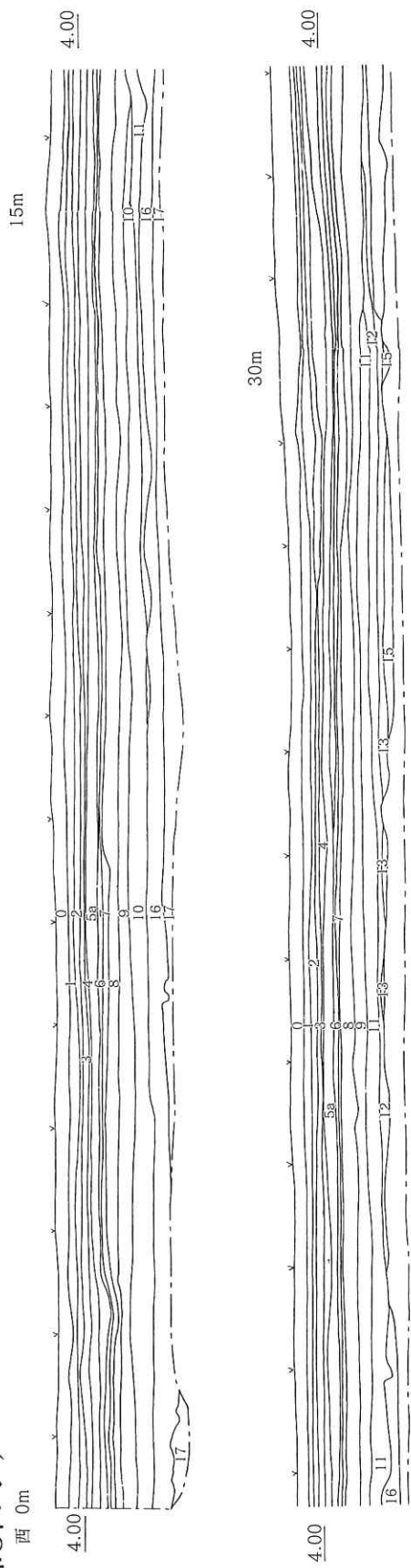
第2トレンチ



第4図 確認調査トレンチ土層断面図（1）

第3トレーンチ

西 0m

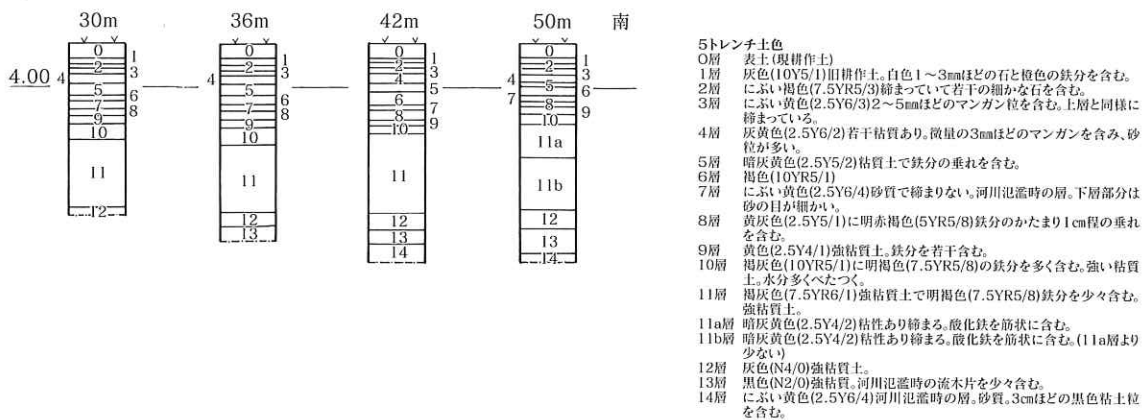
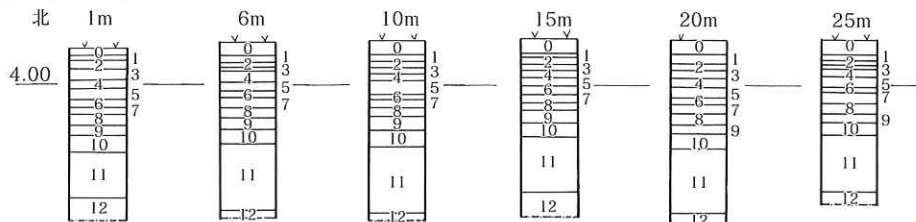


第5図 確認調査トレーンチ土層断面図（2）

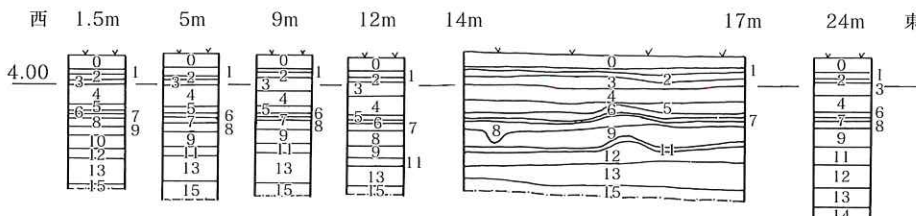
第4トレント



第5トレント



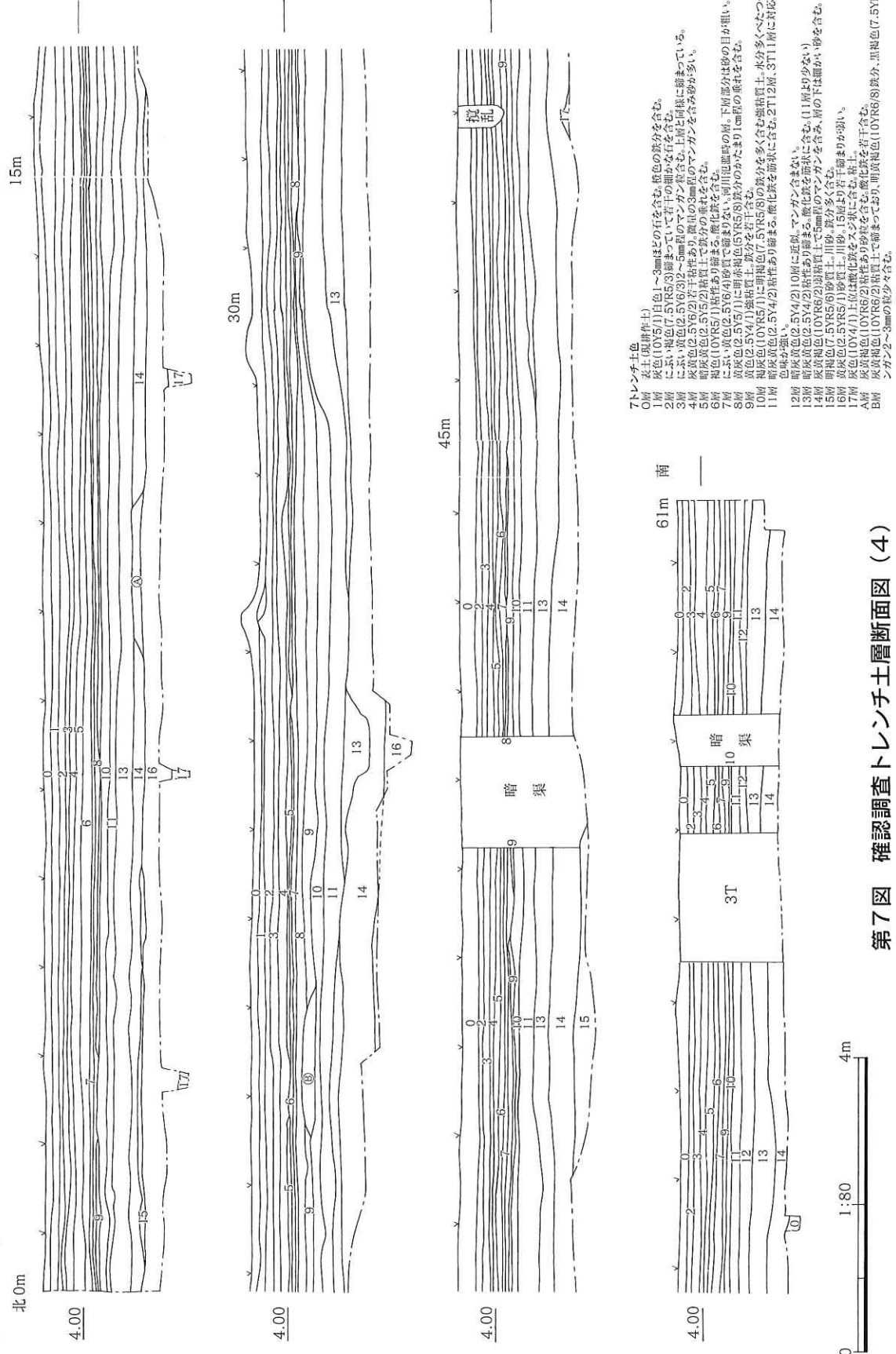
第6トレント



0 1:80 4m

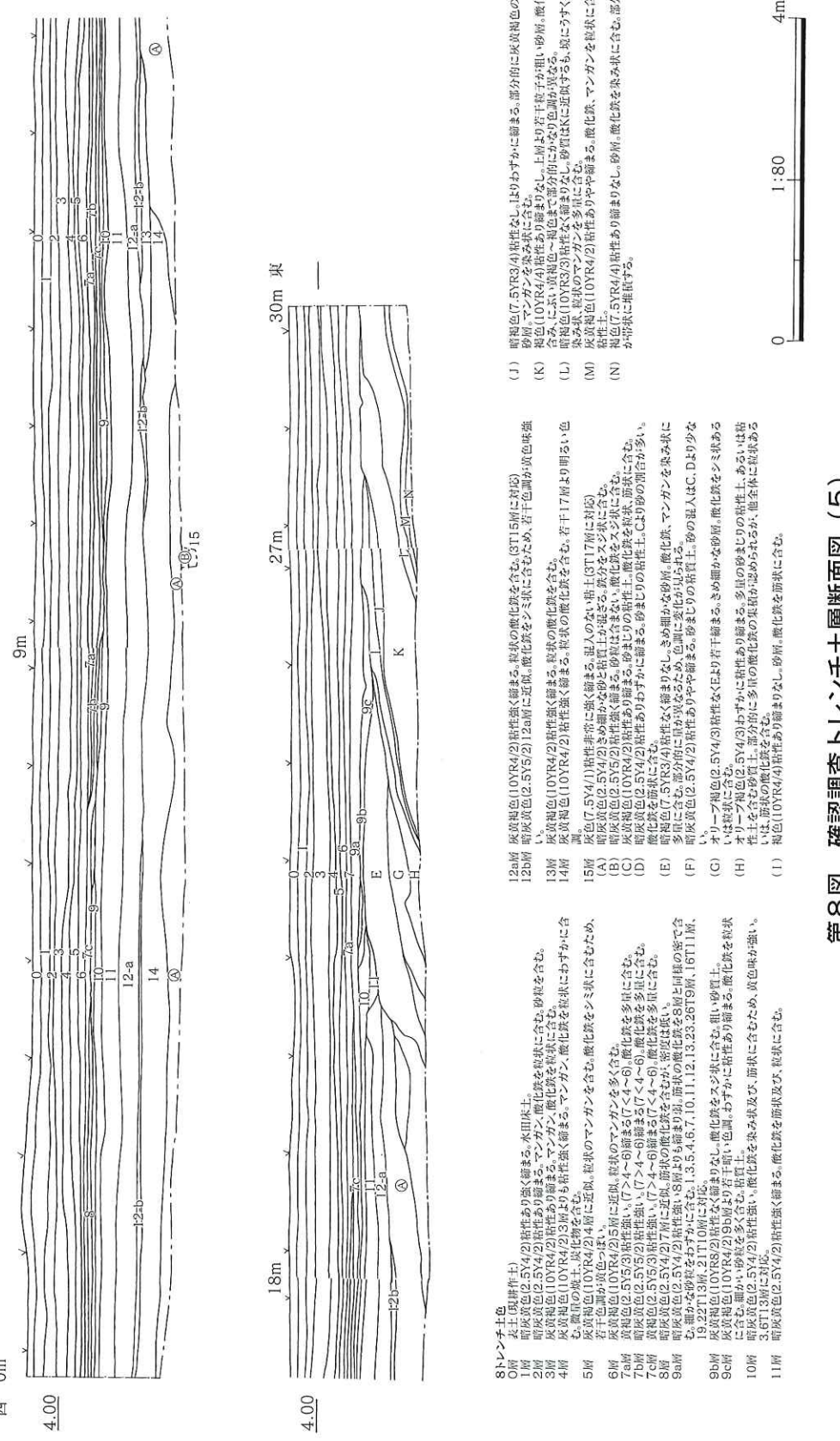
第6図 確認調査トレント土層断面図 (3)

第七トレンチ



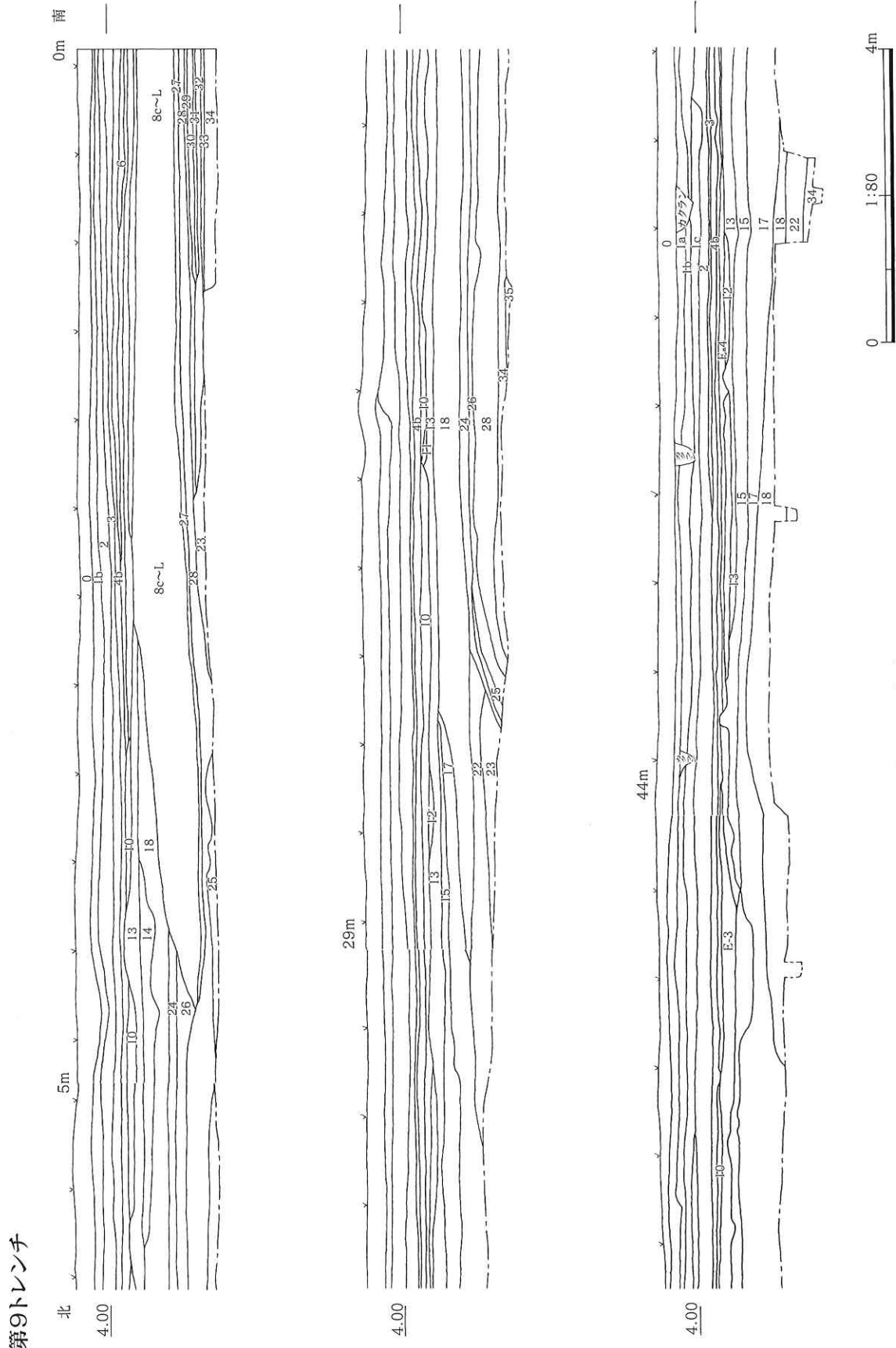
第7図 確認調査トレンチ土層断面図(4)

第8トレーナー

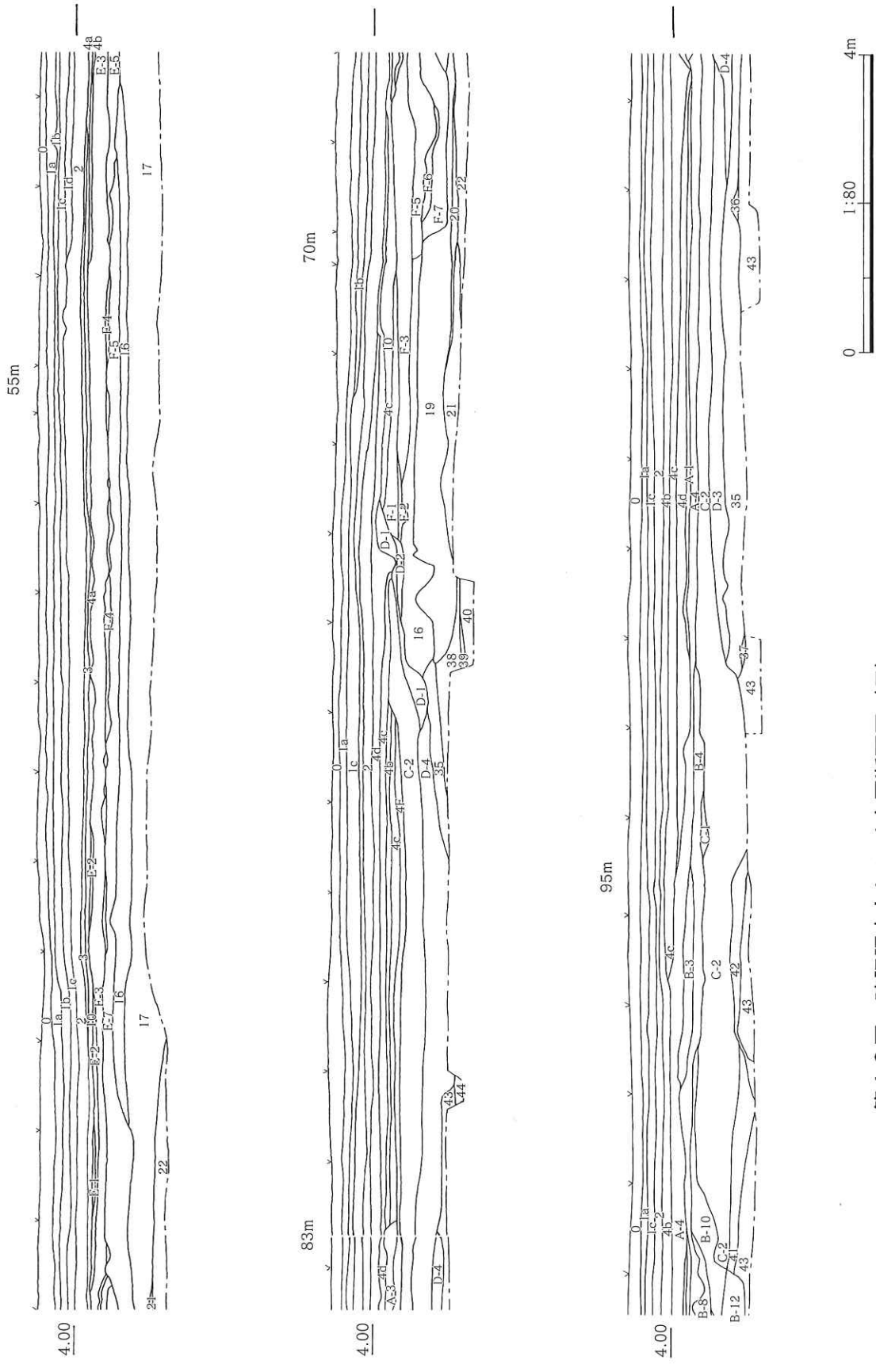


第8図 確認調査トレンチ土層断面図(5)

第9図 確認調査トレンチ土層断面図 (6)

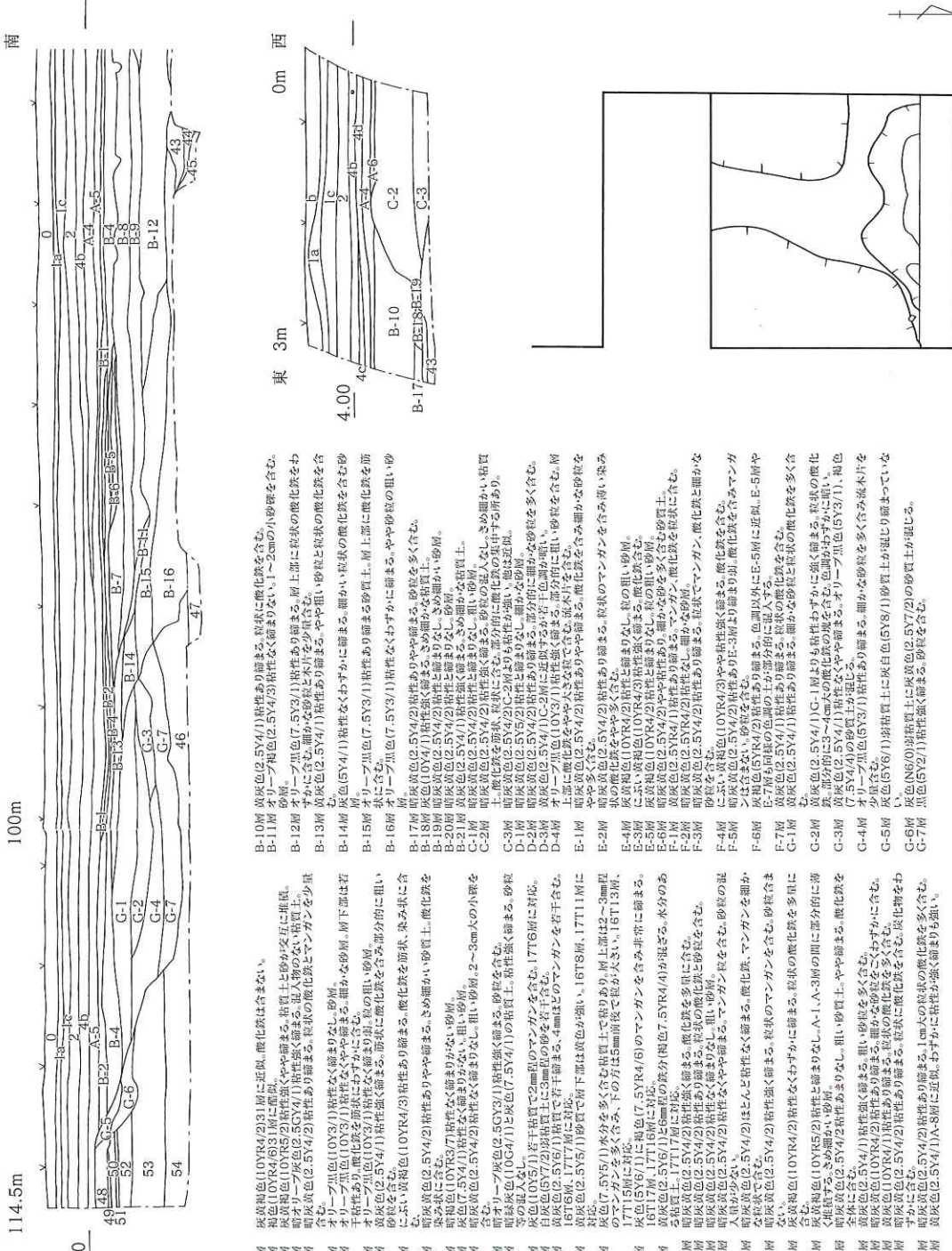


第9トレント



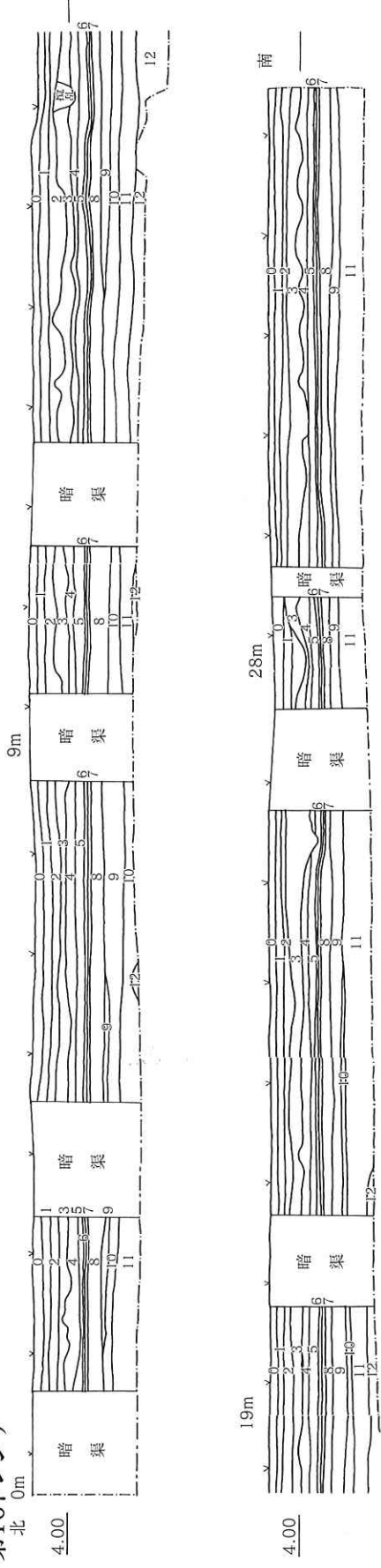
第10図 確認調査トレンチ土層断面図(7)

第9トレンチ



第11図 確認調査トレンチ土層断面図(8)

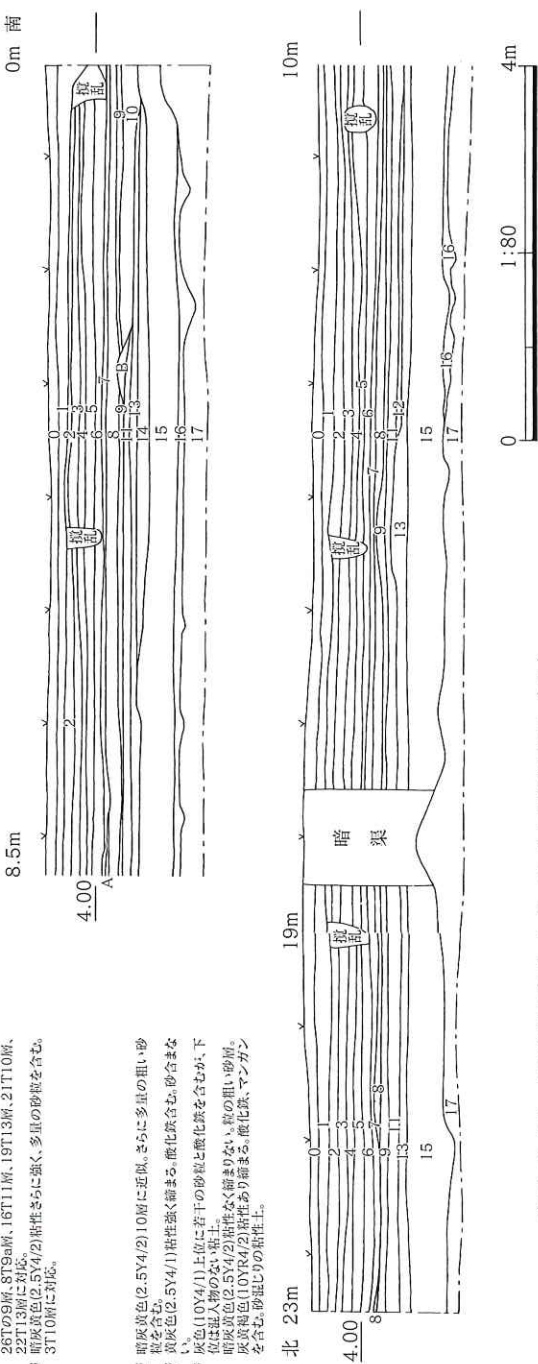
第10トレンチ



10トレンチ土壌
表土(現地色)
0層 断成黄色(2.5Y4/2)粘性あり強く密まる。水田底土。
1層 断成黄色(2.5Y4/2)粘性あり強く密まる。マンガン、微化鉄を含む。
2層 断成黄色(2.5Y4/2)粘性あり弱まる。色(10YR4/2)粘性を含む。
3層 断成黄色(10YR4/2)粘性あり弱まる。マンガン、微化鉄を含む。
4層 断成黄色(10YR4/2)粘性あり弱まる。色(10YR4/2)粘性を含む。
5層 断成黄色(10YR4/2)粘性あり弱まる。色(10YR4/2)粘性を含む。
6層 断成黄色(10YR4/2)粘性あり弱まる。色(10YR4/2)粘性を含む。

- 23 -

第11トレンチ

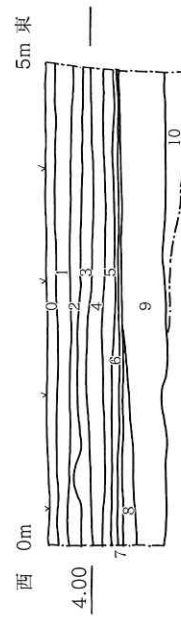


11トレンチ土壌
表土(現地色)
0層 断成黄色(2.5Y4/2)粘性あり強く密まる。(7 < 4
~ 6)強度を多く含む。
1層 断成黄色(2.5Y4/2)粘性あり弱まる。色(10YR4/2)粘性を含む。
2層 断成黄色(2.5Y4/2)粘性あり弱まる。色(10YR4/2)粘性を含む。
3層 断成黄色(10YR4/2)粘性あり弱まる。マンガン、微化鉄を含む。
4層 断成黄色(10YR4/2)粘性あり弱まる。色(10YR4/2)粘性を含む。
5層 断成黄色(10YR4/2)粘性あり弱まる。色(10YR4/2)粘性を含む。
6層 断成黄色(10YR4/2)粘性あり弱まる。色(10YR4/2)粘性を含む。

11トレンチ土壌
表土(現地色)
0層 断成黄色(2.5Y4/2)粘性あり強く密まる。(7 < 4
~ 6)強度を多く含む。
1層 断成黄色(2.5Y4/2)粘性あり弱まる。色(10YR4/2)粘性を含む。
2層 断成黄色(2.5Y4/2)粘性あり弱まる。色(10YR4/2)粘性を含む。
3層 断成黄色(10YR4/2)粘性あり弱まる。マンガン、微化鉄を含む。
4層 断成黄色(10YR4/2)粘性あり弱まる。色(10YR4/2)粘性を含む。
5層 断成黄色(10YR4/2)粘性あり弱まる。色(10YR4/2)粘性を含む。
6層 断成黄色(10YR4/2)粘性あり弱まる。色(10YR4/2)粘性を含む。
7層 断成黄色(2.5Y4/2)粘性あり強く密まる。(7 < 4 ~ 6)強度を多く含む。
8層 断成黄色(2.5Y4/2)粘性あり弱まる。色(10YR4/2)粘性を含む。
9層 断成黄色(2.5Y4/2)粘性あり弱まる。色(10YR4/2)粘性を含む。
10層 断成黄色(10YR4/2)粘性あり強く密まる。色(10YR4/2)粘性を含む。
11層 断成黄色(10YR4/2)粘性あり弱まる。色(10YR4/2)粘性を含む。
12層 オリーブ緑色(2.5Y4/4)わずかに粘性ありわすかに節ま
る。砂質土、微化鉄を含む。
13層 陥没地(10YR4/2)11層より色暗い。これは1層に近
似。
14層 陥没地(10YR4/2)砂混ヒカリの粘性土。11.13層よりも
砂の量が多い。

第12図 確認調査トレンチ土層断面図 (9)

第12トレンチ

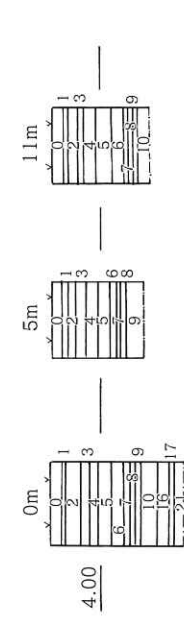


1.2トレンチ土色

0層	表土(風化土)
1層	腐泥質土(2.5Y4/2)粘性あり強く盛る。水田灰土。
2層	腐泥質土(2.5Y4/2)粘性あり盛る。
3層	腐泥質土(2.5Y4/2)粘性あり盛る。マンガン・鐵化鉄を粒状に含む。
4層	腐泥質土(10YR4/2)粘性あり盛る。マンガン・鐵化鉄を粒状に含む。
5層	腐泥質土(10YR4/2)粘性あり盛る。マンガン・鐵化鉄を粒状に含む。
6層	腐泥質土(10YR4/2)粘性あり盛る。マンガン・鐵化鉄を粒状に含む。
7層	腐泥質土(2.5Y4/2)粘性あり盛る。粒状のマンガン・鐵化鉄を多く含む。

1.2トレンチ土色
0層 表土(風化土)
1層 腐泥質土(2.5Y4/2)粘性あり強く盛る。水田灰土。
2層 腐泥質土(2.5Y4/2)粘性あり盛る。
3層 腐泥質土(2.5Y4/2)粘性あり盛る。マンガン・鐵化鉄を粒状に含む。
4層 腐泥質土(10YR4/2)粘性あり盛る。マンガン・鐵化鉄を粒状に含む。
5層 腐泥質土(10YR4/2)粘性あり盛る。マンガン・鐵化鉄を粒状に含む。
6層 腐泥質土(10YR4/2)粘性あり盛る。マンガン・鐵化鉄を粒状に含む。
7層 腐泥質土(2.5Y4/2)粘性あり盛る。粒状のマンガン・鐵化鉄を多く含む。

第13トレンチ

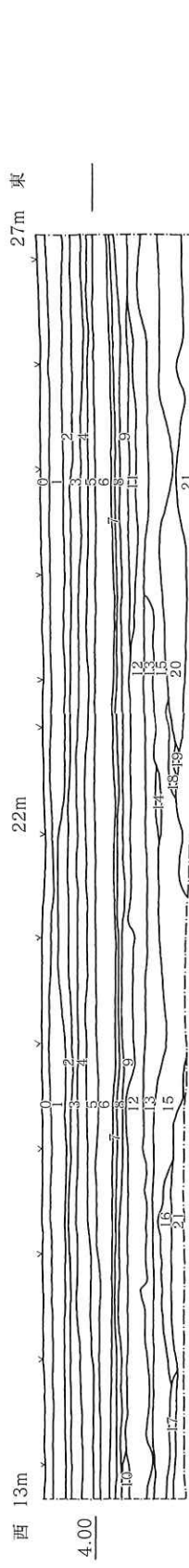


1.3トレンチ土色

1層	暗灰褐色(2.5Y4/2)粘性あり強く盛る。
2層	暗灰褐色(2.5Y4/2)粘性あり盛る。
3層	暗灰褐色(10YR4/2)粘性あり盛る。マンガン・鐵化鉄を粒状に含む。
4層	暗灰褐色(10YR4/2)粘性あり盛る。マンガン・鐵化鉄を粒状に含む。
5層	暗灰褐色(10YR4/2)粘性あり盛る。粒状のマンガンを多く含む。
6層	暗灰褐色(10YR4/2)粘性あり盛る。粒状のマンガンを多く含む。
7層	暗灰褐色(2.5Y4/2)粘性あり(7 > 4 ~ 6)。鐵化鉄を多量に含む。
8層	暗灰褐色(2.5Y4/2)粘性あり(7 > 4 ~ 6)。鐵化鉄を多量に含む。
9層	暗灰褐色(2.5Y4/2)粘性あり(8 < 4)。鐵化鉄を多量に含む。
10層	暗灰褐色(7.5Y5/1)色は淡い。8層より鐵化鉄を多く含む。
11層	暗灰褐色(7.5Y5/1)色は淡い。8層より鐵化鉄を多く含む。

1.3トレンチ土色
0層 表土(風化土)
1層 暗灰褐色(2.5Y4/2)粘性あり強く盛る。水田灰土。
2層 暗灰褐色(2.5Y4/2)粘性あり盛る。
3層 暗灰褐色(10YR4/2)粘性あり盛る。マンガン・鐵化鉄を粒状に含む。
4層 暗灰褐色(10YR4/2)粘性あり盛る。マンガン・鐵化鉄を粒状に含む。
5層 暗灰褐色(10YR4/2)粘性あり盛る。粒状のマンガンを多く含む。
6層 暗灰褐色(10YR4/2)粘性あり盛る。粒状のマンガンを多く含む。
7層 暗灰褐色(2.5Y4/2)粘性あり(7 > 4 ~ 6)。鐵化鉄を多量に含む。
8層 暗灰褐色(2.5Y4/2)粘性あり(7 > 4 ~ 6)。鐵化鉄を多量に含む。
9層 暗灰褐色(2.5Y4/2)粘性あり(8 < 4)。鐵化鉄を多量に含む。
10層 暗灰褐色(7.5Y5/1)色は淡い。8層より鐵化鉄を多く含む。
11層 暗灰褐色(7.5Y5/1)色は淡い。8層より鐵化鉄を多く含む。

8層 暗灰褐色(2.5Y4/2)粘性あり強く盛る。水田灰土。
9層 暗灰褐色(2.5Y4/2)粘性あり盛る。5mmから鉄化鉄を粒状に含む。
10層 灰色(10Y4/1)上部に弱い粘性と鐵化鉄を含むが、下部は鉄物のない粘土。
13T13M附近に鉄化鉄を多く含む。



第14トレンチ



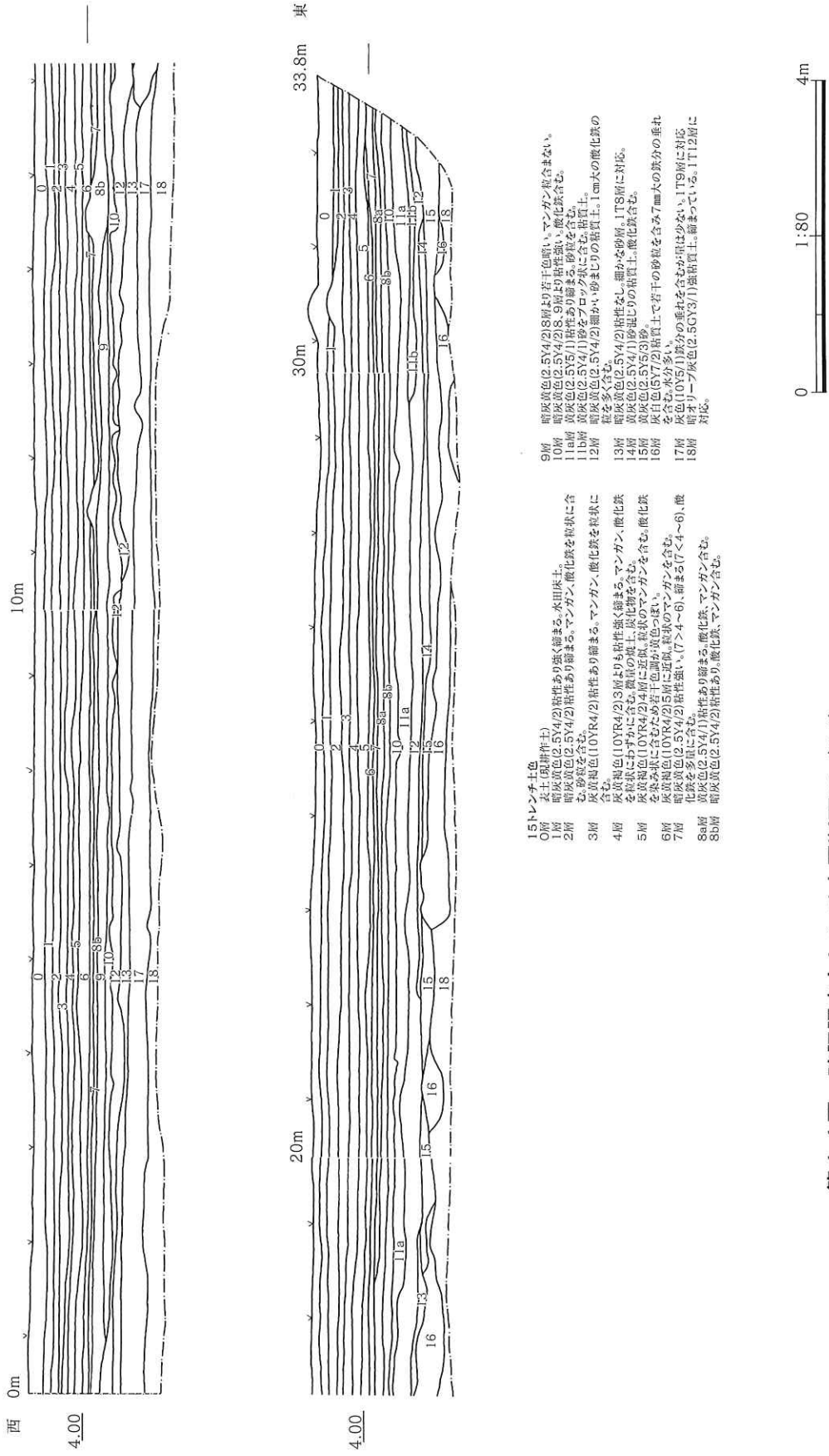
1.4トレンチ土色

0層	表土(風化土)
1層	腐泥質土(2.5Y4/2)粘性あり強く盛る。マンガン・鐵化鉄を粒状に含む。
2層	腐泥質土(10YR4/2)粘性あり盛る。マンガン・鐵化鉄を粒状に含む。
3層	腐泥質土(10YR4/2)粘性あり盛る。マンガン・鐵化鉄を粒状に含む。
4層	鐵化鉄(10YR4/2)粘性あり盛る。粒状のマンガンを含む。岩千色調が盛り出る。
5層	鐵化鉄(10YR4/2)粘性あり盛る。粒状のマンガンを含む。岩千色調が盛り出る。
6層	腐泥質土(2.5Y4/2)粘性あり(7 > 4 ~ 6)。鐵化鉄を多量に含む。
7層	腐泥質土(2.5Y4/2)粘性あり(7 > 4 ~ 6)。鐵化鉄を多量に含む。
8層	腐泥質土(2.5Y4/2)粘性あり(7 > 4 ~ 6)。鐵化鉄を多量に含む。
9層	腐泥質土(2.5Y4/2)粘性あり(7 > 4 ~ 6)。鐵化鉄を多量に含む。
10層	腐泥質土(2.5Y4/2)粘性あり(7 > 4 ~ 6)。鐵化鉄を多量に含む。
11層	腐泥質土(2.5Y4/2)粘性あり(7 > 4 ~ 6)。鐵化鉄を多量に含む。
12層	腐泥質土(2.5Y4/2)粘性あり(7 > 4 ~ 6)。鐵化鉄を多量に含む。
13層	腐泥質土(2.5Y4/2)粘性あり(7 > 4 ~ 6)。鐵化鉄を多量に含む。
14層	腐泥質土(2.5Y4/2)粘性あり(7 > 4 ~ 6)。鐵化鉄を多量に含む。

1.4トレンチ土色
0層 表土(風化土)
1層 腐泥質土(2.5Y4/2)粘性あり強く盛る。水田灰土。
2層 腐泥質土(2.5Y4/2)粘性あり盛る。マンガン・鐵化鉄を粒状に含む。
3層 腐泥質土(10YR4/2)粘性あり盛る。マンガン・鐵化鉄を粒状に含む。
4層 腐泥質土(10YR4/2)粘性あり盛る。マンガン・鐵化鉄を粒状に含む。
5層 鉄化鉄(10YR4/2)粘性あり盛る。粒状のマンガンを含む。岩千色調が盛り出る。
6層 腐泥質土(2.5Y4/2)粘性あり(7 > 4 ~ 6)。鐵化鉄を多量に含む。
7層 腐泥質土(2.5Y4/2)粘性あり(7 > 4 ~ 6)。鐵化鉄を多量に含む。
8層 腐泥質土(2.5Y4/2)粘性あり(7 > 4 ~ 6)。鐵化鉄を多量に含む。
9層 腐泥質土(2.5Y4/2)粘性あり(7 > 4 ~ 6)。鐵化鉄を多量に含む。
10層 腐泥質土(2.5Y4/2)粘性あり(7 > 4 ~ 6)。鐵化鉄を多量に含む。
11層 腐泥質土(2.5Y4/2)粘性あり(7 > 4 ~ 6)。鐵化鉄を多量に含む。
12層 腐泥質土(2.5Y4/2)粘性あり(7 > 4 ~ 6)。鐵化鉄を多量に含む。
13層 腐泥質土(2.5Y4/2)粘性あり(7 > 4 ~ 6)。鐵化鉄を多量に含む。
14層 腐泥質土(2.5Y4/2)粘性あり(7 > 4 ~ 6)。鐵化鉄を多量に含む。

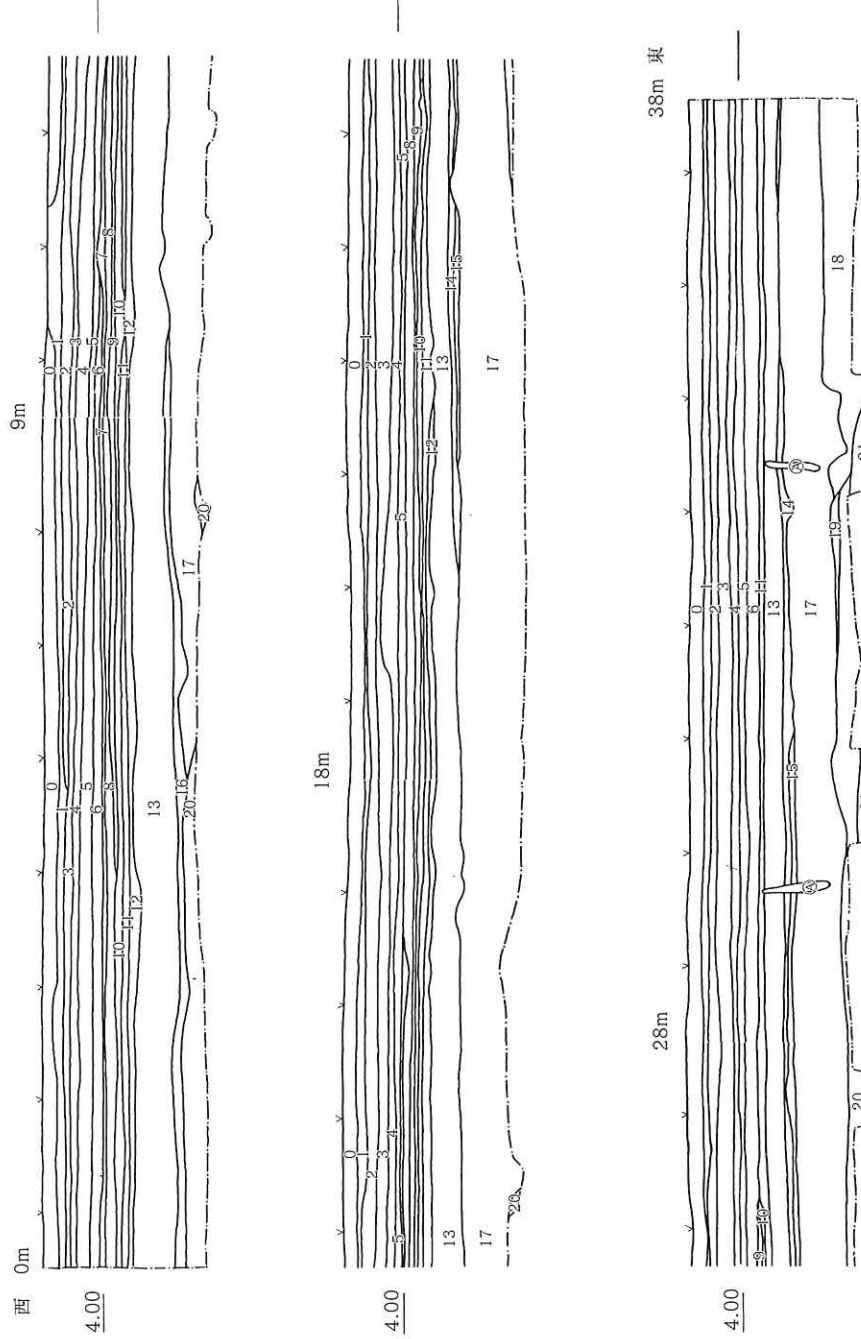
第13図 確認調査トレンチ土層断面図 (10)

第15トレンチ



第14図 確認調査トレンチ土層断面図 (11)

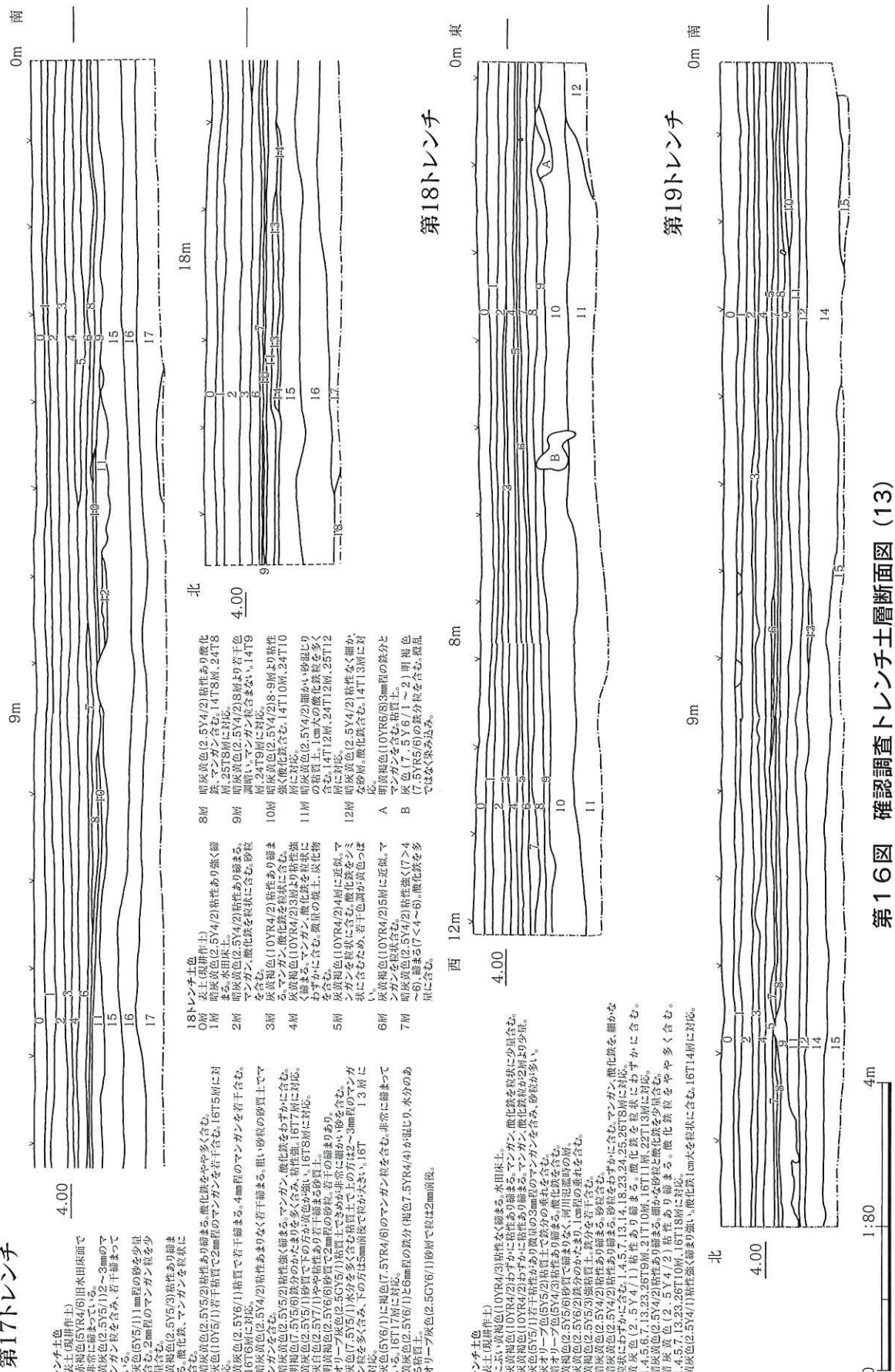
第16トレシチ



第15図 確認調査トレシチ土層断面図 (12)

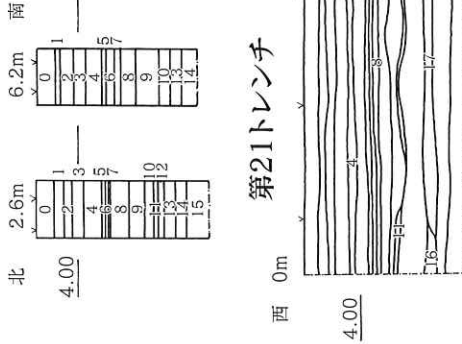
0 1:80 4m

第17トレンチ



第16図 確認調査トレンチ土層断面図 (13)

第20トレシチ



第21トレンチ

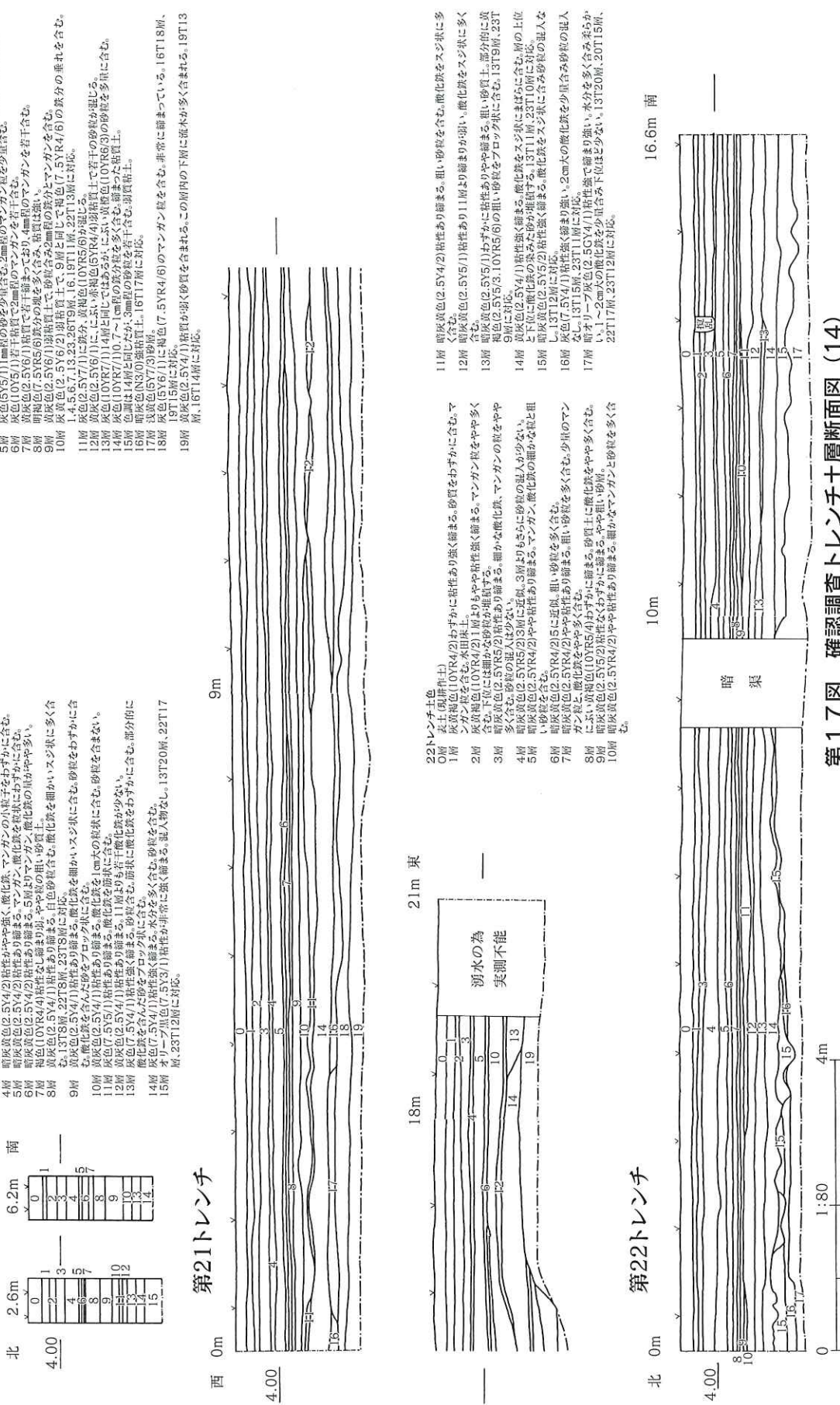
20トレンチ土色

表主導（見解作主）

1. 田中 晃一郎 (55歳) 田中屋本店にて非常に節まっている
2. 田中 義和 (54歳) 田中屋本店にて非常に節まっている
3. 田中 勝也 (54歳) 田中屋本店にて非常に節まっている

21

177 衣類色(5YR4/6)旧本庄町で非常に多く見ています。

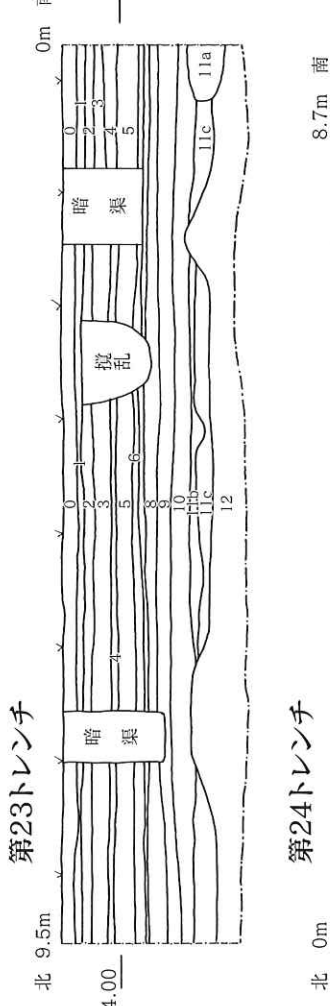


第22トレシチ

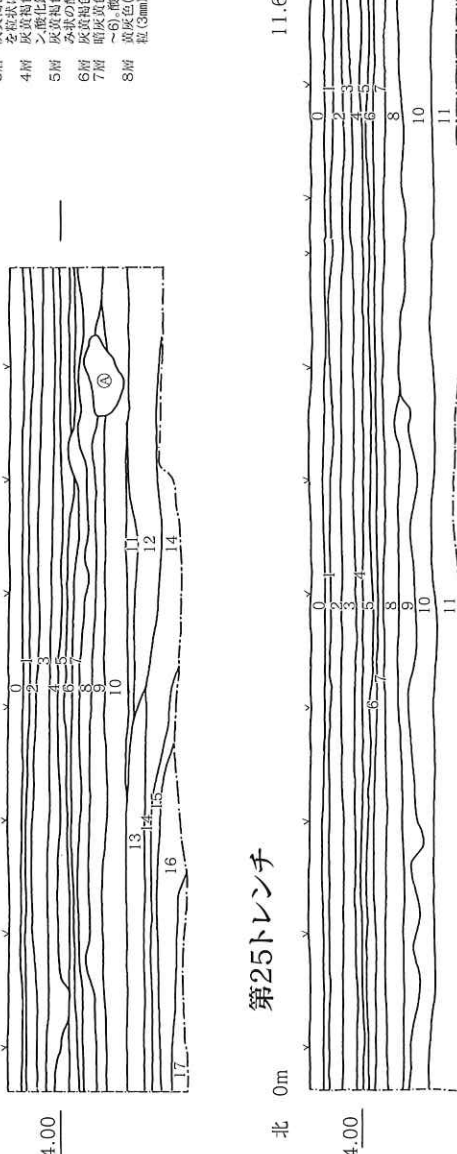
८३

166

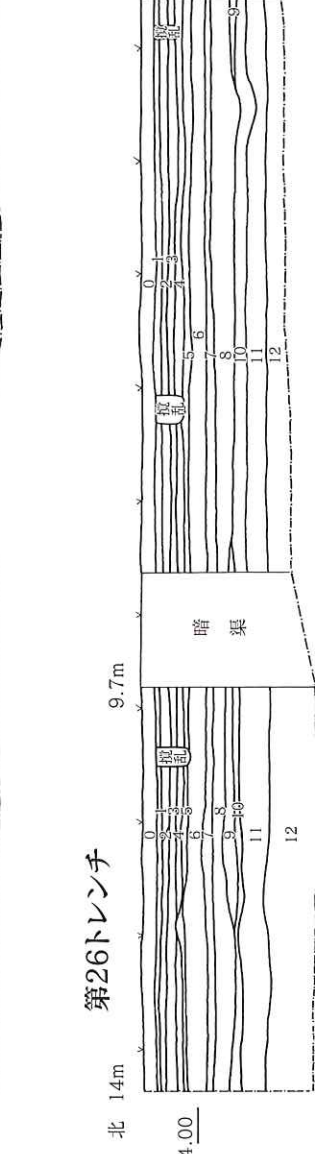
第17圖 確認調査トレンチ土層断面図(14)



第24トレーナー



第25トレシチ



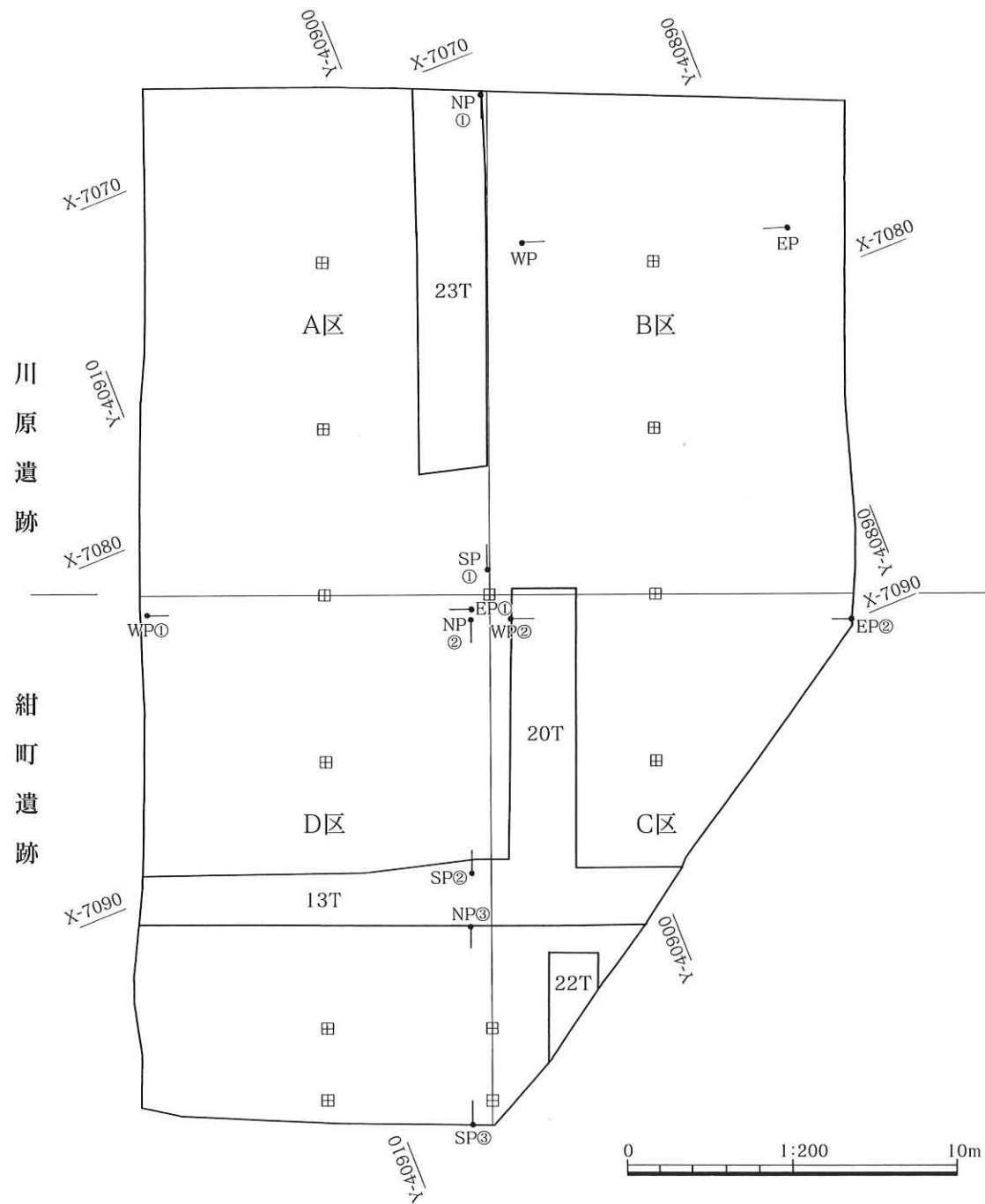
第26トレシチ

23)レンチチ色		
太針(鉛筆上)		
1.0所	灰白(10YR5/1)川跡付上。白色1~3mmほどの石粒を含む。薄い褐色(7.5YR5/3)縫合部より若干の細かな石粉を含む。	9% 貧乏色(2.5Y4/1)強粘質土、貧乏分を岩骨含む。13T9 所。22T13Wに分布。 10W 露頭(10YR5/1)に。明褐色(7.5YR5/8)の質分を多く含む強粘質土。水分多くべつた。13T10Wに分布。 2.0所 22T14Wに分布。 3.0所 岩骨(10Gv-1)弱粘質と砂質が混ざり泥水を多く含む。
4.0所	灰白(10YR5/1)と同様に暗め。薄い褐色の3mm程のマンガン粒を含む。含み多い所多く含む。	11% 貧乏色(2.5Y4/1)強粘質土で砂質を含む。水分の垂れを多く含む。
5.0所	含み多い所多く含む。	11% 貧乏色(2.5Y4/1)強粘質土で砂質を含む。
6.0所	含み多い所多く含む。	11% 良好な土質を示す。露頭(10YR5/8)の質分を多く含む。
7.0所	含み多い所多く含む。	12% 良好な土質を示す。
8.0m	岩骨を含む。	13T20W、2011年、22T17Wに分布。乱れが見られる。

24-1) 錠チ色 表記: $\text{CH}_3\text{C}_6\text{H}_4\text{CO}_2\text{Na}$ 分子式: $\text{C}_8\text{H}_7\text{NO}_3\text{Na}$	97% 棕褐色 (5YR 5/1) に明赤褐色の鉱粉状 (7mm) を含む。 1% 黄褐色 (2.5Y 5/2) の粘質上、3mm程のマンガンの粗鉄色 を含む。色に合て。砂鉄を含む。 3% 黄褐色 (2.5Y 5/2) の粘質上、5mm程のマンガンの粗鉄色 を含む。色に合て。 4% 黄褐色 (2.5Y 5/2) の粘質上、5mm程のマンガ ン+、微鉄を含む。色に合て。強度に似て、強度に似て。 5% 黄褐色 (2.5Y 5/2) の粘質上、5mm程のマンガ ン+、微鉄を含む。色に合て。強度に似て、強度に似て。 6% 黄褐色 (2.5Y 5/2) の粘質上、5mm程のマンガ ン+、微鉄を含む。色に合て。強度に似て、強度に似て。 7% 黄褐色 (2.5Y 5/1) の粘質上、5mm程のマンガ ン+、微鉄を含む。色に合て。強度に似て、強度に似て。 8% 黄褐色 (2.5Y 5/1) の粘質上、5mm程のマンガ ン+、微鉄を含む。
9% 棕褐色 (5YR 5/1) に明赤褐色の鉱粉状 (7mm) を含む。 10% 黄褐色 (2.5Y 5/1) の粘質上、5mm程のマンガ ン+、微鉄を含む。色に合て。強度に似て、強度に似て。 11% 黄褐色 (2.5Y 5/2) の粘質上、5mm程のマンガ ン+、微鉄を含む。色に合て。強度に似て、強度に似て。 12% 黄褐色 (2.5Y 5/2) の粘質上、5mm程のマンガ ン+、微鉄を含む。色に合て。強度に似て、強度に似て。 13% 黄褐色 (2.5Y 5/2) の粘質上、5mm程のマンガ ン+、微鉄を含む。色に合て。強度に似て、強度に似て。 14% 黄褐色 (2.5Y 5/1) の粘質上、5mm程のマンガ ン+、微鉄を含む。色に合て。強度に似て、強度に似て。 15% 黄褐色 (10Y 5/1) の粘質上、5mm程のマンガ ン+、微鉄を含む。色に合て。強度に似て、強度に似て。 16% 黄褐色 (10Y 5/1) の粘質上、5mm程のマンガ ン+、微鉄を含む。色に合て。強度に似て、強度に似て。 17% 黄褐色 (7.5Y 5/1) の粘質上、5mm程のマンガ ン+、微鉄を含む。	

25トレンチ色 0.5cm	表土(塊耕作土) 1mm	暗灰褐色(2.5Y4/2)粘性あり強く縮まる。 水田未上。	7例	暗灰褐色(2.5Y4/2)粘性強い(7>4~6)、 6mmまで(7~4~6)、體積は多頭に合 む。
25トレンチ色 0.5cm	表土(塊耕作土) 1mm	暗灰褐色(2.5Y4/2)粘性あり縮む。粘狀 のマグガソ・酸化鉄と砂質を含む。	8例	暗灰褐色(2.5Y5/1)質粗に(5mm頭の赤黒 色)表面(2.5Y4/2)・ラン干を含む。
30cm	北面	暗灰褐色(2.5Y4/2)粘性あり縮む。粘 状のマグガソ・酸化鉄と砂質を含む。粒 状の粘土。	9例	暗灰褐色(2.5Y4/2)・ラン干を含む。多頭合 み。黄色(7y 5/1)・色調1.HT11原、2.4T11 原。
45cm	北面	暗灰褐色(2.5Y4/2)粘性強い(7>4~6)、 体積よりも粘性強く 細粒する。粘土とマグガソ・酸化鉄を少々含 む。	10例	暗灰褐色(2.5Y4/2)・体積よりも粘性強 い(7>4~6)、作業履歴の板を多く含む。 14.1cm、15.1cm、15.7cm、15.9cm、16.1cm に1.2m、1.8T11原、2.4T11原を含む。
50cm	南	暗灰褐色(2.5Y4/2)4cmに近似。粘狀の マグガソを主とし、酸化鉄を含む水に含 めたため、暗色化を呈する。	11例	暗灰褐色(2.5Y4/2)5cmに近似。粘狀の マグガソを含む。
61cm	—	—	—	—

第18図 確認調査トレシチ土層断面図(15)



第19図 調査区内遺跡範囲・土層断面位置図

第IV章 本調査

第1節 調査の方法

1 調査の方法 (第19図 図版-3)

[調査区]

新庁舎建設部分東側で調査対象面積525m²である。調査区北側は大字岩崎字川原に所在する川原遺跡、調査区南側は大字岩崎字紺町に所在する紺町遺跡である。調査区を土層観察用ベルトと確認調査時のトレーナーにより区分けしてA～D区を設定した。川原遺跡はA区とB区、紺町遺跡はC区とD区である。

[調査環境整備]

調査対象区の現状は水田であり土壤が柔く、崩落の危険もあるため調査区外縁は45度の勾配を付けて掘削を行った。外縁底部には排水用の溝を配備し、北西と南西の2箇所にカマ場を設置した。カマ場には転落防止用ネットを施した。

[掘削方法]

事前の確認調査結果から中世の遺物を含む基本土層の第6層を調査対象とした。これより上位を表土剥ぎとしてバックホーを用いて掘削した。畦畔が検出できるまでは基本的に移植ゴテを及び三角ホーを用いた。一部に河川氾濫時の砂層の堆積がみられた部分についてはスコップを使用した。土器や木製品の検出時には遺物を傷付けないよう竹べらなどを用いた。

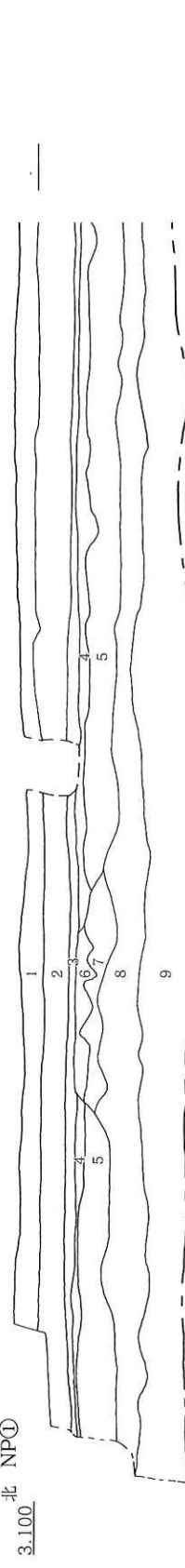
[記録方法]

図面は畦畔状遺構や溝状遺構をS=1/20、杭列部分はS=1/10、土層断面図はS=1/20で調査員および作業員が実測した。記録写真は基本的に35mmのリバーサルフィルム、モノクロフィルムで撮影した。

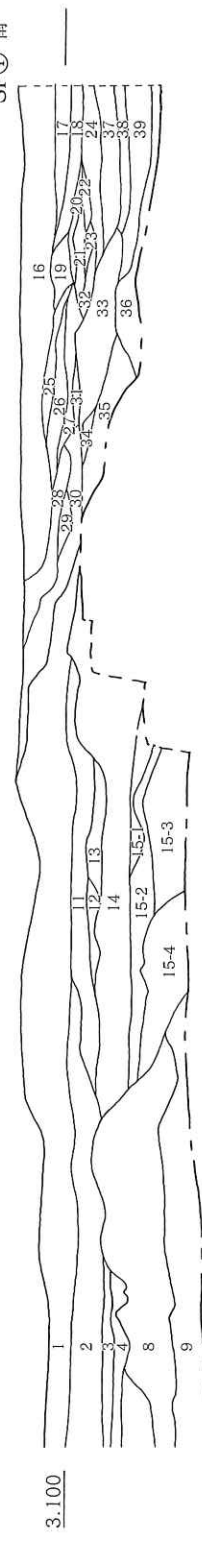
[遺物採取]

遺物の量は少ないが、時期判定に可能な遺物については基本的に各区の平面図に位置とレベルを記入し、通し番号を付している。遺物カードには層位および日時、取上者を記入している。

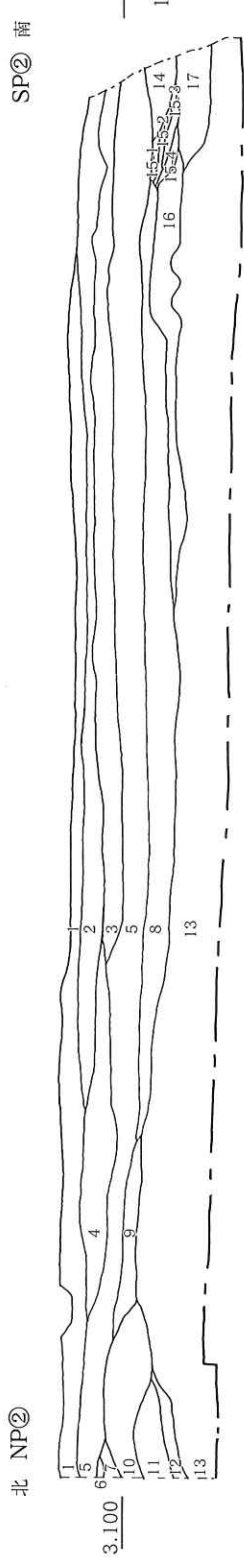
北 NP①



SP① 南

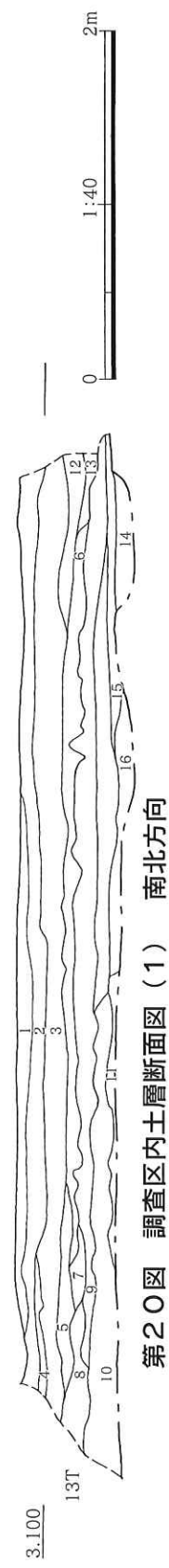


北 NP②



13T

北 NP③



第20図 調査区内地層断面図（1）南北方向

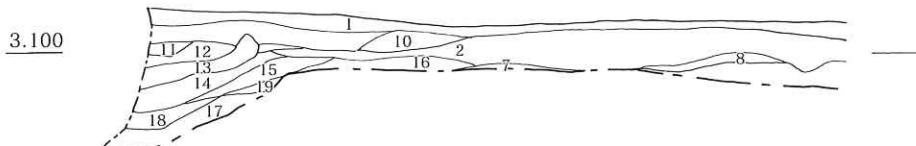
- 南北ペルト西面①土色
- 褐灰色(7.5YR6/1)粘質土に明褐色(7.5YR5/8)細かな砂粒が混じり締まる。
 - 黄灰色(2.5Y6/1)粘質土に黄褐色(10YR5/6)5mm程の砂粒が混じる。
 - 灰黄褐色(10YR6/2)粘質土に明褐色(7.5YR5/8)3mm程の砂粒が混じる。
 - 暗灰色(N3/)強粘質土で締まっている。
 - オリーブ灰(2.5GY5/1)強粘質土に、ぶい赤褐色(5GY4/4)3~5mm程の砂粒を含み締まっている。
 - 青黒色(5PB1.7/1)強粘質土で締まっている。
 - オリーブ灰(10Y6/1)粘質土と青灰色(10BG5/1)が混じり締まっている。
 - 暗青灰色(10BG4/1)強粘質土で締まっている。
 - 暗オリーブ褐色(2.5Y3/3)強粘質土で締まっている。※8層の粘質土を含む。
 - 欠番
 - 暗緑灰色(10GY4/1)粘質土と砂質土が混じる層で明褐色(7.5YR5/8)の1cm程の砂粒を含む。
 - 暗青灰色(5B2/1)粘質土に黄褐色(10YR5/6)砂層が混じり締まっている。
 - 黄灰色(2.5Y4/1)砂と粘質土が混じり締まっている。
 - 4層(5Y4/1)粘質土で層下部に流木片が少数组出する。
 - ①浅黄色(2.5Y7/3)砂層で締まっている。②灰色(5Y4/1)弱粘質土。③灰色(2.5Y4/1)粘質土にオリーブ灰色(5GY6/1)砂層が幾度も重なる。④オリーブ灰(5GY6/1)少量の流木片を含む。
 - 褐灰色(10YR5/1)弱粘質土に、ぶい赤褐色(10YR6/3)の砂粒が混じる。
 - 褐灰色(10YR5/1)弱粘質土に、ぶい黄褐色(10YR6/3)の砂粒が混じる。
 - にぶい黄色(2.5Y6/3)砂層で締まっている。
 - 浅黄色(2.5Y7/3)若干砂粒が粗い。
 - 暗青灰色(5BG4/1)粘質土で締まっている。
 - 灰色(10Y5/1)粘質土で締まっている。
 - 黄灰色(2.5Y4/1)砂層で締まっていない。

- 黄褐色(2.5Y5/3)3mm程の荒砂で締まっている。
- 灰白色(10Y7/1)砂層で程が若干粗い。
- 灰色(5Y5/1)粘質土で灰白色(7.5Y8/1)きめ細かい砂粒を含む。26層より砂粒の量が多い。
- 灰白色(5Y5/1)粘質土で灰白色(7.5Y8/1)のきめ細かい砂粒が混じる。
- 青黒色(5B2/1)弱粘質土で締まっている。
- 灰オリーブ色(5Y5/2)きめ細かい砂層で締まっている。
- オリーブ黒色(5Y3/1)粘質土で締まっている。
- 灰オリーブ色(5Y5/1)きめ細かい砂層で粘質感あり、黄褐色(10YR5/6)のマンガン重ねを含む。
- 黒青灰色(10BG4/1)粘質土で締まっている。※8層の粘質土を含む。
- 灰白色(2.5Y4/1)のきめ細かい砂層で粘質感あり、黄褐色(10YR5/6)のマンガン重ねを含む。6層同じだが砂質感が強い。
- 暗灰黄色(2.5Y5/2)に明褐色(7.5YR5/6)の鉄分の重ね合む。砂質感ある弱粘質土。
- 浅黄色(2.5Y7/3)1~4mm程の砂粒を含み締まっている。
- 黄灰色(2.5Y4/1)のきめ細かい砂層で粘質感あり。黄褐色(10YR5/6)の鉄分の重ね合む。6層同じだが砂質感が強い。
- 暗灰黄色(2.5Y5/2)に明褐色(7.5YR5/6)の鉄分の重ね合む。砂質感ある弱粘質土。
- 灰白色(2.5Y8/1)きめ細かい砂質土。
- 灰白色(2.5Y8/1)36層よりきめが粗く締まっている。
- 黄褐色(5Y6/4)砂質と粘質が混じる。
- 明赤褐色(5YR5/6)3~5mm程の砂粒が混じる。
- 黄褐色(10YR5/6)のマンガン重ねを含む。
- 黄褐色(2.5Y4/1)のきめ細かい砂層で粘質感あり。黄褐色(10YR5/6)のマンガン重ねを含む。6層同じだが砂質感が強い。
- 暗灰黄色(2.5Y5/2)に明褐色(7.5YR5/6)の鉄分の重ね合む。砂質感ある弱粘質土。
- 灰白色(2.5Y4/1)の砂層で構成され砂層で締まっている。
- 灰白色(2.5Y4/1)粘質土にオリーブ灰色(5GY6/1)砂層が幾度にも重なる。
- 灰色(10Y5/1)弱粘質土で砂質感あり。赤褐色(5YR4/8)鉄分の重ね合む。
- ①暗黄褐色(2.5Y5/2)弱粘質土で砂質感あり締まっている。②灰色(5Y8/1)のきめ細かい砂粒を含む。③15~16層、灰白色の方を多く含む。④15~16層、砂質感が強い。⑤15~16層、暗灰黄色が強くきめ細かい砂質感あり。
- 灰色オリーブ色(5Y5/2)きめ細かい砂質で締まっている。又一部に橙色の(7.5YR6/8)のきめの粗い砂を含む。
- 暗オリーブ灰(5GY4/1)きめ細かい砂層で締まっている。

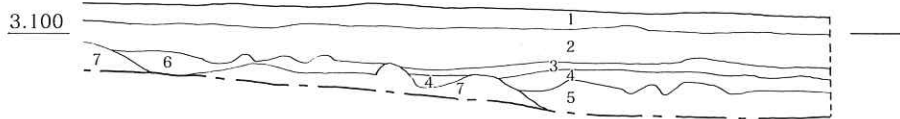
- 南北ペルト西面②土色
- 褐灰色(7.5YR6/1)粘質土に明褐色(7.5YR5/8)が混じる。
 - にぶい黄褐色(10YR4/3)と黄灰色(2.5YR5/1)の砂層が混じり合い締まっている。
 - 暗灰黄色(2.5Y5/2)に褐色(10YR4/6)の鉄分の重ねを含み砂質で締まっている。
 - 褐灰色(7.5YR5/1)弱粘質土であるが締まっている。2mm程の砂粒を含む。
 - 黄褐色(2.5Y6/1)に黄褐色(10YR5/6)の5mm程の粒が混じる粘土質で細かな砂粒を含み締まっている。
 - 黄褐色(10YR5/6)のマンガン重ねを含む。
 - 黄褐色(2.5Y4/1)のきめ細かい砂層で粘質感あり、黄褐色(10YR5/6)のマンガン重ねを含む。6層同じだが砂質感が強い。
 - 暗灰黄色(2.5Y5/2)に明褐色(7.5YR5/6)の鉄分の重ね合む。砂質感ある弱粘質土。
 - 黄褐色(2.5Y4/1)の砂層で構成され砂層で締まっている。
 - 灰白色(2.5Y4/1)粘質土にオリーブ灰色(5GY6/1)砂層が幾度にも重なる。
 - 灰色(10Y5/1)弱粘質土で砂質感あり。赤褐色(5YR4/8)鉄分の重ね合む。
 - ①暗黄褐色(2.5Y5/2)弱粘質土で砂質感あり締まっている。②灰色(5Y8/1)のきめ細かい砂粒を含む。③15~16層、灰白色の方を多く含む。④15~16層、砂質感が強い。⑤15~16層、暗灰黄色が強くきめ細かい砂質感あり。
 - 灰色オリーブ色(5Y5/2)きめ細かい砂質で締まっている。又一部に橙色の(7.5YR6/8)のきめの粗い砂を含む。
 - 暗オリーブ灰(5GY4/1)きめ細かい砂層で締まっている。

- 南北ペルト西面③土色
- 褐灰色(7.5YR6/1)と明褐色(7.5YR5/8)が混じる粘質土で細かな砂粒を含み締まっている。
 - にぶい黄褐色(10YR4/3)と黄灰色(2.5YR5/1)の砂層が混じり合い締まっている。
 - 暗灰黄色(2.5Y5/2)に褐色(10YR4/6)の鉄分の重ねを含み砂質で締まっている。
 - 褐灰色(7.5YR5/1)弱粘質土であるが締まっている。2mm程の砂粒を含む。
 - 黄褐色(2.5Y6/1)に黄褐色(10YR5/6)の5mm程の粒が混じる粘土質で細かな砂粒を含み締まっている。
 - 黄褐色(10YR5/6)のマンガン重ねを含む。
 - 黄褐色(2.5Y4/1)のきめ細かい砂層で粘質感あり、黄褐色(10YR5/6)のマンガン重ねを含む。6層同じだが砂質感が強い。
 - 暗灰黄色(2.5Y5/2)に明褐色(7.5YR5/6)の鉄分の重ね合む。砂質感ある弱粘質土。
 - 黄褐色(2.5Y4/1)の砂層で構成され砂層で締まっている。
 - 灰白色(2.5Y4/1)粘質土にオリーブ灰色(5GY6/1)砂層が幾度にも重なる。
 - 灰色(10Y5/1)弱粘質土で砂質感あり。赤褐色(5YR4/8)鉄分の重ね合む。
 - ①暗黄褐色(2.5Y5/2)弱粘質土で砂質感あり締まっている。②灰色(5Y8/1)のきめ細かい砂粒を含む。③15~16層、灰白色の方を多く含む。④15~16層、砂質感が強い。⑤15~16層、暗灰黄色が強くきめ細かい砂質感あり。
 - 灰色オリーブ色(5Y5/2)きめ細かい砂質で締まっている。又一部に橙色の(7.5YR6/8)のきめの粗い砂を含む。
 - 暗オリーブ灰(5GY4/1)3~5mm程の砂粒を含み強粘質土で締まっている。

東 EP



WP 西



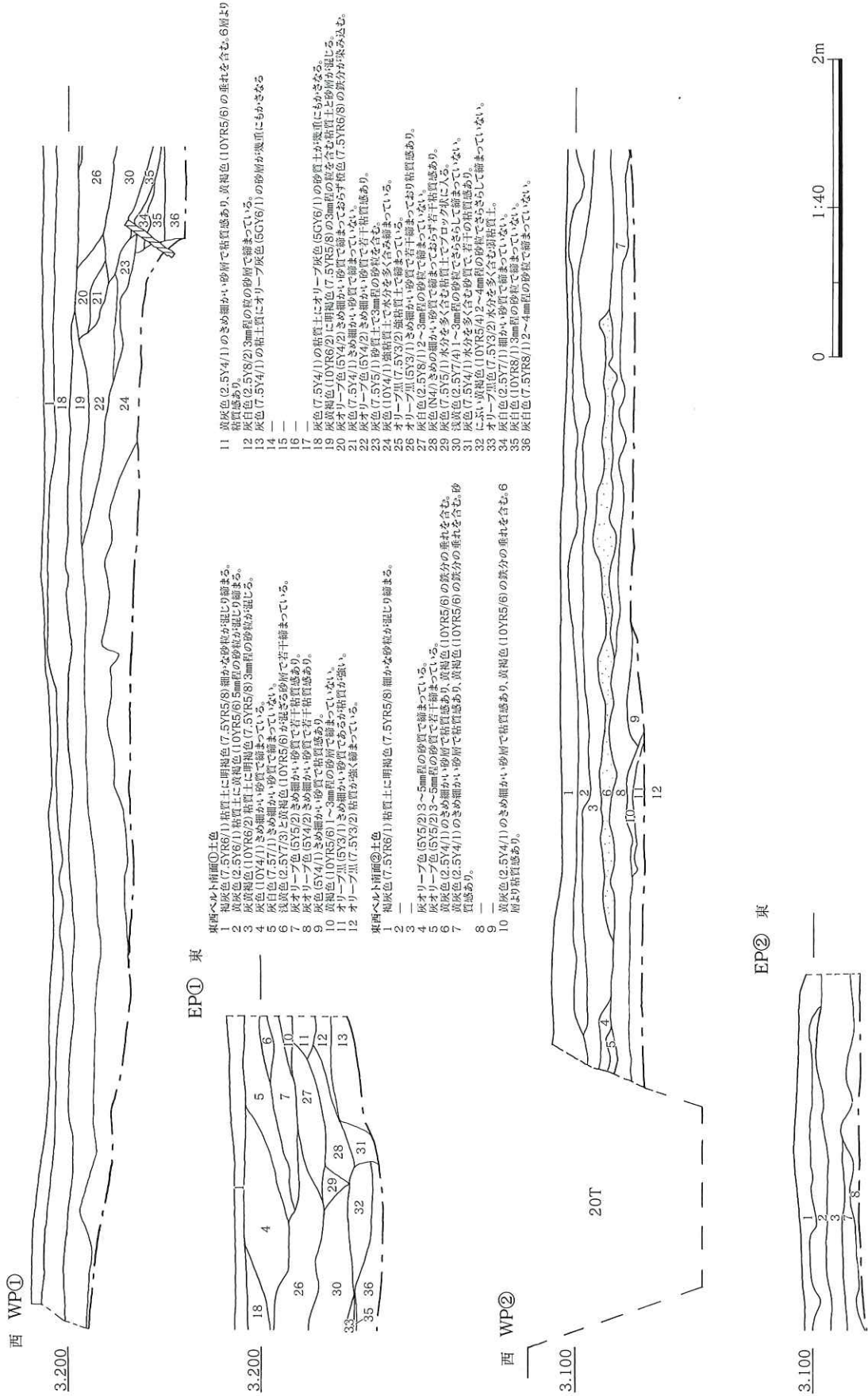
B区内 東西ペルト北面土色

- 褐灰色(7.5YR6/1)に、ぶい黄褐色(10YR5/8)が混じる。細かな砂粒を含む粘質土で締まっている。
- 黄灰色(2.5Y6/1)に黄褐色(10YR5/6)5mm程の砂粒が混じる。粘質土で細かな砂粒を含み締まっている。
- 灰黄褐色(10YR6/2)に明褐色(7.5YR5/8)の鉄分の染み込みあり。断続灰色(7.5GY4/1)粘質土で締まっている。微量の砂粒を含む。
- 灰黄褐色(10YR6/2)に明褐色(7.5YR5/8)3mm程の砂粒を含む粘質土と砂層が混じる。
- 暗灰色(N3/)強粘質土で締まっている。
- オリーブ灰(2.5GY5/1)に、ぶい赤褐色(5GY4/4)の3~5mm程の砂粒を含む強粘質土で締まっている。
- 黄褐色(2.5Y5/3)砂質感ある弱粘質土に明褐色(7.5YR5/8)の鉄分の染み込みあり。
- 断続灰色(7.5GY4/1)粘質土で締まっている。微量の砂粒を含む。
- 灰黄褐色(10YR6/2)に明褐色(7.5YR5/8)3mm程の砂粒を含む粘質土と砂層が混じりあう。
- 灰オリーブ色(5Y4/2)きめ細かい砂層で締まっている。

- 灰(5Y5/1)きめ細かい砂層で締まっている。
- にぶい黄褐色(10YR5/3)3~5mm程の砂層で締まっている。
- 浅黄色(2.5Y7/4)砂層で締まっている。
- 灰(5Y5/1)きめ細かい砂層で締まっている。

0 1:40 2m

第21図 調査区内土層断面図(2) B区内東西方向



第22図 調査区内土層断面図（3） 東西方向

第2節 遺構

遺構 (第19~22図 図版-3)

調査区中央部より北側のA区とB区が川原遺跡、南側のC区とD区が紺町遺跡である。両遺跡に連続する水田関連遺構であるため連番で番号を付している。主な遺構は水田、畦状隆起、溝、杭列である。

1. 水田1面 (第23図 図版-8・9)

(1) 水田 (第24図)

水田1面では水田を5面確認した。各水田面の状態を断面図をもとに報告する。水田床面の高低差は調査時にレベリングした数値を50cm四方で平均値を算出し、その後1m四方で平均値を算出した。この差を矢印にて表現した。

S-1

水田はA区とB区に位置する。東側S-7、南側S-6(北)、西側S-8の畦状遺構に囲まれている。西側は畦状遺構S-8を造成するため水田内の土が盛られたようで、溝状に落ち込みが確認された。S-6(北)とS-8の畦状遺構の間は切れており、西側から水田に向けて約9cm下がっており、水の取り入れ口と考えられる。

水田床面の高低差は、A区とB区の境目付近の中央部が低く、北側に低い。

S-2

B区に位置し、北側S-7、南側S-6の畦状遺構に囲まれている。北側は畦状遺構S-7を造成するため水田内の土が数回にわたり盛られたようで、溝状の落ち込みが3本確認された。

水田床面の高低差は、東部は西側から東側に低く、北側に低い。西部は東側から西側に低く、北側に低い。

S-3

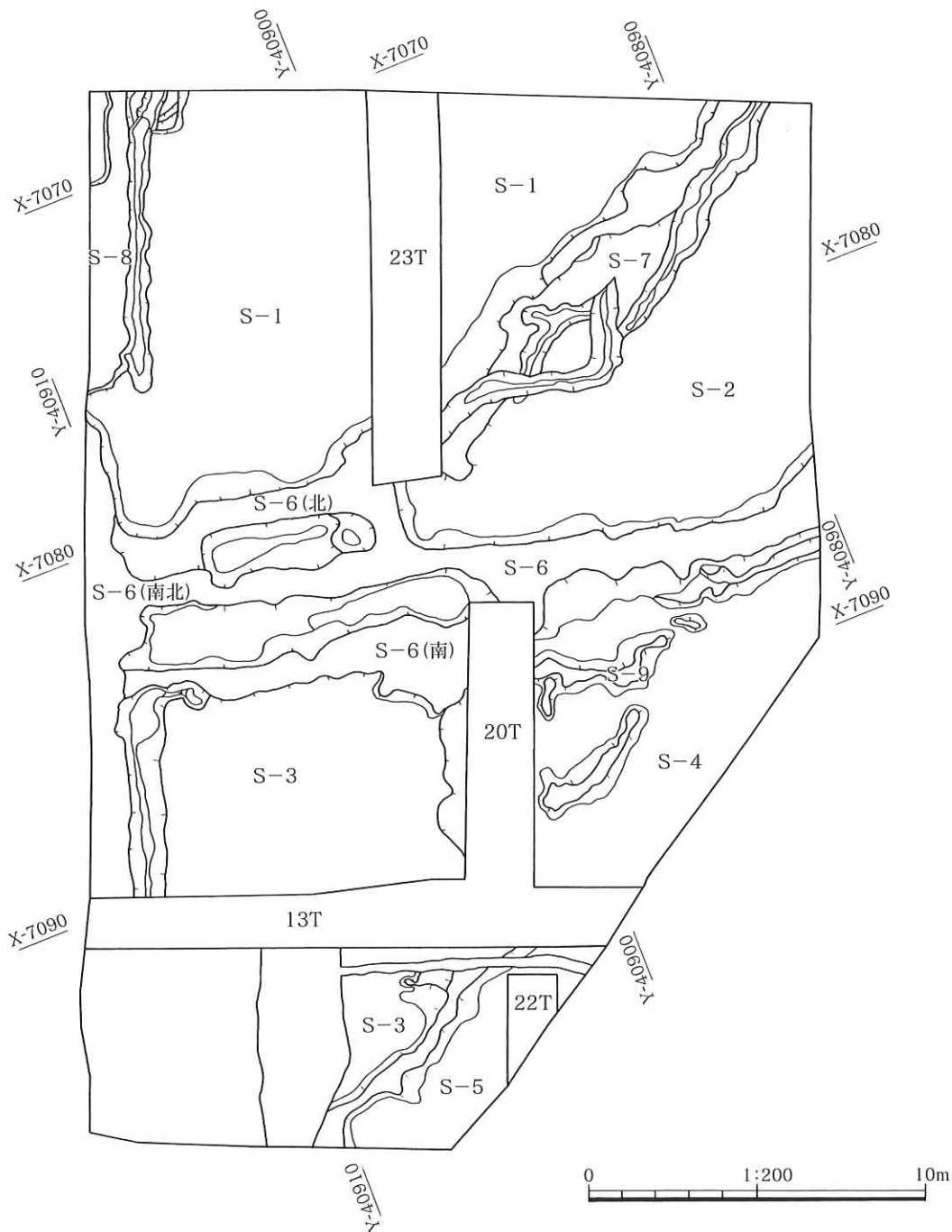
D区に位置し、北側S-6(南)、西側S-6(北南)の畦状遺構に囲まれている。東側と南側は試掘調査時に掘削されているが畦状遺構等は検出されていない。

水田床面の高低差は、西側から東側に低く、中央部が低い。

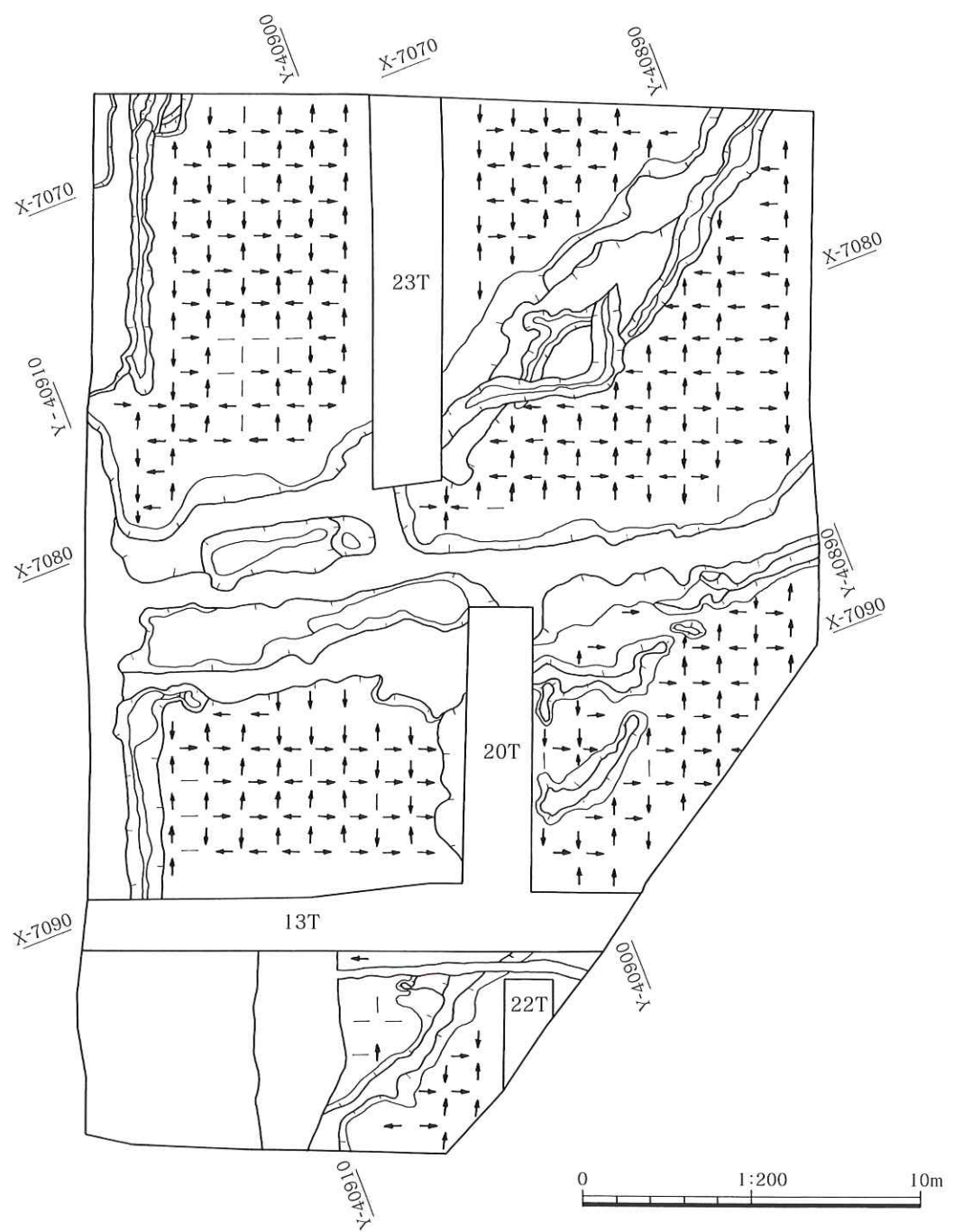
S-4

C区に位置し、北側にS-6があり、水田内にも弱い隆起ではあるが畦状遺構のS-9、S-10が存在する。東側は調査区外で畦状遺構は検出されていない。

水田床面の高低差は、西側から東側に低く、北側に低い。



第23図 遺構配置図 (水田1)



第24図 水田床面高低図（水田1）

S-5

C区とD区に位置し、北側にS-11があり、東と南は調査区外で畦状遺構等は検出されていない。

水田床面の高低差は、西側から東側に低く、北側に低い

(2) 畦状遺構 (第25~27図)

各水田を取り囲むように施工されており、計6本の畦状遺構が検出された。断面の状況を基に報告を行う。

S-6 (第26図)

A・B区とC・D区間に位置し東西方向を主とする。その北側、南側に沿うように畦状の隆起がある。また、主とする畦状遺構の西側で直交する北南にのびる畦状遺構が検出された。

断面8-8'

上幅約115cm、下幅約210cm、高さは北側水田S-2より約10cm高く、南側水田S-4より約21cm高い。畦は北側に緩やかに高くなる。

断面9-9'

上幅約123cm、下幅約175cm、高さは北側水田S-2より約1cm高く、南側水田S-4より約21cm高い。北側の水田S-2と畦状遺構の境は弱く、南側水田S-4は緩やかに南側に下がる。

断面10-10'

上幅約104cm、下幅約182cm、高さは北側水田S-2より約5cm高く、南側水田S-4より約18cm高い。北側水田S-2と畦状遺構は高低差があまりない。畦状遺構から南側水田S-4にむけて緩やかに落ち、途中に段が付く。

断面14-14'

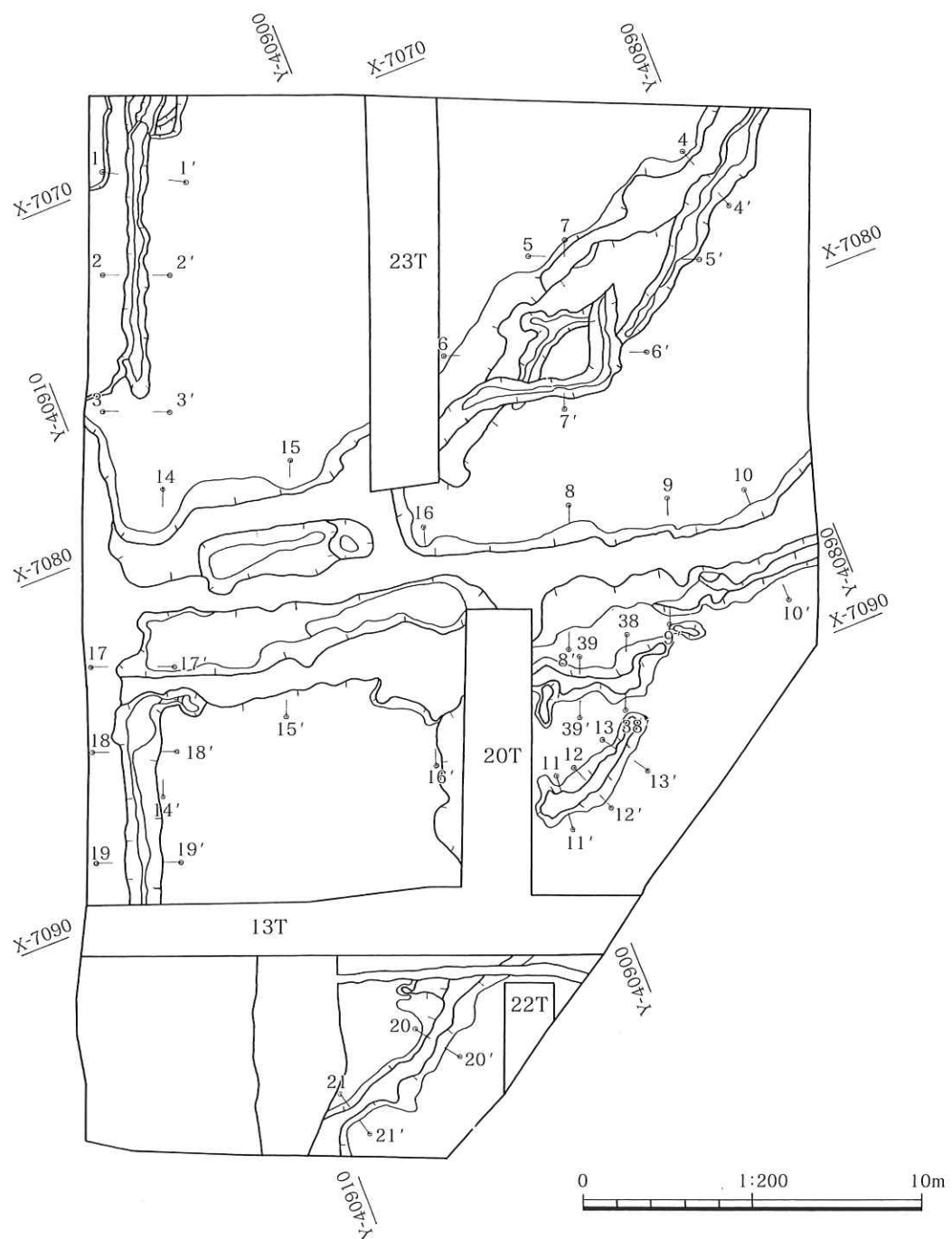
S-6(北)は上幅約140cm、下幅約270cm、高さは北側水田S-1より約10cm高く、中央部落ち込みより約2cm高い。北側水田S-1より中央部落ち込みは約8cm低い。S-6(南)は上幅約57cm、下幅約82cm、高さは中央部落ち込みより約12cm高く、南側水田S-3より約2cm高い。中央部落ち込みは南側水田S-3より約12cm低い。

断面15-15'

S-6(北)は上幅約90cm、下幅約110cm、高さは北側水田S-1より約5cm高い。隣接して南側に浅い落ち込みあり。中央部畦状遺構S-6は上幅約84cm、下幅約200cm、高さは北側水田S-1より約6cm高く、南側水田S-3より約2cm高い。水田と畦状遺構の高低差は小さい。S-6(南)は上幅約100cm、下幅約130cm、高さは北側水田S-1より約6cm高く、南側水田S-3より約2cm高い。全体は北側から南側に高くなっている。

断面16-16'

S-6は上幅約80cm、下幅約110cm、高さは北側水田S-2より約8cm高く、南側の落ち込みより約6cm高い。S-6(南)の北側に接して約2cm低い落ち込みがある。S-6(南)は



第25図 断面位置図

上幅約270cm、下幅約300cm、高さは北側落ち込みより約8cm高く、南側水田S-3より約10cm高い。北側水田S-2より南側水田S-3は約4cm高い。

S-6(北) (図26図)

畦状遺構はA区南側に位置し東西方向に延びている。

断面14-14'

S-6(北)は上幅約140cm、下幅約270cm、高さは北側水田S-1より約10cm高く、中央部落ち込みより約2cm高い。北側水田S-1より中央部落ち込みは約8cm低い。S-6(南)は上幅約57cm、下幅約82cm、高さは中央部落ち込みより約12cm高く、南側水田S-3より約2cm高い。中央部落ち込みは南側水田S-3より約12cm低い。

断面15-15'

S-6(北)は上幅約90cm、下幅約110cm、高さは北側水田S-1より約5cm高い。隣接して南側に浅い落ち込みあり。S-6は上幅約84cm、下幅約200cm、高さは北側水田S-1より約6cm高く、南側水田S-3より約2cm高い。水田と畦状遺構の高低差は小さい。S-6(南)は上幅約100cm、下幅約130cm、高さは北側水田S-1より約6cm高く、南側水田S-3より約2cm高い。全体は北側から南側に高くなっている。

S-6(南) (図26図)

D区北側に位置し、東西方向に延びている。

断面14-14'

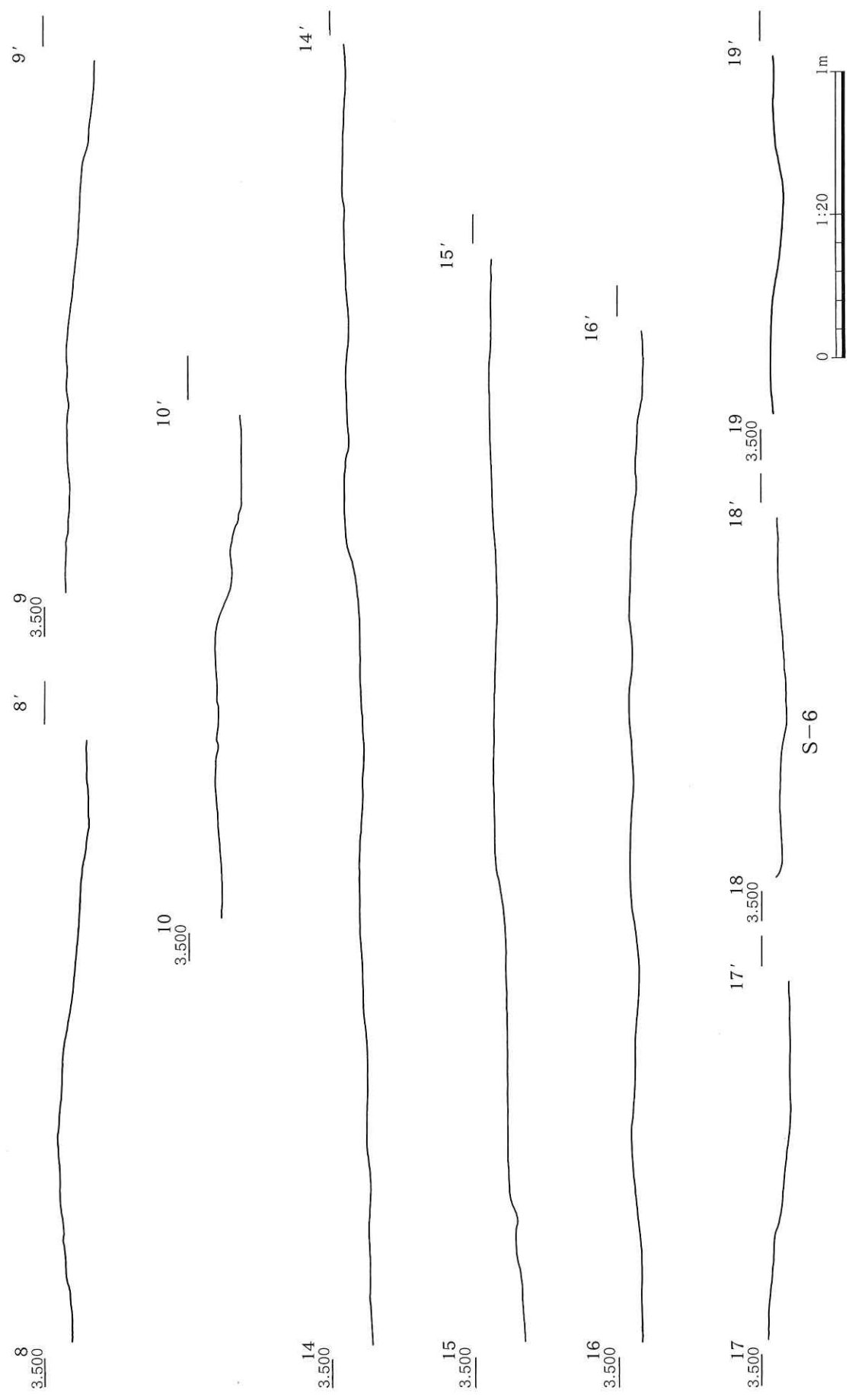
北側S-6(北)は上幅約140cm、下幅約270cm、高さは北側水田S-1より約10cm高く、中央部落ち込みより約2cm高い。北側水田S-1より中央部落ち込みは約8cm低い。南側S-6(南)は上幅約57cm、下幅約82cm、高さは中央部落ち込みより約12cm高く、南側水田S-3より約2cm高い。中央部落ち込みは南側水田S-3より約12cm低い。

断面15-15'

S-6(北)は上幅約90cm、下幅約110cm、高さは北側水田S-1より約5cm高い。隣接して南側に浅い落ち込みあり。中央部畦状遺構S-6は上幅約84cm、下幅約200cm、高さは北側水田S-1より約6cm高く、南側水田S-3より約2cm高い。水田と畦状遺構の高低差は小さい。南側畦状遺構S-6(南)は上幅約100cm、下幅約130cm、高さは北側水田S-1より約6cm高く、南側水田S-3より約2cm高い。全体は北側から南側に高くなっている。

断面16-16'

S-6は上幅約80cm、下幅約110cm、高さは北側水田S-2より約8cm高く、南側の落ち込みより約6cm高い。畦状遺構S-6(南)の北側に接して約2cm低い落ち込みがある。S-6(南)は上幅約270cm、下幅約300cm、高さは北側落ち込みより約8cm高く、南側水田S-3より約10cm高い。北側水田S-2より南側水田S-3は約4cm高い。



第26図 眇状遺構断面図 (1) S-6

S-6 (南北) (第26図)

A区の南西とD区西側に位置し、南北方向に延びている。

断面17-17'

西側が調査区外のため確認出来た畦状遺構は上幅約73cm、下幅約12cm、高さは東側落ち込みより16cm高い。

断面18-18'

西側が調査区外のため確認出来た畦状遺構は上幅約86cm、下幅約105cm、高さは溝状落ち込みより約4cm高く、東側水田S-3より約1cm高い。溝状落ち込みは畦状遺構より約4cm低く、水田S-3より約5cm低い。

断面19-19'

西側が調査区外のため確認できた畦状遺構は上幅約65cm、下幅約130cm、高さは溝状落ち込みより約10cm高く、東側水田S-3より約3cm高い。溝状落ち込みは上幅約110cm、底幅約25cm、深さ約7cmである。

S-7 (図27図)

B区に位置し、北東から南西方向に延びる。

断面4-4'

上幅約73cm、下幅約100cm、高さは北西側水田S-1より約6cm高く、南東側水田S-2より約2cm高い。畦状遺構の東側に隣接する溝状落ち込みは上幅約75cm、底幅約17cm、深さ約3cmである。北西側水田S-1より南東側水田S-2は約5cm低い。

断面5-5'

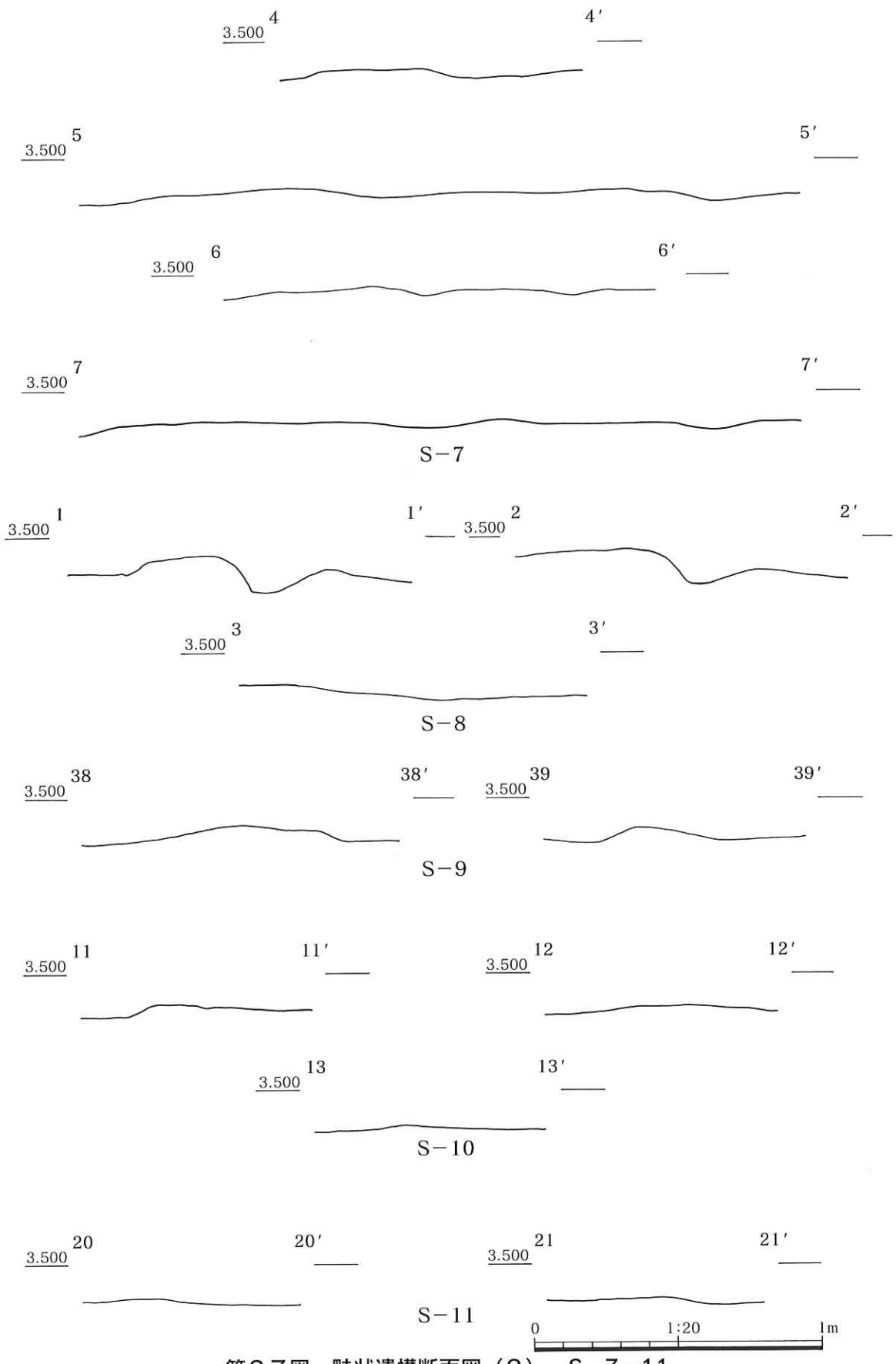
上幅約80cm、下幅約126cm、高さは西側水田S-1より約11cm高く、中央部畦状遺構より約5cm高い。中央部畦状遺構東側に隣接する溝状落ち込みは上幅約75cm、底幅約15cm、深さは東側水田S-2より約6cm深い。

断面6-6'

畦状遺構は上幅約80cm、下幅約120cm、高さは西側水田S-1より約9cm高く、中央部水田床面より約3cm高い。西側構状落ち込みは上幅約30cm、底幅約7cm、深さは中央部水田床面より約5cm深い。東側の溝状落ち込みは上幅約45cm、底幅約7cmで中央部水田と東側の溝より約4cm深い。

断面7-7'

上幅約95cm、下幅約185cm、高さは北側水田S-1より約9cm高く、中央部畦状遺構より約3cm高い。中央部の溝状落ち込みは畦状遺構より約4cm低く、中央部水田床面より約2cm低い。南側溝状落ち込みは中央部水田床面より約5cm低く、南側水田S-2より約6cm低い。中央部水田床面は東側水田S-2より約2cm低い。



第27図 畦状遺構断面図(2) S-7~11

S-8 (第27図)

A区西側に位置し、南北方向に延びている。

断面1-1'

上幅約50cm、下幅約83cm、高さは西側の水田と思われる面より約10cm高く、東側水田S-1より約18cm高い。畦状遺構東側に接する溝状落ち込みは上幅約60cm、東側水田S-1より7cm深い。

断面2-2'

西側が調査区外のため全容は不明であるが、上幅102cm以上、下幅120cm以上、高さは東側水田S-1より約23cm高い。東側に接する溝状落ち込みは上幅約55cm、底幅約13cm、深さ約11cmである。溝状落ち込みと東側水田S-1の間に若干隆起がある。

断面3-3'

S-6とS-8の畦状遺構が切れている部分で、水の取り入れ口か排出口が想定される。床面高低差では、西側から東側（水田側）に低くなり高低差は約9cmである。よって、水の取り入れ口と考えられる。

S-9 (第27図)

C区の北側に位置し、S-4水田面に島状に延びている。

断面38-38'

上幅約56cm、下幅約150cm、高さは北側水田S-4より約12cm高く、南側水田S-4より約11cm高い。北側水田は南側より1cm低い。

断面39-39'

上幅約35cm、下幅約85cm、高さは北側水田S-4と南側水田S-4は同じ高さだが、水田S-4は水田中央に向けて若干高くなる。

S-10 (第27図)

C区の北側に位置し、S-9と並行するよう東西方向に延びており、S-4水田面に島状にある。

断面11-11'

上幅約55cm、下幅約90cm、高さは北側水田S-4より約9cm高く、南側水田より約3cm高い。北側水田は南側より5cm低い。

断面12-12'

上幅約42cm、下幅約124cm、高さは北側水田S-4より約7cm高く、南側水田より約5cm高い。北側水田は南側より約2cm低い。

断面13-13'

上幅約20cm、下幅約65cm、高さは北側水田S-4より約5cm高く、南側水田より2cm低い。

S-11 (第27図)

D区の南端に位置し、北東から南西方向に延びており、S-3とS-5の水田面に挟まれる。

断面20-20'

上幅約25cm、下幅約89cm、高さは西側水田S-3より約3cm高く、東側水田S-5より約6cm高い。西側の水田S-3は東側の水田S-4より約3cm高い。

断面21-21'

上幅約26cm、下幅約65cm、高さは西側水田S-3より約3cm高く、東側水田S-5より約2cm高い。

2. 水田2面 (第28図 図版-10・11)

(1) 水田 (第29図)

水田2面では水田を6面確認した。各水田面の状態を断面図を基に報告する。

S-12

水田はA区とB区の北側に位置する。南側S-19、東側S-19、-21、西側S-20の畦状遺構に囲まれる。

水田床面の高低差は、西側に低くなる。

S-13

水田はA区とB区に位置する。北側S-19、南側S-21、東側S-21、西側S-19、-20の畦状遺構に囲まれる。

水田床面の高低差は、中央部分が低く、南側が低い。

S-14

水田はA区とB区に位置し、一部D区に位置する。北側S-21、南側S-23、西側S-22に囲まれる。

水田床面は中央部分から南北に低くなる。

S-15

水田はB区に位置する。北側S-24、南側S-25の畦状遺構に囲まれる。東側は調査区外で畦状遺構等は検出されていない。

水田床面は南側から北側に低くなる。

S-16

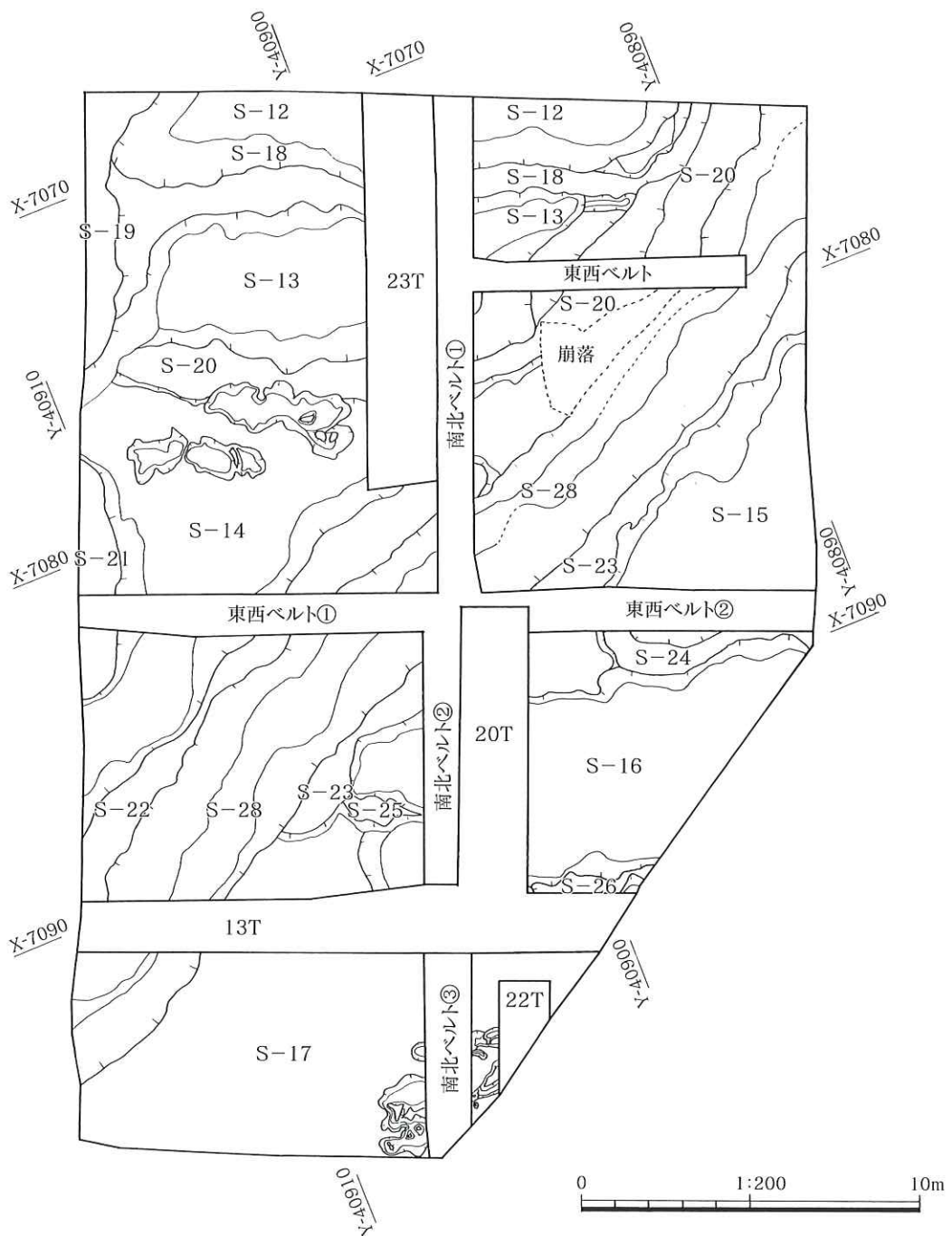
水田はC区に位置し、一部D区に位置する。北側S-25、南側S-28、西側S-26、-24の畦状遺構に囲まれる。

水田床面の高低差は、北側から南側に低く、東側から西側に低くなる。

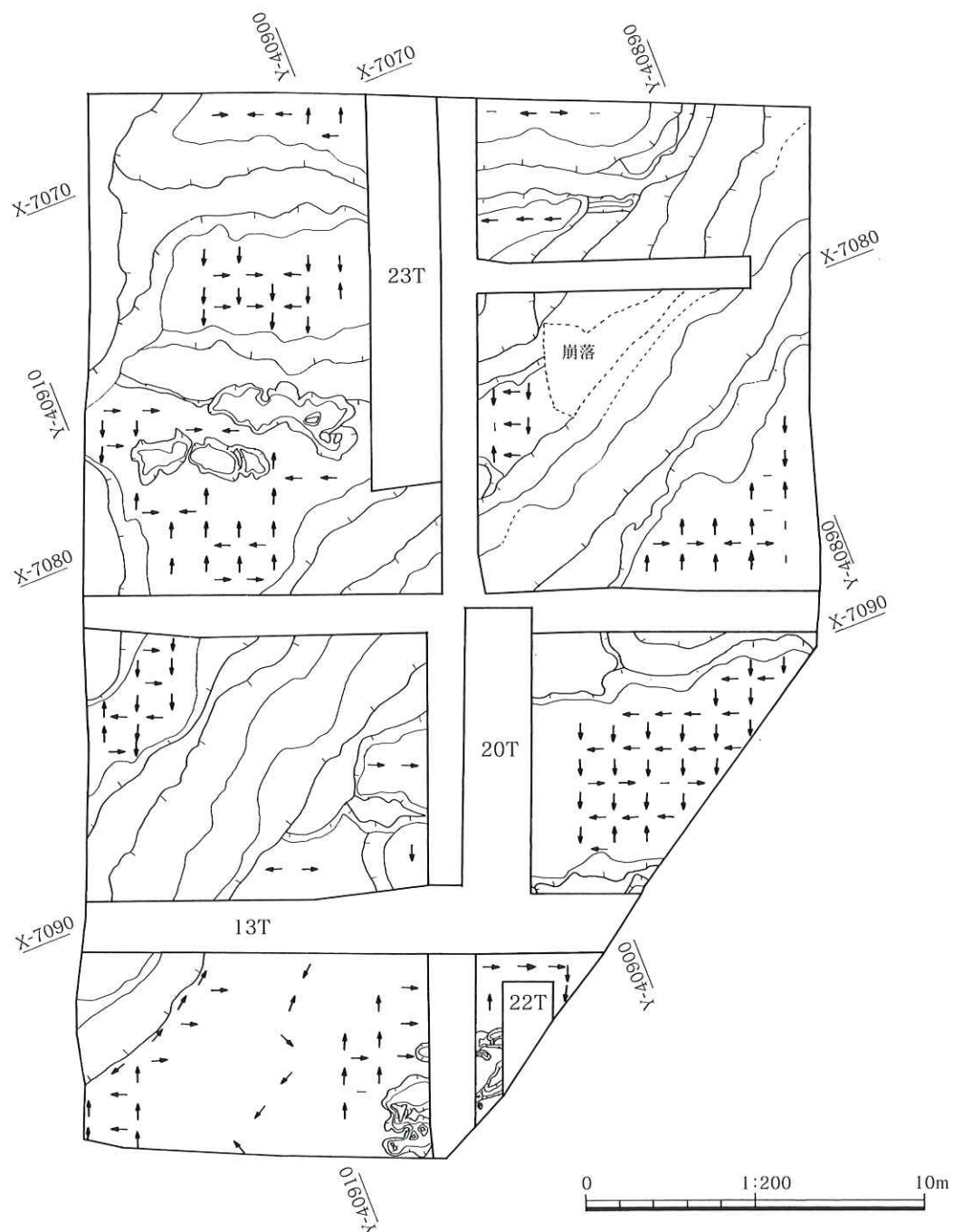
S-17

水田はC区とD区に位置する。周囲には畦状遺構はない。東側水田床面の高低差は南側から北側に低く、西側から東側に低い。西側水田床面の高低差は、東部は南側が低くなり、西部は北側に低くなる。

西側には調査区を北東から南西に流れるS-28の溝がある。水田面は溝側が高く東側が低くなっている、畦は造られていない。杭列が検出されており、畦のかわりに杭列を用いたと考えられる。



第28図 遺構配置図 (水田2)



第29図 水田床面高低図（水田2）

(2) 畦状遺構 (第30~33図)

各水田を取り囲むように施工されており、計9本の畦状遺構が検出された。断面の状況を基に報告を行う。

S-18 (第31図)

調査区北側のA・B区に位置し、S-12、S-13の水田に挟まれる。

断面23-23'

上幅約135cm、下幅約260cm、高さは北側水田床面S-12より約20cm高く、南側水田床面S-13より約30cm高い。北側S-12は南側S-13より10cm低い。

断面24-24'

上幅約75cm、下幅約160cm、高さは北側水田床面S-12より25cm高く、溝状落ち込みより4cm高い。溝状落ち込みは上幅約50cm、底幅約15cm、深さ約2cmである。溝状落ち込みより南側は緩やかに高くなる。

S-19 (第31図)

A区の西端に位置し、東から延びるS-18の畦状遺構と交差する。

断面22-22'

上幅110cm以上、下幅185cm以上、高さは東側水田S-13より40cm高い。西側が調査区外のため幅の全長は不明である。水田S-13の間にS-19の段が付いている。大畦の可能性も考えられる。

S-20 (第31図)

調査区北側のA・B区に位置し、S-13、S-14の水田に挟まれる

断面25-25'

上幅約1.7m、下幅約2.2m、高さは西側水田床面S-12より約42cm高い。

断面31-31'

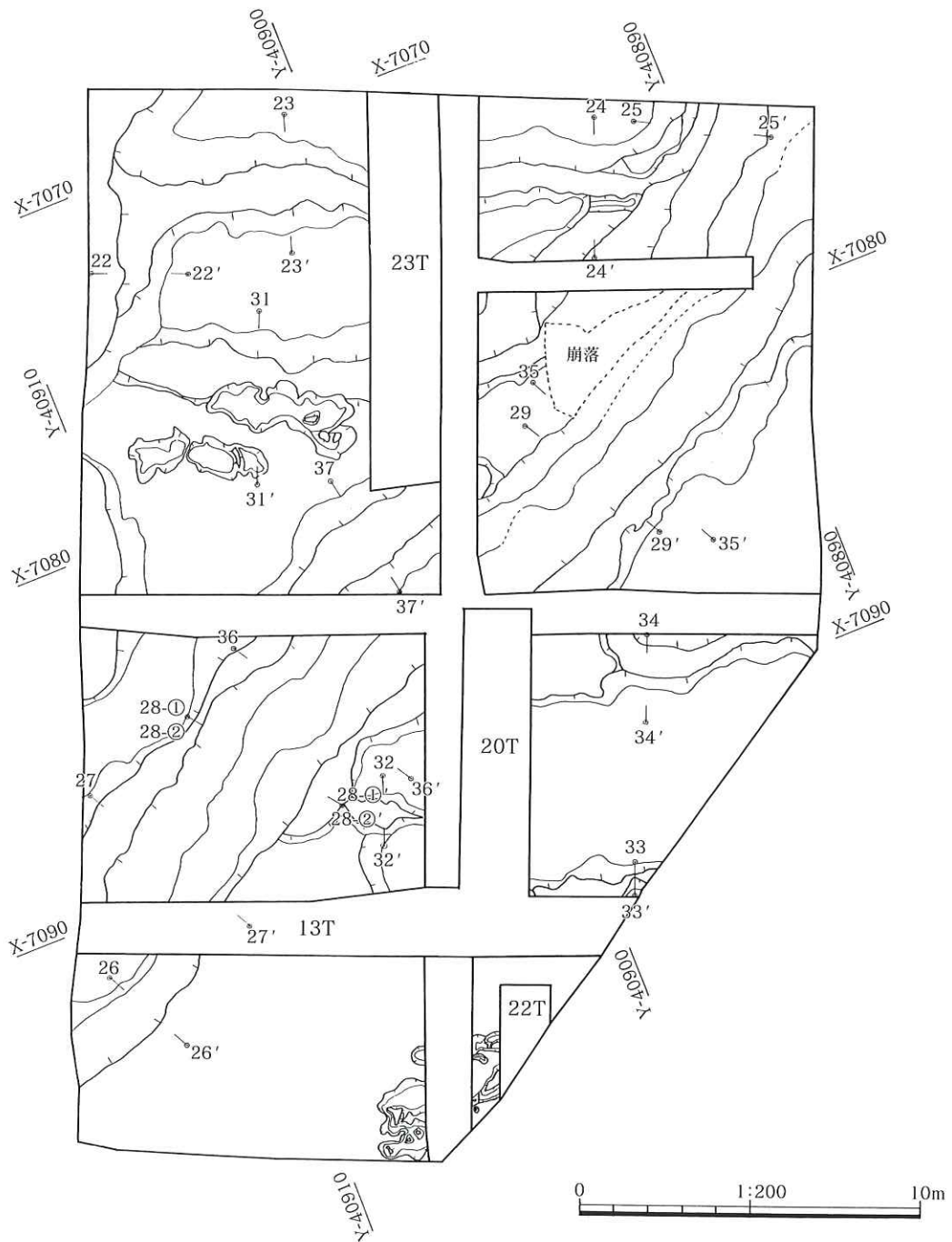
上幅約80cm、下幅約160cm、高さは北側水田床面S-13より14cm高い。畦状遺構南側に隣接して上幅約145cm、底幅約120cm、深さ約11cmの落ち込みがある。幅約50cmの水田床面があり、上幅約85cm、底幅約30cm、深さ約8cmの落ち込みがある。

S-21 (第31図)

調査区西端A・D区の境目近く西側に位置する。上幅60cm以上、下幅2m以上、高さは水田床面S-14より約30cm高い。S-19と一連の畦状遺構と考えられる。

S-22 (第32図)

調査区AからD区にかけて溝S-28に沿って延びている。



第30図 断面位置図

断面27-27'

上幅約135cm、下幅約200cm、高さは南側に隣接する溝S-28の上端より約10cm高い。

断面28-①-28-①'

北側の畦状遺構は上幅約28cm、下幅32cm、北側水田S-14より約5cm高い。溝S-27は上幅約4.4m、底幅は砂層の崩落により計測不能、深さは約60cmである。溝S-28は上幅約3.5m、底幅は砂層の崩落により計測不能、深さは約60cmである。南側の畦状遺構S-24は上幅約80cm、下幅約100cm、高さは南側畦状遺構S-26より3cm高い。

断面30-30'

溝北側に接する畦状遺構は上幅約130cm、下幅約160cm、高さは溝S-28上端より約5cm高い。溝の上幅約8.6m、底幅約5m、深さ約0.7m。砂層が崩落したため計測不能な部分有り。溝の南側に接して水田床面と考えられる面有り。

断面36-36'

溝の北側に接する畦状遺構S-22は上幅約80cm、下幅約150cm、高さは北側水田床面S-14より約2cm高い。溝は上幅約3.3m、底幅約2.1m、深さ約50cm。溝の南側に接する畦状遺構S-23は上幅約30cm、下幅約70cm、高さは南側水田床面S-16より約12cm高い。北側S-14は南側S-16より約12cm高い。

断面37-37'

畦状遺構は上幅約165cm、下幅約220cm、高さは北側水田S-14より約16cm高い。畦状遺構より溝S-28は約21cm低い。

S-23 (第33図)

調査区のB区からD区にかけて溝S-28に沿って延びている。

断面28-①-28-①'

北側の畦状遺構S-22は上幅約28cm、下幅32cm、北側水田床面S-14より約5cm高い。溝S-27は上幅約4.4m、底幅は砂層の崩落により計測不能、深さは約60cmである。南側の畦状遺構S-23は上幅約80cm、下幅約100cm、高さは北側畦状遺構S-22より3cm高い。

断面29-29'

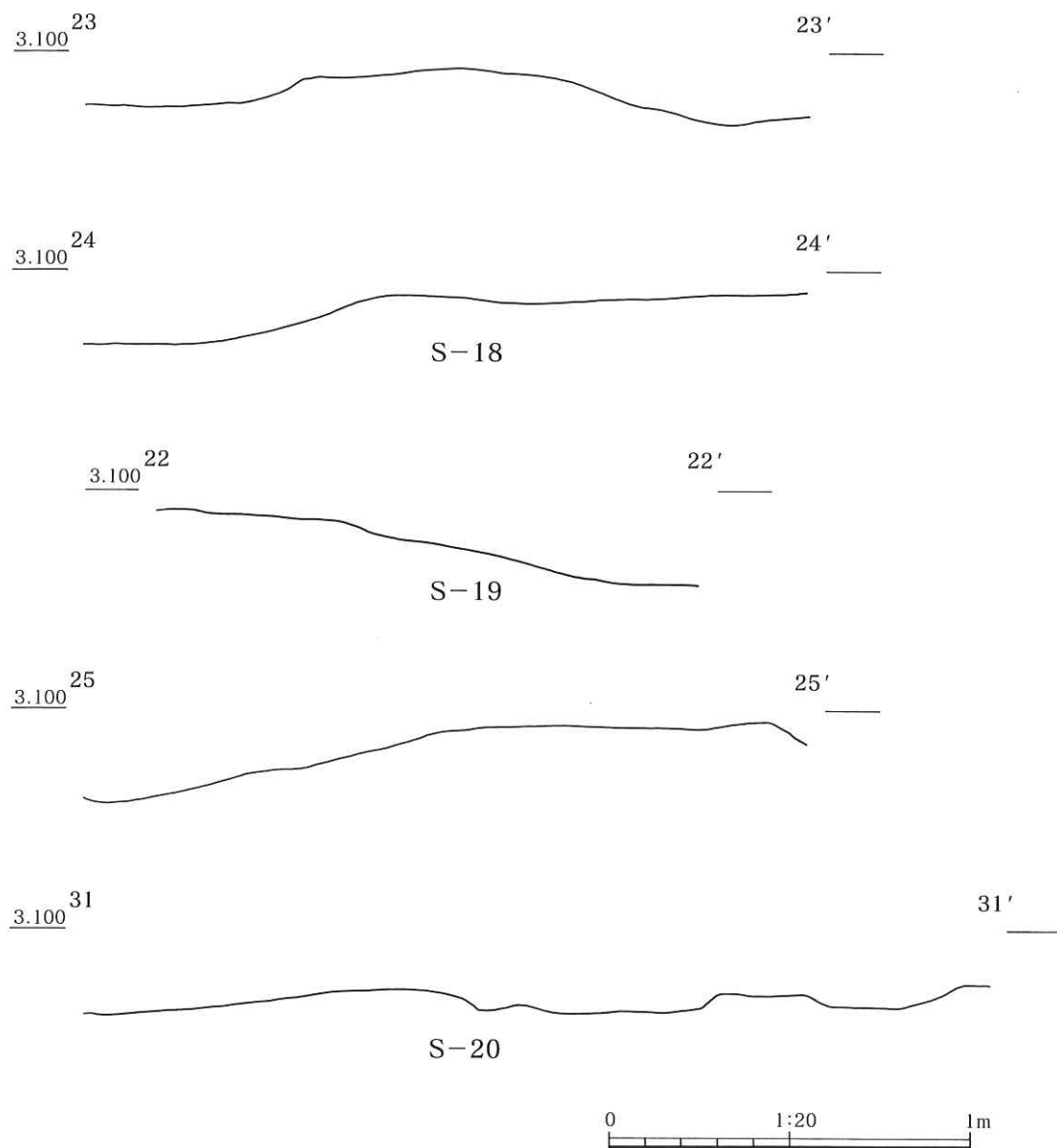
上幅約90cm、下幅約120cm、高さは南側水田床面S-15より9cm高い。溝S-28は上幅約2.7m、底幅約60cm、深さは約75cm。北側S-14は南側S-15より約11cm高い。

断面35-35'

溝S-28は上幅約3.6m、底幅約2.5m、深さ約0.7mで一部砂層の崩落で計測不能である。溝の南側に接する畦状遺構S-15は上幅約75cm、下幅約100cm、高さは南側水田S-15より約7cm高い。北側S-14は南側S-15より約7cm高い。

断面36-36'

溝の北側に接する畦状遺構S-22は上幅約80cm、下幅約150cm、高さは北側水田床面S-14より約2cm高い。溝は上幅約3.3m、底幅約2.1m、深さ約50cm。溝の南側に接する畦状遺



第31図 畦状遺構断面図(1) S-18~20

構S-23は上幅約30cm、下幅約70cm、高さは南側水田床面S-16より約12cm高い。北側S-14は南側S-16より約12cm高い。

S-24 (第33図)

調査区C区に位置し、東西方向に延びる

断面34-34'

上幅約40cm、下幅約80cm、高さは北側水田S-15より2cm高く、南側水田S-16より16cm高い。北側水田S-15は南側水田S-16より14cm高い。

S-25 (第33図)

調査区D区に位置し、S-23の畦状遺構と交差する。

断面32-32'

上幅約75cm、下幅約123cm、高さは北側水田S-16より約5cm高く、南側水田S-17より約9cm高い。北側S-16は南側S-17より4cm高い。

S-26 (第33図)

調査区C区に位置し、水田面S-16に島状に残る。

断面33-33'

上幅約15cm、下幅約70cm、高さは北側水田S-16より約4cm高く、南側水田S-17より10cm高い。

(3) 溝状遺構 (第34図)

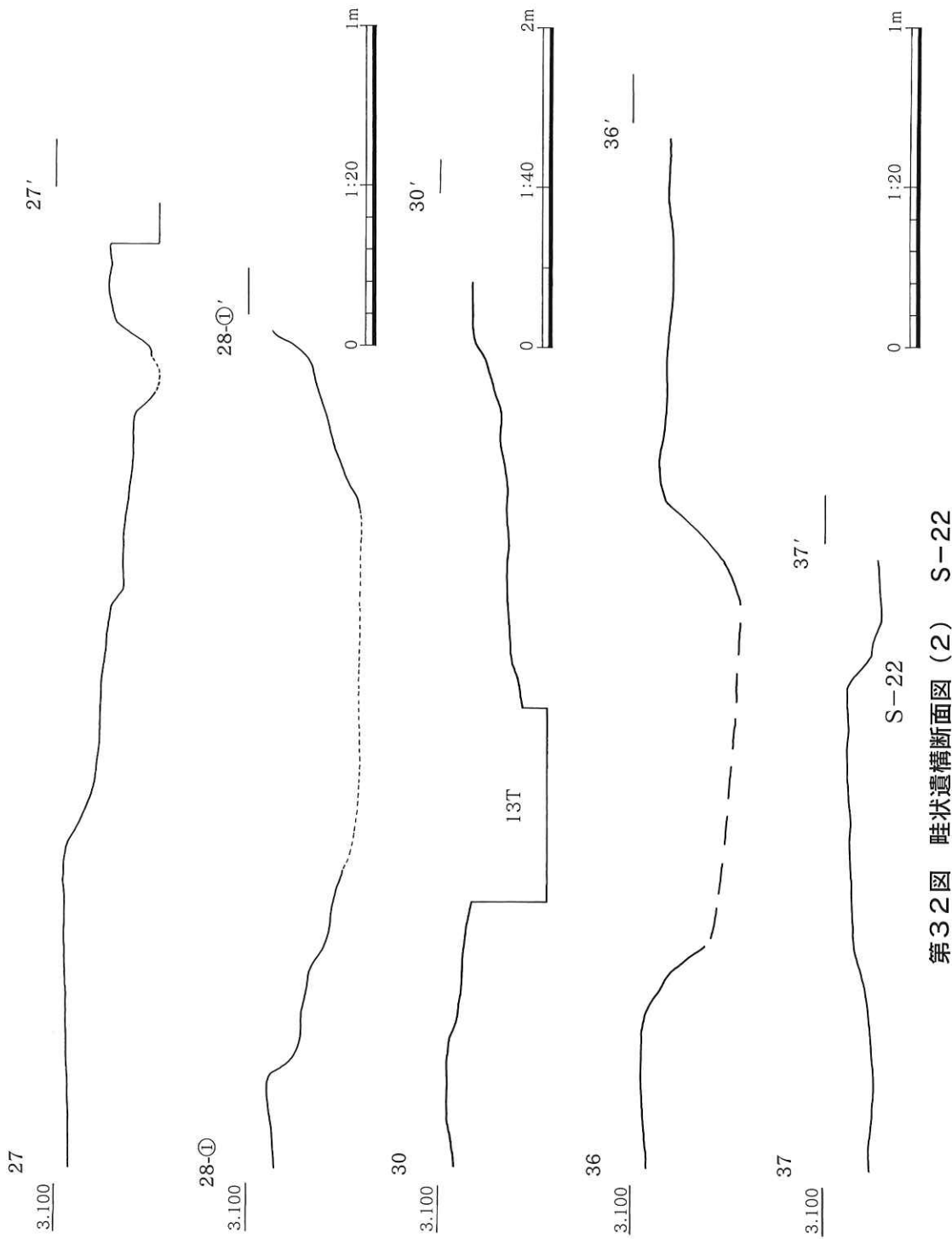
S-27 (第33図)

断面28-②-28-②'

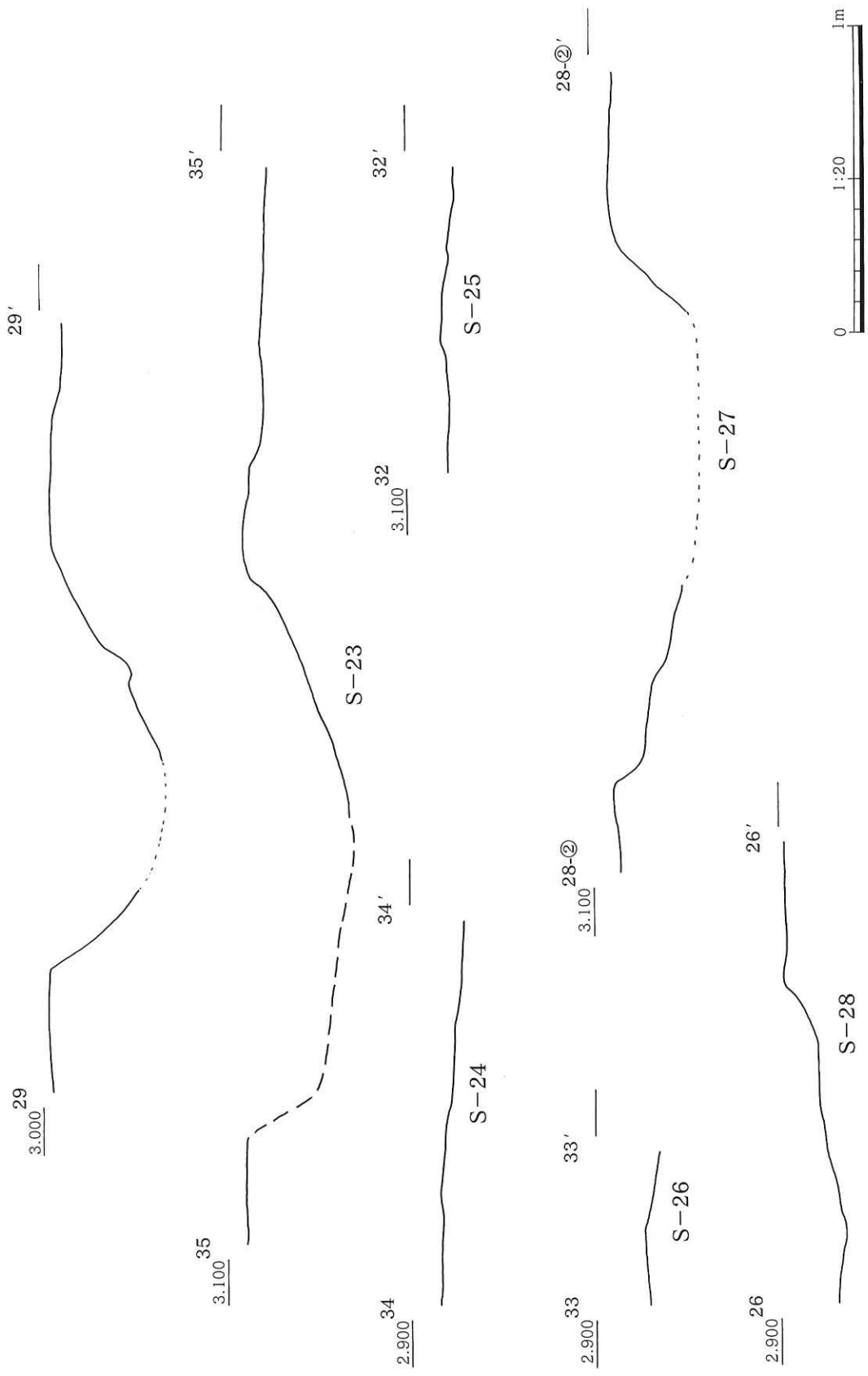
北側の畦状遺構S-22は上幅約28cm、下幅32cm、北側水田S-14より約5cm高い。溝S-27は上幅約4.4m、底幅は砂層の崩落により計測不能、深さは約60cmである。溝S-28は上幅約3.5m、底幅は砂層の崩落により計測不能、深さは約60cmである。南側の畦状遺構S-23は上幅約80cm、下幅約100cm、高さは北側畦状遺構S-22より3cm高い。

断面30-30'

溝北側の畦状遺構S-22は上幅約130cm、下幅約160cm、高さは溝上端より約5cm高い。溝の上幅約8.6m、底幅約5m、深さ約0.7m。砂層が崩落したため計測不能な部分有り。溝の南側に接して水田床面と考えられる面有り。



第32圖 畫狀遺構斷面圖 (2) S-22



第33図 墓状遺構断面図 (3) S-23~28

S-28 (第33図)

断面26-26'

溝南側に水田S-17があり。溝上端と水田S-17の境には一部隆起がある。溝はS-18より約38cm低い。

断面27-27'

畦状遺構S-22は上幅約135cm、下幅約200cm、高さは溝の上端より約10cm高い。

断面28-②-28-②'

北側の畦状遺構S-22は上幅約28cm、下幅32cm、北側水田S-14より約5cm高い。溝S-27は上幅約4.4m、底幅は砂層の崩落により計測不能、深さは約60cmである。溝S-28は上幅約3.5m、底幅は砂層の崩落により計測不能、深さは約60cmである。南側の畦状遺構S-23は上幅約80cm、下幅約100cm、高さは北側畦状遺構S-22より3cm高い。

断面29-29'

溝の南側に接する畦状遺構は上幅約90cm、下幅約120cm、高さは南側水田S-15より9cm高い。溝S-25は上幅約2.7m、底幅約60cm、深さは約75cm。北側水田S-12は南側水田S-13より約11cm高い。

断面30-30'

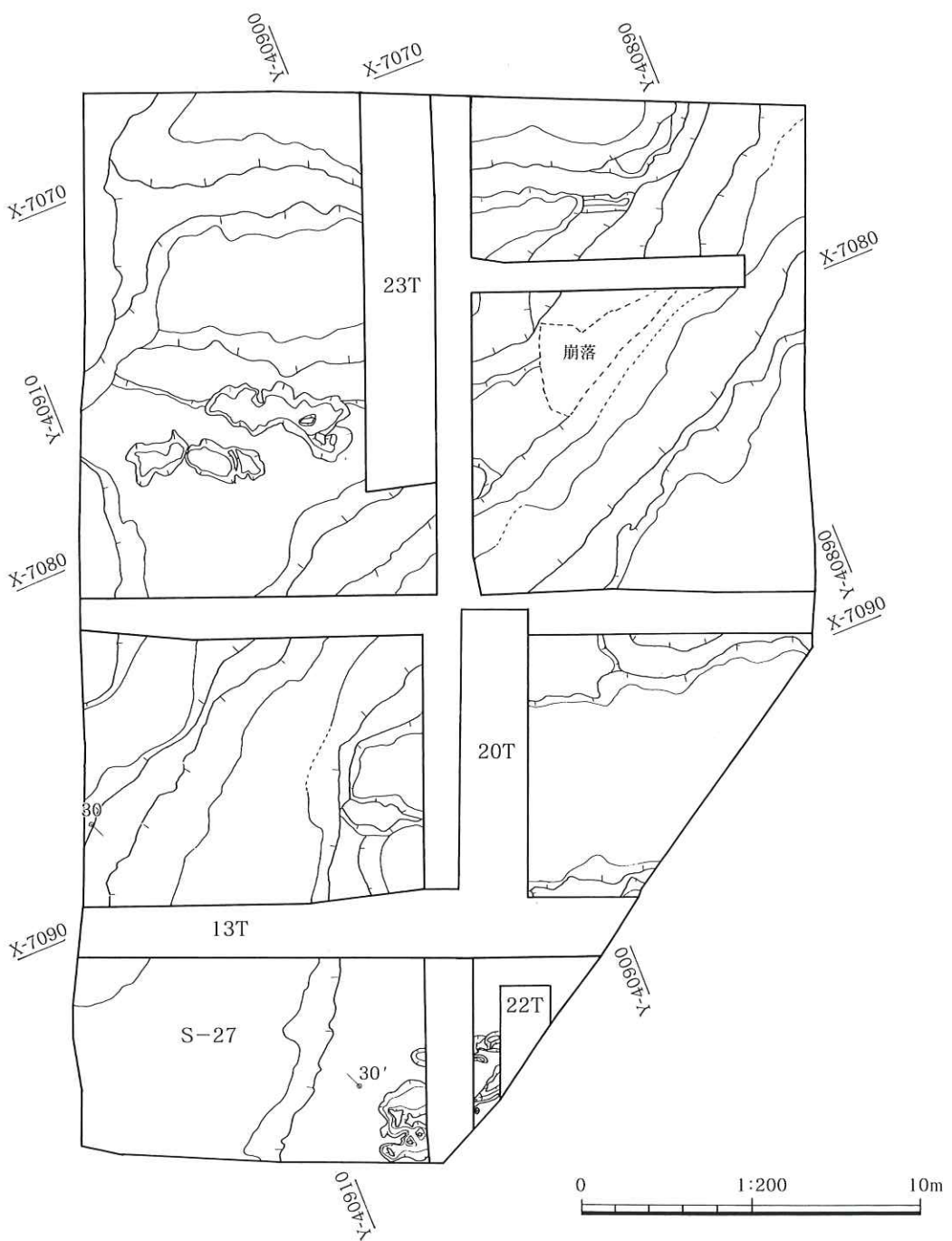
溝北側に接する畦状遺構は上幅約130cm、下幅約160cm、高さは溝上端S-10より約5cm高い。溝の上幅約8.6m、底幅約5m、深さ約0.7m。砂層が崩落したため計測不能な部分有り。溝の南側に接して水田床面と考えられる面有り。

断面35-35'

溝S-10は上幅約3.6m、底幅約2.5m、深さ約0.7mで一部砂層の崩落で計測不能である。溝の南側に接する畦状遺構S-15は上幅約75cm、下幅約100cm、高さは南側水田S-17より約7cm高い。北側水田S-14は南側水田S-15より約7cm高い。

断面36-36'

溝の北側に接する畦状遺構S-22は上幅約80cm、下幅約150cm、高さは北側水田床面S-14より約2cm高い。溝は上幅約3.3m、底幅約2.1m、深さ約50cm。溝の南側に接する畦状遺構S-25は上幅約30cm、下幅約70cm、高さは南側水田床面S-16より約12cm高い。北側S-14水田床面は南側S-16水田床面より約12cm高い。



第34図 溝状遺構(大) S-27

(4) 杭列 (第35図 図版-12~15)

杭列1 (第36図)

D区の水田S-17と溝S-28の境に位置し、東西方向に延びる。この部分には畦状の隆起がないため、水田面の土が崩落しないよう杭列が設置されたと考えられる。杭の間隔は約1mで部分的にその中間に打ち込まれた杭もある。杭の長さは約40~50cmである。列は直線的である。

総数11本の杭が検出され、この中から杭3本の年代測定を行った。時期は13世紀末から15世紀初頭であった。

杭列2 (第36図)

D区の溝S-28の上端付近に位置し、東西方向に延びる。この部分には畦状の隆起はないため、水田面の土が崩落しないよう設置されたと考えられる。杭の間隔は約30~40cmで2~3本1組で打ち込まれている。杭の長さは約90cm、約70cm、40cm以下の3種類である。列は直線的であるが、若干蛇行している。

総数25本の杭が検出され、この中から杭4本の年代測定を行った。時期は13世紀、13世紀末から14世紀であった。

杭列3 (第37図)

調査区D区の溝S-28の底部に位置し、東西方向に延びる。この部分には畦状の隆起はないため、水田面の土が崩落しないよう設置されたと考えられる。溝底部と並行している。杭の間隔は約30cmで北側はその中間に打ち込まれた杭もある。杭の長さは約1m、約70cmで北側部分は約50cmの3種類である。北側の杭は南側の杭よりも少し太めである。列は直線的であるが若干蛇行している。

総数25本の杭が検出され、この中から杭5本の年代測定を行った。時期は13世紀末から14世紀と14世紀から15世紀前半であつた。

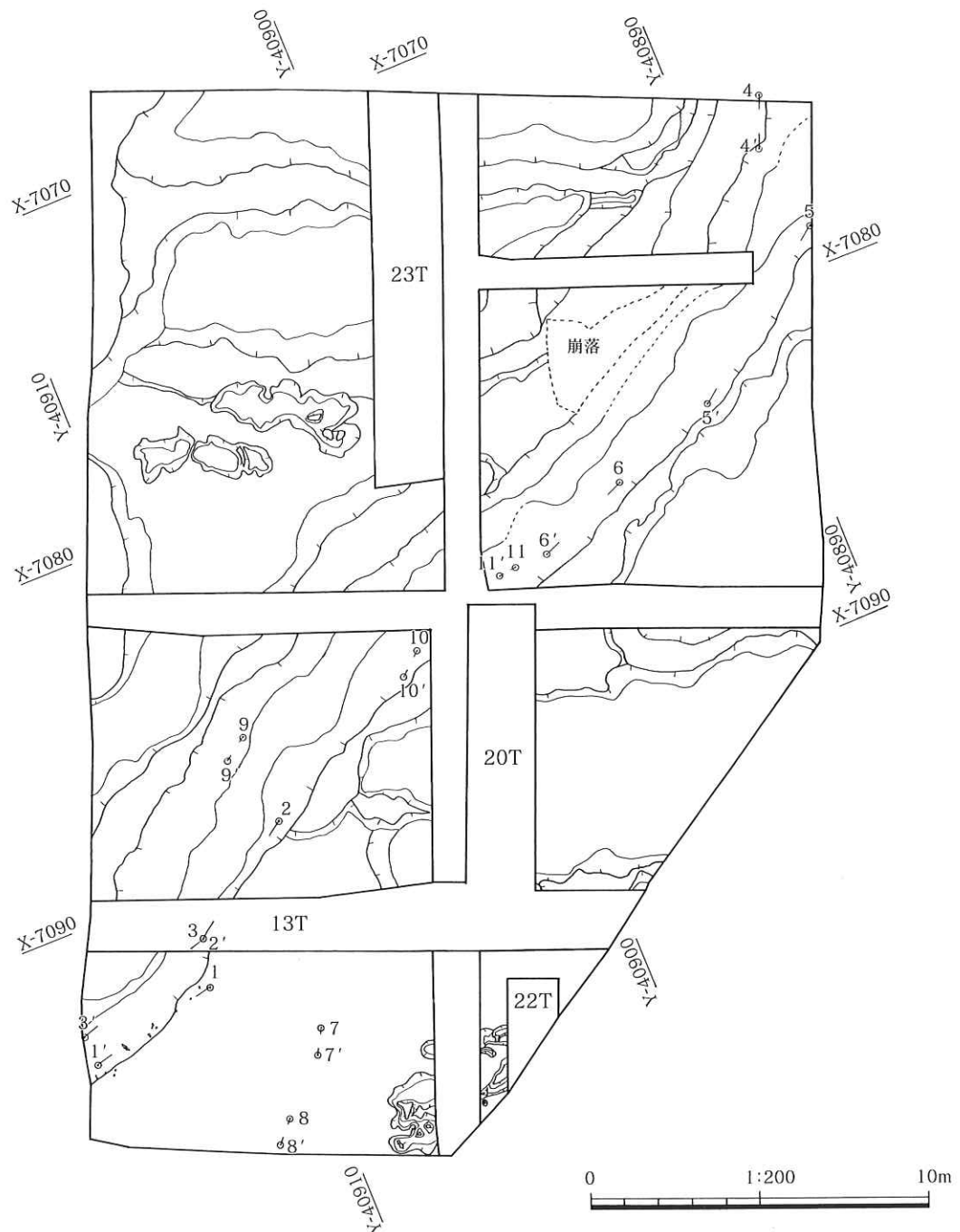
杭列4 (第37図)

調査区B区の溝S-28と畦状遺構S-20の境に位置し、南北方向に延びるが北側が調査区外になるため全容は不明である。畦の土が崩落しないよう設置されたと考えられる。杭の間隔は約40~50cmで打ち込まれている。杭の長さは約65cmで太さはほぼ同じである。列は直線的であるが全容は不明。

総数3本の杭が検出され、この中から杭1本の年代測定を行った。時期は14世紀から15世紀前半であつた。

杭列5 (第38図)

調査区のB区の畦状遺構S-23と溝S-28の境に位置する。畦状遺構に並行しており、畦状に隆起した土が崩落しないよう設置されたと考えられる。杭の間隔は約30~50cmで打ち込まれており、杭は集中していない。杭の長さは約60~80cm、約45cmの2種類である。列の半分より北側の杭は南側より少し太めである。列は波打っており、広いところでは約80cmの幅がある。



第35図 杭列配置図

総数17本の杭が検出され、この中から杭2本の年代測定を行った。時期は14世紀から15世紀前半であった。

杭列6 (第38図)

調査区のB区の畦状遺構S-23と溝S-28の境に位置し、東西方向に延びる。畦状遺構に並行しており、畦状に隆起した土が崩落しないよう設置されたと考えられる。杭の間隔は約50cmで2本1組に打ち込まれている。杭の長さは約40~60cmの1種類である。列内の杭は北・中央・南と3箇所に集中しており、直線的でない。

総数9本の杭が検出され、この中から杭1本の年代測定を行った。時期は14世紀から15世紀前半であった。

杭列7 (第38図)

調査区のD区の溝S-27の上端付近に位置し、杭周辺には南北方向に延びる杭の抜痕が残っており、溝の上端に並行していた。畦状の隆起がないため水田S-19の土が崩落しないよう設置されたと考えられる。列として想定されたが検出された杭の総数は1本である。この杭の年代測定を行った。時期は13世紀末から15世紀初頭であった。

杭列8 (第39図)

調査区のD区の溝S-27の上端付近に位置し、杭周辺には東西方向に延びる杭の抜痕が残っており、溝上端に並行していたと考えられる。水田S-17の土が崩落しないよう設置されたと考えられる。列として想定していたが検出された杭の総数は1本である。この杭の年代測定を行った。時期は13世紀末から15世紀初頭であった。

杭列9 (第39図)

調査区のD区の溝S-28の斜面中頃に位置し、列として想定していたが検出された杭の総数は2本である。この中から杭1本の年代測定を行った。時期は13世紀末から15世紀初頭であった。

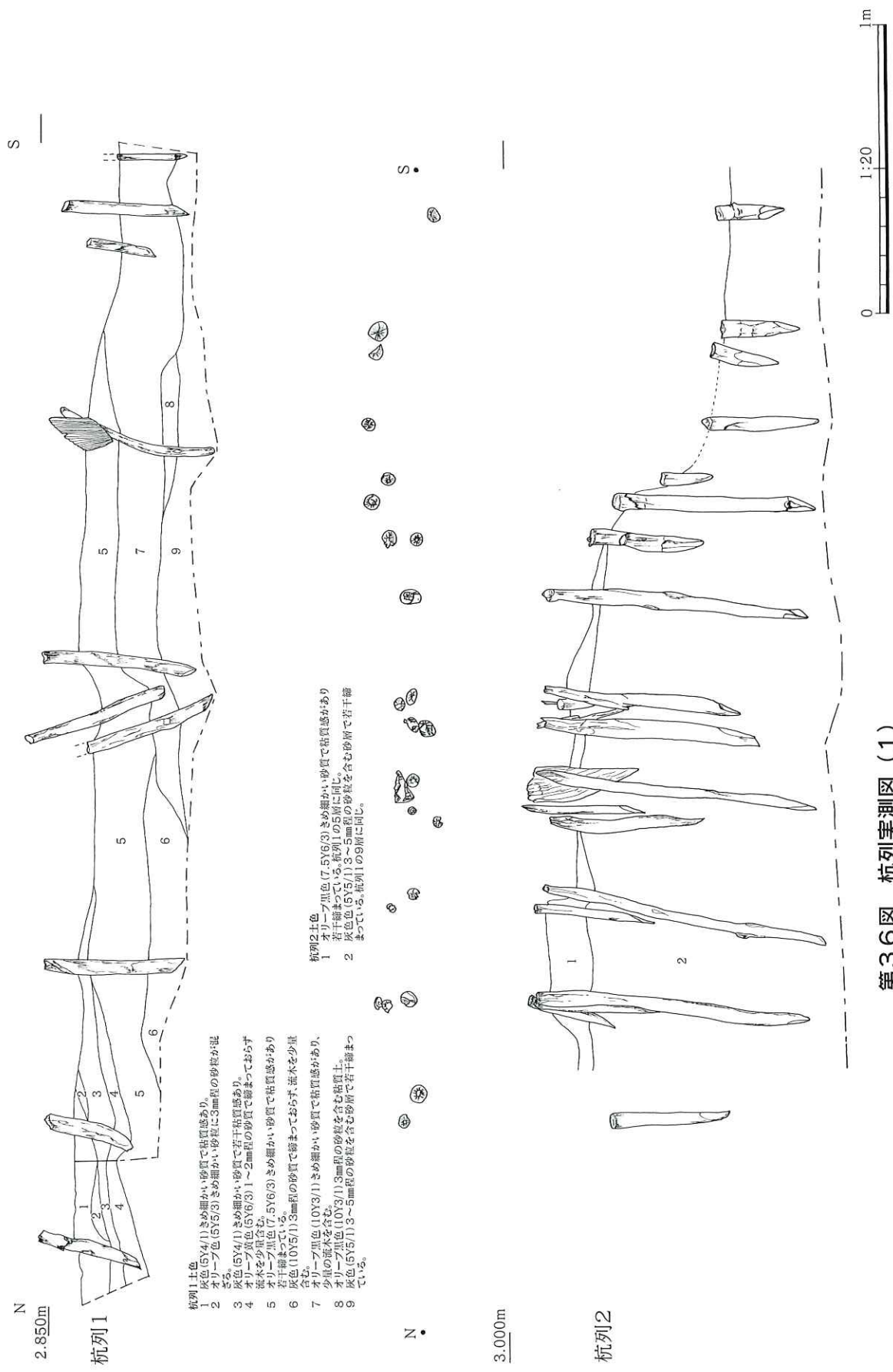
杭列10 (第39図)

調査区のD区の溝S-28の上端付近に位置し、総数4本の杭が検出された。東西方向に並び杭列6、杭列11の延長線上にあたる。畦状遺構S-23の補強的に使用された杭と考えられる。分析は行っていないが杭列6と同時期と考えられる。

杭列11 (第39図)

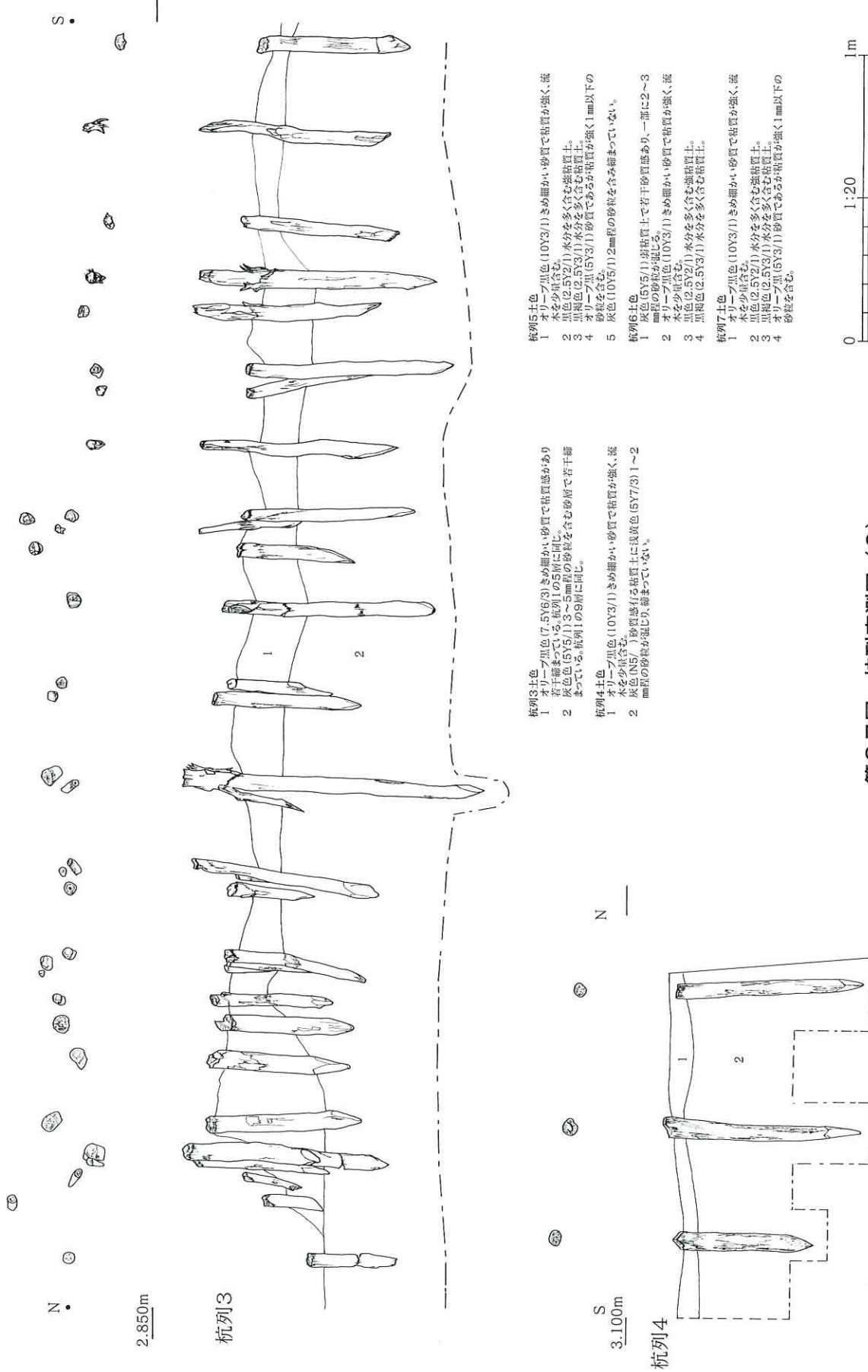
調査区のB区の溝S-28の斜面中頃に位置、杭の抜痕が残っていたので列として想定していたが検出された杭の総数は1本である。東西方向に並び杭列6、杭列11の延長線上にあたる。畦状遺構S-23の補強的に使用された杭と考えられる。分析は行っていないが杭列6と同時期と考えられる。

第36図 桁列実測図(1)

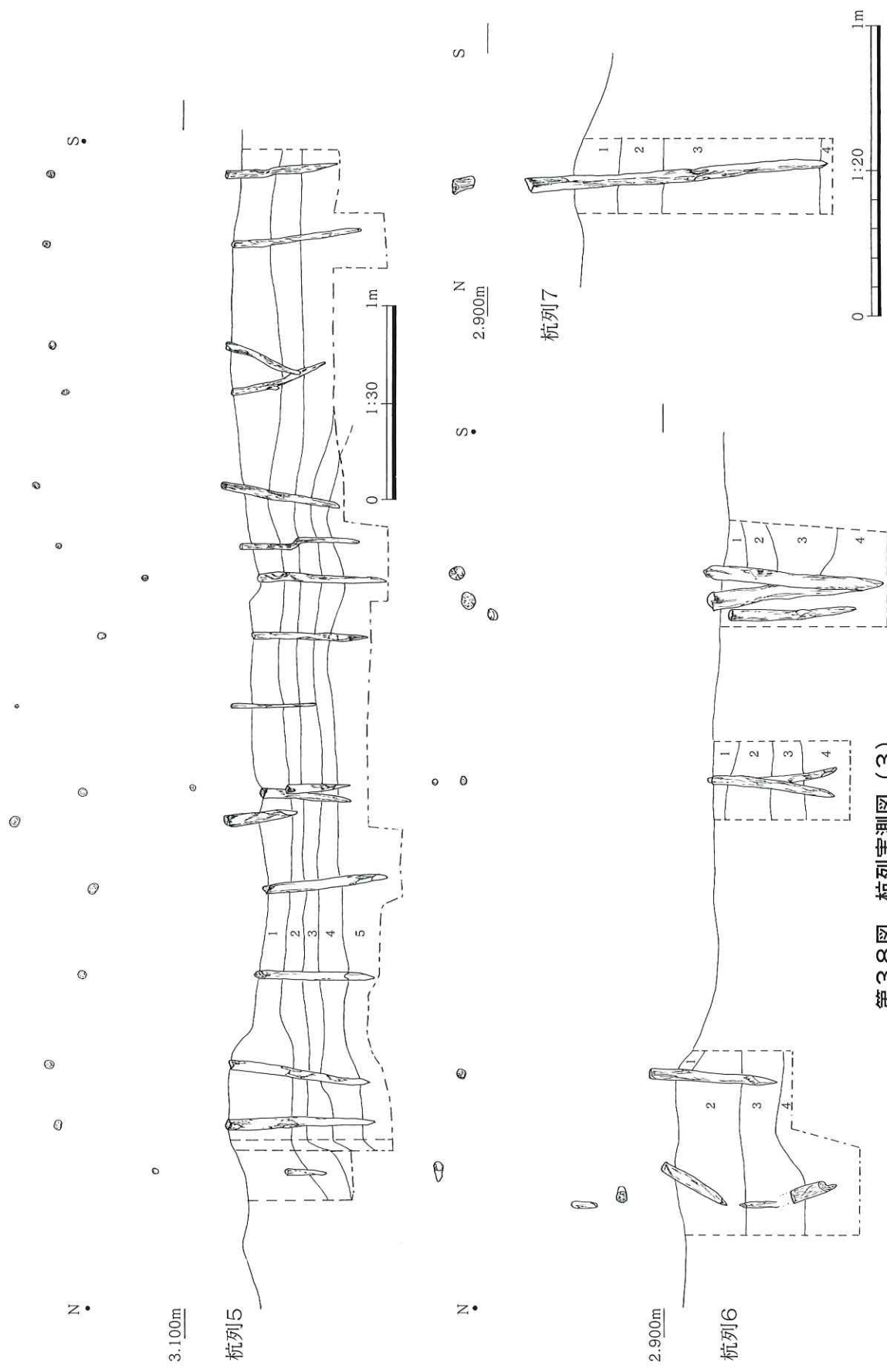


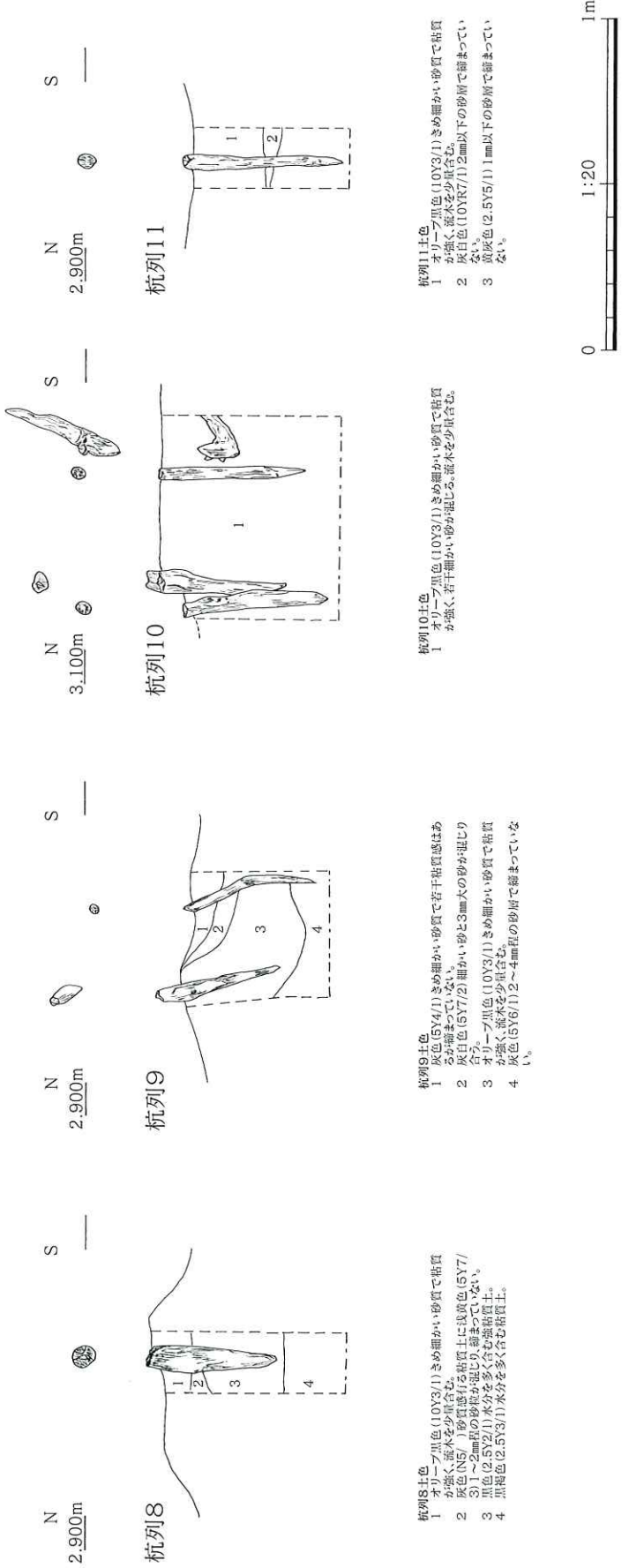
0 100 200 1m

第37図 桁列実測図(2)



第38図 桁列実測図(3)





第39図 杭列実測図 (4)

第3節 遺物

1. 遺物

本遺跡では、中世期の土師器、陶磁器を中心に遺物が少量出土した。また、水田面を保護するために施工された杭列が検出された。

【土器類】

遺構検出時出土遺物（第40図-1～3）

1. 瓦器碗で内外ともミガキにより仕上げ、高台は貼り付け高台。2. 青磁碗で内外面ともに無紋。施釉は薄く、磁胎とともに良質。3. 土師器皿で内面は一部炭化しており灯明皿と考えられる。4～7の土師器の皿は胎土に雲母・石英・長石を少量含む。

水田1面A区出土遺物（第40図-4～7）

4. 内外面ともに回転ナデによる成形、外面底部に糸切りによる痕跡あり。5. 内外面とも回転ナデによる成形。外面には水引きナデの痕跡あり。6. 内外面とも回転ナデによる成形。外面底部には糸切りによる痕跡あり。見込み部にナデ痕がある。7. 器面荒れしている。外面底部には糸切りによる痕跡が残る。

水田1面A区出土遺物（第41図-8～14）

8. 土師器皿は内外面ともに回転ナデによる成形。外面底部に糸切りによる痕跡あり。胎土は雲母・長石・石英を少量含む。外面底部に糸切りによる痕跡あり。9. 瓦質土器の擂り鉢で内面に7条1単位の擂り目が1組残る。10. 瓦質土器の擂り鉢で注ぎ口は水引ナデ成形である。内面には7条1単位の擂り目が5組残る。11. 瓦質土器の擂り鉢で外面はハケによる調整痕あり。内面には反時計回りにハケによる調整後、6条1単位の擂り目が施されている。12. 青磁碗で全体の施釉は薄く透明である。器面内側は無紋。外側には簡略化された直線的な蓮弁文がある。13. 青磁碗で内外面ともに無紋。底部近くの部位と考えられる。内面は外面より貫入が細かい。14. 青磁皿の口縁部で口端部は外側に反っている。発色が悪い。

水田1面B区出土遺物（第42図-15～26）

15. 土師器皿で内外面ともに回転ナデによる成形と思われるが、器面荒れのため内外面の調整については詳細不明。16. 土師器碗の高台部分で内外面ともナデ成形。高台は貼り付け高台である。17. 瓦質土器の擂り鉢で外面は指頭痕が一部残る。内面はハケによる調整後に8条1単位の擂り目が残り、ハケと擂り目の交差で小さな菱形状文になっている。胎土は洗練されており密である。18. 瓦質土器の擂り鉢で外面は指頭による成形痕が残る。内面は7条1単位の擂り目が1組残る。2組目の条線一部と交差する。19. 瓦質土器の擂り鉢で部位は底部近く。内面は器面荒れしているが4以上の条1単位の擂

り目が約3組残る。20. 平瓦で上面の一部にナデ調整の痕跡あり。21. 土師質土器の火鉢で部位は胴の上部で米印状のスタンプが2個残る。22. 土師質土器の火鉢で部位は口縁部である。外面の突帶上部には花弁が5個並ぶ。内外面とも回転ナデによる成形。23. 瓦質土器の火鉢で部位は底部。焼きが悪いため一部赤橙色をしている。内面は回転ナデ調整で外面は指頭痕が残る。24. 須恵器の壺で部位は高台部。内外面ともに回転ナデ成形で内面はミガキ調整。高台部は貼り付け高台。25. 青磁の碗で部位は胴部下部。内外面とも無文。磁胎は若干粗い。内面には幅の広い貫入が入る。外面には成形時についたキズが1条の沈線として残る。26. 白磁の壺で部位は底部に近い胴部。内外面ともに無文。磁胎は密で施釉はとても薄い。内外面に貫入が入り、内面の方が貫入が細かい。

水田1面C区出土遺物（第43図-27~28）

27. 瓦質土器の掘り鉢で部位は口縁部。外面は指頭痕が残り、内面はナデ調整で口端部は横ナデで掘り目が施されているが口縁部に近いため条線の単位は不明。28. 瓦質土器の火鉢で部位は口縁部。内外面ともに回転ナデ成形。1条の突帶上部にスタンプが3個残るが明瞭ではない。

水田1面D区出土遺物（第43図-29~30）

29. 瓦質土器の掘り鉢で部位は胴部。内外面とも器面荒れしているが内面には8条の1単位の掘り目が残る。30. 青磁碗で部位は胴部。内外面とも施釉は厚くて発色もよい。内面は無文で貫入が入る。外面は簡略化した直線状の蓮弁文が入る。

水田2面A区出土遺物（第43図-31~34）

31から34までは土師器の皿で胎土に雲母・石英・長石を少量含む。31. 弥生土器の壺で部位は口縁から頸部。器面荒れがひどくて調整等は不明である。32. 内外面ともに回転ナデによる成形、外面底部に糸切りによる痕跡あり。33. 焼きが悪く外面底部の糸切りによる痕跡も不明瞭である。34. 少し器面荒れしており、外面底部の糸切りによる痕跡も不明瞭である。内面の一部にミガキによる調整痕が残る。

水田2面B区出土遺物（第43図-35~36）

35と36は土師器の皿で胎土に石英・長石を少量含む。35. 内外面ともに回転ナデ成形。外面底部には糸切りによる痕跡がある。底部から口縁部までの立ち上がりは緩やかで浅い。36. 土師器の壺で部位は底部。内部見込み部は水引きナデ回し成形で指紋が残る。外面底部は糸切りによる痕跡あり。

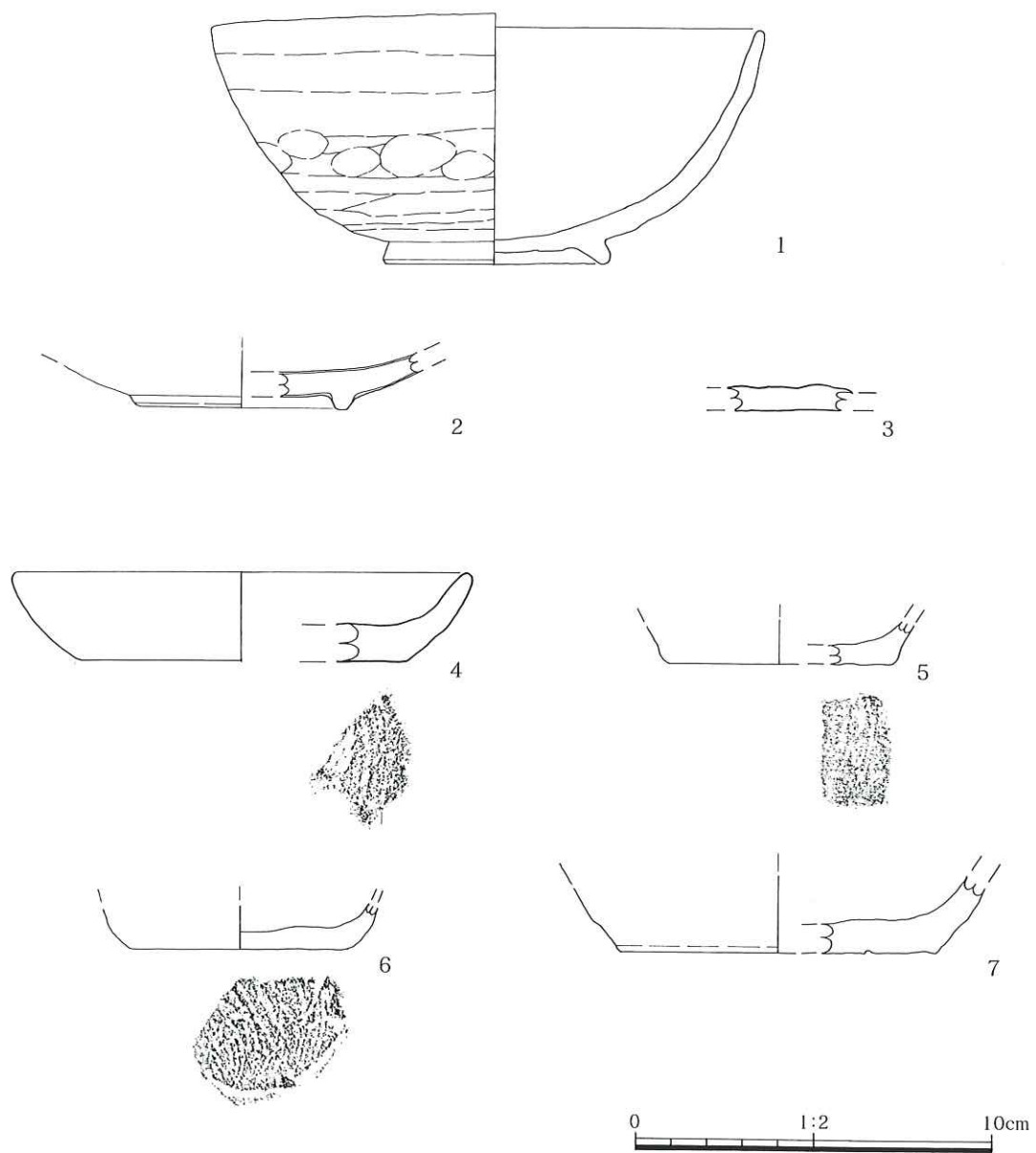
水田2面C区出土遺物（第44図-37）

37. 石皿の一部で使用面1面が残る。

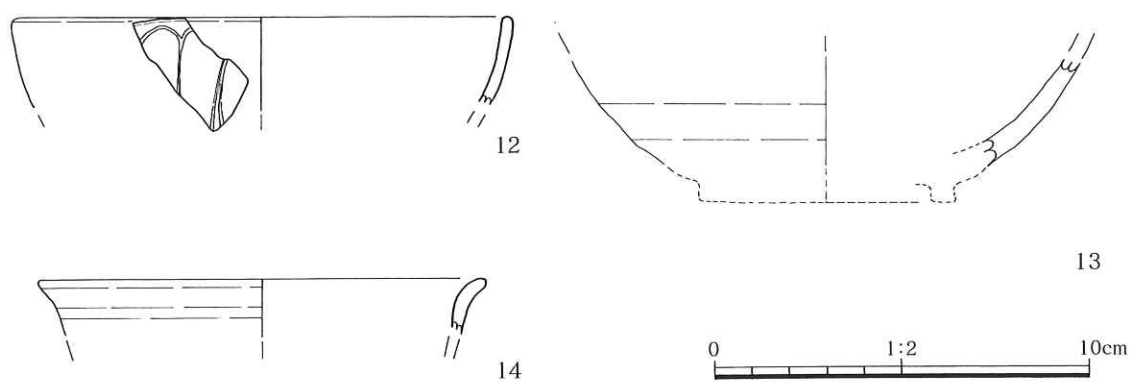
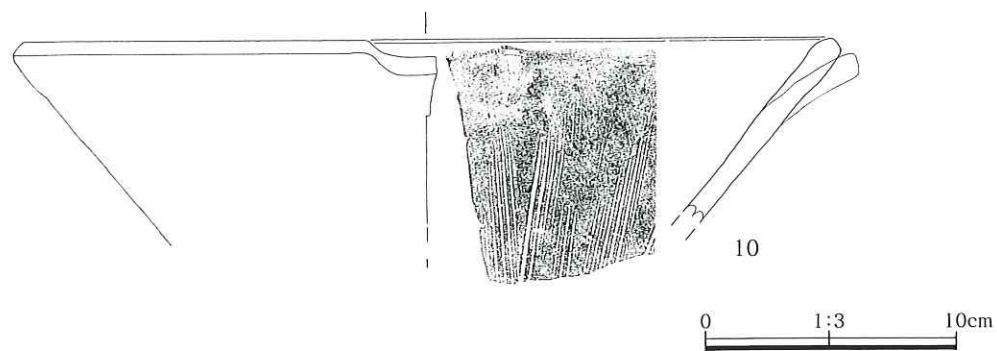
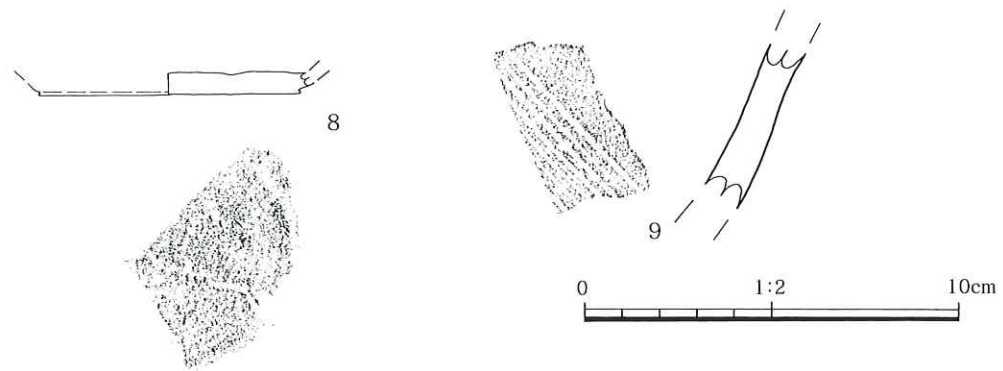
水田2面D区出土遺物（第44図-38~42）

38~42の土師器の皿は胎土に雲母・石英・長石を少量含む。

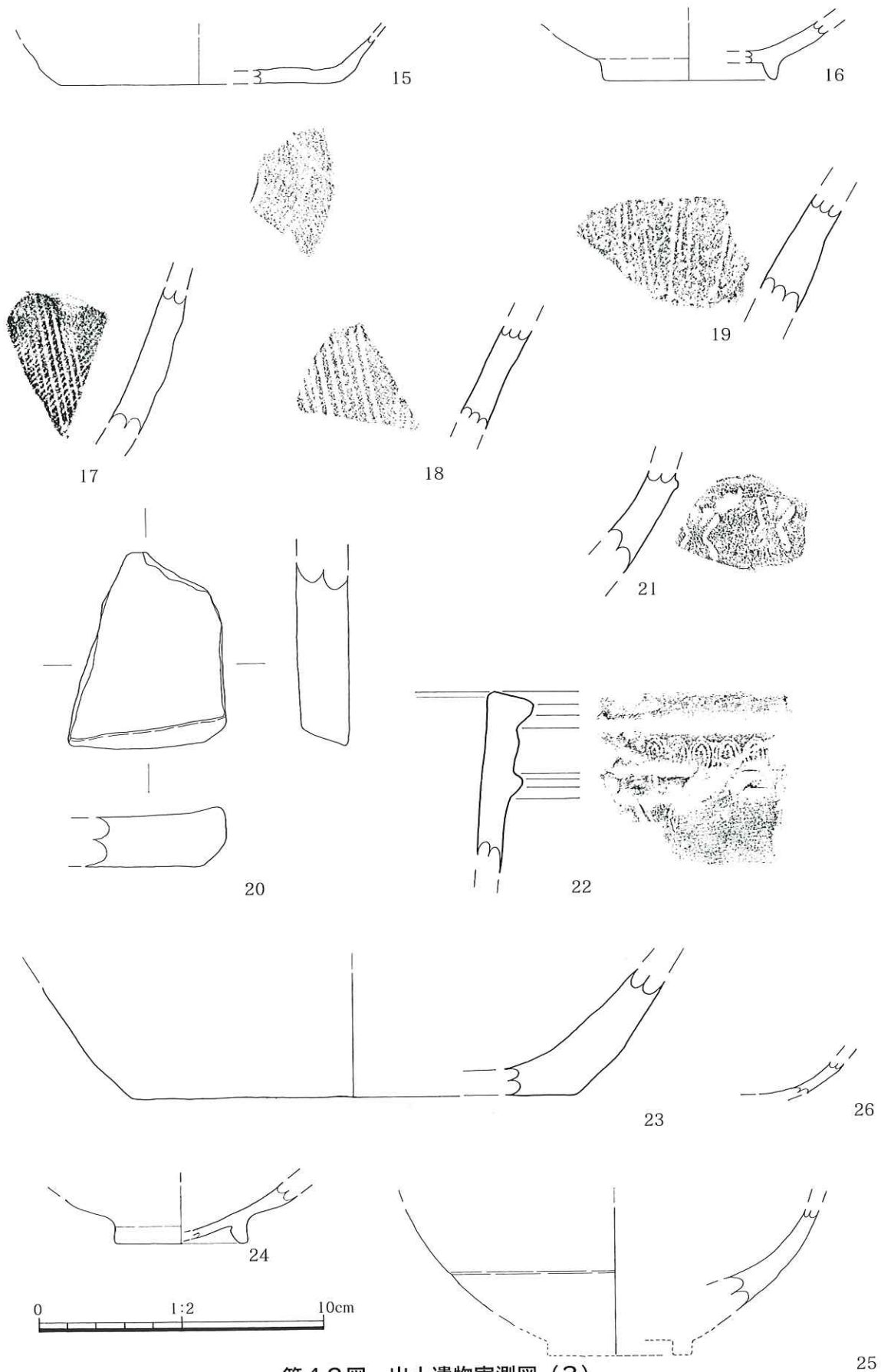
38. 内外面とも回転ナデ成形。外面底部の糸切りの痕跡は器面荒れのため不明瞭。見込みから口縁部への立ち上がりは緩やかである。見込み部には浅い段がつく。39. 内外面とも回転ナデ成形。外面底部の糸切りの痕跡は器面荒れのため不明瞭。見込みから口縁部への立ち上がりは緩やかである。見込み部には浅い段がつく。40. 内外面ともに回転ナデ成形。内面見込み部は水引きナデ回しの痕跡あり。外面底部は糸切りによる痕跡が



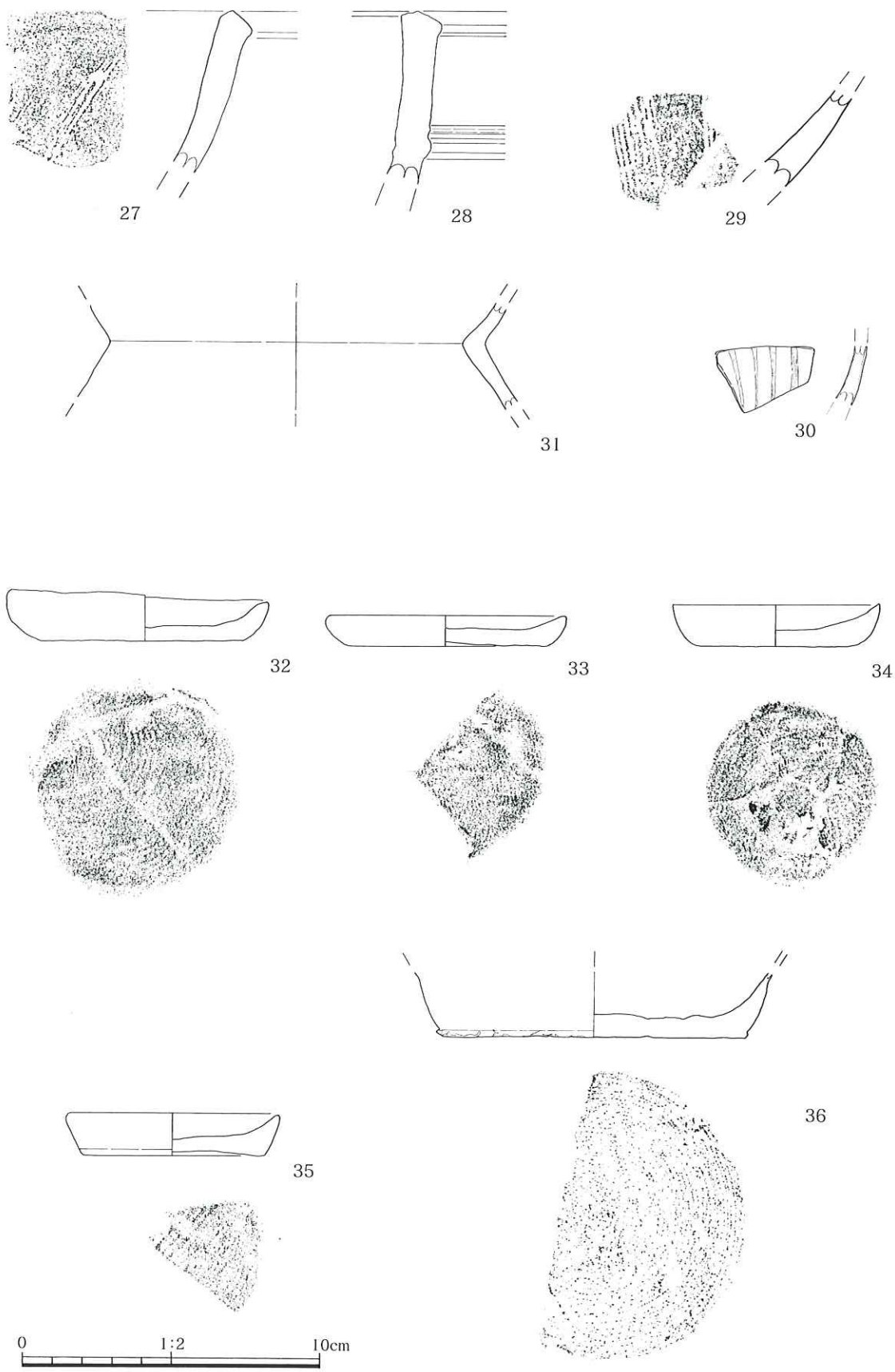
第40図 出土遺物実測図(1)



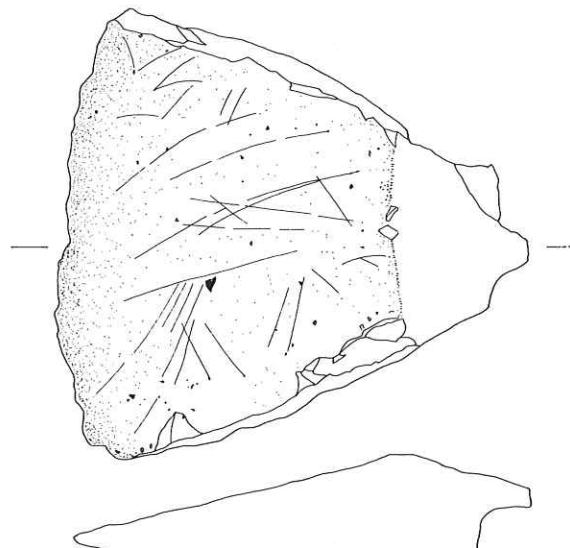
第41図 出土遺物実測図（2）



第42図 出土遺物実測図(3)



第43図 出土遺物実測図(4)



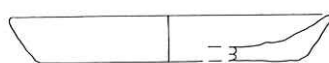
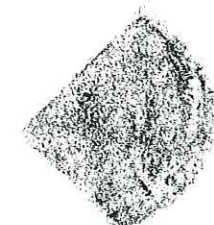
37



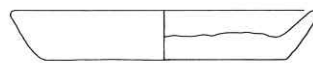
38



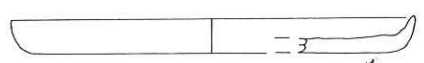
40



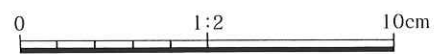
39



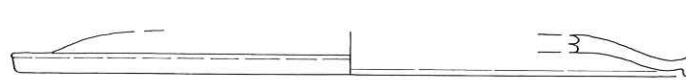
41



42



第44図 出土遺物実測図（5）

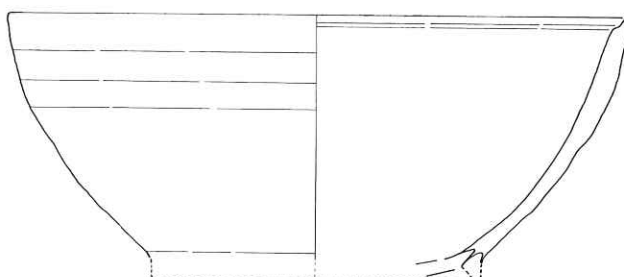


—3

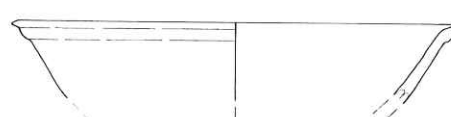
43



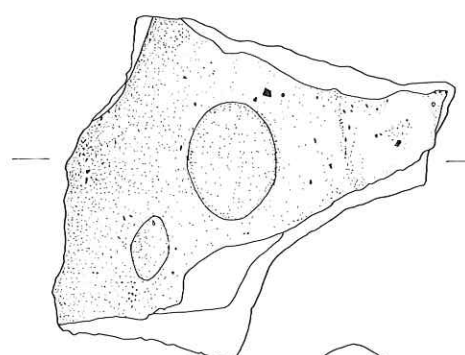
45



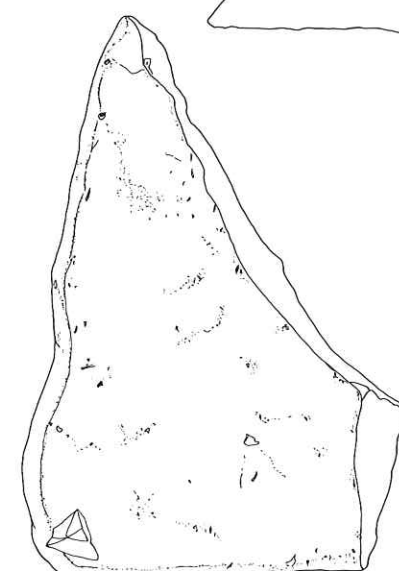
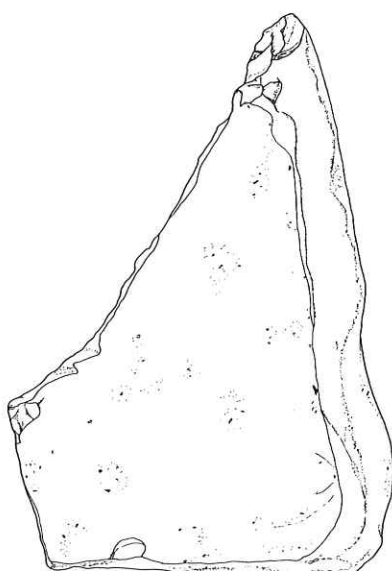
44



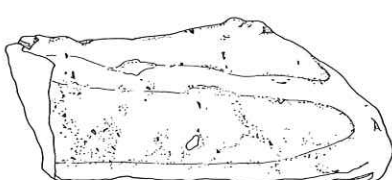
46



47

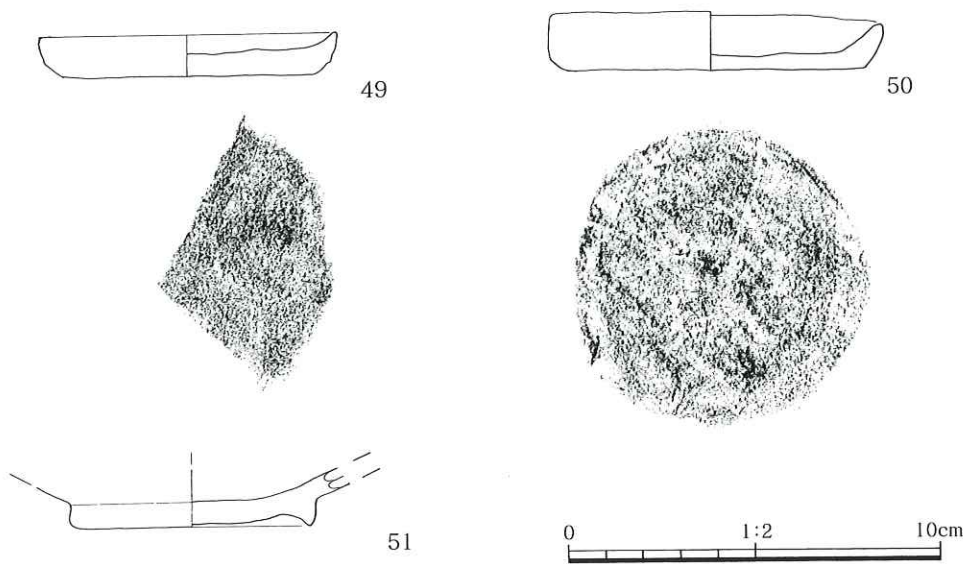


48



0 1:2 10cm

第45図 出土遺物実測図（6）



第46図 出土遺物実測図（7）

明瞭に残る。41. 内外面とも回転ナデ成形。内面見込み部は水引きナデ回しの痕跡が明瞭に残る。口縁端部は丸味が強い。42. 内外面とも回転ナデ成形。外面底部の糸切りの痕跡は不明瞭である。底部からの立ち上がりはとても浅い。

水田2面D区出土遺物（第45図-43~48）

43. 須恵器の蓋で内外面ともに回転ナデ成形。44. 瓦器碗で部位は高台部から口縁端部まで。高台部は隔離。内面は回転ナデ後にミガキ、外面は回転ナデ後にヘラケズリによる成形。胎土は内面と外面では内面がきめ細かい感がある。45. 青磁碗で部位は口縁部。口縁端部は緩やかに外に開く。内外面とも無文。施釉は薄いが発色はよい。内面の貫入は細かいが外面は粗い。46. 青磁碗で部位は口縁部。口縁端部は外側に開く。内面は無文である。外面は口縁部下位に細く平たい突帯が入る。施釉は薄く白っぽい発色である。47. 石皿の3面に使用痕あり。各面に磨痕あり。48. 石皿の4面に使用痕あり。各面全体に摩痕あり。

水田2面D区出土遺物（第46図-49~51）

49. 土師器の皿で部位は底部から口縁端部まで。内外面とも回転ナデ形成。内面はナデ回し調整。外面底部は糸切りによる痕跡が不明瞭だが残る。見込みから口縁端部までの立ち上がりは低い。50. 土師器皿で完品。内外ともに回転ナデ成形。見込み部分には水引きナデの調整痕がある。外面底部には糸切りによる痕跡は不明瞭である。51. 瓦器碗で部位は高台部。見込み部はミガキ、外面高台は貼り付け形成である。

第2表 出土遺物観察表

插図番号	種別	器種	遺構	焼成区	法量(cm)	口径	底経	外面		内面		器面調整		胎土・磁性	備考
								器高	胸径	内面	外見	ヘラミガキ	ヘラミガキ		
1	瓦盤	碗	表	A 良	6.9	-	15.0	6.2	灰白色	灰白色	明緑灰色	回転ナナデ・施釉	ヘラミガキ	1mm程の白色砂粒を少量含む	
2	青磁	碗	表	A 良	(1.6)	-	-	(6.0)	明緑灰色	黒褐色	回転ナナデ・施釉	ヘラミガキ	1mm程の赤褐色粒を少量含む。		
3	土師器	碗	表	A 普	(0.8)	-	-	(3.0)	浅黄褐色	暗褐色	回転ナナデ・系切り	回転ナナデ	2mm以下の中石・石英を少量含む。		
40	4	土師器	碗	A 普	2.5	-	(12.8)	9.2	灰褐色	暗褐色	回転ナナデ・系切り	回転ナナデ	1mm以下の中石・石英を少量含む。		
5	5	土師器	碗	A 不	(1.2)	-	-	(6.4)	浅黄褐色	浅黄褐色	回転ナナデ・系切り	回転ナナデ	1mm以下の中石・石英を少量含む。		
6	6	土師器	碗	A 不	(1.3)	-	-	(5.8)	灰白色	灰白色	回転ナナデ・系切り	回転ナナデ	0.5mm以下の長石・石英を微量含む。		
7	7	土師器	碗	A 不	(2.1)	-	-	(8.8)	にぶい橙色	にぶい橙色	器面荒れ	器面荒れ	0.5mm以下の長石・石英を含む。		
8	8	土師器	碗	A 不	0.6	-	-	(7.0)	灰白色	灰白色	回転ナナデ・系切り	回転ナナデ	1mm以下の中石・石英を微量含む。		
9	9	瓦質土器	擂り鉢	水田1 A 良	(4.1)	-	-	(3.2)	青灰色	青黑色	回転ナナデ・系切り	ナデ・ミカキ	1mm以下の中石・石英を少量含む。		
10	10	瓦質土器	擂り鉢	水田1 A 良	(7.3)	-	-	(32.4)	-	青灰色	水ヒキナナデ	1mm以下の中石・石英を含む。			
11	11	瓦質土器	擂り鉢	水田1 A 良	(7.6)	-	(26.2)	-	灰色	褐灰色	指頭王痕・ナデ	ナデ・ハケ	1mm以下の中石・石英を少量含む。		
12	12	青磁	碗	水田1 A 普	(2.3)	-	-	(13.0)	オリーブ色	灰オリーブ色	回転ナナデ・施釉	回転ナナデ	1mm以下の中石・石英を少量含む。		
13	13	青磁	碗	水田1 A 普	(2.8)	-	-	-	オリーブ色	灰オリーブ色	回転ナナデ・施釉	回転ナナデ	1mm以下の中石・石英を少量含む。		
14	14	瓦質土器	擂り鉢	水田1 A 普	(1.4)	-	(12.0)	-	オリーブ色	灰オリーブ色	ヘラミカキ・施釉	ヘラミカキ・施釉	1mm以下の中石・石英を少量含む。		
15	15	土師器	皿	水田1 B 普	(1.6)	-	-	(9.6)	浅黄褐色	灰白色	回転ナナデ・系切り	回転ナナデ	0.5mm以下の中石・石英を少量含む。		
16	16	土師器	碗	水田1 B 普	(2.0)	-	-	(5.8)	灰白色	オリーブ黒色	指頭王痕・ナデ	ナデ・ハケ	0.5mm程の赤褐色粒を少量含む。		
17	17	瓦質土器	擂り鉢	水田1 B 良	(4.8)	-	-	-	オリーブ黒色	オリーブ黒色	指頭王痕・ナデ	ナデ・ハケ	1mm以下の中石・石英を少量含む。		
18	18	瓦質土器	擂り鉢	水田1 B 良	(3.8)	-	-	-	灰白色	灰白色	指頭王痕・ナデ	ナデ・ミカキ	1mm以下の中石・石英を少量含む。		
19	19	瓦質土器	擂り鉢	水田1 B 普	(4.0)	-	-	-	青灰色	青灰色	指頭王痕・ナデ	ナコナナデ	1mm以下の中石・石英を少量含む。		
20	20	瓦質土器	擂り鉢	水田1 B 普	(2.1)	-	-	-	青灰色	青灰色	指頭王痕・ナデ	ナコナナデ	1mm以下の中石・石英を少量含む。		
21	21	土師器	皿	火鉢	(3.4)	-	-	-	青灰色	青灰色	指頭王痕・ナデ	ナコナナデ	1mm以下の中石・石英を少量含む。		
22	22	瓦質土器	擂り鉢	水田1 B 良	(6.2)	-	(40.0)	-	暗褐色	暗褐色	指頭王痕・ナデ	ナコナナデ	1mm以下の中石・石英を少量含む。		
23	23	瓦質土器	火鉢	水田1 B 不	(4.6)	-	-	(15.0)	褐色	褐色	指頭王痕・ナデ	ヨコナナデ	1mm以下の中石・石英を少量含む。		
24	24	須恵器	壺	水田1 B 良	(2.1)	-	-	(4.6)	灰白色	灰白色	回転ナナデ	回転ナナデ	1mm以下の中石・石英を少量含む。		
25	25	青磁	碗	水田1 B 良	(3.5)	-	-	-	灰白色	灰白色	回転ナナデ・施釉	回転ナナデ・施釉	0.5mm以下の中石・石英を多く含む。		
26	26	青磁	碗	水田1 B 良	(1.2)	-	-	-	灰白色	灰白色	指頭王痕・ナデ	ナデ・ミカキ	1mm以下の中石・石英を細かい。釉は透明。		
27	27	瓦質土器	擂り鉢	水田1 C 良	(5.4)	-	-	-	灰白色	灰白色	指頭王痕・ナデ	ナデ・ミカキ	3mm以下の中石・石英を少量含む。		
28	28	瓦質土器	火鉢	水田1 C 不	(5.7)	-	-	-	暗灰色	暗灰色	指頭王痕・ナデ	ナコナナデ	3mm以下の中石・石英を少量含む。		
29	29	瓦質土器	擂り鉢	水田1 D 不	(3.0)	-	-	-	灰白色	灰白色	指頭王痕・ナデ	ナコナナデ	0.5mm以下の中石・石英を少量含む。		
30	30	青磁	碗	水田1 D 不	(2.0)	-	-	-	明緑灰色	明緑灰色	回転ナナデ・施釉・施文	回転ナナデ・施釉・施文	1mm以下の中石・石英を少量含む。		
31	31	弥生器	壺	水田2 A 不	(3.5)	-	-	-	にぶい橙色	にぶい橙色	回転ナナデ・施釉	回転ナナデ・施釉	0.5mm以下の中石・石英を少量含む。		
32	32	土師器	壺	水田2 A 普	(1.7)	-	-	(8.5)	灰白色	灰白色	回転ナナデ・系切り	回転ナナデ	0.5mm以下の中石・石英を少量含む。		
33	33	土師器	壺	水田2 A 普	(1.0)	-	-	(8.0)	橙色	橙色	回転ナナデ・系切り	回転ナナデ	0.5mm以下の中石・石英を少量含む。		
34	34	土師器	壺	水田2 A 不	(1.4)	-	-	(6.8)	にぶい橙色	にぶい橙色	回転ナナデ・系切り	回転ナナデ	0.5mm以下の中石・石英を少量含む。		
35	35	土師器	壺	水田2 B 不	(1.4)	-	-	(7.0)	灰白色	灰白色	回転ナナデ・系切り	回転ナナデ	0.5mm以下の中石・石英を少量含む。		
36	36	土師器	壺	水田2 B 不	(2.2)	-	-	(11.6)	にぶい黄橙色	にぶい黄橙色	回転ナナデ・系切り	回転ナナデ	1mm以下の中石・石英を少量含む。		
37	37	水田2 C	-	-	(2.9)	-	-	(7.6)	灰白色	灰白色	回転ナナデ・系切り	回転ナナデ	1mm以下の中石・石英を少量含む。		
38	38	土師器	壺	水田2 D 不	(1.3)	-	-	(8.6)	にぶい黄橙色	にぶい黄橙色	回転ナナデ・系切り	回転ナナデ	0.5mm以下の中石・石英を少量含む。		
39	39	土師器	壺	水田2 D 不	(1.2)	-	-	(5.4)	にぶい黄橙色	にぶい黄橙色	回転ナナデ・系切り	回転ナナデ	1mm以下の中石・石英を少量含む。		
40	40	土師器	壺	水田2 D 不	(1.1)	-	-	(8.0)	明褐色	明褐色	回転ナナデ・系切り	回転ナナデ	0.5mm以下の中石・石英を少量含む。		
41	41	土師器	壺	水田2 D 不	(1.3)	-	-	(8.0)	明褐色	明褐色	回転ナナデ・系切り	回転ナナデ	0.5mm以下の中石・石英を少量含む。		
42	42	土師器	壺	水田2 D 不	(1.0)	-	-	(10.8)	にぶい黄橙色	にぶい黄橙色	回転ナナデ・系切り	回転ナナデ	0.5mm以下の中石・石英を少量含む。		
43	43	須恵器	壺	水田2 D 良	(1.1)	-	-	(18.2)	灰白色	灰白色	回転ナナデ	回転ナナデ	0.5mm以下の中石・石英を少量含む。		
44	44	瓦盤	碗	水田2 D 良	(7.0)	-	-	(16.6)	灰白色	灰白色	ヘラケスリ	ヘラケスリ	1mm以下の中石・石英を少量含む。		
45	45	青磁	碗	水田2 D 良	(3.3)	-	-	-	オリーブ灰	オリーブ灰	回転ナナデ・施釉	回転ナナデ・施釉	1mm以下の中石・石英を少量含む。		
46	46	青磁	碗	水田2 D 良	(2.1)	-	-	(12.0)	灰白色	灰白色	回転ナナデ・施釉	回転ナナデ	1mm以下の中石・石英を少量含む。		
47	47	石製品	石皿	水田2 D -	6.0	-	-	-	灰白色	灰白色	回転ナナデ・系切り	回転ナナデ	3面に要用痕あり。		
48	48	白質土器	石皿	水田2 D -	4.4	-	-	-	灰白色	灰白色	回転ナナデ・系切り	回転ナナデ	4面に要用痕あり。		
49	49	土師器	石皿	水田2 D 良	1.2	-	-	(7.8)	(6.6)	透明白色	透明白色	回転ナナデ・系切り	回転ナナデ	0.5mm以下の中石・石英を少量含む。	
50	50	土師器	石皿	水田2 D 良	1.5	-	-	(9.0)	8.0	透明白色	透明白色	回転ナナデ・系切り	回転ナナデ	1mm以下の中石・石英を少量含む。	
51	51	瓦器	碗	水田2 D 良	(1.5)	-	-	6.4	灰白色	灰白色	ヘラケスリ・ミカキ	ヘラケスリ・ミカキ	ヘラケスリ・ミカキ		

【木製品】

各杭列の中から特徴的な杭を実測図化した。

杭列1出土杭 (第47図-1・2)

杭列1は11本の杭で構成されている。その中から杭5点を実測図化した。

1. 芯持丸杭で長さ35.8cm、直径4.6cm、先端加工面は4箇所で長さ7.4cm。枝打ち痕あり。
2. 芯持丸杭で長さ51cm、直径4.6cm、先端加工面は10箇所で長さ11cm。

杭列1出土杭 (第48図-3~5)

3. 芯持丸杭で長さ53.7cm、直径9.2cm、先端加工面は9箇所で長さ9.2cm。
4. 芯持丸杭で長さ44cm、直径4.1cm、先端加工面は14箇所で長さ13.4cm。
5. 芯持丸杭で長さ24.4cm、直径2.6cm、先端加工面は6箇所で長さ5.8cm。

杭列2出土杭 (第49図-6・7)

杭列は25本の杭で構成されている。その中から杭6点を実測図化した。

6. 芯持丸杭で長さ96.2cm、直径5.1cm、先端加工面は5箇所で長さ11cm。
7. 芯持丸杭で長さ39.4cm、直径3.9cm、先端加工面は6箇所で長さ4.7cm。枝打ち痕あり。

杭列2出土杭 (第50図-8・9)

8. 芯持丸杭で長さ106.2cm、直径5.8cm、先端部加工面は9箇所で長さ10.6cm。
9. 芯持丸杭で長さ68.1cm、直径5cm、先端加工面は8箇所で長さ14.5cm。枝打ち痕あり。

杭列2出土杭 (第51図-10・11)

10. 芯持丸杭で長さ27.7cm、直径4.4cm、先端加工面は12箇所で長さ12.6cm。
11. 芯持丸杭で長さ67.2cm、直径5cm、先端加工面は4箇所で長さ12.6cm

杭列3出土杭 (第52図-12・13)

杭列は33本の杭で構成されている。その中から杭9点を実測図化した。

12. 芯持丸杭で長さ48.5cm、直径6.3cm、先端加工面は10箇所で長さ10cm。枝打ち痕あり
13. 芯持丸杭で長さ32.3cm、直径5cm、先端加工面は12箇所で長さ18.1cm。

杭列3出土杭 (第53図-14~16)

14. 芯持丸杭で長さ46.4cm、直径4.6cm、先端加工面は6箇所で長さ15.1cm。枝打ち痕あり。
15. 芯持丸杭で長さ29.2cm、直径4cm、先端加工面は12箇所で長さ15cm。
16. 芯持丸杭で長さ23cm、直径2.7cm、先端加工面は5箇所で長さ10.6cm。

杭列3出土杭 (第54図-17・18)

17. 芯持丸杭で長さ71.9cm、直径5.5cm、先端加工面は4箇所で長さ10cm。枝打ち痕あり。
18. 芯持丸杭で長さ46.2cm、直径4.2cm、先端加工面は8箇所で長さ14.3cm。枝打ち痕あり。

杭列3出土杭 (第55図-19・20)

19. 芯持丸杭で長さ81.5cm、直径5.3cm、先端加工面は13箇所で長さ12.7cm。
20. 芯持丸杭で長さ55.9cm、直径4.8cm、先端加工面は8箇所で長さ8.2cm。枝打ち痕あり。

杭列4出土杭 (第56図-21・22)

- 杭列は3本の杭で構成されている。その中から杭2点を実測図化した。
21. 芯持丸杭で長さ63.1cm、直径4.9cm、先端加工面は20箇所で長さ12.4cm。
22. 芯持丸杭で長さ46.4cm、直径5.9cm、先端加工面は30箇所で長さ17cm。

杭列5出土杭 (第57図-23・24)

- 杭列は17本の杭で構成されている。その中から杭6点を実測図化した。
23. 芯持丸杭で長さ79.7cm、直径5.3cm、先端加工面は12箇所で長さ20.9cm。枝打ち痕あり。
24. 芯持丸杭で長さ78.2cm、直径4cm、先端加工面は11箇所で長さ22cm。枝打ち痕あり。

杭列5出土杭 (第58図-25・26)

25. 芯持丸杭で長さ69cm、直径4.1cm、先端加工面は10箇所で長さ17cm。
26. 芯持丸杭で長さ44.2cm、直径2.5cm、先端加工面は4箇所で長さ5.6cm。

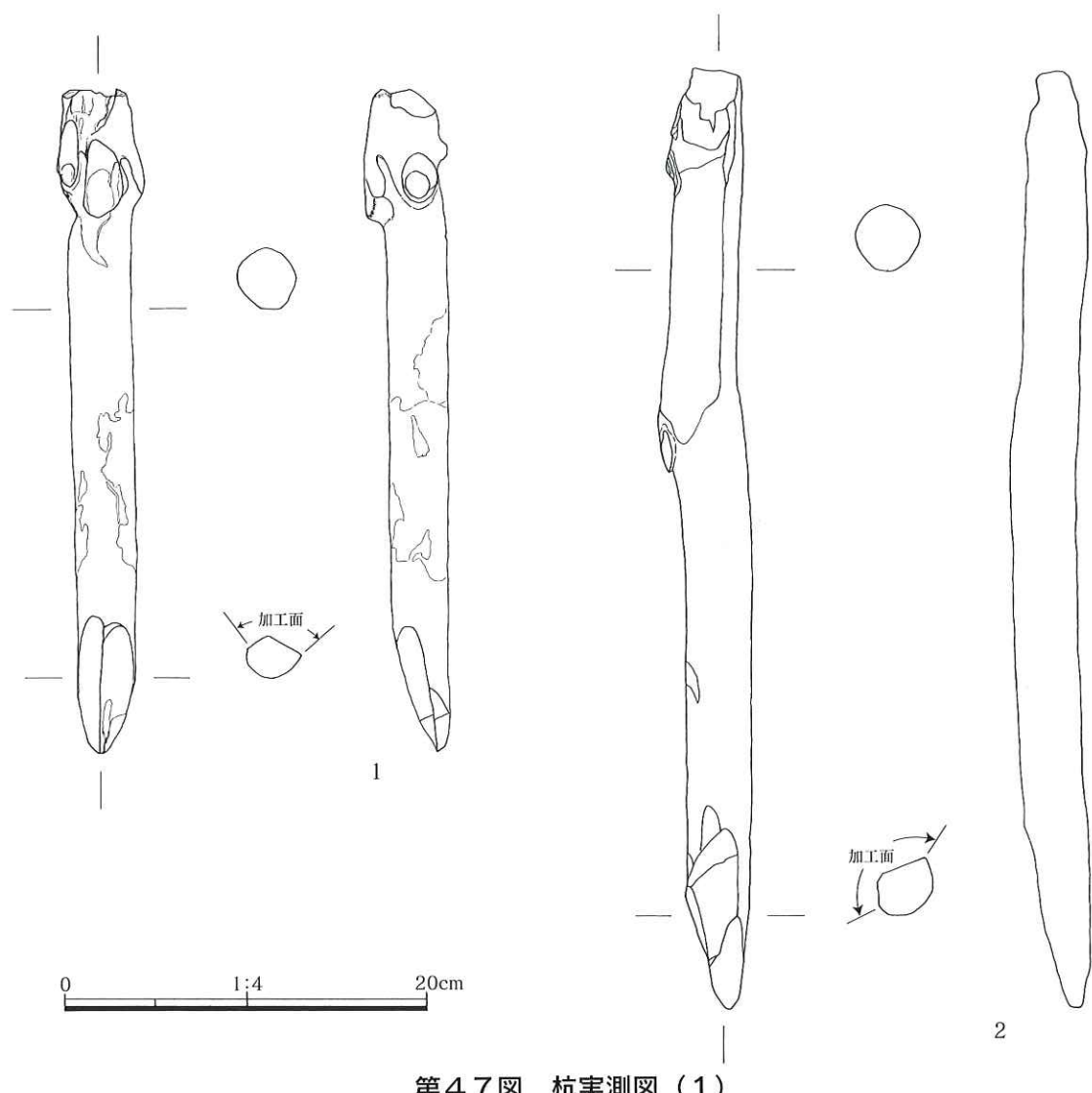
杭列5出土杭 (第59図-27・28)

27. 芯持丸杭で長さ62.4cm、直径3.7cm、先端加工面は13箇所で長さ7.8cm。枝打ち痕あり。
28. 芯持丸杭で長さ59.4cm、直径3.9cm、先端加工面は6箇所で長さ7.4cm。枝打ち痕あり。

杭列6出土杭 (第60図-29・30)

- 杭列は9本の杭で構成されている。その中から杭2点を実測図化した。
29. 芯持丸杭で長さ41.6cm、直径2.9cm、先端加工面は1箇所で長さ6.6cm。枝打ち痕あり。
30. 芯持丸杭で長さ66cm、直径5.1cm、先端加工面は11箇所で長さ15.6cm。枝打ち痕あり。

杭列7出土杭 (第61図-31)



第47図 杭実測図（1）

杭列は1本の杭で構成されている。その中から杭1点を実測図化した。

31. 半裁丸杭で長さ106cm、直径6.7cm、先端加工面は13箇所で長さ13.5cm。枝打ち痕あり。

杭列8出土杭（第61図-32）

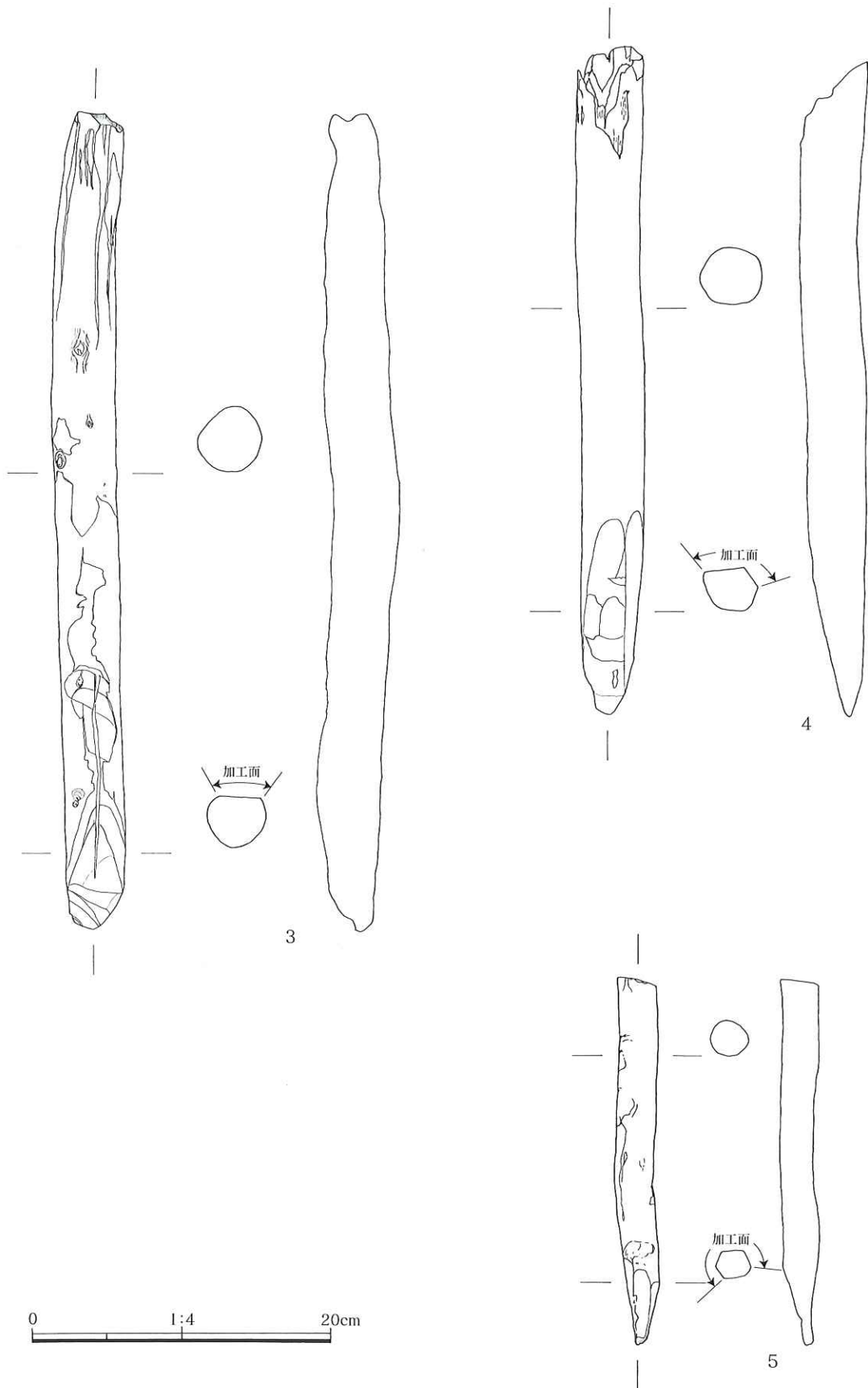
杭列は1本の杭で構成されている。その中から杭1点を実測図化した。

32. 半裁丸杭で長さ48.9cm、直径7.4cm、先端加工面は1箇所で長さ8.2cm。

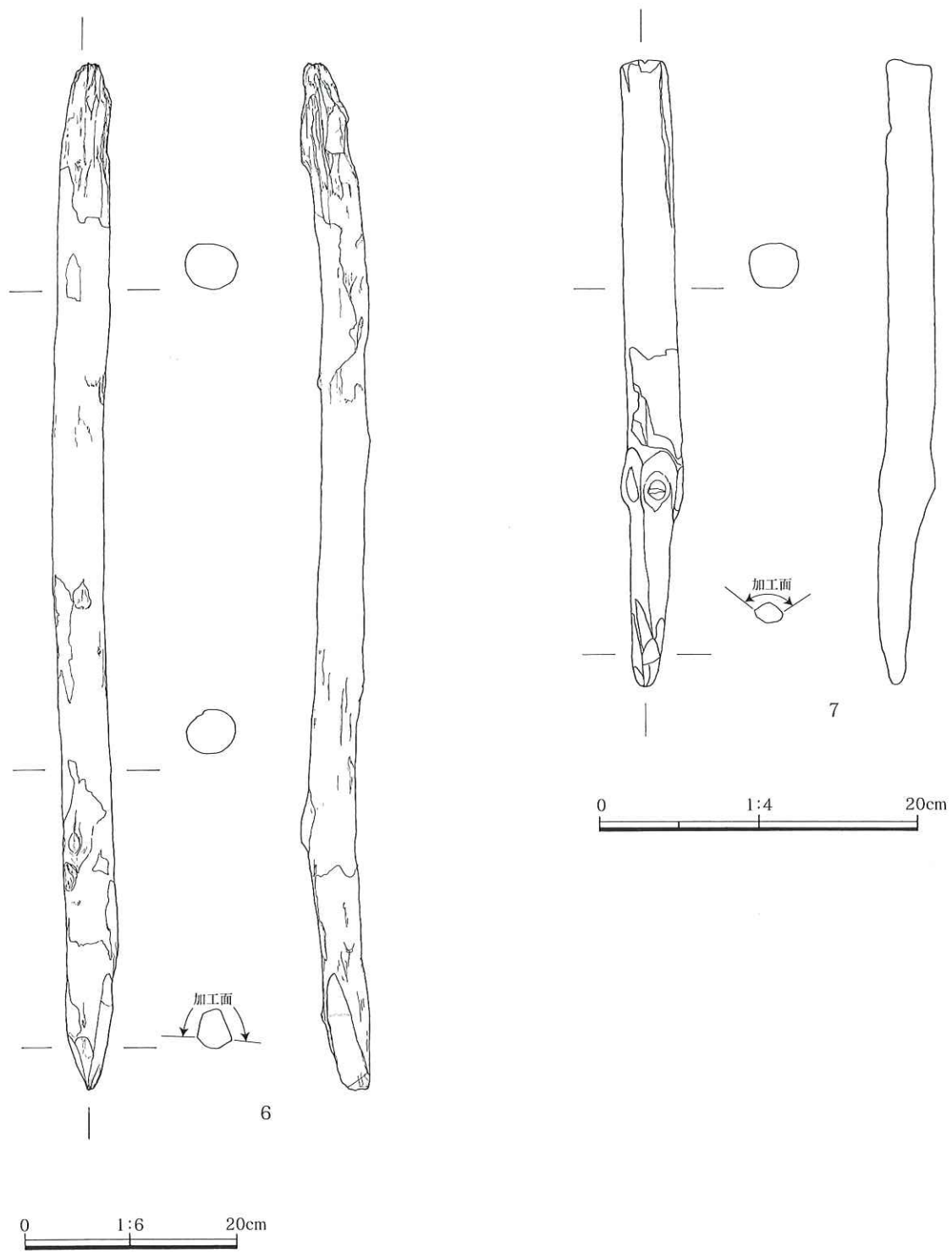
杭列9出土杭（第62図-33）

杭列は2本の杭で構成されている。その中から杭1点を実測図化した。

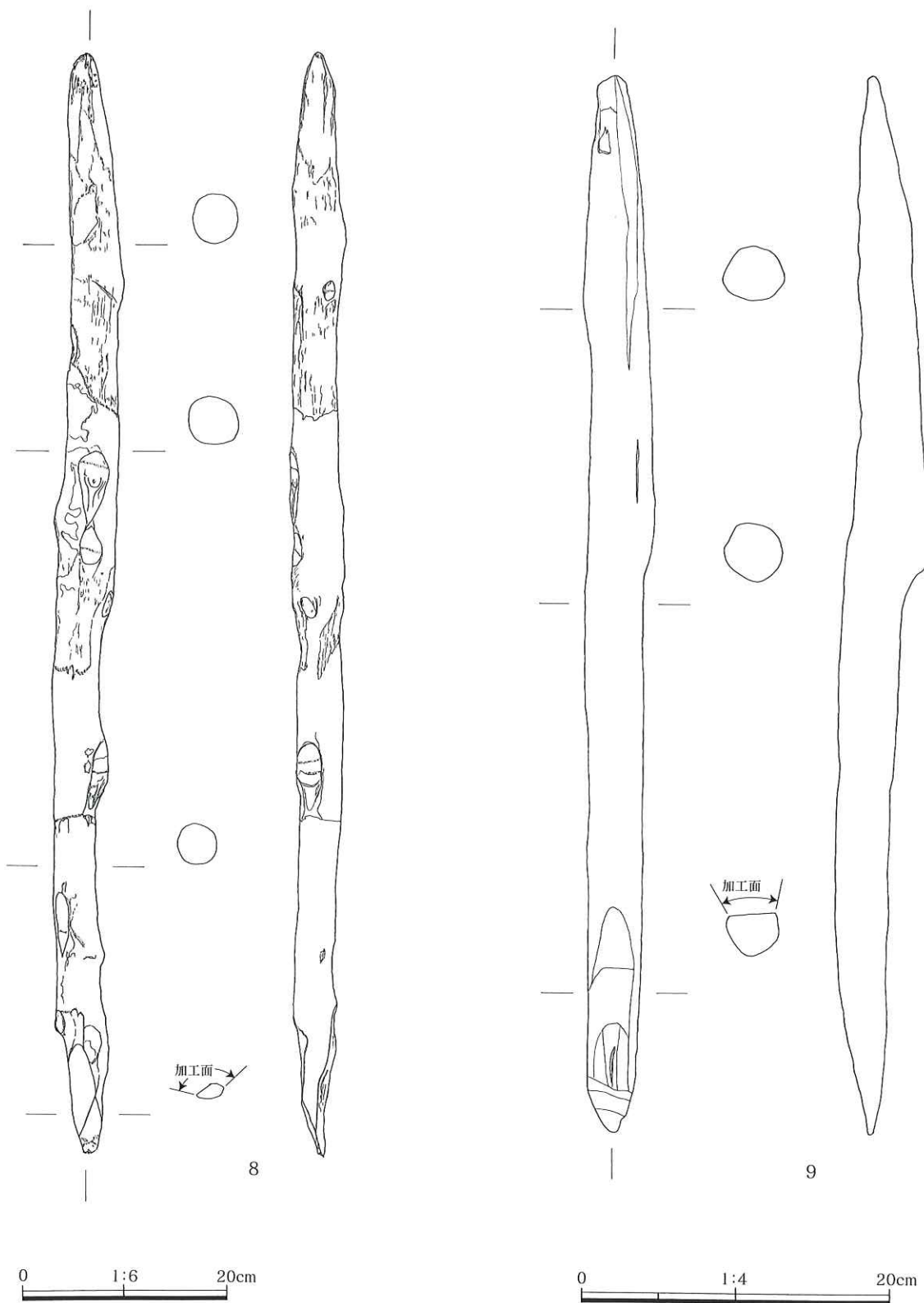
1. 芯持丸杭で長さ41.8cm、直径5.7cm、先端加工面は9箇所で長さ8.2cm。枝打ち痕あり。



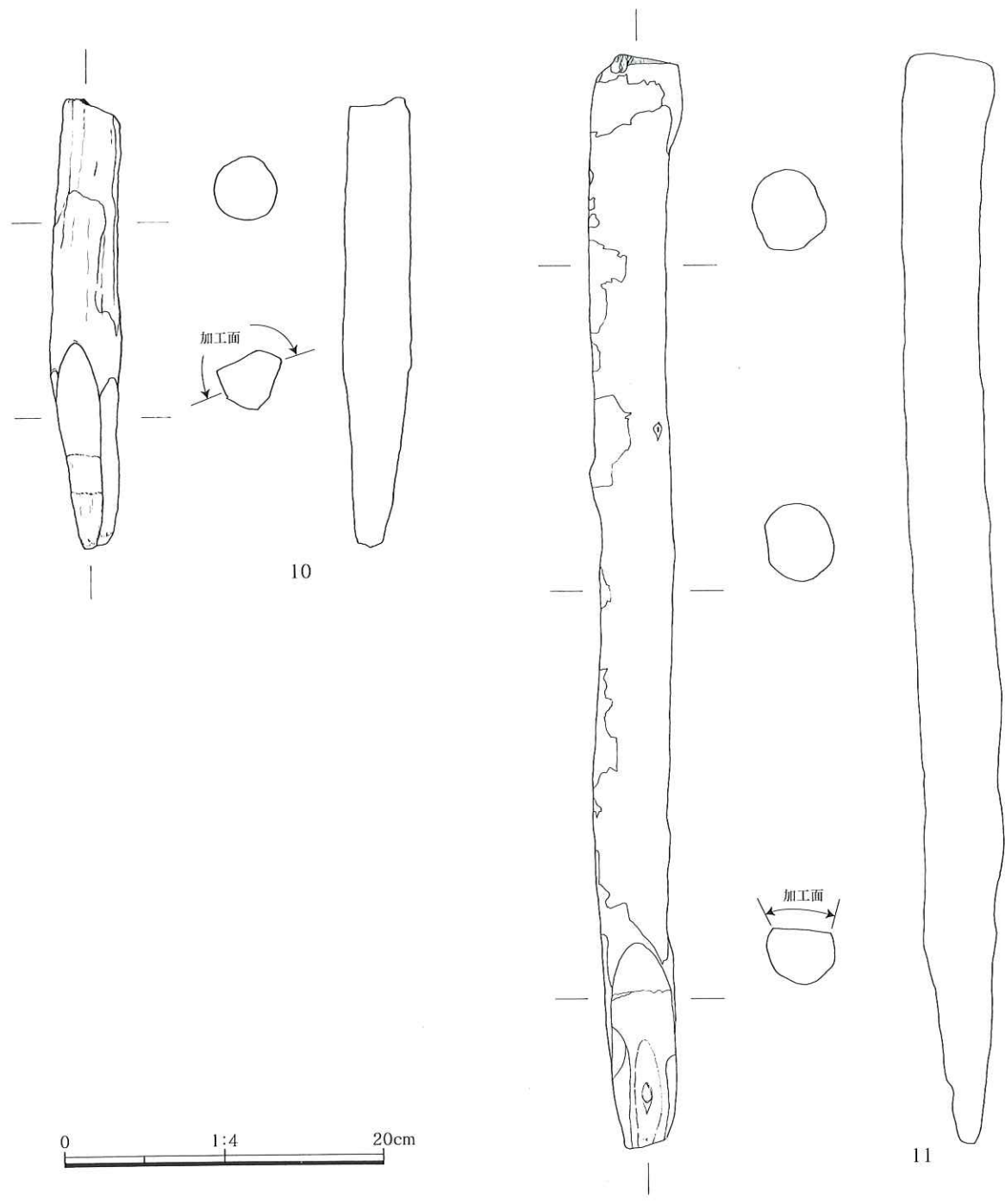
第48図 桁実測図(2)



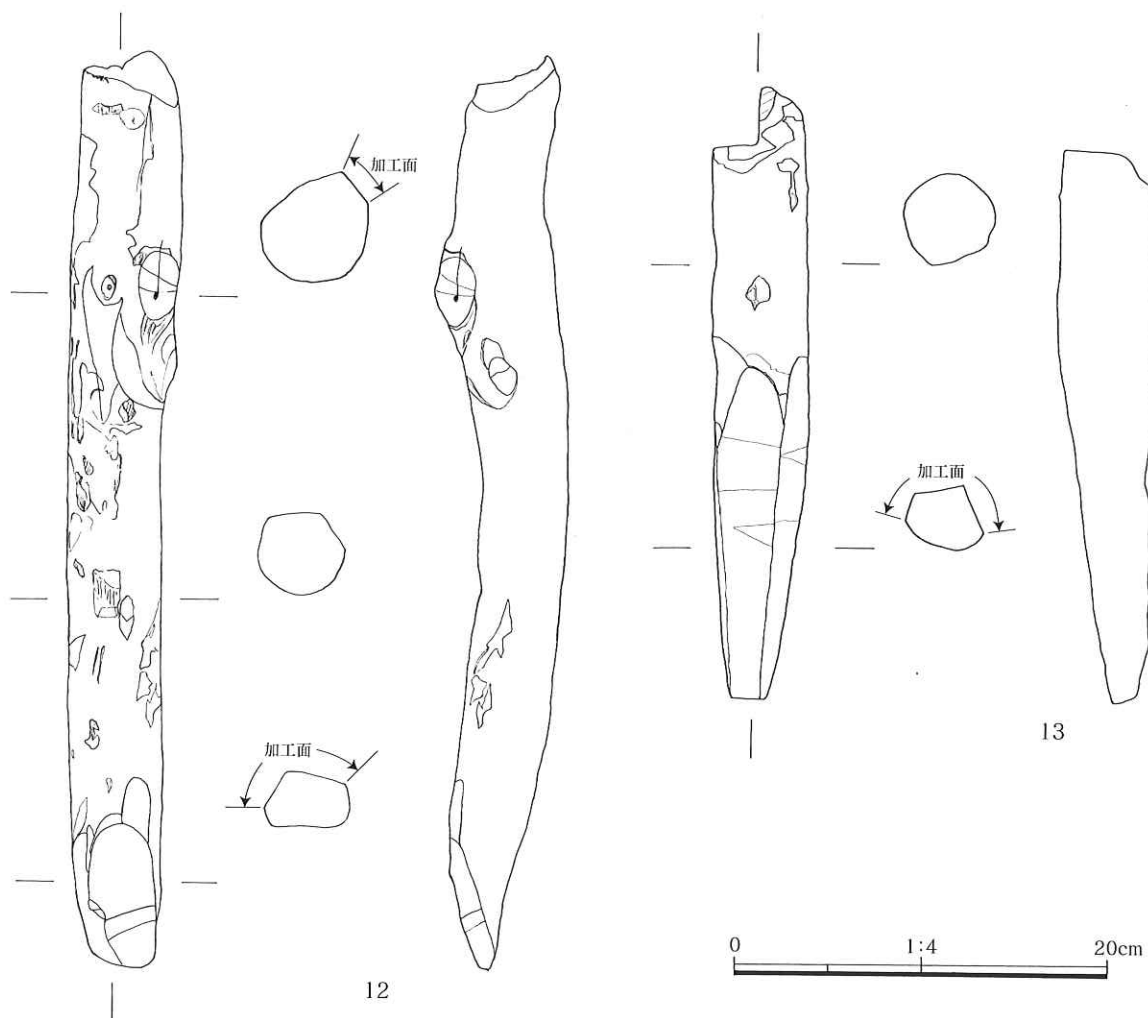
第49図 杭実測図（3）



第50図 桁実測図 (4)



第51図 杭実測図(5)



第52図 杭実測図（6）

杭列10出土杭 （第62図-34）

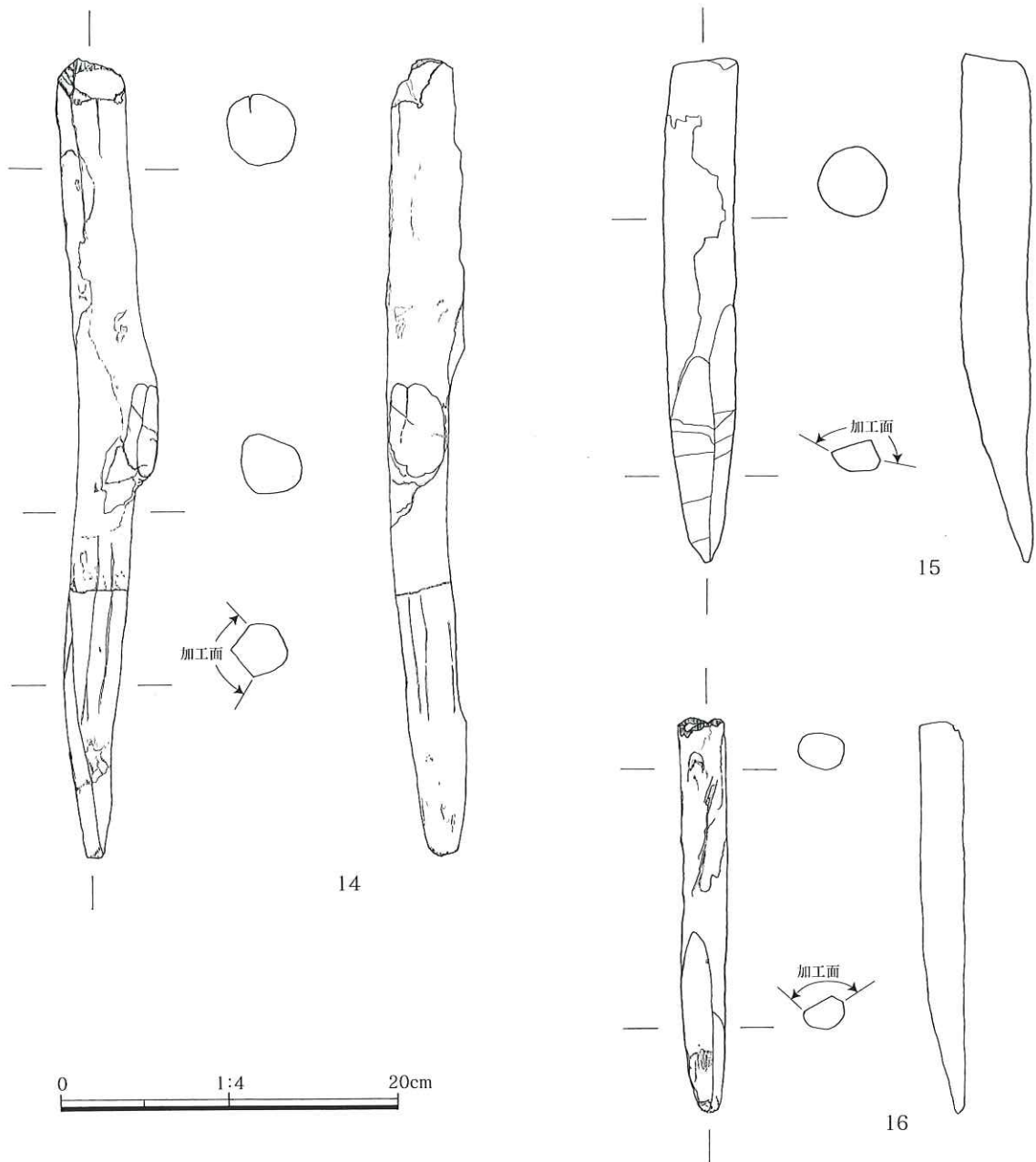
杭列は4本の杭で構成されている。その中から杭1点を実測図化した。

34. 芯持丸杭で長さ40.8cm、直径6.8cm、先端加工面は30箇所で長さ27cm。枝打ち痕あり。

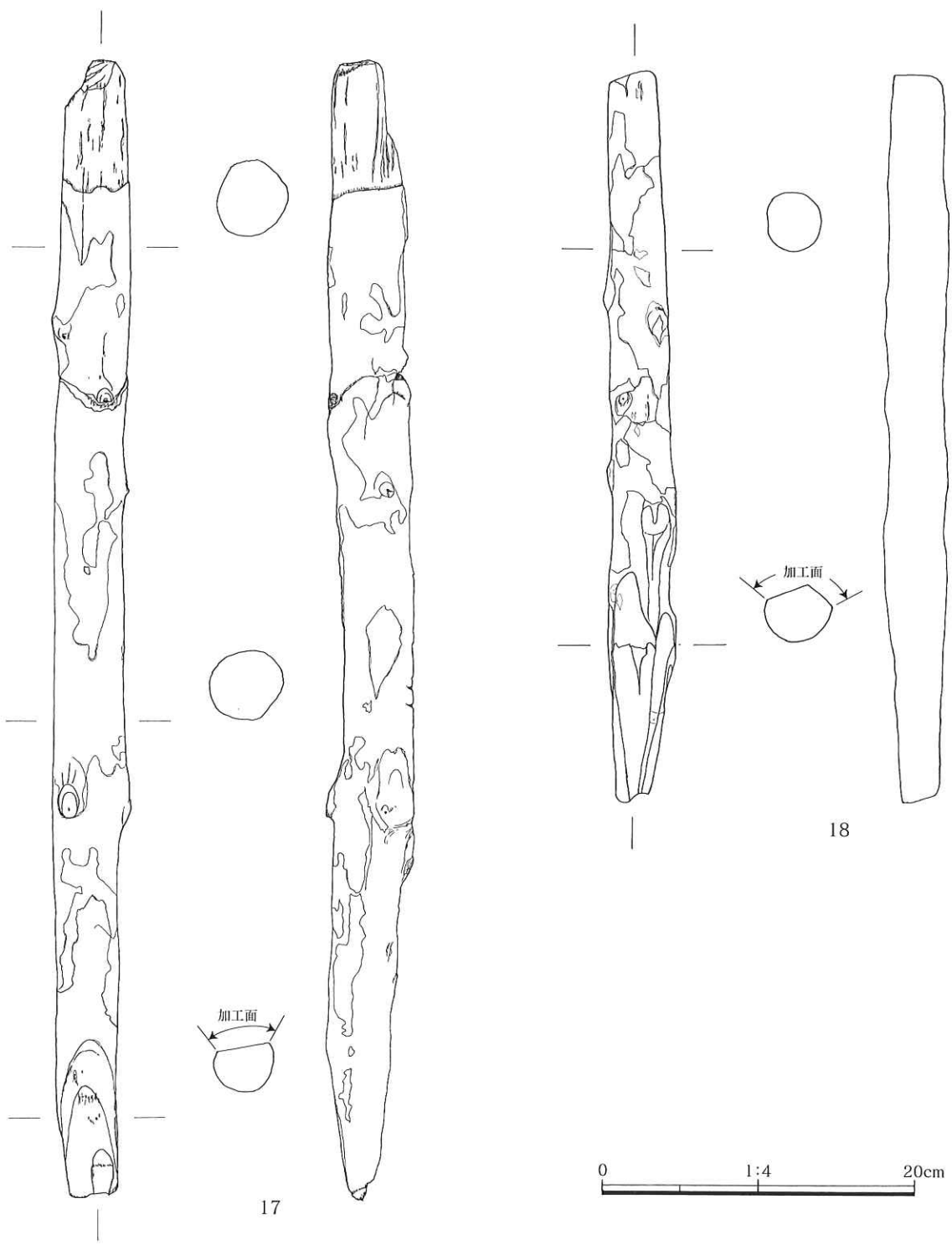
杭列11出土杭 （第62図-35）

杭列は1本の杭で構成されている。その中から杭1点を実測図化した。

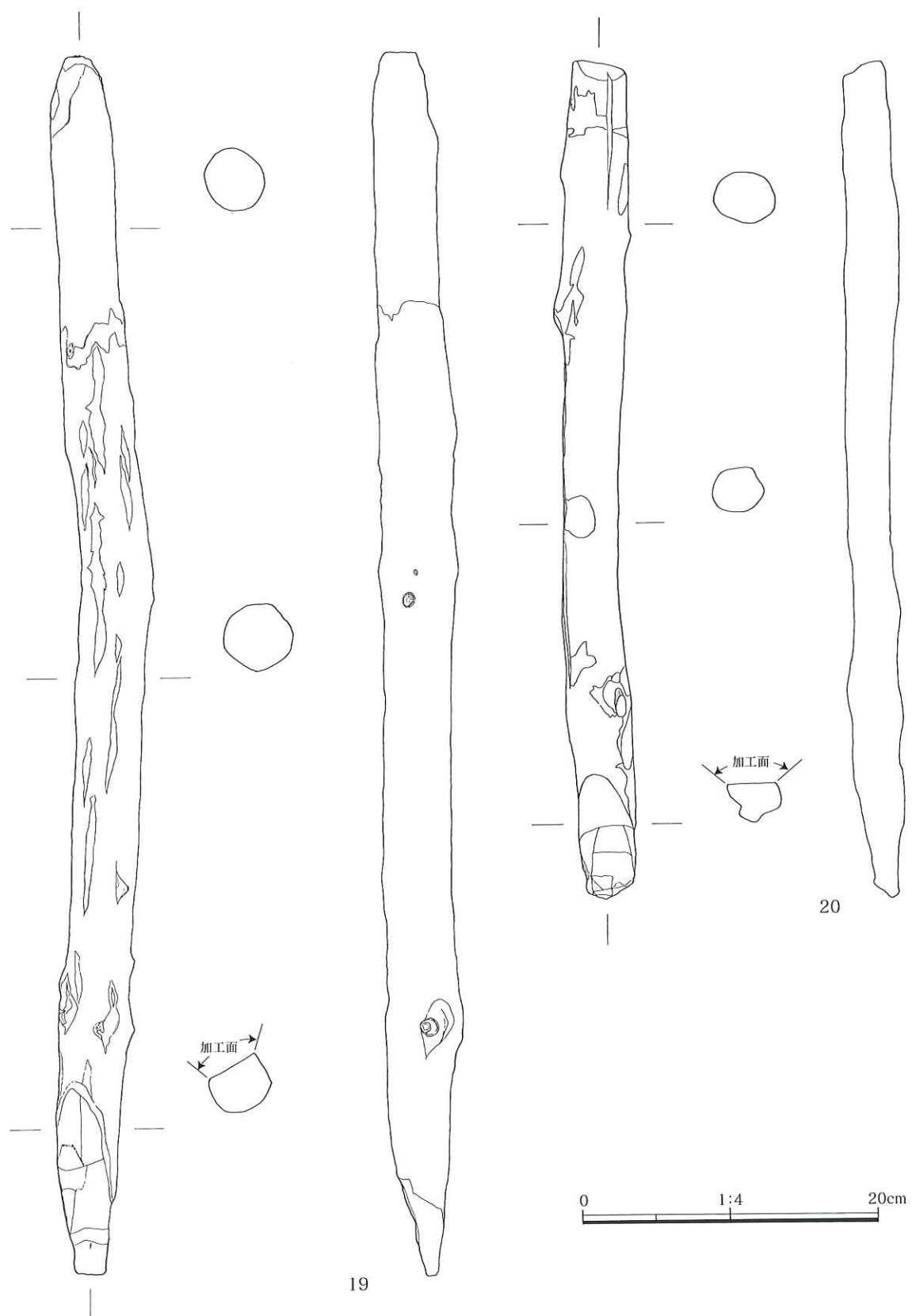
35. 芯持丸杭で長さ46.3cm、直径3.8cm、先端加工面は2箇所。枝打ち痕あり。



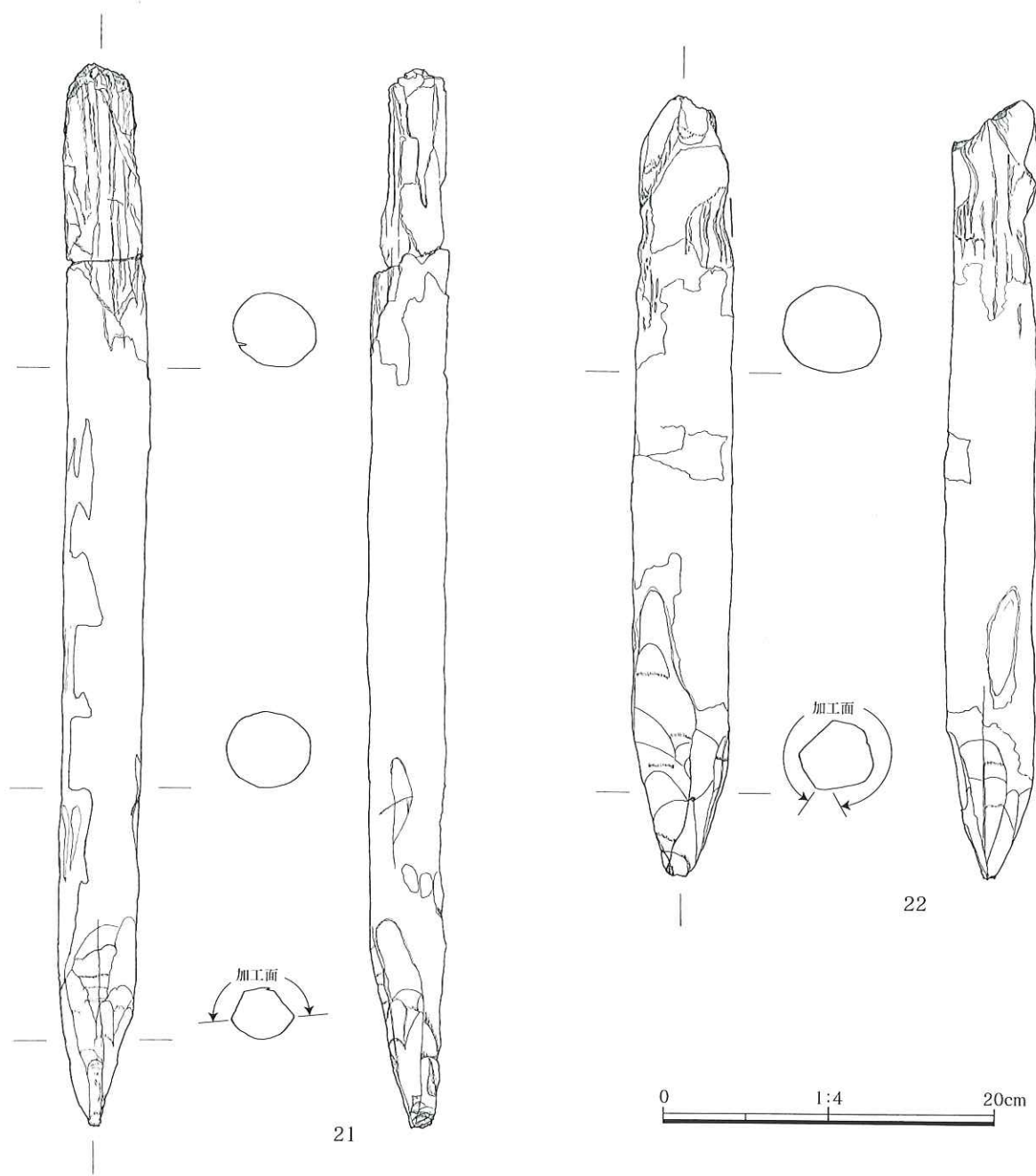
第53図 杭実測図（7）



第54図 杭実測図(8)



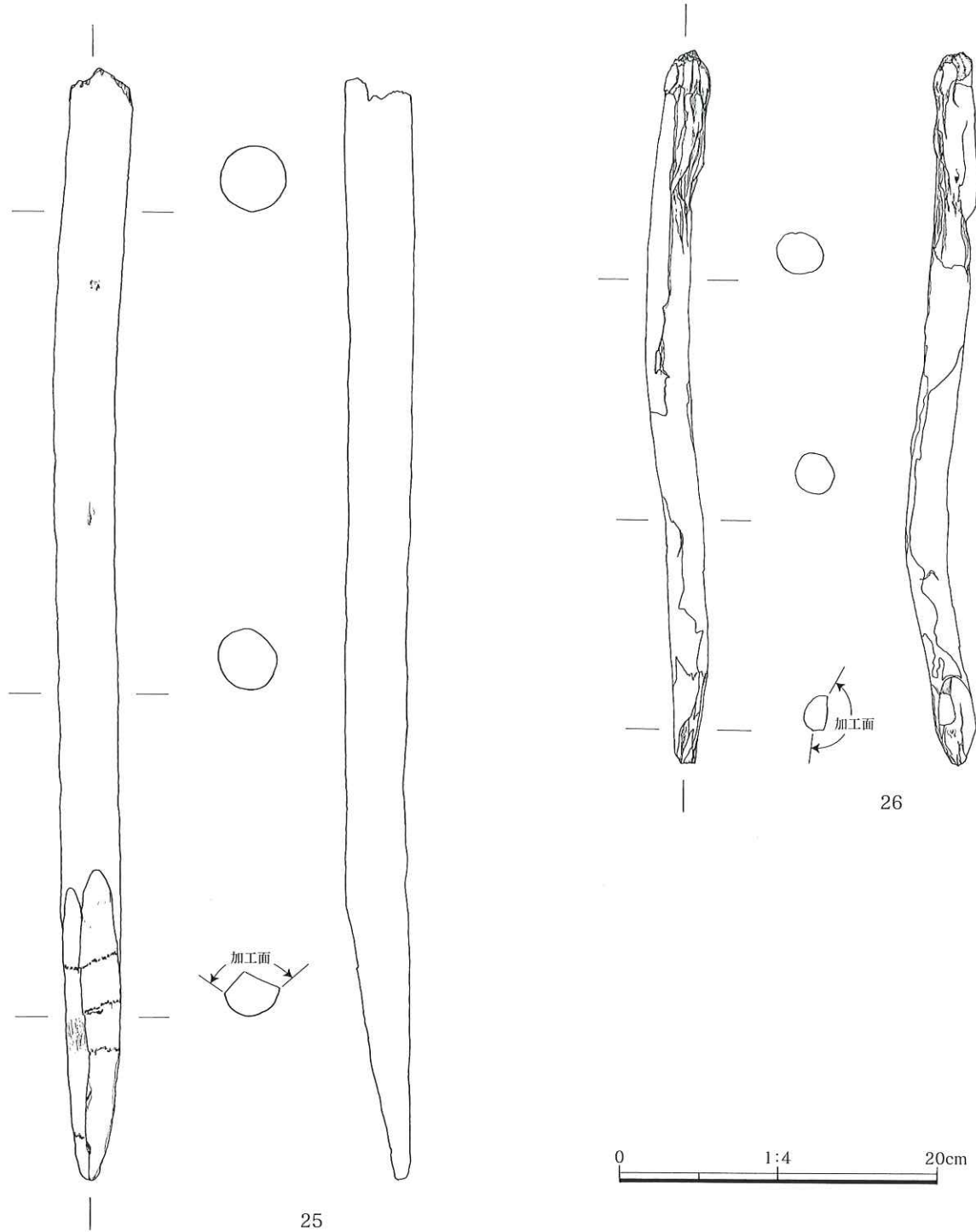
第55図 杭実測図(9)



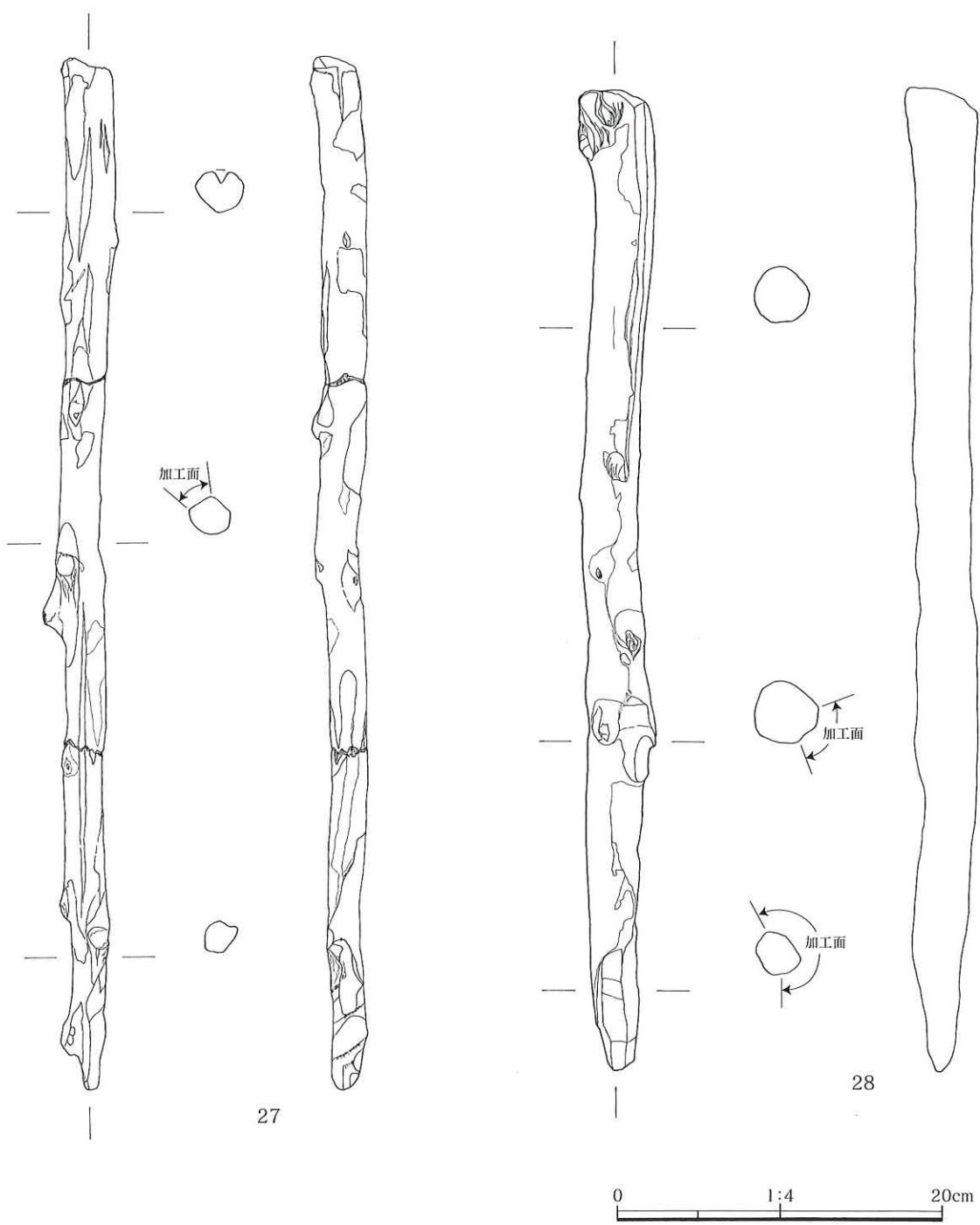
第56図 杭実測図 (10)



第57図 杭実測図 (11)



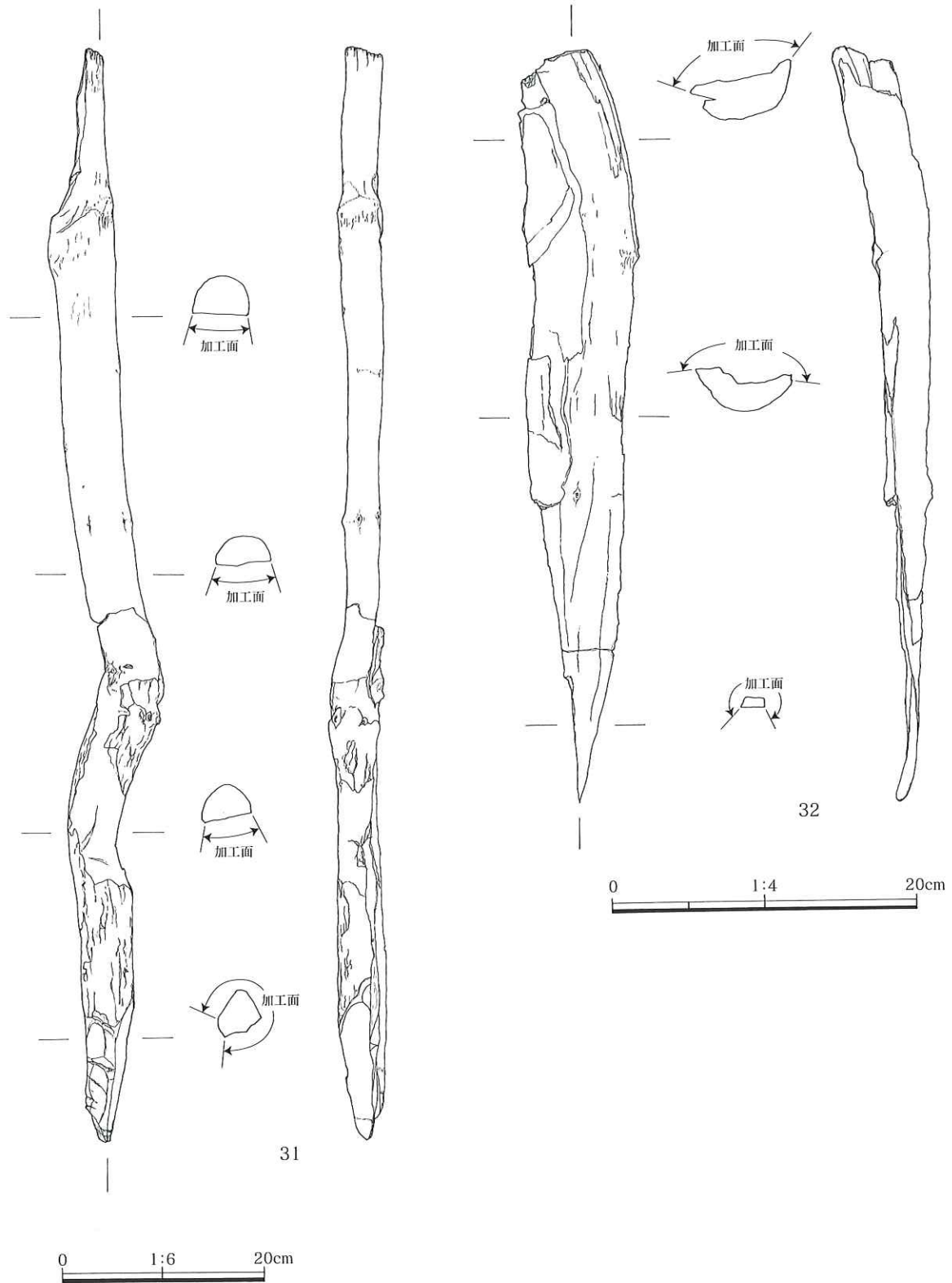
第58図 桁実測図(12)



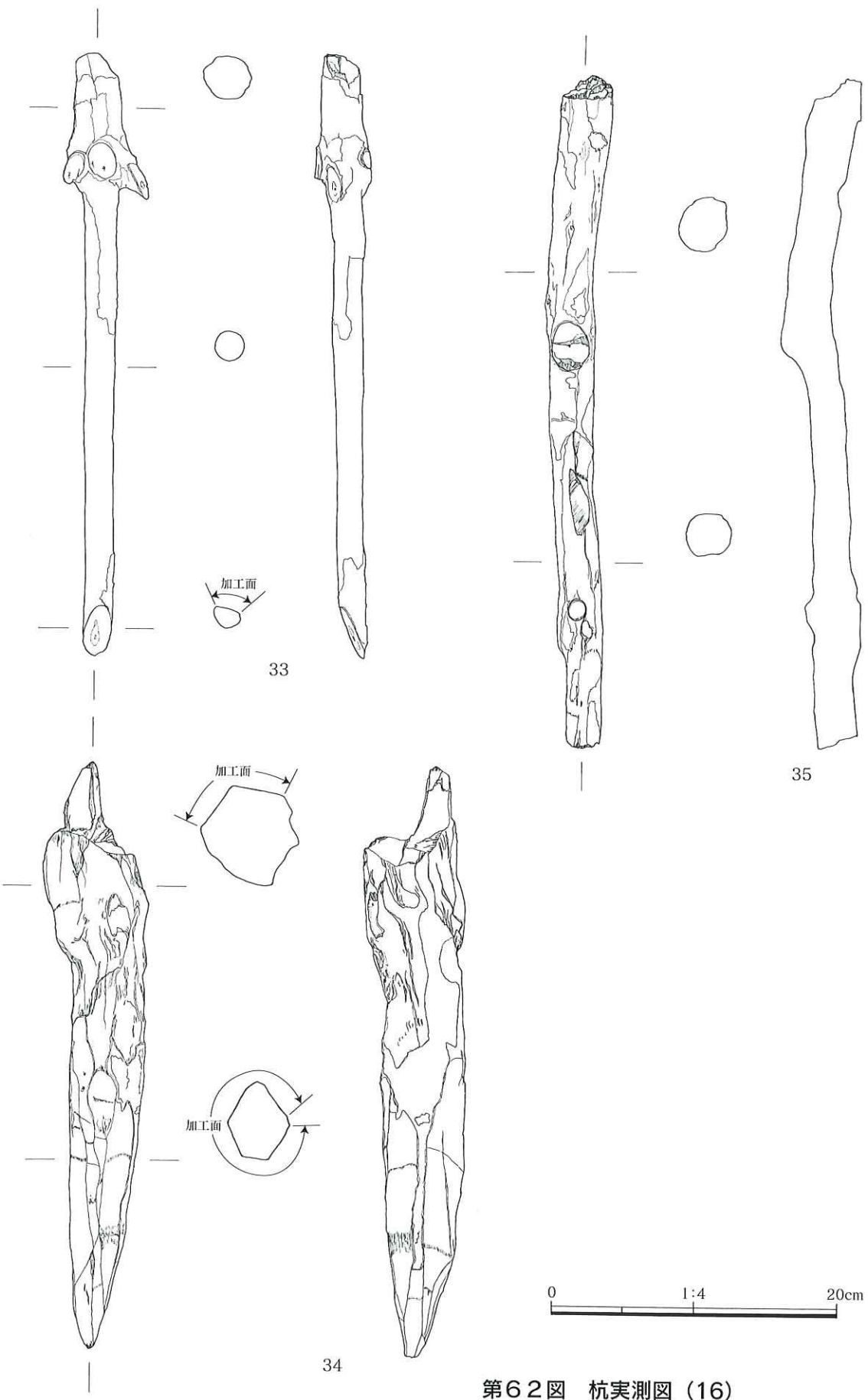
第59図 杭実測図 (13)



第60図 桁実測図 (14)



第61図 杭実測図(15)



第62図 桁実測図 (16)

第3表 主要木製品観察表

挿図	番号	杭種	長さ (cm)	直径 (cm)	長さ (cm)	面数	分析		分析時 列	番号	樹種
							区	D			
47	1	芯持丸杭	35.8	4.6	7.4	4	○	D	1	1	マツ属
	2	芯持丸杭	51	4.6	11	9	×	D	-	-	-
48	3	芯持丸杭	53.7	4.3	9.2	9	○	D	1	6	ツバキ属
	4	芯持丸杭	44	4.1	13.4	14	○	D	1	10	マツ属
49	5	芯持丸杭	24.4	2.6	5.8	6	×	D	-	-	-
	6	芯持丸杭	96.2	5.1	11	5	○	D	2	4	ハイノキ属
50	7	芯持丸杭	39.4	3.9	4.7	6	×	D	-	-	-
	8	芯持丸杭	106.2	5.8	10.6	6	○	D	2	10	ツバキ属
51	9	芯持丸杭	68.1	5	14.5	8	○	D	2	14	ツバキ属
	10	芯持丸杭	27.7	4.4	12.6	12	×	D	-	-	-
52	11	芯持丸杭	67.2	5	12.6	4	○	D	2	18	タブノキ属
	12	芯持丸杭	48.5	6.3	10	3	○	D	3	7	ユズリハ属
53	13	芯持丸杭	32.3	5	18.1	12	×	D	-	-	-
	14	芯持丸杭	46.4	4.6	15.1	6	○	D	3	11	スタジイ
54	15	芯持丸杭	29.2	4	15	12	×	D	-	-	-
	16	芯持丸杭	23	2.7	10.6	5	○	D	3	14	イヌビワ属
55	17	芯持丸杭	71.9	5.5	10	3	○	D	3	19	ネジキ
	18	芯持丸杭	46.2	4.2	14.3	8	×	D	-	-	-
56	19	芯持丸杭	81.5	5.3	12.7	13	○	D	3	27	スタジイ
	20	芯持丸杭	55.9	4.8	8.2	8	×	D	-	-	-
57	21	芯持丸杭	63.1	4.9	12.4	20	○	B	4	1	シャシャンボ
	22	芯持丸杭	46.4	5.9	17	30	×	B	-	-	-
58	23	芯持丸杭	79.7	5.3	20.9	9	○	B	5	4	マツ属
	24	芯持丸杭	78.2	4	22	9	×	B	-	-	-
59	25	芯持丸杭	69	4.1	17	10	×	B	-	-	-
	26	芯持丸杭	44.2	2.5	5.6	4	×	B	-	-	-
60	27	芯持丸杭	62.4	3.7	7.8	10	×	B	-	-	-
	28	芯持丸杭	59.4	3.9	7.4	6	○	B	5	28	コナラ属
61	29	芯持丸杭	41.6	2.9	6.6	1	×	B	-	-	-
	30	芯持丸杭	66	5.1	15.6	11	○	B	6	25	スタジイ
62	31	半裁丸杭	106	6.7	13.5	13	○	D	7	1	カキノキ属
	32	半裁丸杭	48.9	7.4	8.2	1	○	D	8	1	タブノキ属
63	33	芯持丸杭	41.8	5.7	3.6	1	○	D	9	1	マツ属
	34	芯持丸杭	40.8	6.8	27	30	×	D	-	-	-
64	35	芯持丸杭	(46.3)	3.8	3	2	×	B	-	-	-

第Ⅴ章 自然科学分析

第1節 玉名市新庁舎建設予定地の自然科学分析調査(その1)

・パリノ・サーヴェイ株式会社

はじめに

今回の発掘調査地点は、熊本県玉名市岩崎所在の玉名市新庁舎建設予定地内で、菊池川支流の繁根木川左岸に立地する。調査区内では、中世とされる畦畔を伴う水田跡が検出されたほか、この水田跡に伴うと考えられている流路跡が調査区を東西方向に横断しており、その両岸には杭列が遺存していた。

今回の分析調査では、調査区壁面の土壤を対象に、古環境及び栽培植物に関する情報を得ることを目的として、珪藻分析、花粉分析・イネ属同定、植物珪酸体分析を実施する。

1. 試料

分析試料は、当社技師1名が平成4月25日に現地に赴き、調査区内断面に現れた基本層序の観察、記録を行い、教育委員会担当者と協議のうえ採取した。

土壠試料は主に、調査区内のA区とB区間に設定された土壠観察用ベルトの西壁断面で採取した。本報では、本試料採取地点を「A-B間ベルト西壁断面」と呼称し、以下に現地観察所見と採取試料の概要を記す。

A-B間ベルト西壁断面は、1層～9層に分層されており、1～3層はシルト混じり砂層、4～5層は酸化鉄濃集を多く含むシルト層、6・7層は酸化鉄濃集を少し含む粘土層、8・9層は植物根を含む粘土層である。これらうち6・7層は断面の観察所見より畦畔跡と考えられており、5・4層にはこれに伴う水田耕土で、出土遺物により中世とされている。その上位の1～3層は、この中世の水田層をほぼ水平に不整合で累重しており、砂が主体をなすことから、氾濫堆積物と判断される。

本地点で採取した土壤試料は、層相等を考慮して各層より1～2点、計11点(試料番号1～11)を採取した(図1)。これらの試料のうち、試料番号3(3層)、4(4層)、6(5層)、7(8層)、10(6層)の計5点について、珪藻分析、花粉分析・イネ属同定、植物珪酸体分析を実施する。

ガラスに貼り付け、永久プレートを作製する。

検鏡は、油浸600倍または1000倍で行い、メカニカルステージを用いて、任意に出現在する珪藻化石が200個体以上になるまで同定・計数した。なお原則として、珪藻殻が半分以上破損したものについては、誤同定を避けたため同定・計数は行わない。200個体が検出できた後は、示準種などの重要な種類の見落としがないよう、全体を精査し、含まれる種群すべてが把握できるように努める。

珪藻の同定と種の生態性については、Horst Lange-Bertalot(2000)、Hustedt(1930-1966)、Krammer & Lange-Bertalot(1985-1991)、Desikachary(1987などを参考にする。群集解釈にあたり、個々の産出化石は、まず塩分濃度に対する適応性により、海水生、海水～汽水生、汽水生、淡水生に生態分類し、さらにその中の淡水生種は、塩分、pH、水の流動性の3適応性についても生態分類し、表に示す。

なお、淡水生種の生態性のうち、塩分に対する適応性は、淡水中の塩類濃度の違いにより区分したものので、ある程度の塩分が含まれたほうがよく生育する種類が含まれていても生育できるものと不定性種として区分する。これは、主に水域の化学的な特性を知る手がかりとなるが、単に塩類濃度が高いあるいは低いといったことが分かるだけではなく、塩類濃度が高い水域というのは概して閉鎖水域である場合が多いことから、景觀を推定する上でも重要な要素である。

次にpHに対する適応性は、アルカリ性の水域に特徴的に認められる種群を好アルカリ性種、逆に酸性水域に生育する種群を好酸性種、中性的水域に生育する種を不定性種とする。これも、單に水の酸性・アルカリ性のいずれかがわかるだけでなく、酸性の場合には湿地であることが多いため、間接的に水域の状況を考察する上でも必要不可欠である。

さらに流水に対する適応性は、流れのある水域の基物(岩石・大型の藻類・水生植物など)に付着生育する種群であり、特に常時流のあるような水域でなければ生育出来ない種群を好流水性種、逆に流れのない水域に生育する種群を好止水性種と区分する。なお、好流水性種と流水不定性種の多くは付着性種であるが、大半は止水域に多い種群である。なお、好流水性種と流水不定性種の多くは浮遊性種であるが、好止水性種には水塊中を浮遊生活する浮遊性種も存在する。なお浮遊性種は、池沼または湖沼のような水域環境を指標する。なお淡水生種の中には、水中から出て陸域の乾いた環境下でも生育する種群が存在しており、これらは陸生珪藻と呼んで水中で生育する種群と区分している。陸生珪藻は、陸域の乾いた環境を指標することから、古環境を推定する上で極めて重要な種群である。

(2) 花粉分析・イネ属同定

試料約10gについて、水酸化カリウムによる泥化、篩別、重液(臭化亜鉛、比重2.3)による有機物の分離、ツ化水素酸による鉱物質の除去、アセトシス(無水酢酸：9：濃硫酸1の混合液)処理による植物遺体中のセルロースの分解を行い、物理・化学的の処理を施して花粉を濃集する。残渣をグリセリンで封入してプレパラートを作製し、400倍の光学顕微鏡下でプレパラート全面を走査し、出現する全ての種類について同定・計数する。

同定は、当社保有的の現生標本や島倉(1973)、中村(1980a)等を参考にする。

イネ属については、検出されるイネ科花粉の表面微細構造、発芽孔の肥厚状況、粒径などを考慮し、中村(1974)を参考にしてイネ属と他のイネ科に分類する。

結果は同定・計数結果の一覧表、及び花粉化石群集の層位分布図として表示する。図表中で複数の種類をハイフオンで結んだものは、種類間の区別が困難なものと示す。図中の木本花粉は木本花粉総数を、草本花粉シダ類胞子は総数から不明花粉を除いた数をそれぞれ基數として、百分率で出現率を算出し図示する。なお、木本花粉総数が100個体未満のものは、統計的に扱うと結果が歪曲する恐れがあるので、出現した種類

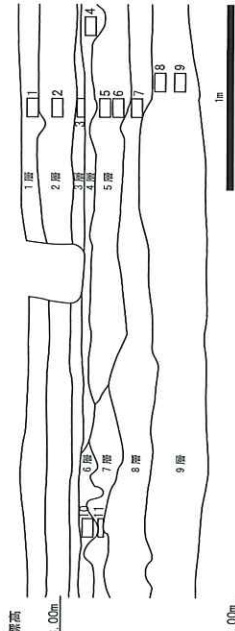


図1. A-B西壁断面の断面図および試料採取位置

2. 分析方法

(1) 硅藻分析

湿重量の5gをビーカーに計り取り、過酸化水素水と塩酸を加えて、試料の泥化と有機物の分解・漂白を行う。次に分散剤を加えた後、蒸留水を満たし放置する。その後、上澄み液中に浮遊した粘土分を除去し、珪藻殻の濃縮を行う。この操作を、4～5回繰り返す。次に、自然沈降法による砂質分の除去を行い、検鏡し易い濃度に希釈し、カバーガラス上に滴下して乾燥させる。乾燥した試料上に封入剤のブリュラックスを滴下し、スライド

表1. 瑰藻分析結果(1)

左十で表示するにとどめておく。

（二）植物病理学/八

(3)恒温正確性評定
各試料について過酸化水素水・塩酸処理・沈定法、重液分離法(ボリタンクス)・テン酸ナトリウム、比重 2.5)の各試料にについて物理・化学処理を行い、植物珪酸体を分離・濃集する。これをカバーガラス上に滴下・乾燥させる。乾燥後、
プリュラックスで封入してプレーラートを作製する。400 倍の光学顕微鏡下で全面を走査し、その間に出現する
イネ科葉部(葉身と葉鞘)の葉部短細胞に由來した植物珪酸体(以下、短細胞珪酸体と呼ぶ)を、近藤(2010)の分類を参考に同定し、計数する。
細胞に由来した植物珪酸体以下、機動細胞珪酸体と呼ぶを、分析試料の乾燥重量、プレーラート作成に用いた分析残渣量を計算し、乾土 1gあたりの植
物珪酸体含量(同定した数を乾土 1gあたりの個数に換算)を求める。

結果は、植物珪酸含量の一覧表で示す。その際、100 個/g 未満は「<100」で表示する。各分類群の含量は、10 の位で丸め(100 単位にする)、合計は各分類群の丸めない数字を合計した後に丸めている。また、各分類群の植物珪酸体積重量を試料毎に図示する。

3 結果

第十一章 水生植物与藻类分析

試料を表 1、図 2 に示す。各試料とも珪藻灰石は認められるが、半壊した殻が多いだけでなく、微表面に溶解の痕跡が認められることから、保存状態はいずれも極不良である。

Navicula kotschyi、止水性種の *Achnanthes crenulata* 等である。検出された分類群の構成は、淡水生種を主としており、低率に淡水～汽水生種、極低率に汽水生種を伴う。淡水生種の生態性のうち、塩分に対する適応性については、貧塩～不定性種が 70% を占めており、そのほか貧塩～一時性種が 0%、貧塩～不定性種が 2%、貧塩～不育種が 18% の産出率である。また、0% に対する適

応性は、アルカリ性種が最も優占しており、60%を占めたほかは、不定性種が18%、酸性種が2%、不明種が3%である。また、水に対する適応性をみると、淡水不定性種が優占し、55%を占めているほかは、程度産出する。さらに、本試験の水生種類と陸生種類の

以上、本群のアリエニス藻類は、シロサザン科のものと、生山藻類のものと、ヒメシノリ科のものとに分類される。

止水性種の *Achnanthes crenulata*, 陸生珪藻の *Hantzschia amphioxys*, *Luticora mutica* 等である。検出された分類群は、試料番号 3 同様に淡水生種を主として、極低率に淡水～汽水生種を伴う種群で構成される。淡水生種の生態性についてみると、塩分に対する適応性については、貧塩一不定性種が全体の 65% を占めているほかは、貧塩一好塩性種が 4%、貧塩一嫌塩性種が 3%、貧塩一不明性種が 28% を産出する。pH に対する適応性では、アルカリ性種が 58% を占めている他は、不定性種が約 9%、酸性種が約 4%、不明性種が約 29% を産出する。さらに、流水に対する適応性は、流水不定性種が 50% を占めているほか、止水性種が 12%、不明性種が 28% の産出率である。水生珪藻と陸生珪藻の比率は、水生珪藻が 62% を優占しており、陸生珪藻は

種類	生態性	環境指標					A-B西里 8層	B層	6層
		鹽分	pH	濁水	3層	4層			
<i>Aulicus caeruleus</i> Baily	Euh	Euh	Euh	Euh	-	-	-	1	-
<i>Bidulphia</i> sp.-A	Euh	Euh	Euh	Euh	A	-	-	1	-
<i>Campylodiscus</i> spp.	Euh	Euh	Euh	Euh	A.B	-	-	1	-
<i>Chaetoceros</i> spp.	Euh	Euh	Euh	Euh	A.B.D.E	-	-	6	-
<i>Coscinodiscus radiatus</i> Ehrenberg	Euh	Euh	Euh	Euh	A	-	-	2	-
<i>Coscinodiscus subtili</i> Ehrenberg	Euh	Euh	Euh	Euh	A	-	-	1	-
<i>Hydrodiscus scuticis</i> (Kuetz.) Grunow	Euh	Euh	Euh	Euh	A.B	-	-	1	-
<i>Hyalodiscus</i> spp.	Euh	Euh	Euh	Euh	A.B	-	-	38	39
<i>Paralia sulcata</i> (Ehr.) Cleve	Euh	Euh	Euh	Euh	A.B	-	-	17	9
<i>Thalassionema bagillaris</i> (Heid.) Kolbe	Euh	Euh	Euh	Euh	A.B	-	-	1	1
<i>Thalassionema nitczschiaoides</i> (Grun.) Grunow	Euh	Euh	Euh	Euh	A	-	-	2	2
<i>Thalassiosira</i> spp.	Euh-Meh	Euh-Meh	Euh-Meh	Euh-Meh	B	-	-	1	7
<i>Cyclotella striata</i> -C. (Kuetz.) Grunow	Euh-Meh	Euh-Meh	Euh-Meh	Euh-Meh	B	-	-	1	1
<i>Cyclotella stylorum</i> Brightwell	Euh-Meh	Euh-Meh	Euh-Meh	Euh-Meh	B	-	-	1	-
<i>Cyclotella</i> spp.	Euh-Meh	Euh-Meh	Euh-Meh	Euh-Meh	B	-	-	1	-
<i>Delphinia surrella</i> var. <i>australis</i> (Ehr.) Andrews	Euh-Meh	Euh-Meh	Euh-Meh	Euh-Meh	B	-	-	1	-
<i>Diplaneis</i> (Breb. ex W Smith) Cleve	Euh-Meh	Euh-Meh	Euh-Meh	Euh-Meh	B	-	-	8	27
<i>Diplaneis smithii</i> var. <i>pumila</i> (Grun.) Hustedt	Euh-Meh	Euh-Meh	Euh-Meh	Euh-Meh	B	-	-	1	1
<i>Diplaneis smithii</i> var. <i>rhombica</i> Merezhkovsky	Euh-Meh	Euh-Meh	Euh-Meh	Euh-Meh	B	-	-	2	11
<i>Diploneis</i> spp.	Euh-Meh	Euh-Meh	Euh-Meh	Euh-Meh	B	-	-	5	9
<i>Achnanthus brevispes</i> C. Agardh	Meh	Meh	Meh	Meh	B	-	-	1	-
<i>Caloneis formosa</i> (Greg.) Cleve	Meh	Meh	Meh	Meh	B	-	-	1	-
<i>Caloneis</i> spp.	Meh	Meh	Meh	Meh	B	-	-	1	-
<i>Diploneis pseudovalvis</i> Hustvedt	Meh	Meh	Meh	Meh	B	-	-	1	-
<i>Fragilaria fasciata</i> (Ag.) Lange-Bertalot	Meh	Meh	Meh	Meh	B	-	-	1	-
<i>Navicula yarenensis</i> Grunow	Meh	Meh	Meh	Meh	B	-	-	1	-
<i>Nitzschia cocconeiformis</i> Grunow	Meh	Meh	Meh	Meh	B	-	-	1	-
<i>Nitzschia lorenziana</i> var. <i>subtilis</i> Grunow	Meh	Meh	Meh	Meh	B	-	-	1	-
<i>Pseudopodosira kosiogii</i> Tanimura et Sato	Meh	Meh	Meh	Meh	B	-	-	1	-
<i>Thalassiosira bramaputriensis</i> (Ehr.) Hansson & Locker	Meh	Meh	Meh	Meh	B	-	-	1	-
<i>Catombsa obsoleta</i> (Fant.) P. J. M. Snoeijs	Ogh-Meh	Ogh-Meh	Ogh-Meh	Ogh-Meh	ind	-	-	1	-
<i>Nitzschia levidensis</i> var. <i>victoriae</i> (Grun.) Cholnoky	Ogh-Meh	Ogh-Meh	Ogh-Meh	Ogh-Meh	U	-	-	4	-
<i>Pseudospirostaura breviseta</i> (Grun.) Williams & Round	Ogh-Meh	Ogh-Meh	Ogh-Meh	Ogh-Meh	U	-	-	3	-
<i>Rhopalodia gibberula</i> (Ehr.) Mueller	Ogh-Ind	Ogh-Ind	Ogh-Ind	Ogh-Ind	T	-	-	7	7
<i>Achranthes crenulata</i> Grunow	Ogh-Ind	Ogh-Ind	Ogh-Ind	Ogh-Ind	T	-	-	1	8
<i>Amphora pediculus</i> (Kuetz.) Grunow	Ogh-Ind	Ogh-Ind	Ogh-Ind	Ogh-Ind	T	-	-	1	-
<i>Achranthes infixa</i> (Kuetz.) Grunow	Ogh-Ind	Ogh-Ind	Ogh-Ind	Ogh-Ind	T	-	-	3	1
<i>Achnanthus</i> spp.	Ogh-Ind	Ogh-Ind	Ogh-Ind	Ogh-Ind	T	-	-	1	-
<i>Amphora affinis</i> Kuetzing	Ogh-Ind	Ogh-Ind	Ogh-Ind	Ogh-Ind	T	-	-	3	8
<i>Amphora ovalis</i> var. <i>affinis</i> (Kuetz.) Van Heurck	Ogh-Ind	Ogh-Ind	Ogh-Ind	Ogh-Ind	T	-	-	7	28
<i>Amphora pediculus</i> (Kuetz.) Grunow	Ogh-Ind	Ogh-Ind	Ogh-Ind	Ogh-Ind	T	-	-	1	-
<i>Amphora</i> spp.	Ogh-Ind	Ogh-Ind	Ogh-Ind	Ogh-Ind	T	-	-	1	-
<i>Caloneis leptopoda</i> Krammer & Lange-Bertalot	Ogh-Ind	Ogh-Ind	Ogh-Ind	Ogh-Ind	T	-	-	1	-
<i>Caloneis silicula</i> (Ehr.) Cleve	Ogh-Ind	Ogh-Ind	Ogh-Ind	Ogh-Ind	T	-	-	3	2
<i>Caloneis silicula</i> var. <i>intermedia</i> A.Mayer	Ogh-Ind	Ogh-Ind	Ogh-Ind	Ogh-Ind	T	-	-	1	-
<i>Caloneis</i> spp.	Ogh-Ind	Ogh-Ind	Ogh-Ind	Ogh-Ind	T	-	-	3	-
<i>Coconeis diminuta</i> Pantosek	Ogh-Ind	Ogh-Ind	Ogh-Ind	Ogh-Ind	T	-	-	1	-
<i>Coconeis placenta</i> (Ehr.) Cleve	Ogh-Ind	Ogh-Ind	Ogh-Ind	Ogh-Ind	T	-	-	3	-
<i>Coconeis</i> spp.	Ogh-Ind	Ogh-Ind	Ogh-Ind	Ogh-Ind	T	-	-	2	-
<i>Coconeis</i> spp.	Ogh-Ind	Ogh-Ind	Ogh-Ind	Ogh-Ind	T	-	-	1	-
<i>Craticula perrotetii</i> Grunow	Ogh-Ind	Ogh-Ind	Ogh-Ind	Ogh-Ind	T	-	-	1	-
<i>Cymbella aspera</i> (Ehr.) Cleve	Ogh-Ind	Ogh-Ind	Ogh-Ind	Ogh-Ind	T	-	-	2	-
<i>Cymbella heteropilea</i> var. <i>minor</i> Cleve	Ogh-Ind	Ogh-Ind	Ogh-Ind	Ogh-Ind	T	-	-	1	-
<i>Cymbella mediana</i> Cholnoky	Ogh-Ind	Ogh-Ind	Ogh-Ind	Ogh-Ind	T	-	-	1	-
<i>Cymbella naviculiformis</i> Auerswald	Ogh-Ind	Ogh-Ind	Ogh-Ind	Ogh-Ind	T	-	-	3	1
<i>Cymbella tumida</i> (Breb. ex Kuetz.) Van Heurck	Ogh-Ind	Ogh-Ind	Ogh-Ind	Ogh-Ind	T	-	-	1	-
<i>Cymbella turquida</i> Grunow	Ogh-Ind	Ogh-Ind	Ogh-Ind	Ogh-Ind	T	-	-	6	-
<i>Cymbella turquida</i> var. <i>nipponica</i> Skvortzow	Ogh-Ind	Ogh-Ind	Ogh-Ind	Ogh-Ind	T	-	-	1	-

表1. 珪藻分析結果(2)

種類	A-B西壁										A-B西壁										
	生態性		環境指標種		種類		生態性		環境指標種		3層		4層		3層		4層		5層		
	pH	流水	3層	4層	5層	8層	6層	7	10	3	4	7	12	1	2	6	7	10	3	4	
<i>Cymbella</i> spp.	Ogh-ind	ai-i	I-ph	RA,T	-	5	-	-	1	Ogh-ind	ai-i	I-ph	U	Ogh-ind	ai-i	I-ph	S	-	-	-	-
<i>Diploneis elliptica</i> (Kuetz.) Cleve	Ogh-ind	ai-i	ind	Ogh-ind	8	-	-	1	5	Ogh-ind	ai-i	ind	ind	Ogh-ind	ai-i	ind	ind	-	-	1	-
<i>Diploneis ovalis</i> (Hilse) Cleve	Ogh-ind	ai-i	ind	Ogh-ind	-	-	-	-	1	Ogh-ind	ai-i	ind	ind	Ogh-ind	ai-i	ind	ind	-	-	-	-
<i>Diploneis parma</i> Cleve	Ogh-ind	ai-i	ind	Ogh-ind	Ogh-ind	-	-	2	-	Ogh-ind	ai-i	ind	ind	Ogh-ind	ai-i	ind	ind	4	2	1	2
<i>Diploneis yakuensis</i> Horikawa et Okuno	Ogh-ind	unk	T	Ogh-ind	4	-	13	4	-	Ogh-ind	ai-i	ind	ind	Ogh-ind	ai-i	ind	ind	3	3	1	2
<i>Diploneis</i> spp.	Ogh-ind	unk	T	Ogh-ind	1	-	-	-	-	Ogh-ind	ai-i	ind	ind	Ogh-ind	ai-i	ind	ind	3	3	3	7
<i>Encyonema gracile</i> Ehrenberg	Ogh-ind	ind	U	Ogh-ind	1	-	-	-	-	Ogh-ind	ai-i	ind	ind	Ogh-ind	ai-i	ind	ind	1	-	1	-
<i>Encyonema stiesiacum</i> (Bleek in Rabenth.) D.G.Mann	Ogh-ind	ind	U	Ogh-ind	3	-	-	-	-	Ogh-ind	ai-i	ind	ind	Ogh-ind	ai-i	ind	ind	0	0	0	-
<i>Epithemia adnata</i> (Kuetz.) Brebisson	Ogh-ind	ind	U	Ogh-ind	1	-	-	-	-	Ogh-ind	ai-i	ind	ind	Ogh-ind	ai-i	ind	ind	0	0	19	59
<i>Epithemia turrida</i> var. <i>westernmannii</i> (Ehr.) Grunow	Ogh-ind	ind	U	Ogh-ind	5	-	-	-	-	Ogh-ind	ai-i	ind	ind	Ogh-ind	ai-i	ind	ind	0	1	17	34
<i>Epithemia</i> spp.	Ogh-ind	unk	T	Ogh-ind	5	-	-	-	-	Ogh-ind	ai-i	ind	ind	Ogh-ind	ai-i	ind	ind	9	15	4	9
<i>Eurotia pectinalis</i> (Dillwyn) Rabenhorst	Ogh-ind	ac-i	ind	O.T	5	-	-	-	-	Ogh-ind	ai-i	ind	ind	Ogh-ind	ai-i	ind	ind	3	189	113	52
<i>Eurotia</i> spp.	Ogh-ind	unk	O	Ogh-ind	3	-	-	-	-	Ogh-ind	ai-i	ind	ind	Ogh-ind	ai-i	ind	ind	205	112	218	214
<i>Fragilaria prima</i> var. <i>lanceolata</i> (Schumann) Hustadt	Ogh-ind	unk	S	Ogh-ind	-	6	-	-	1	Ogh-ind	ai-i	ind	ind	Ogh-ind	ai-i	ind	ind	0	0	60	62
<i>Fragilaria ulna</i> (Nitzsch) Lange-Bertalot	Ogh-ind	ai-i	ind	Ogh-ind	22	7	-	17	-	Ogh-ind	ai-i	ind	ind	Ogh-ind	ai-i	ind	ind	0	0	19	59
<i>Fragilaria variabilis</i> (Kuetz.) Petersen	Ogh-ind	ai-i	ind	Ogh-ind	-	-	-	-	1	Ogh-ind	ai-i	ind	ind	Ogh-ind	ai-i	ind	ind	0	0	1	-
<i>Fragilaria</i> spp.	Ogh-ind	unk	K,T	Ogh-ind	-	-	-	-	2	Ogh-ind	ai-i	ind	ind	Ogh-ind	ai-i	ind	ind	6	1	1	-
<i>Gomphonema angustum</i> C.A.Gardn	Ogh-ind	unk	U	Ogh-ind	-	-	-	-	1	Ogh-ind	ai-i	ind	ind	Ogh-ind	ai-i	ind	ind	6	1	1	-
<i>Gomphonema parvulum</i> (Kuetz.) Kuetzing	Ogh-ind	ind	T	Ogh-ind	24	-	-	-	1	Ogh-ind	ai-i	ind	ind	Ogh-ind	ai-i	ind	ind	1	1	1	-
<i>Gomphonema</i> spp.	Ogh-ind	unk	T	Ogh-ind	6	-	1	2	-	Ogh-ind	ai-i	ind	ind	Ogh-ind	ai-i	ind	ind	1	1	2	-
<i>Gyrosigma acuminatum</i> (Kuetz.) Rabenhorst	Ogh-ind	unk	U	Ogh-ind	3	-	1	1	-	Ogh-ind	ai-i	ind	ind	Ogh-ind	ai-i	ind	ind	1	1	1	-
<i>Gyrosigma scalaroides</i> (Rabenhorst) Cleve	Ogh-ind	ai-i	I-ph	K.U	1	-	-	-	-	Ogh-ind	ai-i	ind	ind	Ogh-ind	ai-i	ind	ind	1	1	1	-
<i>Gyrosigma spenderii</i> (W.Smith) Cleve	Ogh-ind	unk	U	Ogh-ind	2	-	-	-	-	Ogh-ind	ai-i	ind	ind	Ogh-ind	ai-i	ind	ind	1	1	1	-
<i>Gyrosigma</i> spp.	Ogh-ind	unk	U	Ogh-ind	2	-	-	-	-	Ogh-ind	ai-i	ind	ind	Ogh-ind	ai-i	ind	ind	1	1	1	-
<i>Hantzschia amphioxys</i> (Ehr.) Grunow	Ogh-ind	unk	R.A.U	Ogh-ind	2	-	8	6	1	Ogh-ind	ai-i	ind	ind	Ogh-ind	ai-i	ind	ind	1	3	1	-
<i>Lenticula mutica</i> (Kuetz.) D.G.Mann	Ogh-ind	unk	R.A.S	Ogh-ind	7	-	-	-	-	Ogh-ind	ai-i	ind	ind	Ogh-ind	ai-i	ind	ind	1	1	1	-
<i>Navicula concentrica</i> Grunow	Ogh-ind	unk	R.A.T	Ogh-ind	2	-	-	-	-	Ogh-ind	ai-i	ind	ind	Ogh-ind	ai-i	ind	ind	1	1	1	-
<i>Navicula confervacea</i> (Kuetz.) Grunow	Ogh-ind	unk	R.B.S	Ogh-ind	18	2	-	-	1	Ogh-ind	ai-i	ind	ind	Ogh-ind	ai-i	ind	ind	4	1	1	-
<i>Navicula mobilis</i> var. <i>minor</i> Patrick	Ogh-ind	ind	U	Ogh-ind	18	2	-	-	1	Ogh-ind	ai-i	ind	ind	Ogh-ind	ai-i	ind	ind	4	1	1	-
<i>Navicula reinhardtii</i> Grunow	Ogh-ind	ind	RB	Ogh-ind	1	-	-	-	-	Ogh-ind	ai-i	ind	ind	Ogh-ind	ai-i	ind	ind	1	1	1	-
<i>Navicula virinula</i> (Kuetz.) Kuetzing	Ogh-ind	unk	U	Ogh-ind	4	-	-	-	-	Ogh-ind	ai-i	ind	ind	Ogh-ind	ai-i	ind	ind	1	1	1	-
<i>Neidium amplatum</i> (Ehr.) Krammer	Ogh-ind	unk	K.U	Ogh-ind	4	-	-	-	-	Ogh-ind	ai-i	ind	ind	Ogh-ind	ai-i	ind	ind	1	1	1	-
<i>Neidium iridis</i> (Ehr.) Cleve	Ogh-ind	unk	RB	Ogh-ind	4	-	-	-	-	Ogh-ind	ai-i	ind	ind	Ogh-ind	ai-i	ind	ind	1	1	1	-
<i>Nitzschia brevisima</i> Grunow	Ogh-ind	unk	RB.U	Ogh-ind	1	-	-	-	-	Ogh-ind	ai-i	ind	ind	Ogh-ind	ai-i	ind	ind	1	1	1	-
<i>Nitzschia signoidea</i> (Ehr.) W.Smith	Ogh-ind	unk	O.U	Ogh-ind	1	-	-	-	-	Ogh-ind	ai-i	ind	ind	Ogh-ind	ai-i	ind	ind	1	1	1	-
<i>Pinnularia acerosphaeria</i> W.Smith	Ogh-ind	unk	I-ph	O.U.O	-	-	-	-	-	Ogh-ind	ai-i	ind	ind	Ogh-ind	ai-i	ind	ind	1	1	1	-
<i>Pinnularia brevicostata</i> var. <i>sumatrana</i> Hustadt	Ogh-ind	unk	O.U.O	Ogh-ind	3	1	-	-	1	Ogh-ind	ai-i	ind	ind	Ogh-ind	ai-i	ind	ind	2	1	1	-
<i>Pinnularia viriformis</i> Krammer	Ogh-ind	unk	O.U.O	Ogh-ind	1	-	-	-	-	Ogh-ind	ai-i	ind	ind	Ogh-ind	ai-i	ind	ind	1	3	1	-
<i>Pinnularia imparatrix</i> Mills	Ogh-ind	unk	O.U.O	Ogh-ind	17	16	-	-	5	Ogh-ind	ai-i	ind	ind	Ogh-ind	ai-i	ind	ind	25	16	8	-
<i>Pinnularia microstauron</i> (Ehr.) Cleve	Ogh-ind	unk	I-ph	O.U.O	-	-	-	-	-	Ogh-ind	ai-i	ind	ind	Ogh-ind	ai-i	ind	ind	1	1	1	-
<i>Pinnularia schroederii</i> Krammer	Ogh-ind	unk	I-ph	O.U.O	-	-	-	-	-	Ogh-ind	ai-i	ind	ind	Ogh-ind	ai-i	ind	ind	1	1	1	-
<i>Pinnularia subnudipes</i> Krammer	Ogh-ind	unk	I-ph	O.U.O	-	-	-	-	-	Ogh-ind	ai-i	ind	ind	Ogh-ind	ai-i	ind	ind	1	1	1	-
<i>Pinnularia virgata</i> Ehr. Krammer	Ogh-ind	unk	I-ph	O.U.O	-	-	-	-	-	Ogh-ind	ai-i	ind	ind	Ogh-ind	ai-i	ind	ind	1	1	1	-
<i>Pinnularia virens</i> (Nitzsch.) Ehrenberg	Ogh-ind	unk	I-ph	O.U.O	-	-	-	-	-	Ogh-ind	ai-i	ind	ind	Ogh-ind	ai-i	ind	ind	1	1	1	-
<i>Reimera sinuata</i> (Greg.) Kofoed et Stoermer	Ogh-ind	unk	I-ph	O.U.O	-	-	-	-	-	Ogh-ind	ai-i	ind	ind	Ogh-ind	ai-i	ind	ind	1	1	1	-
<i>Rhopalodia gibba</i> (Ehr.) Mueller	Ogh-ind	unk	I-ph	O.U.O	-	-	-	-	-	Ogh-ind	ai-i	ind	ind	Ogh-ind	ai-i	ind	ind	1	1	1	-
<i>Selaphora americana</i> (Ehr.) D.G.Mann	Ogh-ind	unk	I-ph	O.U.O	-	-	-	-	-	Ogh-ind	ai-i	ind	ind	Ogh-ind	ai-i	ind	ind	1	1	1	-
<i>Selaphora bacillum</i> (Ehr.) D.G.Mann	Ogh-ind	unk	I-ph	O.U.O	-	-	-	-	-	Ogh-ind	ai-i	ind	ind	Ogh-ind	ai-i	ind	ind	1	2	1	-
<i>Selaphora laevissima</i> (Kuetz.) Mereschkowsky	Ogh-ind	unk	I-ph	O.U.O	-	-	-	-	-	Ogh-ind	ai-i	ind	ind	Ogh-ind	ai-i	ind	ind	1	2	1	-
<i>Selaphora pupula</i> (Kuetz.) Mereschkowsky	Ogh-ind	unk	I-ph	O.U.O	-	-	-	-	-	Ogh-ind	ai-i	ind	ind	Ogh-ind	ai-i	ind	ind	1	4	4	-
<i>Selaphora</i> spp.	Ogh-ind	unk	I-ph	O.U.O	-	-	-	-	-	Ogh-ind	ai-i	ind	ind	Ogh-ind	ai-i	ind	ind	1	4	4	-

から、本層も試料番号 3 同様に混合群集と判断される。

(2) 花粉分析・イネ属同定

結果を表 2、図 3 に示す。花粉化石は、試料番号 4 でかうじて定量解釈が出来る程度の産出であり、そのほかの 4 試料では豊富に産出した。化石の保存状態は、いずれの試料においても比較的良好である。

花粉群集組成の特徴は、試料番号 4, 10 と試料番号 3, 6, 7 では草本花粉の割合が高く、イネ科が多産する傾向が認められる。そのほか、カヤツリグサ科などを伴い、ガマ属、サジオモダカ属、オモダカ属、ヒシ属、アサザ属、デンシソウ属、サンショウモ、アカウキクサ属、クンショウモ属など、水湿地生草本・シダ類、水生藻類なども認められる。木本花粉ではマツ属が最も多く産出し、モミ属、ソガ属、コナラ属コナラ垂属、コナラ属アカガシ垂属等を伴う。

一方試料番号 4, 10 では、上記試料と比較して保存状態はやや悪い。花粉群集組成の特徴は、木本花粉の割合が高く、モミ属、ソガ属、マツ属が多産する。上記試料で比較的多くの認められたコナラ垂属、アカガシ垂属は、少ない。草本花粉ではサナエタデ節一ウナギツカミ節が多産し、イネ科、カヤツリグサ科など伴う。水湿地生植物では、ガマ属、ミズワラビ属、サンショウモ、ミズワラビ属、イネ科全体に占める割合は試料により大きく異なる。

なお、栽培種であるイネ属は各試料から検出されたが、イネ科全體が約 45.5%、試料番号 10 が約 37.5%、試料番号 6 が約 9.1%、試料番号 4 が約 24.9%、試料番号 3 が約 26.9%であった。また試料番号 3 からは、栽培種のソバ属がわずかに確認される。

(3) 植物珪酸体分析

結果を表 3、図 4 に示す。各試料からには植物珪酸体が検出されるが、保存状態が悪く、表面に多数の小孔(溶食痕)が認められる。

植物珪酸体含量は、層位的に変化し、上位層ほど増加する傾向がある。試料番号 7 では約 1,900 個/g であり、試料番号 6 では約 5,300 個/g に増加する。また、試料番号 10 では約 7,300 個/g、その上位の試料番号 4 では約 8,000 個/g となる。なお、試料番号 3 では植物珪酸体含量がやや減少し、約 6,000 個/g となる。

下位層から上位に向けて、漸進的に栽培植物であるイネ属が産出し、短細胞珪酸体と機動細胞珪酸体が認められる。概して短細胞珪酸体よりも機動細胞珪酸体の含量が多く、短細胞珪酸体が 100 個/g 未満～200 個/g 程度、機動細胞珪酸体が 300～1,400 個/g である。いずれの含量も層位的に変化し、試料番号 7 から試料番号 6 にかけて増加し、短細胞珪酸体と機動細胞珪酸体とも最多となる。試料番号 10 やその上位に堆積する試料番号 4 にかけ含量が減少し、中世の水田跡を不整合に覆う試料番号 3 で増加する。なお、試料番号 7 を除き、短細胞列と機動細胞列が検出される。

なお各試料からは、栽培種のムギを含むオオムギ族は検出されず、オオムギ族が属するイチゴシナギ亞科がわざかに認められるにすぎない。また、イノキ属の樹木起源珪酸体は、試料番号 6 を除く各試料で、比較的多く検出される。

4. 考察

(1) 培養環境

珪藻分析結果に基づき、A-B 間ベルト西壁断面で調査対象とした各層について、堆積時の堆積環境を推定する。なお、今回得られた花粉化石や植物珪酸体の群集組成の特徴も考慮して、下位より 8 層、5 層、6 層、4 層、3 層の順に述べる。

8 層(試料番号 7)で特徴的に認められた種は、海水生種の *Paralia sulcata*、*Thalassionema nitzschioideum*、海水～汽水生種の *Cyclotella striata-stylorum*、*Diploneis smithii*、汽水生種の *Pseudopodocerosa kosugi* 等である。

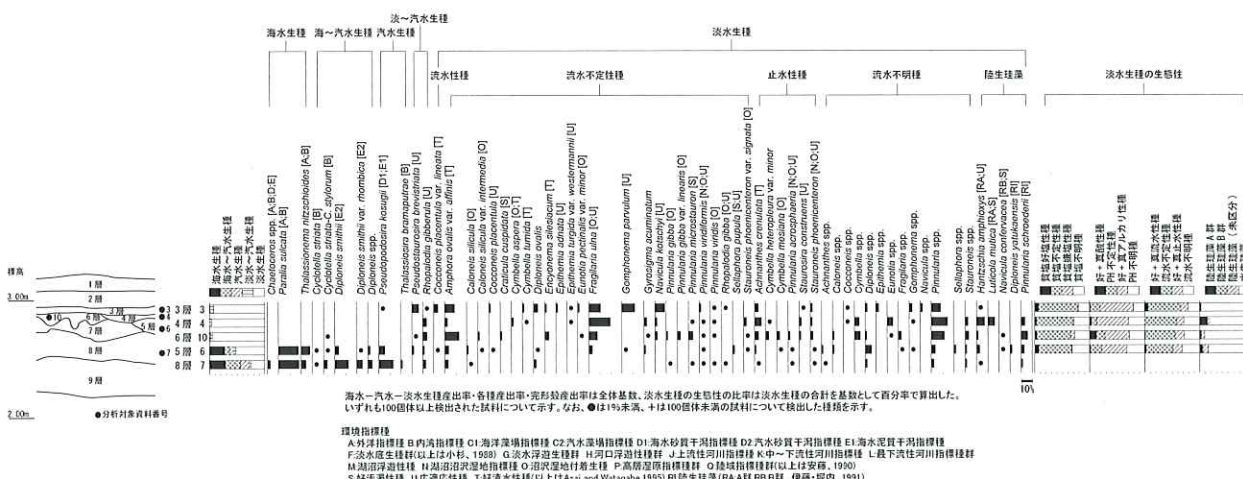


図 2. A-B 西壁における主要珪藻化石群集

表2. 花粉分析結果

種類	A-B断面									
	3層	4層	5層	6層	7層	8層	9層	10層	11層	12層
木本花粉	-	1	2	4	-	-	-	-	-	-
マキ属	17	44	20	37	46	-	-	-	-	-
モミ属	18	17	24	20	15	-	-	-	-	-
シカツ属	1	1	-	-	-	-	-	-	-	-
トカラ属	-	-	-	-	-	-	-	-	-	-
マツ属(雄蕊管束亞属)	35	22	50	66	62	65	-	-	-	-
マツ属(不明)	-	-	-	-	-	-	-	-	-	-
コウヤマキ属	53	18	34	22	65	-	-	-	-	-
スギ属	5	1	-	4	7	-	-	-	-	-
イチイ科-イスガヤ科-ヒノキ科	1	2	1	2	1	-	-	-	-	-
サマモモ属	2	2	1	3	1	-	-	-	-	-
サワグルミ属	-	-	-	-	-	-	-	-	-	-
クルミ属	1	1	3	1	1	-	-	-	-	-
クマシンドウ属	2	-	-	-	-	-	-	-	-	-
カバノキ属	-	-	-	-	-	-	-	-	-	-
ハシノキ属	19	13	14	7	6	-	-	-	-	-
コナラ属(カカシニキ属)	33	3	51	47	6	-	-	-	-	-
コロラムニア属	-	-	-	-	-	-	-	-	-	-
シイ属	4	4	-	7	4	2	-	-	-	-
ニレ属-ケヤクノキ属	-	-	3	1	1	-	-	-	-	-
エノキ属-ムクノキ属	-	-	1	1	4	-	-	-	-	-
キハダ属	-	-	-	-	-	-	-	-	-	-
アカガシ属	-	-	-	-	-	-	-	-	-	-
ソガ属	-	-	-	-	-	-	-	-	-	-
モチノキ属	-	-	-	-	-	-	-	-	-	-
ノブタノキ属	-	-	-	-	-	-	-	-	-	-
ソダ属	-	-	-	-	-	-	-	-	-	-
キミ属	-	-	-	-	-	-	-	-	-	-
カキノキ属	-	-	-	-	-	-	-	-	-	-
エコノキ属	-	-	-	-	-	-	-	-	-	-
イボタノキ属	-	-	-	-	-	-	-	-	-	-
イネコノキ属	-	-	-	-	-	-	-	-	-	-
スイカズラ属	-	-	-	-	-	-	-	-	-	-
草本花粉	9	6	3	1	6	-	-	-	-	-
ガマ属	1	-	1	-	-	-	-	-	-	-
サジョモダカ属	52	114	140	7	-	-	-	-	-	-
オモダカ属	157	10	190	168	19	-	-	-	-	-
イネ属	42	4	48	37	7	-	-	-	-	-
他のイネ科	-	-	9	-	-	-	-	-	-	-
カラリグサ科	-	-	-	-	-	-	-	-	-	-
ニクワ科	-	-	-	-	-	-	-	-	-	-
キンギンジ属	16	65	9	6	59	-	-	-	-	-
キンギンテ節-ウナギンカミ節	-	-	-	-	-	-	-	-	-	-
ナナシ属	-	-	-	-	-	-	-	-	-	-
ソバ科	-	-	-	-	-	-	-	-	-	-
アカサ科	-	-	-	-	-	-	-	-	-	-
ナラシコ科	3	-	1	-	2	-	-	-	-	-
カラシノツウ属	-	-	-	-	-	-	-	-	-	-
キンボウゲ科	2	-	-	-	1	-	-	-	-	-
マタタキ属(近似種)	-	-	2	-	1	-	-	-	-	-
キシングサ属	-	-	1	-	1	-	-	-	-	-
ヒニンガマ属	-	-	-	-	-	-	-	-	-	-
ナナシガマ属	-	-	2	-	2	-	-	-	-	-
ヨモギ属	-	-	1	-	1	-	-	-	-	-
オナモ属	3	-	1	-	2	-	-	-	-	-
タヌキモ科	2	-	1	-	1	-	-	-	-	-
不明花粉	1.7	2	1	1	1	-	-	-	-	-
シダ類孢子	13	2	5	11	4	-	-	-	-	-
シガ孢子	3	-	1	1	1	-	-	-	-	-
ヒガシカズラ属	5	1	1	1	1	-	-	-	-	-
デンシジク属	74	36	21	11	66	-	-	-	-	-
ゼンマイ属	1	33	-	14	-	-	-	-	-	-
イモチソウ属	-	1	3	-	1	-	-	-	-	-
ミズクビ属	-	-	-	-	-	-	-	-	-	-
サンショウウキ	-	-	-	-	-	-	-	-	-	-
アカウキ属	345	212	101	112	260	-	-	-	-	-
合計	202	107	225	247	212	-	-	-	-	-
木本花粉	311	88	385	361	100	-	-	-	-	-
草本花粉	13	2	5	11	4	-	-	-	-	-
不明花粉	-	-	-	-	-	-	-	-	-	-

2.00m

●分析対象資料番号

木本花粉は木本花粉総数、草本花粉・シダ類孢子は総数から不明花粉を除いた数を基数として百分率で表した。○●は1%未満を示す。

図3. A-B西壁における花粉化石群集

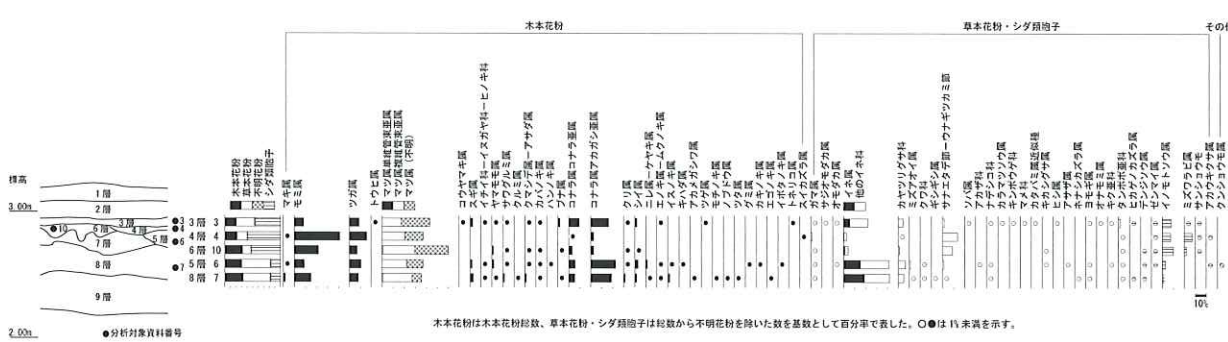


表3. 植物珪酸体含量

分類群	A-B西壁		A-B東壁		8層 7	6層 10
	3層 3	4層 4	5層 6	8層 7		
イネ科葉部短細胞珪酸体	100	100	-	-	<100	6層 10
イネ族イネ属	<100	100	-	-	100	100
タケエ科	200	1,000	-	-	800	100
ヨシ属	<100	200	-	-	100	100
ウシクサ族ススキ属	100	-	-	-	100	100
イチゴツナギ亞科	1,200	1,900	100	200	700	700
不明						
イネ科葉身機動細胞珪酸体	1,100	500	100	200	900	900
イネ族イネ属	<100	100	-	-	<100	<100
タケエ科	300	1,700	-	-	1,200	1,200
ヨシ属	<100	<100	<100	-	200	200
ウシクサ族	2,500	2,200	300	800	3,100	3,100
合計						
イネ科葉部短細胞珪酸体	1,900	3,400	100	400	1,900	1,900
イネ科葉身機動細胞珪酸体	4,100	4,600	500	1,100	5,400	5,400
植物珪酸体含量	6,000	8,000	600	1,500	7,300	7,300
珪化組織片	*	*	-	-	-	-
イネ属短細胞列	-	-	-	-	-	*
イネ属機動細胞列						
樹木起源珪酸体						
イヌノキ属						

1) 値は、10の位で丸めている(100単位にする)。

2) 合計は各分類群の丸めない(数字を合計した後に丸めている)。

3)<100:100個/g未満。

4) -:未検出, *:検出, **:多い, ***:非常に多い。

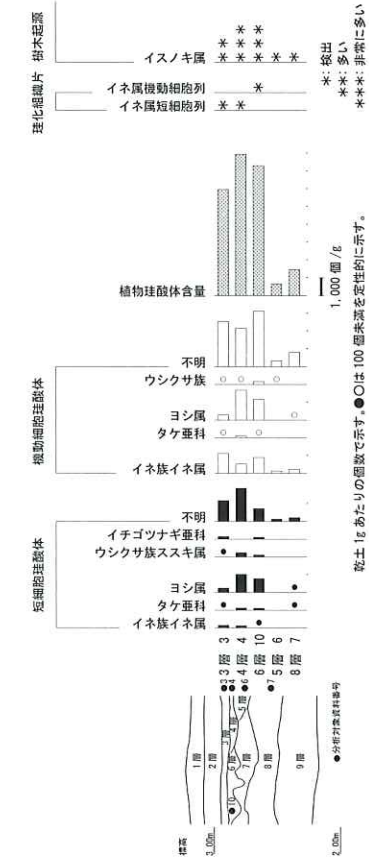


図4. A-B西壁における植物珪酸体含量

1) 土壌あたりの個数を示す。●○は100個未満を示す。

2) 分布率を示す。

3) 分布率が多い。

4) 非常に多い。

これらの種の生態性を見ると、海水生種の *Paralia sulcata* は内湾指標種群(小杉, 1988)とされ、内湾水中を浮遊生活する種群であり、本種の多産は暖かい低鹹水を指標すると考えられている(Taninura, 1981)。また本種は、通常殻径が 20 μ m 以下であるが、海進期の堆積物には 30 μ m 以上の大型の個体が増加する傾向にあることが知られている(森, 1980)。同じく海水生種の *Thalassionema nitzschoides* は、日本近海の沿岸・内湾に極普通にみられ、特に冬春季には多量に出現する(山路, 1980)。次に、海水～汽水生種とされる種どされたる *Cyclotella strata*, *Cyclotella striata-striata* は、一般に内湾奥部で浮遊生活する種(Hustedt, 1930)、内湾指標種群とも呼ばれる(小杉, 1988)。さらに海水～汽水生種の *Diploneis smithii* は、塩分濃度が 12 ノーミル以上の水域の泥底に付着生活する種群であり、海水泥質干潟指標種群(小杉, 1988)とされる。汽水生種の *Pseudopodosira kosugi* は休眠胞子であるため、当時の水城環境が比較的急速に変化したことなどが示唆される。小杉(1988)は、本種を汽水泥質干潟の指標種群としており、塩分濃度が 12~2 ノーミル程度の水域の泥底で、淡水の影響により汽水化した塩性湿地等を指標するとされている。

5 層(試料番号 6)で特徴的な種は、海水生種の *Paralia sulcata*, *Thalassionema nitzschoides*, 海水～汽水生種の *Diploneis smithii*, 汽水生種の *Pseudopodosira kosugi* 等である。本層の群集は、8 層に近似するが、淡水生種の割合が高い点で異なる。よって、本層堆積時も湾奥の沿岸部汽水域であったという点で 8 層同様であるが、淡水生種が増加したことから、水域の淡水化が進行したことが示唆される。

6 層(試料番号 10)で特徴的な種は、淡水～汽水生種の *Rhopalodia gibberula*, 流水不定性種の *Amphora ovalis* var. *affinis*, *Fragilaria ulna*, *Pinnularia microstauron*, 止水性種の *Achnanthus crenulata*, *Pinnularia acerosphaeria*, 陸生珪藻の *Pinnularia schroederii* 等である。また、*Cymbella* spp., *Pinnularia* spp. も多産している。これらの種の生態性を見ると、淡水～汽水生種の *Rhopalodia gibberula* は好塩性種であり、流水不定性種の *Amphora ovalis* var. *affinis* とともに海水成層から検出されることが多い(安藤・南雲, 1983ほか)、群馬県の古代水田跡からも多産しており、導水された水に塩類が豊富であったことが指摘された(調査例(田中, 1987)もある)。本種は淡水生種であるが塩分に対する耐性が高いため、沿岸部の海水の影響がおよび塩分濃度が高くなる後背湿地など、塩類濃度が高い帶水域でも生育可能で、他の淡水生種群は生育しにくいために群集中の比率が高くなると考えられる。同様に、流水不定性種の *Amphora ovalis* var. *affinis* と *Fragilaria ulna* も、淡水生種でありながら汽水域でも生育可能と考えられる。

一方、流水不定性種の *Pinnularia microstauron* は富栄養化した湿地等に生育する場合が多く、Asai and Watanabe(1995)により好汚濁性種とされている。また止水性種の *Achnanthus crenulata* は、食塩好塩-中塩性であり、淡水域から汽水域まで生育可能とする報告もある(安藤・南雲, 1983)。同じく止水性種の *Pinnularia acerosphaeria* は、湿地に爆発的に発生するところが知られている。陸生珪藻の *Pinnularia schroederii* は、コケ等の陸上植物の表面や岩石・土壌の表層部など、大気に接触した環境に生活する一群(小杉, 1986)である。本種は特に、完全に離水した場所での乾燥に耐らざるとされ(伊藤・堀内, 1989, 1991)、これらの種群が優占(70~80%以上)すれば、その種群は乾燥した環境下にあつたものと推定できるとされている。

以上の群集構成の特徴から、本層堆積時は湿地のような水城環境下にあつたものと推定される。なお、本試料では海水～汽水生種が認められたが、これらは極低率であり、直接的な海水の影響ではなく再堆積によリもたらされた二次化石の可能性もある。

4 層(試料番号 4)で特徴的な種は、淡水～汽水生種の *Rhopalodia gibberula*, 流水不定性種の *Amphora*

ovalis var. *affinis*、*Fragilaria ulna*、止水性種の *Achnanthes crenulata*、陸生珪藻の *Hantzschia amphioxys*、*Luticora mutica* 等である。

これらの種の生態性を見ると、群集構成の特徴はほぼ同様である。また、陸生珪藻の *Hantzschia amphioxys*、*Luticora mutica* は、上記の *Pinnularia schroederii* と同様、離水した場所で乾燥に耐ることのできる種である。よって本層の堆積時は、5 層同様に、湿地のような水域環境下にあつたものと推定される。

3 層(試料番号: 3)で特徴的な種は、淡水～汽水生種の *Pseudostaurastris brevistrata*、淡水性種の *Cocconeis placentula* var. *lineata*、淡水不定性種の *Amphora ovalis* var. *affinis*、*Fragilaria ulna*、*Gomphonema pavulum*、*Navicula harschii*、止水性種の *Achnanthes crenulata* 等である。

これらの種の生態性を見ると、淡水～汽水生種とした *Pseudostaurastris brevistrata* は、富栄養水域の沿岸部に生育するとしている(Landingham 1970; 田中・中島 1985)ほか、塩分濃度 12~2 パーミル程度の水域の泥底に付着生活する種群で、淡水の影響により汽水化した塩性湿地に生活することが多いため、汽水泥質干潟指標種群とする見解もある(小杉、1988)。本種は塩分に対する適応能力が高いため、恒性湿地で最も優占種になることが多い。次に、淡水性種の *Cocconeis placentula* var. *lineata* は、河川の礁等に大型の藻類と共に付着する種である。Asai and Watanabe(1995)は、清浄な水域に生育する種であることから、好潜水性種としている。さらに、淡水不定性種の *Gomphonema parvulum* は、極めて高い適応能力を持つ種であるため、Asai and Watanabe(1995)は、広域適応種としている。また *Navicula kotschyii* も広域適応性とされているが、既往の報告例では、沼沢から湿地の堆積物等でよく見られる種である。

以上の群集構成の特徴から、本層の堆積時は、低地などに点在する沼沢湿地のような水域環境下にあったものと推定される。

(2) 古植生

8 層と 5 層(試料番号: 7, 6)の花粉化石群集をみると、木本類ではマツ属、コナラ属アカガシ属が多産し、モミ属、ツガ属、スギ属、コナラ属コナラ亞属、シイ属などを伴う。また植物珪酸体分析結果では、イヌノキ属の樹木起源の植物珪酸体が確認された。このうちアカガシ属は、シイ属などとともに暖温带性常緑広葉樹林の主要構成要素であることから、調査地点周辺には、アカガシ属を主体としてイヌノキ属などを伴う常緑広葉樹林が分布しており、部分的にモミ属、ツガ属などの温带性針葉樹も生育していたことが、推定される。

また、比較的多く認められるマツ属のうち、モミまで同定できたものの多くは複維管束亞属であった。マツ属複維管束亞属といわれるニヨウマツ類は生育の適応範囲が広く、極端な陽樹でもあることから、伐採された土地などに最初に進入する二次林の代表的な種類でもある。これより、周囲の林縁部や海岸部には、二次林としましてマツ属が分布していたと考えられる。また、サワグルミ属、クルミ属、ヨリノキ属、コナラ属、ニレ属、ケヤキ属、エノキ属一ムクノキ属などは、河畔や渓谷沿いなど適湿地に生育することから、これらには繁根木川や菊池川などの河川沿いに、生育していた可能性がある。

草木類についてみると、イネ科が多産し、カヤツリグサ科、サナエタデ節ーウナギッカミ節、ナデコ科、ヨモギ属等を伴う。これらはいずれも、開けた明るい場所に生育する「人里植物」を多く含む分類群で、調査地周辺の草地植生を構成していたと考えられる。また、ガマ属、オモダカ属、ヨシ属、ミズアオイ属、アサザ属、テンジソウ属、アカウキクサ属等の水湿地生草本やシダ類が確認されたことから、調査区周辺にはこれらが生育するような湿地が存在していたことが示唆される。

6 層と 4 層(試料番号: 10, 4)では、シダ類胞子が多産するのが特徴で、木本類ではモミ属、ツガ属、マツ属が多産し、下位層で多産したアカガシ属は低率になる。一般に、花粉やシダ類胞子の腐蝕に対する抵抗性は種類によって異なり、落葉広葉樹に比べて針葉樹に由来する花粉やシダ類胞子の方が、酸化に対する抵抗性

が高いといわれている(中村、1967; 徳永・山内、1971; 三宅・中越、1998 など)。本試料から検出された花粉化石の保存状態を考慮すると、モミ属、ツガ属、マツ属等の針葉樹花粉は、相対的に強調されている可能性がある。また、アカガシ属、シイ属等の常緑広葉樹やサワグルミ属、コナラ亞属等の落葉広葉樹が低率で検出されることから、本来は下位層であつた可能性もある。

草本植生をみると、サナエタデ節ーウナギッカミ節が多産し、下位層で多産したイネ科は低率になる。よって調査地点周辺は、イネ科主体からサナエタデ節ーウナギッカミ節主体の草本植生に変化した可能性がある。さらに、花粉化石群集中には、ガマ属、ヨシ属、ミズアオイ属、サンショウウオ、アカウキクサ属等の水湿地生草本や水湿地生シダ類が検出されており、植物珪酸体分析結果でもヨシ属が認められる。よって、これらの中類が生育する湿地は、6~4 層の堆積当時も周辺に存在していたことが示唆される。

3 層(試料番号: 3)になると、木本類では再びマツ属、アカガシ属が多産し、モミ属、ツガ属、コナラ亞属等を伴う。これより、調査地点周辺は 8~5 層堆積時に同様に、アカガシ属を主体としてイヌノキ属などを伴う常緑広葉樹と、モミ属、ツガ属等の温带性针葉樹が混交する植生が分布し、二三次林などのマツ属も生育していることが、推定される。

草本類についてみると、イネ科が多産し、カヤツリグサ科、サナエタデ節ーウナギッカミ節、タンポポ属等の人里植物を含む種類が、多く認められる。また、ガマ属、サジオモダカ属、オモダカ属、ヒシ属、ミズアオイ属、サンショウウオなどの水湿地生植物も確認された。よって、これらの種類が生育する湿地は、3 層の堆積時でも周辺に存在していたことが示唆される。

(3)栽培植物について

イネ科が多産する 8 層(試料番号: 7)、5 層(試料番号: 6)、3 層(試料番号: 3)について、栽培種のイネ属花粉の比率を求めたところ、8 層が約 46%、5 層が約 36%、3 層が約 25% の割合を示した。堆積物試料でイネ科花粉が多産しており、そのうちのイネ属の比率が 30% 以上である場合、近傍で現在と同じ程度の集約的稻作が行われていた可能性があるとの指摘がある(中村、1980b)。今回の 3 層で得られたイネ属の比率を見ると、8 層、5 層では 30% を大きく上回っており、上記した中村(1980b)に従えば、現在と同じ程度の集約度で稻作が行われていた可能性があると判定される。また 3 層は 30% をやや下回るが、これまで当社で蓄積した分析調査例から見て、比較的高い比率であると考えられることから、集約度の点で問題はあるが本層で稻作が行われた可能性は大きい。

一方、植物珪酸体の産状をみると、8 層(試料番号: 7)、5 層(試料番号: 7)、5 層(試料番号: 6)、4 層(試料番号: 3)で、連續的にイネ属が産出した。各層とも、概して短細胞珪酸体よりも機動細胞珪酸体の含量が多く、短細胞珪酸体が 100 個 / g 未満 ~ 200 倆 / g 程度、機動細胞珪酸体が 300 ~ 1,400 倆 / g であった。既往の調査事例をみると、過去に稻作が行われた水田土壌では、栽培されていたイネ属の植物珪酸体が土壤中に蓄積され、植物珪酸体含量(植物珪酸体密度)が高くなる。埋没水田跡の稲作の様態に関する検証を行う場合、イネ属の植物珪酸体が 100 倆 / g 未満 ~ 200 倆 / g である。既往の調査事例によると、過去に稻作が行われた水田土壌では、植物珪酸体(機動細胞由来が試料 1 当り 5,000 倆以上検出された場合、過去に稻作が行われた可能性が大きい)と判断される(杉山 2000)。上記 4 层準の機動細胞珪酸体含量は 300 ~ 1,400 倆 / g の範囲であり、杉山(2000)に示された数値基準と比較して少ないと見える。ただし当社で蓄積した調査事例では、畦畔などの水田に開闢する明確な構造が検出されている場合でも、土壤中に残留する植物珪酸体含量が少ないとあり、稻作の様態や継続期間等の原因を想定している。これらの点を考慮すれば、調査対象とした 8 層、5 層、4 層、3 層の各層で稻作が行われた可能性は、否定できない。

本調査地点の東方に位置し、菊池川右岸の沖積低地に立地する両追間日渡遺跡では、当社による継続的な現地調査及び分析調査により、弥生時代前期、古墳時代、中世等と想定された水田層等の土層から、イネ

属珪酸体が多産する事実を把握している。また同様に、菊池川右岸の低地部に立地する玉名平野条里跡でも、
弥生時代とされる凹地の地理植物で、イネ属珪酸体が多産したことを確認している。
ところで、畦畔構成土とされる6層(試料番号:10)でも、上記4層準と同程度のイネ属珪酸体が検出されている。
これは、畦畔上でも稻作が行われたことを意味するものではなく、畦畔を構築するために周辺の水田耕土
が使用されたため、本来耕土中に含まれていたイネ属珪酸体が土壤とともに畦畔上に移動したためと考えら
れる。

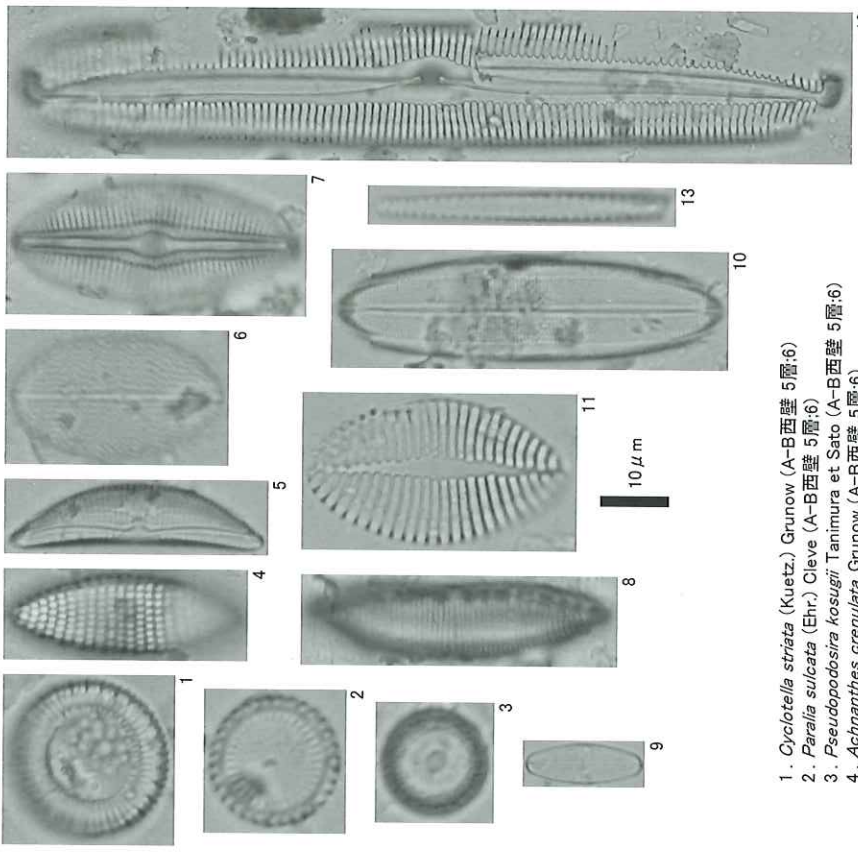
また、イネ属以外の栽培種については、3層からソハ属の花粉化石がわずかに検出されており、同層堆積
当時に周辺で栽培・利用された可能性がある。また本地域では、文献資料の調査結果等から、中世以降にム
ギ栽培が行われていた可能性が指摘されているが、今回調査対象とした各層準では、栽培種のムギを含むオ
オムギ族は検出されていない。そのため、今回の分析結果のみから、ムギ栽培について議論を進めることは
困難である。

今後さらに、本調査地点周辺で稻作や他の栽培植物の消長を明らかにするためには、発掘調査所見や他
の調査地点間の層相対比を前提とした同様の調査事例を蓄積することが望まれる。また、既往の調査事例に
ついては、年代や堆積環境、微地形の変異を考慮して、発掘調査成果とともに総合解析を行い、时空的に再
構成を行う機会を得たいと考えている。

引用文献

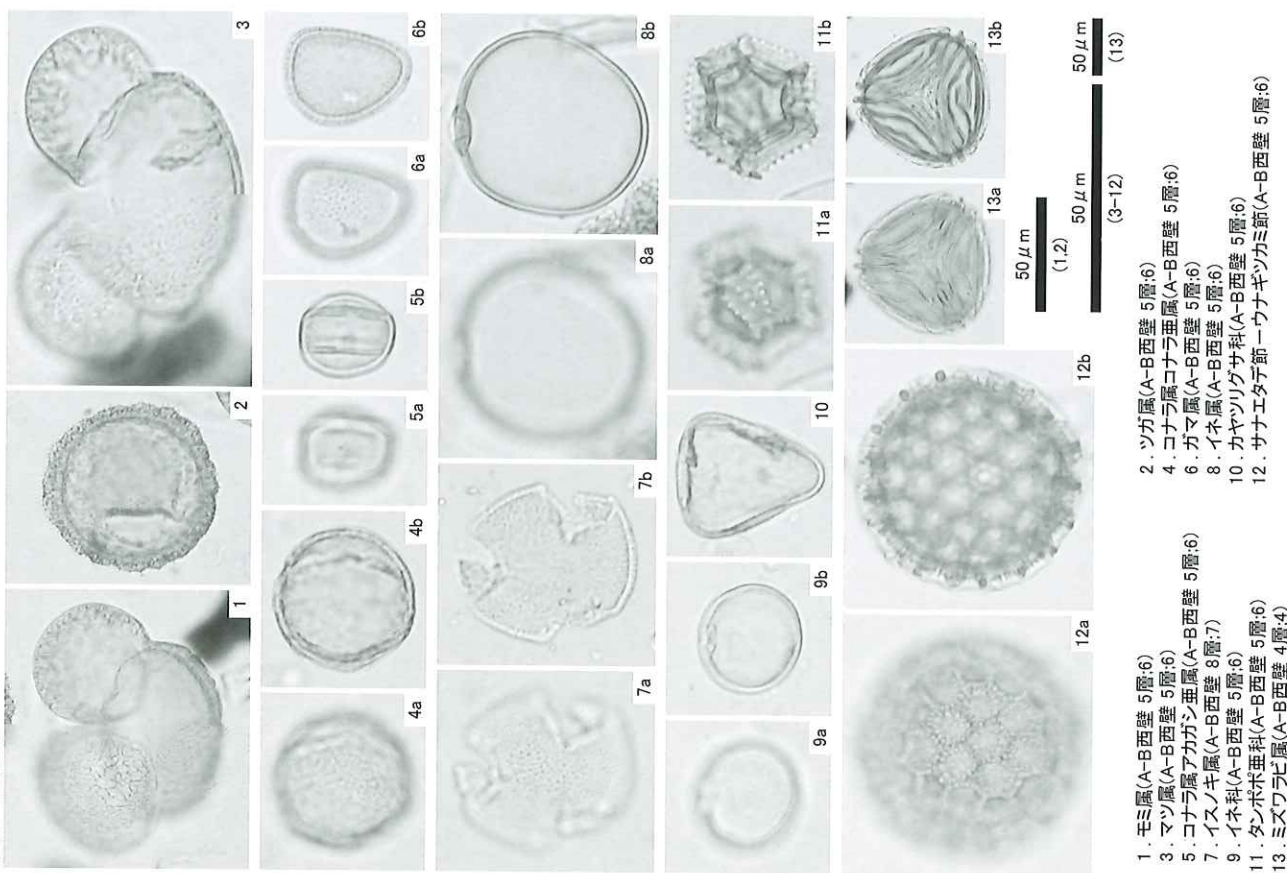
- Asai, K. and Watanabe, T., 1995. Statistic Classification of Epilithic Diatom Species into Three Ecological Groups relating to Organic Water Pollution (2) Saprophilous and saproxenous taxa. *Diatom*, 10:35–47.
- 安藤一男・南臺 保, 1983. 埼玉県・荒川盆地冲積層のケイノウ, 日本歯科大学紀要, 12:241–249.
- 安藤一男, 1990. 淡水産珪藻による環境指標種群の設定と古環境復元への応用. 東北地理, 42:73–88.
- Cholnoky, B. J., 1968. Die Okologie der Diatomeen in Binnengewässern. Lehre. Desikachary, T. V., (1987A) *Atlas of Diatoms. Marine Diatoms of the Indian Ocean. Madras science foundation, Madras. Printed at T.T. Maps & Publications Private Limited*, 328, G. S. T. Road, Chromepet, Madras-600044. 1–10. Plates : 22–400A. Desikachary, T. V., 1987. *Atlas of Diatoms. Marine Diatoms of the Indian Ocean. Madras science foundation, Madras. Printed at T.T. Maps & Publications Private Limited*, 328, G. S. T. Road, Chromepet, Madras-600044. 1–13. Plates : 401–621.
- 福島 博, 1950. 四万温泉の藻類植生. *植物誌*, 25:173–178.
- Horst Lange-Bertalot, 2000. *ICONOGRAPHIA DIATOMOLOGICA: Annotated diatom micrographs*. Witkowski, A., Horst Lange-Bertalot, Dittmer Metzeltin: *Diatom Flora of Marine Coasts Volume 1*, 219 ppts. 4504 figs. 925 pgs.
- Hustedt, F., 1930. *Die Kieselalgen Deutschlands, Oesterreichs und der Schweiz. unter Berücksichtigung der übrigen Länder Europas Sowie der angrenzenden Meeresgebiete*. in Dr. Rabenhorsts Kryptogamen Flora von Deutschland, Oesterreichs und der Schweiz, 7. Leipzig, Part 1:320p.
- Hustedt, F., 1937–1938. Systematische und ökologische Untersuchungen mit die Diatomeen-Flora von Java, Bali und Sumatra. I ~ III. *Arch. Hydrobiol. Suppl.*, 15, 13–809, 1–155, 274–349.
- Hustedt, F., 1959. *Die Kieselalgen Deutschlands, Oesterreichs und der Schweiz. unter Berücksichtigung der übrigen Länder Europas Sowie der angrenzenden Meeresgebiete*. in Dr. Rabenhorsts Kryptogamen Flora von Deutschland, Oesterreichs und der Schweiz, 7. Leipzig, Part 2:845p.
- Hustedt, F., 1961–1966. *Die Kieselalgen Deutschlands, Oesterreichs und der Schweiz. unter Berücksichtigung der übrigen Länder Europas Sowie der angrenzenden Meeresgebiete*. in Dr. Rabenhorsts Kryptogamen Flora von Deutschland, Oesterreichs und der Schweiz, 7. Leipzig, Part 3:816p.
- Flora von Deutschland, Oesterreichs und der Schweiz, 7. Leipzig, Part 3:816p.
- 伊藤良永・堀内誠示, 1989. 古環境解説からみた陸生珪藻の検討—陸生珪藻の細分—. 日本珪藻学会第10回
大会講演要旨集, 17.
- 伊藤良永・堀内誠示, 1991. 陸生珪藻の現在における分布と古環境解説への応用. 日本国藻学誌, 6:23–44.
- 近藤謙三, 2010. ブラント・オーバール図譜「北海道大学出版会」387p.
- 小杉正人, 1986. 現世千潟における珪藻遺骸の運搬・堆積バーン. 地理学評論, 59:37–50.
- 小杉正人, 1988. 珪藻の環境指標種群の設定と古環境復原への応用. 第四紀研究, 27:1–20.
- Krammer, K. and H. Lange-Bertalot, 1985. *Naviculaceae. Bibliotheca Diatomologica*, 9:250p.
- Krammer, K. and H. Lange-Bertalot, 1988. *Bacillariophyceae. Süsswasser flora von Mitteleuropa*, 2(1): 876p.
- Krammer, K. and H. Lange-Bertalot, 1988. *Bacillariophyceae. Süsswasser flora von Mitteleuropa*, 2(2): 596p.
- Krammer, K. and H. Lange-Bertalot, 1990. *Bacillariophyceae. Süsswasser flora von Mitteleuropa*, 2(3): 576p.
- Krammer, K. and H. Lange-Bertalot, 1991. *Bacillariophyceae. Süsswasser flora von Mitteleuropa*, 2(4): 437p.
- 三宅 尚・中越信和, 1998. 森林土壤に堆積した花粉・孢子の保存状態. 植生史研究, 6:15–30.
- 森 忍, 1980. 肥尾平野中部更期統のケイノウ群集. 第四紀研究, 19:173–183.
- 中村 純, 1967. 花粉分析. 古今書院, 232p.
- 中村 純, 1974. イネ科花粉について. とくにイネ(*Oryza sativa*)を中心として. 第四紀研究, 13:187–193.
- 中村 純, 1980a. 日本産花粉の標準 I ~ III(圖版). 大阪市立自然史博物館収蔵資料目録 第12/13集 91p.
- 中村 純, 1980b. 花粉分析による種作史の研究. 自然科学の手法による遺跡・古文化財等の研究 - 総括報告書-文部省科研費特定研究古文化財・總括班, 187–204.
- Patrick, R. and Reimer, C. W., 1966. The diatoms of the United States exclusive of Alaska and Hawaii. Vol. 1, 688p. Monographs of Acad. Nat. Sci. Philadelphia 13.
- 島倉巳三郎, 1973. 日本植物の花粉形態. 大阪市立自然科学博物館収蔵目録 第5集 60p.
- 杉山真二, 2000. 植物珪酸体(プラント・オペール). 社 誠一郎(編著)考古学と自然科学 3 考古学と植物学, 同成社, 189–213.
- 田中宏之・中島啓治, 1985. 群馬県老神・奥平・梨木・嶺・赤久繩温泉及び福島県元温泉のケイノウ群
馬県立博物館紀要, 6:1–22.
- 田中宏之, 1987. 群馬県高崎市北部から発掘された古代水田の珪藻群馬県立歴史博物館紀要, 8:1–20.
- Tanimura, Y., 1981. Late Quaternary Diatoms of the Sea of Japan, Tohoku Univ. Sci. Rep. 2nd ser. (Geo.), 51:1–36.
- 徳永重元・山内耀子, 1971. 花粉・孢子・化石の研究法. 共立出版株式会社, 50–73.
- Van Landingham, S.L., 1970. Origin of an early non-Marine Diatomaceae Deposit in Broad water County, Montana, U. S. A. *Diatomaceae II Nova Hedwigia Heft* 31, 449–473.
- 山路 勇, 1980. 日本海洋プランクトン図鑑. 保育社, 537p.

図版1 珪藻化石



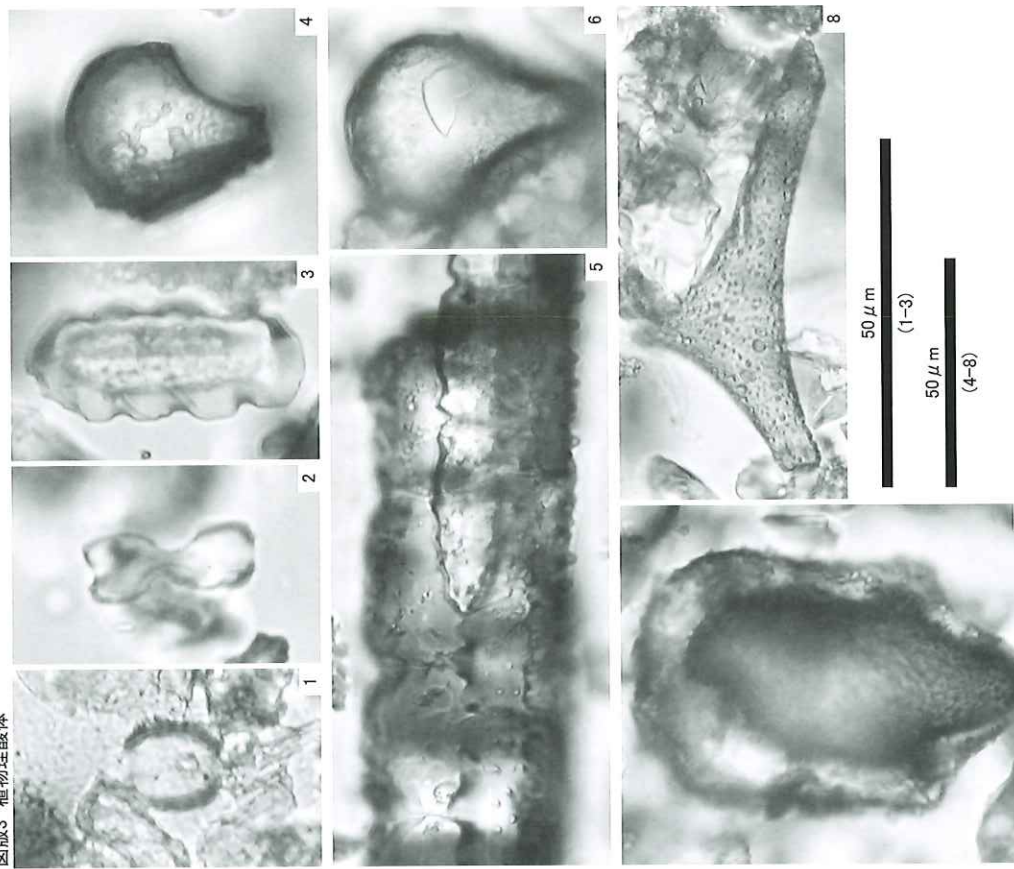
1. *Cyclotella striata* (Kuetz.) Grunow (A-B西壁 5層:6)
2. *Paralia sulcata* (Ehr.) Cleve (A-B西壁 5層:6)
3. *Pseudopodosira kosugi* Tanimura et Sato (A-B西壁 5層:6)
4. *Achnanthes crenulata* Grunow (A-B西壁 5層:6)
5. *Amphora ovalis* var. *affinis* (Kuetz.) Van Heurck (A-B西壁 4層:4)
6. *Cocconeis placentalis* var. *lineata* (Ehr.) Cleve (A-B西壁 5層:6)
7. *Diploneis smithii* (Breb. ex W Smith) Cleve (A-B西壁 8層:7)
8. *Hantzschia amphioxys* (Ehr.) Grunow (A-B西壁 6層:10)
9. *Luticula mutica* (Kuetz.) D.G.Mann (A-B西壁 4層:4)
10. *Nedium amplatum* (Ehr.) Krammer (A-B西壁 5層:6)
11. *Nitzschia cocciformis* Grunow (A-B西壁 8層:7)
12. *Pinnularia viridiformis* Krammer (A-B西壁 4層:4)
13. *Thalassionema nitzschioides* (Grun.) Grunow (A-B西壁 3層:7)

図版2 花粉化石



1. モミ属(A-B西壁 5層:6)
2. ツガ属(A-B西壁 5層:6)
3. マツ属(A-B西壁 5層:6)
4. コナラ属コナラ亜属(A-B西壁 5層:6)
5. コナラ属アカガシ亜属(A-B西壁 5層:6)
6. ガマ属(A-B西壁 5層:6)
7. イスノキ属(A-B西壁 8層:7)
8. イネ科(A-B西壁 5層:6)
9. カヤツリグサ科(A-B西壁 5層:6)
10. カンボボニア科(A-B西壁 5層:6)
11. タンボアリ科(A-B西壁 5層:6)
12. サナエタケ節—ウナギカミ節(A-B西壁 5層:6)
13. ミズウラビ属(A-B西壁 4層:4)

図版3 植物珪酸体



1. ヨシ属短細胞珪酸体(A-B西壁 4層:4)
2. ススキ属短細胞珪酸体(A-B西壁 6層:10)
3. イチゴンナガキ属短細胞珪酸体(A-B西壁 6層:10)
4. イネ属機動細胞珪酸体(A-B西壁 3層:3)
5. イネ属機動細胞列(A-B西壁 6層:10)
6. イネ属機動細胞珪酸体(A-B西壁 8層:7)
7. ヨシ属機動細胞珪酸体(A-B西壁 6層:10)
8. 樹木起源(イヌキ属)(A-B西壁 3層:3)

はじめに

今回の発掘調査地点は、熊本県玉名市岩崎所在の玉名市新庁舎建設予定地内で、菊池川支流の繁根木川左岸に立地する。調査区内では、中世とされる跡跡を伴う水田跡が検出されたほか、この水田跡に伴うと考えられている流路跡が調査区を東西方向に横断しており、その両岸には杭列が遺存していた。

今回の分析調査では中世とされる杭列を断ち割った断面で採取した中世以前の土壤、および中世とされる流路跡より採取された土壤を対象に、中世以前の古環境に関する情報を得ることを目的として、珪藻分析、花粉分析、花粉分析・イネ属同定、植物珪酸体分析、種実遺体分析を実施する。

1. 試料

対象とした地点は、杭列 5-1 断ち割り断面と流路跡断面である。

杭列 5-1 断ち割りでは、杭 6 と杭 7 の間の土壤であり、上位から 1 層～5 層に分層されている。1 層は、灰青灰色シルトで、植物遺体を含み、根状に酸化鉄の濃集が認められる。2 層は褐灰～暗灰色粘土からなり、小さいブロックが濃集したような状態(固粒状)を示す。3 層はオーブ形状の粘土からなり、植物遺体を多く含む。4 層は小枝などの植物遺体を含むオーブ灰～灰色シルトのブロックと中粒～粗粒砂が混在する。5 層は灰色シルトのブロックと粗粒～極粗粒砂が混在する。試料は、1 層から No.1-2 の 2 点、2 層から No.3、3 層から No.4、4 層から No.5-6 の 2 点、5 層から No.7、合計 7 点を採取した。

流路跡の覆土は、上部が灰色の細粒砂、中部が灰褐色の粗粒砂、最下部が灰色シルトのブロックと細粒～粗粒砂が混在する。試料は、覆土の上部より No.1、中部より No.2、最下部より No.3-4 の合計 4 点を採取した。

これらの試料のうち、杭列 5-1 断ち割り断面の No.1-3.4.5、流路跡断面の No.3 の計 5 点について、珪藻分析・花粉分析・イネ属同定・植物珪酸体分析を実施する。また、杭列 5-1 断ち割り断面の No.6、流路跡断面の No.1～No.4 の計 5 点について、種実遺体分析を実施する。

2. 分析方法

(1) 硅藻分析 湿重約 5g をビーカーに計り取り、過酸化水素水と塩酸を加えて試料の泥化と有機物の分解・漂白を行う。次に、分散剤を加えた後、蒸留水を満たし放置する。その後、上澄み液中に浮遊した粘土分を除去し、珪藻殻の濃縮を行う。この操作を 4～5 回繰り返す。次に、自然沈降法による妙質分の除去を行い、検鏡し易い濃度に希釈し、ガラス上に滴下して乾燥させる。乾燥した試料上に封入剤のブリュラックスを滴下し、スライドガラスに貼り付け永久プレパラートを作製する。

検鏡は、油浸 600 倍または 1000 倍で行い、メカニカルステージを用いた任意に出現する珪藻化石が 200 個以上になるまで同定・計数した。なお、原則として、珪藻殻が半分以上破損したものについては、誤同定を避けるため同定・計数は行わない。200 個体が検出できたら後は、示準種などの重要な種類の見落としがないように、全体を精査し、含まれる種群すべてが把握できるように努める。

珪藻の同定と種の生態性については、Horst Lange-Bertalot(2000)、Hustedt(1930-1966)、Krammer & Lange-Bertalot(1985-1991)、Desikachary(1987)などを参考にする。群集解析にあたり個々の産出化石は、ま

ず塩分濃度に対する適応性により、海水生、海水～汽水生、汽水生、淡水生に生態分類し、さらにその中の淡水生種は、塩分、pH、水の流動性の 3 適応性についても生態分類し表に示す。

(2) 花粉分析・イネ属同定

試料約 10g について、水酸化カリウムによる泥化、篩別、重液(臭化亜鉛、比重 2.3)による有機物の分離、ツバキ水素酸による植物質の除去、アセトレス(無水酢酸 9:濃硫酸 1)の混合液処理による植物遺体中のセルロースの分解を行い、物理・化学的処理を施して花粉を濃集する。残渣をグリセリンで封入してプレパラートを作製し、400 倍の光学顕微鏡下でプレパラート全面を走査し、出現する全ての種類について同定・計数する。同定は、当社保有的現生標本や島倉(1973)、中村(1980a)等を参考にする。

イネ属については、検出されるイネ科花粉の表面微細構造、発芽孔の肥厚状況、粒径などを考慮し、中村(1974)を参考にしてイネ属と他のイネ科に分類する。

結果は同定・計数結果の一覧表、及び花粉化石群集の層位分布図として表示する。図表中で複数の種類をハイフォンで隔んだものは、種類間の区別が困難なものを示す。図中の木本花粉は木本花粉総数を、草本花粉・シダ類子は総数から不明花粉を除いた数をそれぞれ基数として、百分率で出現率を算出し図示する。

(3) 植物珪酸体分析

各試料について過酸化水素水・塩酸処理、沈殿法(ボリタンクステン酸ナトリウム、比重 2.5)順に物理・化学処理を行い、植物珪酸体を分離・濃集する。これをガラス上に滴下・乾燥させる。乾燥後、ブリュラックスで封入してプレパラートを作製する。400 倍の光学顕微鏡下で全面を走査ーションの間に出現するイネ科葉部(葉身と葉鞘の葉部短細胞)に由来した植物珪酸体(以下、短細胞珪酸体と呼ぶ)および葉身機動細胞に由来した植物珪酸体(以下、機動細胞珪酸体と呼ぶ)を、近藤(2010)の分類を参考に同定し、計数する。

分析の際には、分析試料の乾燥重量、プレパラート作成に用いた分析残渣量を計算し、乾土 1g あたりの植物珪酸体含量(同定した数を乾土 1g あたりの個数に換算)を求める。

結果は、植物珪酸体含量の一覧表を示す。その際、100 個/g 未満は「<100」で表示する。各分類群の含量は 10 の位で丸め(100 単位)にする。合計は各分類群の丸めない数字を合計した後に丸めている。また、各分類群の植物珪酸体含量を試料毎に図示する。

(4) 種実遺体分析

試料 50～200cc を水に浸し、粒径 0.5mm の篩を通じて水洗する。水洗後の試料をシャーレに集めて双眼顕微鏡下で観察し、ピンセットを用いて、同定が可能な種実遺体を抽出する。

種実遺体の同定は、現生標本と石川(1994)、中山ほか(2000)を参考に実施し、個数を数えて結果を一覧表と土壤 100cc あたりの種実遺体群集図で示す。実体顕微鏡下による区別が困難な複数種間は、ハイフオンで結合で表示する。その他の抽出物は、一覧表の下部に一括してプラス「+」で示す。

分析後は、種実遺体を分類群ごとに容器に入れ、約 70% のエタノール溶液で液浸し、保存する。

3. 結果

(1) 硅藻分析

結果を表 1、図 1 に示す。分析したいずれの試料も、化石殻の大半が半壊しているだけでなく、溶解の痕跡が認められることから、保存状態は不良～極不良である。以下、地点ごとに述べる。

・杭列 5-1 断ち割り断面

No.1 からは、ある程度の量の珪藻化石が含まれており、200 個体以上が検出された。検出された分類群は、淡水生種を主として、極低率に淡水～汽水生種を伴う種群で構成される。

表1. 硅藻分析結果(1)

S:好汚濁性種 U:広適応性種 T:好清水性種(以上はAsai & Watanabe, 1995)

大陆生珊瑚(RB-B群、RB-C群、RJ;未区分、伊藤·堀内,1991)

多産または特徴的に認められた種は、淡水生種で流水性種の *Cocconeis placenta* var. *lineata*、淡水不定性種の *Amphora ovalis* var. *affinis*、*Fragilaria ulna*、*Gomphonema parvulum*、*Pinnularia gibba*、*Pinnularia microstauron*、*陸生珪藻の Hantzschia amphioxys*、*Pinnularia schoederi*等である。

No.3 にもある程度の量の珪藻化石が含まれ、100 個体以上が検出された。検出された分類群は、淡水生種を主として、極低率に淡水～汽水生種および汽水生種を伴う種群で構成される。多産または特徴的に認められた種は、淡水性種の *Cocconeis placenta* var. *lineata*、淡水生種で流水不定性種の *Amphora ovalis* var. *affinis*、*Fragilaria ulna*、*Gomphonema parvulum*、*Pinnularia gibba*、止水性種の *Pinnularia acrosphaera*、*Stauroneis phoenicenteron*、流水不明種の *Pinnularia* spp.等である。

No.4 もある程度の量の珪藻化石が含まれており 100 個体以上が検出された。検出された分類群は、淡水生種のみであり、海水生種あるいは汽水生種は検出されない。多産または特徴的に認められた種は、淡水種で流水不定性種の *Amphora ovalis* var. *affinis*、*Pinnularia microstauron*、止水性種の *Alacoseira ambigua*、*Neidium amplifolium*、*Stauroneis phoenicenteron*、流水不明種の *Cymbella* spp.、*Pinnularia* spp.、*陸生珪藻の Hantzschia amphioxys* 等である。

No.5 には、堆積物中の絶対量は多いとは言えないものの、ある程度の量の珪藻化石が含まれており、100 個体以上が検出された。検出された分類群は、淡水生種のみである。多産または特徴的に認められた種は、淡水種で流水不定性種の *Amphora ovalis* var. *affinis*、*Pinnularia microstauron*、淡水不明種の *Alacoseira ambigua*、*Cymbella* spp.、*Pinnularia* spp.、*陸生珪藻の Hantzschia amphioxys* 等である。

No.3 からは、珪藻化石が検出されたものの、1 ブレーラートから 10 個体である。検出された分類群は、淡水生種で流水不定性種の *Amphora ovalis* var. *affinis*、止水性種の *Achnanthus crenulata*、淡水不明種の *Cymbella* spp.、*Pinnularia* spp.、*陸生珪藻の Hantzschia amphioxys* 等である。

(2)花粉分析

結果を表 2、図 2 に示す。いずれの試料からも花粉化石が豊富に産出し、保存状態も全体的に良好である。

以下、地点ごとに述べる。

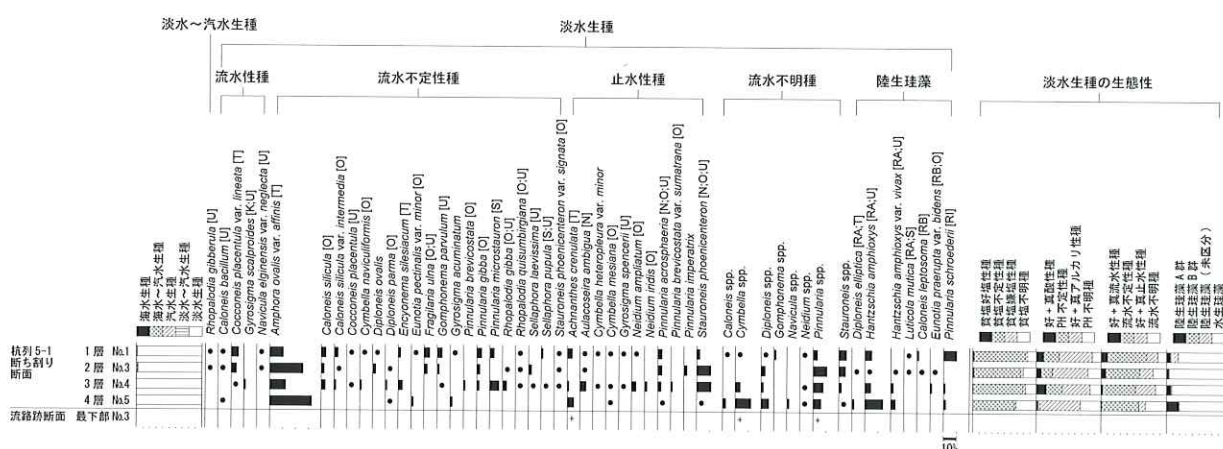
・杭列 5-1 断ち割り断面

花粉化石群集は No.1 と No.3～No.5 で違いが認められる。No.1 では木本花粉ヒシダ類胞子の割合が高く、草本花粉の割合は少ない。木本花粉についてみると、マツ属が優先し、モミ属、ソガ属等が比較的多く認められる。その他ではコナラ属アガシ属等が認められる。草本花粉ではイネ科、ナエタデ節、ウナギッカミ節が多く認められ、カヤツリグサ科、ナデシコ科、キク科、タンボポ科等を伴う。なお、栽培種であるイネ属に由来する花粉も検出されており、イネ科全体に占める割合は約 24.0% であった。

No.3～No.5 は、花粉化石群集が類似しており、草本花粉の割合が高い。木本花粉では、マツ属、アカガシ属が多産し、モミ属、コナラ属、クリ属、シイ属等を伴う。草本花粉ではイネ科が多産し、カヤツリグサ科、ナエタデ節、ウナギッカミ節、ヨモギ属、タンボポ科等を伴う。そのほかでは、ガマ属、サジオモダカ属、オモダカ属、イモダカ属、ミズワリビ属、サンショウモ属などの水湿地植物に由来する花粉・胞子も検出される。なお、イネ科におけるイネ属の割合は、No.3 が約 33.5%、No.4 が約 42.3%、No.5 が約 29.5% であった。

・流路跡断面

No.3 からは花粉化石が豊富に産出するものの、杭列 5-1 断ち割りと比較すると保存状態がやや悪く、花粉



海水～汽水～淡水生種出率、各種出率、完形殻出率は全基数、淡水生種の生態性の比率は淡水生種の合計を基数として百分率で算出した。
いずれも100個体以上検出された試料について示す。なお、●は1%未満、+は100個体未満の試料について検出した種類を示す。

環境指標種

A:外洋指標種 B:内湾指標種 C:海洋養殖場指標種 D:海水砂質干潟指標種 E:海水泥質干潟指標種
F:淡水底生種群(以上は小杉、1988) G:淡水浮遊生種群 H:河口浮遊生種群 J:上流性河川指標種 K:中～下流性河川指標種 M:湖沼浮遊性種 N:湖沼泥質地帯指標種 O:沼澤泥質地帯生種 P:高層泥原指標種群 Q:陸域指標群(以上は安藤、1990)
S:好汚泥性種 U:広適応性種 V:好清水性種(以上はAsai and Watanabe,1995) R:陸生珪藻(RAA群, RB群、伊藤・堺内、1991)

図 1. 主要珪藻化石群集

表2. 花粉分析結果
外障が破損・溶解した場合のが多く見られた。

外障が破損・溶解しているのが多く見られた。

花粉群集組成は杭例 5-1 断ち割り断面の No. 5 に類似し、草本花粉の割合が高い。木本花粉はマツ属、アカガシ属が多産し、モミ属、ツガ属、カバノキ属、コナラ属、クリ属、シイ属、ブドウ属等を伴う。草本花粉ではイネ科が多産し、カラソリグサ科、セリ科、ヨモギ属、タヌボトベ科等を伴つ。水湿地生植物では、ガマ属、ヒルムシロ属オモモカカ属、クロモ属、ミズアオイ属などが認められる。なお、イネ科におけるイネ属の割合は、絶対量では 21.7% であった。

(3) 植物珪酸体分析

結果を表-3、図3に示す。各試料からは植物珪酸体が検出されるものの、保存状態が悪く、(溶食痕)が認められる。以下、地点ごとに述べる。

・杭例5-1 断ち割り断面
分析した 4 試料の植物珪酸体含量には、層位的な変化が見られる。No.5 では約 1,600 個/g であるが、No.4 で約 2,000 個/g となり、No.3 で急激に増加して約 14,100 個/g となる。上位の No.1 では減少して約 12,000 個/g となる。

栽培植物としてはイネ属が産出し、No.5 で機動細胞珪酸体、No.3 と No.1 で短細胞珪酸体と機動細胞珪酸体が認められる。その含量は、No.5 の機動細胞珪酸体が 100 個/g 未満、No.3 の短細胞珪酸体が 100 個/g 未満、No.1 の短細胞珪酸体が約 700 個/g、機動細胞珪酸体と機動細胞珪酸体がそれぞれ 100 個/g 未満。

酸体が約 600 個/g である。先に調査した A-B 西壁で見られた短細胞列や機動細胞列は全く検出されない。なお、各試料からには栽培種のムギを含むオオムギ族は検出されず、No.3 と No.1 でオオムギ族が属するイチゴツナギ亜科がわずかに認められる。

この他にタケ垂科、ヨシ属、ススキ属なども見られる。No.3とNo.1ではヨシ属が目立つ。またイネ科検出される。

・流路断面

表2. 花粉分析結果

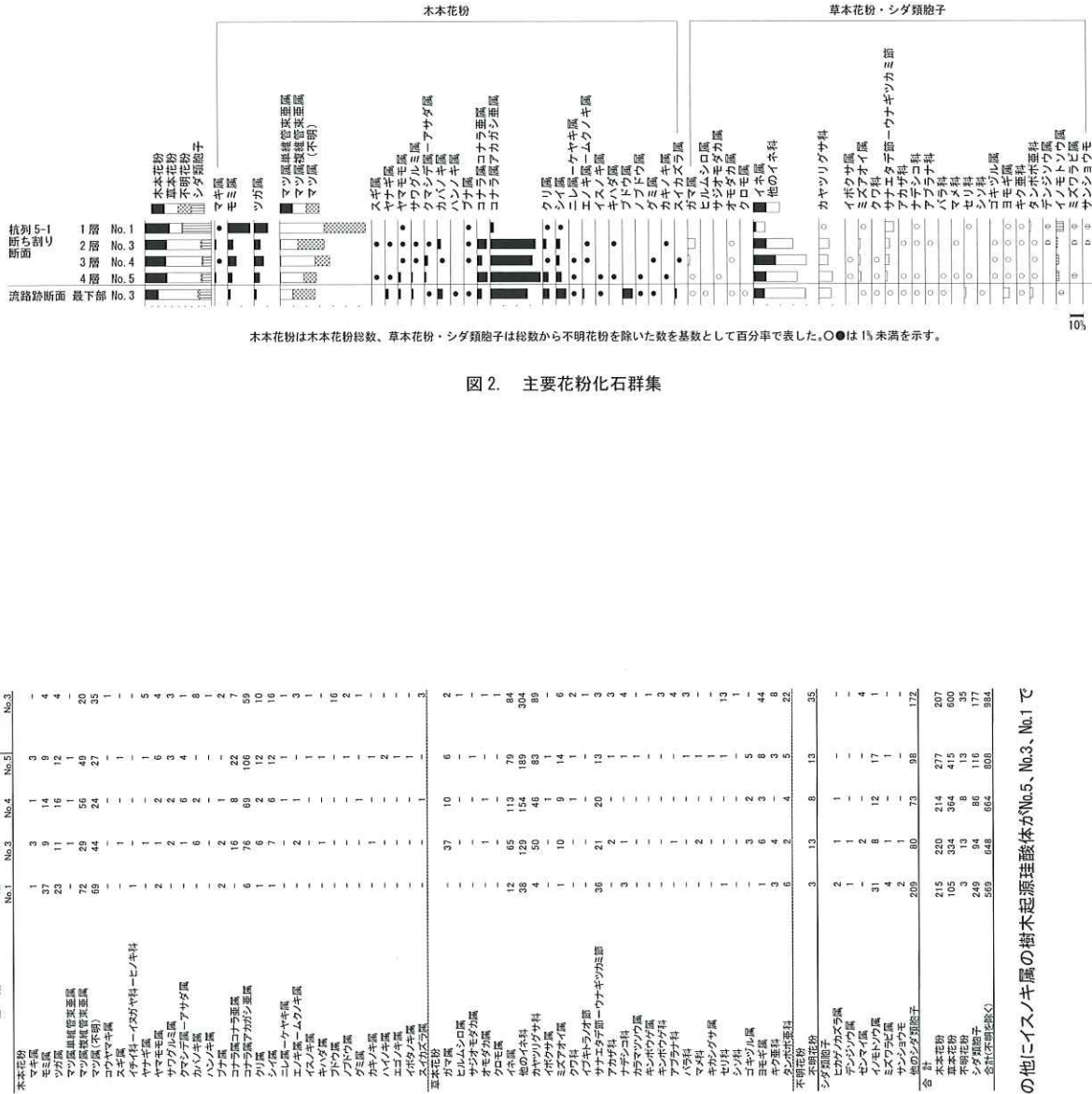


図2. 主要花粉化石群集

4) 種実遺体分析

以降、ボントクタデ近似種、ナサエタテ近似種、スベリヒユ、ナデシコ科、タカラシ、キンポウゲ属、アブナラ科、キジムシロ類、カタバミ属、エノキグサ、スミレ属、チドメダサ属、キランソウ属、イヌコウジュ属、シロネ属ーシン科、コオニタビラコ、キク科93種実遺体の出土個数/分析量は、杭引5-1の断ち割り断面のNo.6が239個/500cc、流路断面のNo.1が123個/200cc、No.2が177個/150cc、No.3が245個/500cc、No.4が150個/150ccであった。流路断面のNo.3と杭引5-1断ち割り断面からの多孔隙が暗視鏡で確認された。

栽培種は、オオムギ・コムギ・ヒヨコムギの可能性)の炭化した胚乳が流路のNo.3から1個と、炭化したイネの穎
が杭排列1の断ち割り断面のNo.6から2個、穎がNo.6から80個、流路のNo.1から44個、No.2から103個、No.3から80
個、No.4から44個の、計354個が確認され、種質遺体群の37.9%を占める。その他に、各試料から計60個出土し
た。

この他、エノコログサ属、イネ科、スゲ属、ヒメグサ属、ヒメグサ属、カヤツリグサ属、カヤツリグサ科、ギンジシ属、ミズヒチ属、ナエナエタデ近似種、スベリヒュウ、ナデシコ科、キンポウゲ属、アフランカ科、キジムシロ類、カタバミ属、エノシマテクサ属、スミレ属、チメグサ属、キシノクサ属、キシノクサ属、イヌコウジュ属、イヌコウジュ属-シソ属-シソ科、キク科など、見つかった場所にもやや乾いた場所にも生育可能な分類群が確認された。いずれも明るく開けた場所に生育する、わわゆる人里植物に属する分類群から成る。

木本類は全て広葉樹で、河畔林要素で落葉高木のムクノキや、落葉または常緑低木のキイチゴ属、ノイバラ属、節、落葉低木のムラサキシキブ属、落葉藤本のブドウ属、ノブドウ、ブドウ科などの、河畔や林縁、伐採地などの明るく開けた場所を好みて生育する種類が確認された。

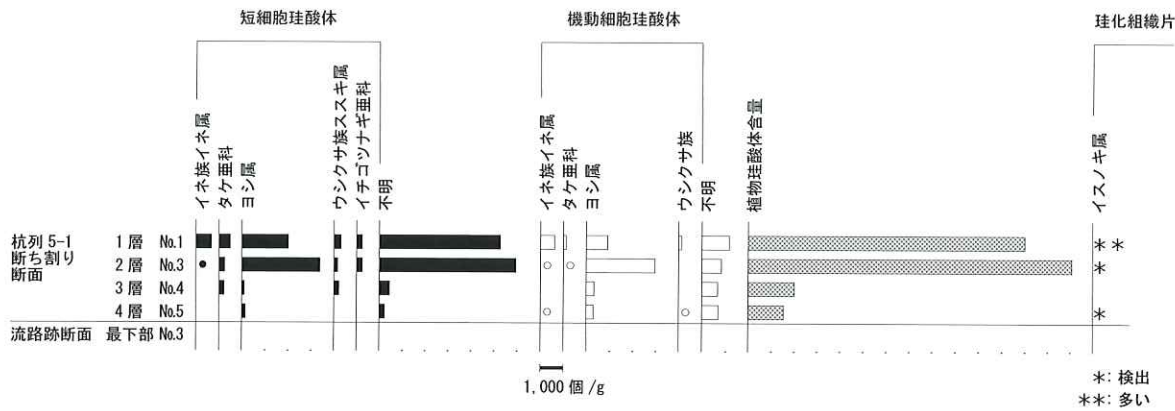


図3 植物珪酸体含量

表4. 種実遺体分析結果

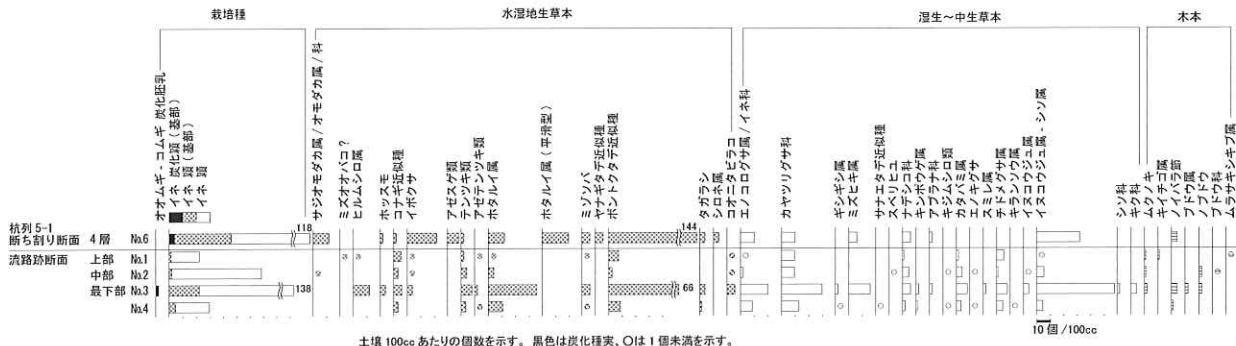


図4. 種実遺体群集

4. 考察

(1) 堆積環境
中世以前とされる杭列 5-1 断ち割り断面についてみると、分析層位最下層の 4 層(No.5)で多産または特異な種群が共産したことから、混合群集と考えられる。

これらの種の生態性をみると、淡水不定性種の *Amphora ovalis* var. *affinis*、止水性種の *Achnanthes crenulata*、淡水不明種の *Cymbella* spp.、*Pinnularia* spp.、*Hantzschia amphioxys*、*Hantzschia amphioxys* var. *vivax* 等である。

以上のような多産種の産状と希産種を合わせた群集の構成を考え合わせると、4 層堆積時は、基本的に湿地のような環境下にあつたと思われるが、地下水位が低く、好気的でや乾燥していた可能性が示唆される。3 層(No.4)で多産または特徴的に認められた種は、淡水生種で淡水不定性種の *Amphora ovalis* var. *affinis*、*Pinnularia microstauron*、止水性種の *Alveocosairea ambigua*、淡水不明種の *Cymbella* spp.、*Pinnularia* spp.、*Hantzschia amphioxys* 等である。

これらの種の生態性をみると、淡水不定性種の *Pinnularia microstauron* は、富栄養化した湿地に認められる場合が多く、Asai and Watanabe(1995)によれば、好汚濁性種とされている。止水性種の *Alveocosairea ambigua* は、浮遊性で富栄養の池・湖の沿岸等に多いとされる(Hustedt, 1930)。また、安藤(1990)によると、湖沼沼沢湿地指標種群とされている。止水性種の *Neidium ampliatum* は、比較的広範な水域に認められるが、湿地や池沼の縁辺などの止水域に多く認められる。同じく止水性種の *Stauroneis phoenicenteron* も湿地や池沼・湖沼の縁辺等の止水域に生育する種であり、Chloroky(1968)は最適 pH を 6.8 に持つ種類である。なお、群集全体の傾向は、特に流水に対するものとの、淡水生種、止水性種、淡水不明種および陸生珪藻を伴うところから、分類群の生態性にはばらつきがあることがわかつかる。このような特徴を示す群集は、混合群集となっている。

以上のような多産種の産状と希産種を合わせた群集の構成を考え合わせると、3 層堆積時は、基本的には低地部の湿地のような環境下にあつたが、地下水位が高く、ある程度の水が溜まつたり、様々な場所から水が流れ込むような状態であつたと推定される。

2 層(No.3)から多産または特徴的に認められた種は、淡水性種の *Cocconeis placentula* var. *lineata*、淡水生種で流水不定性種の *Amphora ovalis* var. *affinis*、*Fragilaria ulna*、*Gomphonema parvulum*、*Pinnularia gibba*、*Pinnularia microstauron*、止水性種の *Pinnularia crenulata*、*Pinnularia acrophaera*、*Hantzschia amphioxys*、*Pinnularia schoederii* 等である。

これらの種の生態性をみると、陸生珪藻の *Pinnularia schoederii* は、*Hantzschia amphioxys* 等とともに、離水した場所で乾燥に耐える種である。なお、群集全体の傾向は、確認された種数が多いこと、分類群の生態性にはばらつきがあることから、混合群集と考えられる。

よつて、以上のような珪藻化石の産状から、1 層堆積時も、前述の 2 層と同様に、沼沢湿地の環境下にあつたものと推定される。

一方、中世の流路とされる流路最下部(No.3)は、珪藻化石の産出率が特に低いために、無理に堆積環境を推定するのは危険と考えられる。ただし、本地点から低率に検出された種群は、そのほとんどが湿性の種群に属する種と思われる。そのことと、化石殻の保存状態および産出率が極端低いことを考慮すると、流路最下部が埋積する時期は、湿地環境になつた時期があつたと思われるが、その後好気的な環境下になり珪藻化石が消失した可能性が示唆される。

(2) 古植生

中世以前とされる杭列 5-1 断ち割り断面についてみると、4 層(No.5)～2 層(No.3)にかけては花粉群集組成が類似する。周辺の植生を反映する木本類についてみると、マツ属(主としてマツ属複雜管束亞属)、コナラ属アカガシ属が多産し、モミ属、シイ属等の広葉樹、コナラ属、クリ属、シイ属等の広葉樹などが認められる。植物珪酸体分析結果では、4 層と 2 層からイヌノキ属起源の植物珪酸体が確認された。このうちアカガシ属は、ヤマモモ属、シイ属などとも暖温帶常緑林の主要構成要素であることから、本遺跡周辺には、アカガシ属が主としてイヌノキ属などとも伴う常緑広葉樹林が分布しており、部分的にモミ属、ツガ属などの温帶針葉樹も生育している。また、マツ属複雜管束亞属(いわゆるニヨウマツ類)は生育の適応範囲が広く、極端な陽樹でもあることから、伐採された土地などに最初に進入する二次林の代表的な種類でもある。これより、周囲の林縁部などに、二次林としてマツ属が分布していたと考えられる。また、ヤナギ属、サワグルミ属、クリミ属、クルミ属、コナラ属、コナラ属アサダ属、コナラ属、エノキ属、クノキ属などは、河畔や渓谷沿いなど適温地に生育することから、これらは繁根木川や菊池川などの河川沿いに、生育していた可能性がある。

草本類をみると、花粉化石ではイネ科が多産し、カヤツリグサ科、サナエタデ節ーウナギツカミ節、ヨモギ属、タンポポ科等を伴う。水湿地生植物では、ガマ属、サジョモダカ属、オモダカ属、イボクサ属、ミズアオイ属、ゴキヅル属、デンソウ属、ミズフラビ属、サンショウウチクなどの草本・シダ類も確認された。植物珪酸体の産状からは、タケ亜科、ススキ属などのほか、水湿地に生育するヨシ属も確認されている。種実遺体では、オモダカ属、サジョモダカ属、オモダカ科、ホツモ、コナギ(近似種)、イボクサ、ホタルイ属(平滑型・サンカクイやフトイの類)、アセスケ類、テンツキ類、ミソバ、ヤナギタデ(近似種)、ボントクタデ(近似種)、タガラシ、シロネ属などの水湿地生植物や、エノコログサ属、イネ科、ステップ、カヤツリグサ属、ミズヒキ属、ナデシコ科、アブラナ科、イヌコウジユ属-シソ属などの湿生～中生植物が確認された。これらのことから、当時の調査区周

辺域は、明るく開けた草地環境で、水深が浅い(1~2m以内)水湿地の存在が推定される。珪藻分析から想定される湿地環境とも矛盾しない。

1層(No.1)になると、花粉化石ではマツ属(マツ属複雑管東亞属を含む)が多産し、モミ属、ツガ属等の針葉樹が多く検出される。下位層で多産したアカガシ・ヒノキの割合は低くなり、検出される種類数も少なくなる。草本類においても、イネ科、サナエタチ節-ウナギッカ節などが多く認められるが、草本類の割合は低い。木本花粉やシダ類胞子は、広葉樹花粉と比較するど風化に対する抵抗性が強いとされている。下位層で多くの種類が認められに水湿地生植物の種類数・個体数が少なくなること、珪藻分析でも陸生珪藻の割合が増加することなどを考慮すると、選択的に花粉化石が分解され、風化に強い種類が選択的に多く残された可能性がある。

中世とされる流路の木本類についてみると、花粉化石ではマツ属、アカガシ・ヒノキ属、コナラ属、クリ属、シイ属、ノブドウ属等を伴う。種実遺体では、高木のキチゴ属、低木のイチゴ属、ノバラ節、ムラサキシキブ属、藤本のブドウ属、ノブドウ、ブドウ科などの河畔や林縁、伐採地などの明るく開けた場所を好んで生育する陽樹が確認された。これらのことから、基本的には、周辺の森林構成は、杭例 5-1 断ち割りの4層~2層と層と同様と推測されるが、流路という特性から、河畔林要素や林縁要素が強く反映されていると考えられる。

草本類についてみると、栽培種を除いた種実遺体の分類群は、杭例 5-1 断ち割りと同様に、水湿地生植物を含む圧倒的な草本主体の組成を示す。このことから、開発が進んだ草地化の影響が示唆される。種実遺体では、オモダカ属、ミズオバコ(?)、ホッスモ、ヒルムシロ属、コナギ(近似種)、イボクサ、イヌホタルイ近似種、ホタルイ属、テンツキ類、ボトクタデ(近似種)、コオニタビラコなどの水湿地生植物や、エノコロクサ属、イネ科、スゲ属、ヒメケグ類、カヤツリグサ属、カヤツリグサ科、ミズヒキ属、ナデシコ科、キンポウゲ属、カタバミ属、チドメグサ属、イスコウジ属、イスコウジユ属、イヌコウジユ属、キク科などの湿生~中生植物が確認された。花粉化石では、イネ科、カヤツリグサ科、ヨモギ属、タンボク等、野草科などが多認められ、ガマ属、ヒルムシロ属、オモダカ属、クロモ属、ミズアオイ属などの水湿地生草本を伴う。以上のことから、水湿地生植物の多くは流路内あるいはその周辺、集水域に生育していたと推測され、周囲の草地や集水域の林縁林床などの草本類も含まれると考えられる。

なお、流路最下部では、植物珪酸体が検出されなかつた。同じく珪酸塩からなる珪藻化石の産状も悪いことから、風化作用により珪酸塩が消失やすかつた可能性がある。

(3)栽培植物について

中世以前とされる杭例 5-1 断ち割り断面の4層(No.5)~1層(No.1)、および中世とされる流路断面の最下部(No.3)からは、栽培種のイネ花粉が検出された。イネ科全体に占めるイネ属花粉の割合は、4層が約30%、3層(No.4)が約42%、2層(No.3)が約34%、1層が約24%。流路断面の最下部(No.3)が約22%であった。花粉の動態研究を行った結果、イネ花粉が多産しており、そのうちのイネ属の比率が30%以上である場合、近傍で現在と同程度の集約的稻作が行われていた可能性があるとの指摘がある(中村, 1980b)。今回の結果をみると、杭例 5-1 断ち割り断面ではイネ科の産出が少ない1層以外で約30~42%高い割合であり、上記した中村(1980b)に従えば、現在と同程度の集約度で稻作が行われていた可能性があると判定される。また、流路最下部でも比較的高い含量が含まれる。後述する種実遺体分析からは、同試料からイネの穎が多産する。イネの花粉は、生産される花粉の1/4が糊盤内に残留することが知られている(中村, 1980b)。流路という特性を考慮すると、多産したイネ属花粉はイネの穎に残留したものに由来すると考えられる。

一方、植物珪酸体では、杭例 5-1 断ち割り断面の3層と1層でイネ属が産出したが、その含量は概して少なく、3層の機動細胞珪酸体が100個/g未満、1層の機動細胞珪酸体が600個/g程度であつた。既往の調査

査事例をみると、過去に稻作が行われた水田土壤では、栽培されていたイネ属の植物珪酸体が土壤中に蓄積され、植物珪酸体含量(植物珪酸体密度が高くなる。埋没水田跡の稻作の様態に関する検証を行う場合、イネ属の植物珪酸体橢圓細胞由来)が試料1g当たり5,000個以上検出された場合、過去に稻作が行われた可能性が大きいと判断される(杉山, 2000)。上記2層準の機動細胞珪酸体含量は1gあたり600個~100個未満と低く、杉山(2000)に示された数値基準と比較して少ないと言える。ただし当社で蓄積した調査事例では、硅酸などの水田に関連する明確な遺構が検出されている場合でも、土壤中に残留する植物珪酸体含量が少ないとがあり、稻作の様態や経年期間等の原因を想定している。これらの点を考慮すれば、3層や1層では稻作が行われた可能性も否定できない。

先に調査した A-B 西壁では中世やそれ以後の土層からイネ属の花粉・植物珪酸体が産出している。また、本調査地点の東方に位置し、菊池川右岸の冲積地に立地する両迫間日渡遺跡では、当社による継続的な地調査及び分析調査により、弥生時代前期・古墳時代・中世等と想定された水田疊等の土層から、イネ属珪酸体が多産する事実を把握している。同様に、菊池川右岸の低地部に立地する玉名平野余里跡でも、弥生時代とされる凹地の埋積物で、イネ属珪酸体が多産したことを見出している。

さらに種実遺体群からは、杭例 5-1 断ち割り断面の4層(No.6)と、流路断面の最下部(No.4)、中部(No.2)、上部(No.1)からイネの穎が、流路断面の最下部(No.3)からオオムギ-コムギの胚乳が確認された。穎類のイネ、オオムギは、当時利用された植物食糧と示唆される。杭例 5-1 から出土したイネの穎 2 個と、流路の最下部(No.3)出土したオオムギ-コムギ(コムギの可能性)1 個は、炭化していることから、何らかの理由で火を受けていたと推定される。なお、本地域では、文献資料の調査結果等から、中世以降にムギ栽培が行われていた可能性が指摘されている。中世の流路最下部からオオムギ-コムギが検出されたことは、そのような調査結果を裏付ける結果といえる。その他に、油料植物のシヤウガマなどの栽培シヨウ属には、野生種のイヌクシユシユ属の他に、油料植物のシヤウガマなどの栽培シヨウ属を含む可能性がある。

以上の結果を総合的に判断すると、少なくとも中世以前とされる杭例 5-1 断ち割り断面の4層~2層においては、稻作が行われた可能性が高い。また、中世とされる流路内においてイネの穎やオムギ-コムギが検出されたことから、当該期の栽培利用のほか、流路内に糊盤などの植物体や食料残渣などの流入していたことが想定される。

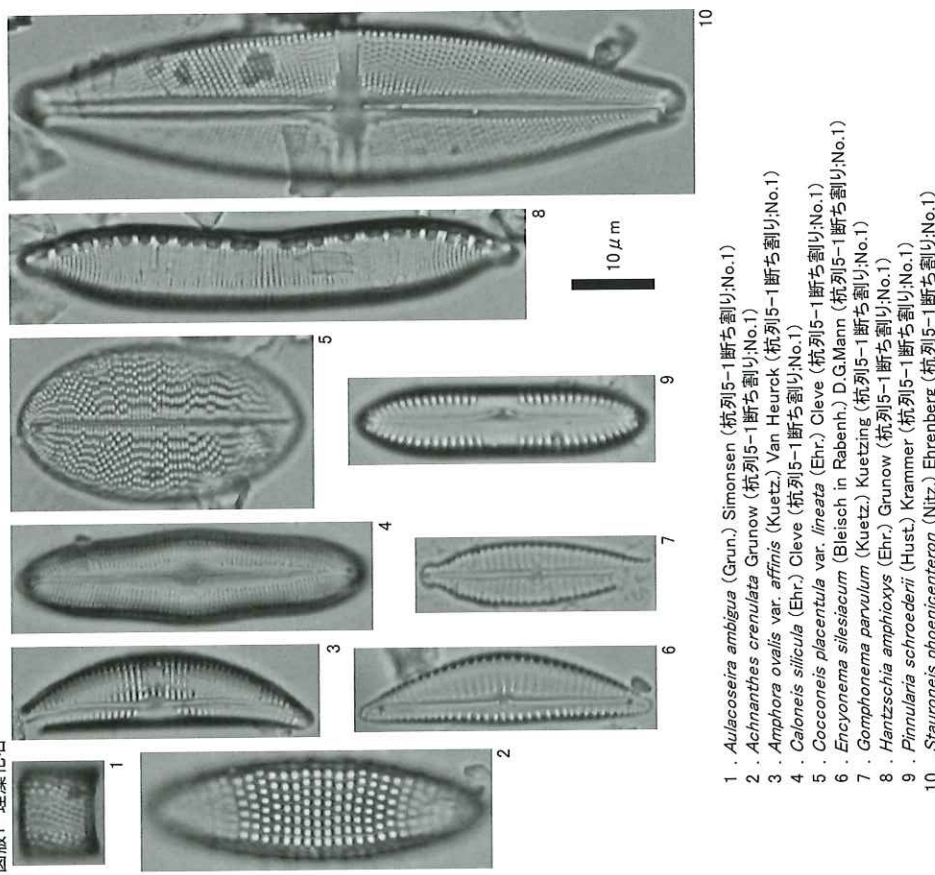
今後さらに、本調査地点周辺で稻作や他の栽培植物の消長を明らかにするためには、発掘調査所見や他の調査地點間の層相対比を前提とした同様の調査事例を蓄積することが望まれる。また、既往の調査事例における横成を行う機会を得たいと考えている。

引用文献

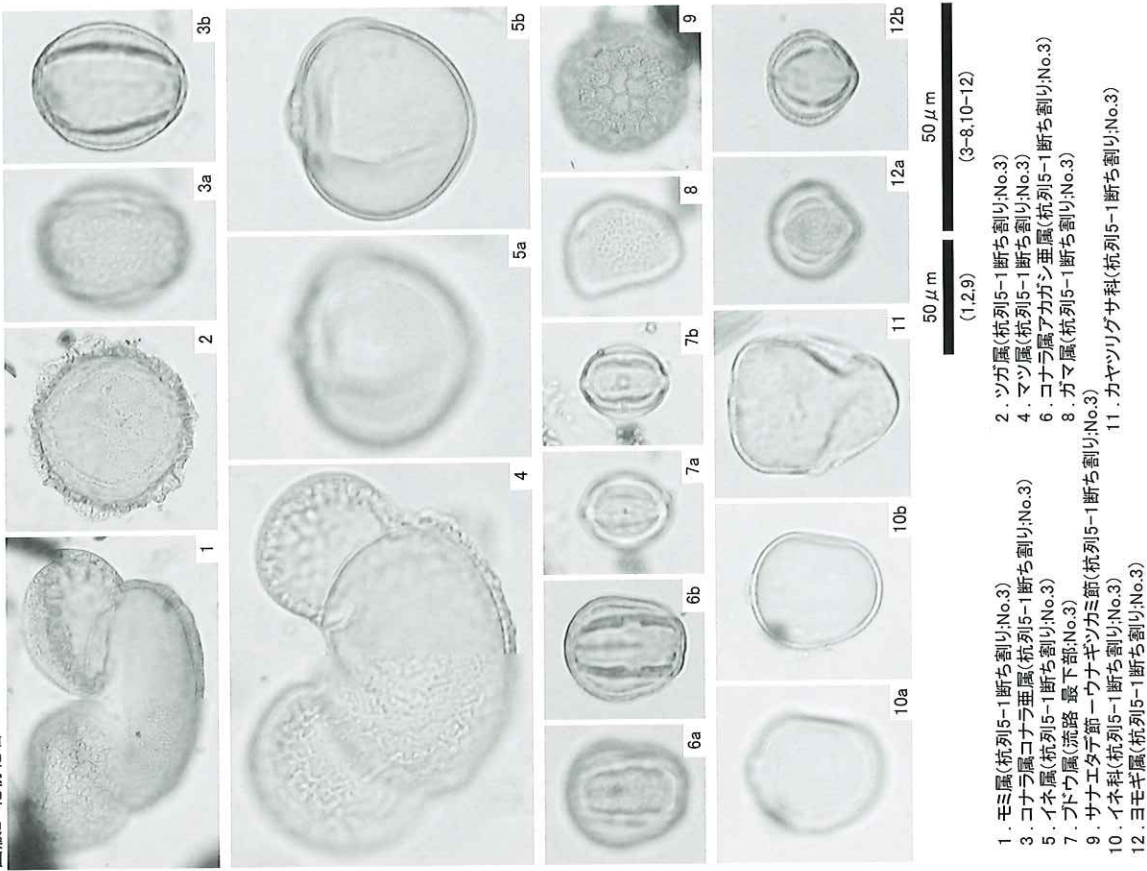
- Asai, K. & Watanabe, T., 1995. Statistic Classification of Epilithic Diatom Species into Three Ecological Groups relating to Organic Water Pollution (2) Saprophilous and saproxenous taxa. *Diatom*, 10, 35~47.
安藤一男, 1990. 淡水産珪藻による環境指標種群の設定と古環境復元への応用. 東北地理, 42, 73~88.
Cholnoky, B. J., 1968. Die Okologie der Diatomeen in Binnern-Gewässern. Lehrs.
Desikachary, T. V., 1987. *Atlas of Diatoms. Marine Diatoms of the Indian Ocean. Madras science foundation, Madras. Printed at T.T. Maps & Publications Private Limited, 328, G. S. T. Road, Chornepet, Madras-600044.*
Horst Lange-Bertalot, 2000. *ICONOGRAPHIA DIATOMOLOGICA: Annotated diatom micrographs. Witkowsky, A., 1~13, Plates : 401~621.*

- Horst Lange-Bertalot, Dittmer Metzeltin: Diatom Flora of Marine Coasts Volume 1. 219 plts. 4504 figs. 925 pgs.
- Hustedt, F. 1930 Die Kieselalgen Deutschlands, Oesterreichs und der Schweiz. unter Berücksichtigung der übrigen Lander Europas. Sowie der angrenzenden Meeresgebiete. in Dr. Rabenhorsts Kryptogamen Flora von Deutschland. Oesterreichs und der Schweiz. 7. Leipzig. Part 1.920p.
- Hustedt, F. 1937-1938 Systematische und ökologische Untersuchungen mit die Diatomeen-Flora von Java, Bali und Sumatra. I ~ III. Arch. Hydrobiol. Suppl., 15, 131-809, 1-155, 274-349.
- Hustedt, F., 1959, Die Kieselalgen Deutschlands, Oesterreichs und der Schweiz. unter Berücksichtigung der übrigen Lander Europas. Sowie der angrenzenden Meeresgebiete. in Dr. Rabenhorsts Kryptogamen Flora von Deutschland, Oesterreichs und der Schweiz. 7. Leipzig. Part 2.845p.
- Hustedt, F. 1961-1966 Die Kieselalgen Deutschlands, Oesterreichs und der Schweiz. unter Berücksichtigung der übrigen Lander Europas. Sowie der angrenzenden Meeres-gebiete. in Dr. Rabenhorsts Kryptogamen Flora von Deutschland, Oesterreichs und der Schweiz. 7. Leipzig. Part 3.816p.
- 石川茂雄 1994,原色日本植物種子写真図鑑.石川茂雄 図鑑刊行委員会.328p.
- 伊藤良永・堀内誠示.1989古環境解析からみた陸生珪藻の検討－陸生珪藻の細分-.日本珪藻学会第 10 回大会講演要旨集.17.
- 伊藤良永・堀内誠示.1991陸生珪藻の現在に於ける分布と古環境解析への応用.日本珪藻学誌.6:23-44.
- 近藤錦三.2010.プラント・オノペール図譜.北海道大学出版会.387p.
- 小杉正人.1986.陸生珪藻による古環境の解釈とその意義—わが国への導入とその展望—.植生史研究.1.9-44.
- 小杉正人.1988.珪藻の環境指標種群の設定と古環境復原への応用.第四紀研究.27.1-20.
- Krammer, K. and H. Lange-Bertalot. 1985. Naviculaceae. Bibliotheca Diatomologica.9:250p.
- Krammer, K. and H. Lange-Bertalot. 1986. Bacillariophyceae, Süsswasser flora von Mitteleuropa, 2(1): 876p.
- Krammer, K. and H. Lange-Bertalot. 1988. Bacillariophyceae, Süsswasser flora von Mitteleuropa 2(2): 596p.
- Krammer, K. and H. Lange-Bertalot. 1990. Bacillariophyceae, Süsswasser flora von Mitteleuropa 2(3): 576p.
- Krammer, K. and H. Lange-Bertalot. 1991. Bacillariophyceae, Süsswasser flora von Mitteleuropa 2(4): 437p.
- 中島啓治・吉田武雄・金谷道行・神戸多恵子.1987.群馬県の珪藻類.群馬県植物誌改訂版.群馬県高等学校教育研究会生物部会.507-561.
- 中村 純.1961.花粉分析 古今書院.232p.
- 中村 純.1974.イネ科花粉について、どくにイネ(*Oryza sativa*)を中心として、第四紀研究.13.187-193.
- 中村 純.1980a.日本産花粉の標準 I II(図版).大阪市立自然史博物館収蔵資料目録 第12,13集.91p.
- 中村 純.1980b.花粉分析による稻作史の研究.自然科学の手法による遺跡・古文化財等の研究 一総括報告書-.文部省科研費特定研究「古文化財」總括班.187-204.
- 中山至大・井之口希秀・南谷忠志.2000.日本植物種子図鑑.東北大学出版会.642p.
- 島倉巳三郎.1973.日本植物の花粉形態.大阪市立自然科学博物館収蔵目録 第5集.80p.
- 杉山真二.2000.植物珪酸体(プラント・オバール).辻 誠一郎(編著)考古学と自然科学 3 考古学と植物学.同成社.189-213.

图版1 珊瑚化石

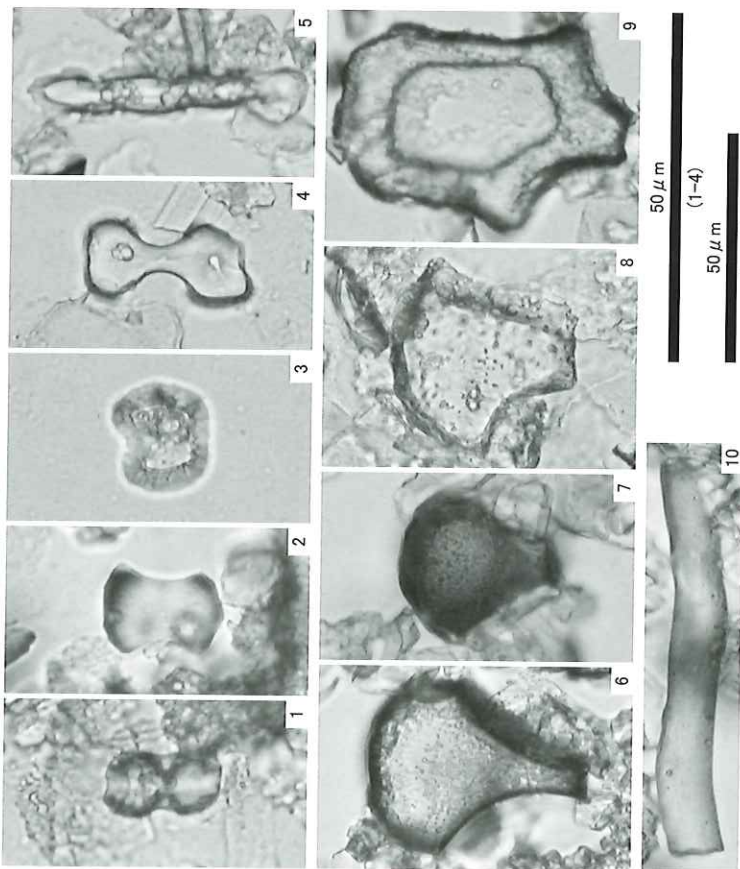


图版2 花粉化石



1. モミ属(杭列5-1断ち割り; No.3)
2. ソガ属(杭列5-1断ち割り; No.3)
3. コナラ属コナラ亞属(杭列5-1断ち割り; No.3)
4. マツ属(杭列5-1断ち割り; No.3)
5. イネ属(杭列5-1断ち割り; No.3)
6. コナラ属アガガシ亜属(杭列5-1断ち割り; No.3)
7. ブドウ属流路 最下部; No.3)
8. ガマ属(杭列5-1断ち割り; No.3)
9. サナエタデ節ーウナギソカミ節(杭列5-1断ち割り; No.3)
10. イネ科(杭列5-1断ち割り; No.3)
11. カヤシリグサ科(杭列5-1断ち割り; No.3)
12. ヨモギ属(杭列5-1断ち割り; No.3)

図版3 植物珪酸体

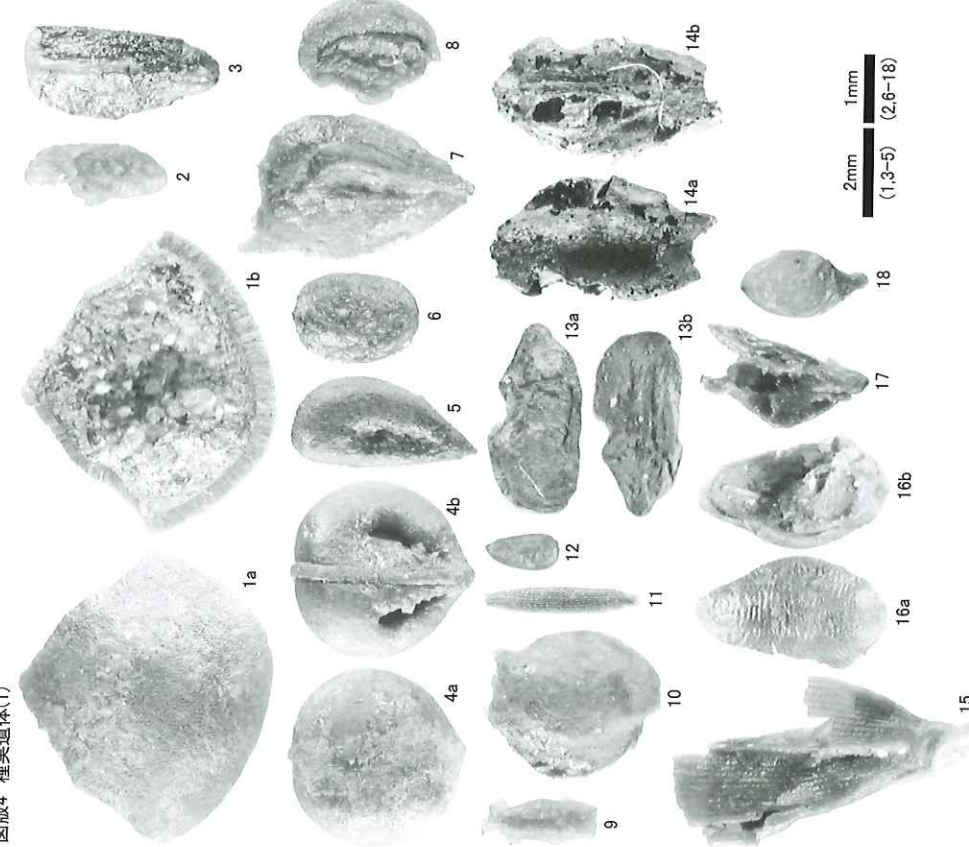


1. イネ属 短細胞珪酸体(杭列5-1断ち割り;No.1)
2. タケ亜科短細胞珪酸体(杭列5-1断ち割り;No.1)
3. ヨシ属短細胞珪酸体(杭列5-1断ち割り;No.3)
4. ススキ属短細胞珪酸体(杭列5-1断ち割り;No.1)
5. イチゴンナキ亜科短細胞珪酸体(杭列5-1断ち割り;No.1)
6. イネ属機動細胞珪酸体(杭列5-1断ち割り;No.1)
7. イネ属機動細胞珪酸体(杭列5-1断ち割り;No.5)
8. タケ亜科機動細胞珪酸体(杭木起源珪酸体)(杭列5-1断ち割り;No.1)
9. ヨシ属機動細胞珪酸体(杭列5-1断ち割り;No.3)
10. イヌノキ属(樹木起源珪酸体)(杭列5-1断ち割り;No.5)

15

1. ムクノキ 核(流路 最下部;No.3)
2. キイチゴ属 核(流路 上部;No.1)
3. ノイバラ節 果実流路 最下部;No.4)
4. ノドウ属 種子(流路 中部;No.2)
5. ブドウ属 種子(流路 上部;No.1)
6. ムラサキシキブ属 核(流路 上部;No.6)
7. オモダカ属 果実(流路 中部;No.3)
8. ミズオオバコ? 種子?(流路 上部;No.2)
9. ヒルムシロ属 果実(流路 最下部;No.3)
10. コナギ近似種 種子(流路 上部;No.1)
11. ホツヌモ 種子(流路 最下部;No.3)
12. コノクサ 種子(杭列5-1断ち割り;No.3)
13. イボクサ 種子(杭列5-1断ち割り;No.6)
14. オオムギ-コムギ 胚乳(流路 最下部;No.6)
15. イネ 頸(基部)杭列5-1断ち割り;No.6)
16. エノコログサ属 果実(流路 最下部;No.3)
17. イネ科 果実(流路 最下部;No.3)
18. イネ科 果実(流路 最下部;No.3)

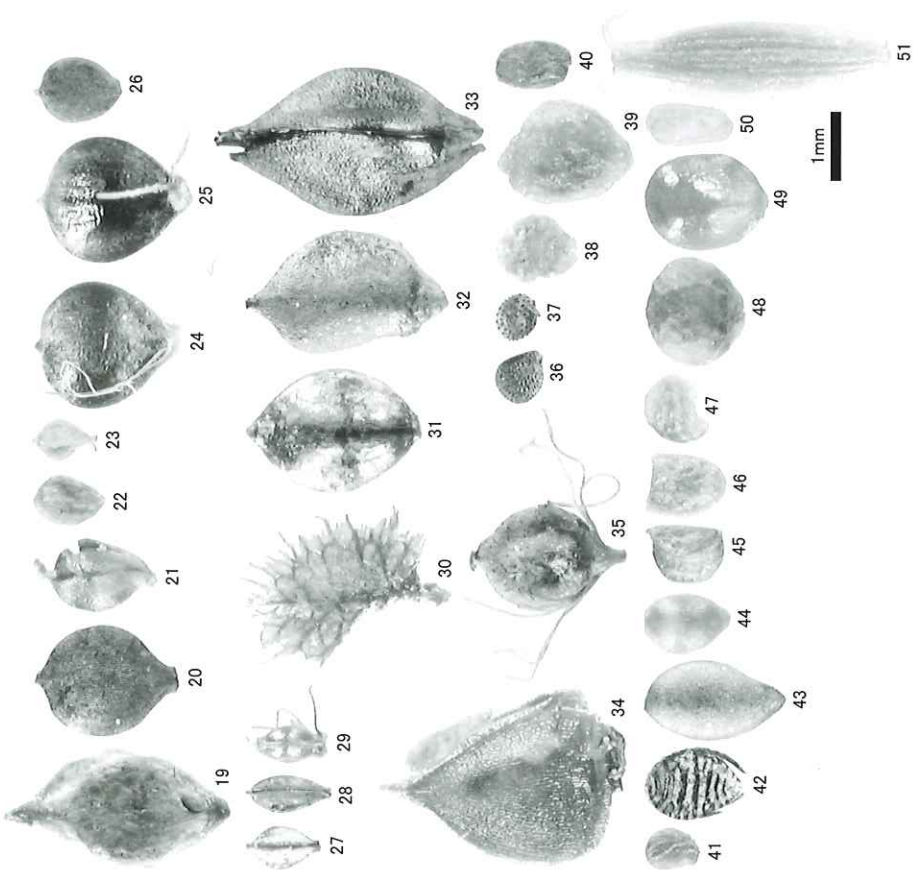
図版4 種実遺体(1)



1. イチゴ属 種子(流路 上部;No.1)
2. キイチゴ属 種子(流路 中部;No.2)
3. ノドウ属 種子(流路 上部;No.1)
4. ムラサキシキブ属 核(流路 上部;No.6)
5. オモダカ属 果実(杭列5-1断ち割り;No.6)
6. ヒルムシロ属 果実(流路 上部;No.3)
7. コナギ近似種 種子(流路 上部;No.1)
8. オオムギ-コムギ 胚乳(流路 最下部;No.3)
9. エノコログサ属 果実(流路 最下部;No.3)
10. イネ科 果実(流路 最下部;No.3)

14

図版5 種実遺体(2)



19. アゼスグ類 果胞・果実(杭列5-1断ち割り;No.6)
 21. スゲ属 果実流路 最下部;No.4)
 23. アゼテンシキ類 果実流路 最下部;No.4)
 25. イヌホタルイ近似種 果実流路 最下部;No.4)
 27. カヤツリグサ属A 果実(流路 最下部;No.3)
 29. カヤツリグサ科A 果実(流路 中部;No.2)
 31. ミズヒキ属 果実流路 最下部;No.3)
 33. ポンクトクダ近似種 果実流路 最下部;No.3)
 35. サナエタニ近似種 果実(流路 最下部;No.4)
 37. ナデシコ科 種子(流路 中部;No.2)
 39. キンポウゲ属 果実流路 最下部;No.4)
 41. キジムシロ類 梗(流路 中部;No.2)
 43. エノキグサ 種子(流路 最下部;No.4)
 45. チドメグサ属 果実(流路 上部;No.1)
 47. イヌクワジュユ属 果実(流路 最下部;No.3)
 49. シン科 果実(流路 最下部;No.3)
 51. コオニタカラコ 果実流路 最下部;No.3)
20. アゼスグ類 果胞・果実(杭列5-1断ち割り;No.6)
 22. テンツキ類 果実(流路 中部;No.2)
 24. ホタルイ近似種 果実(流路 最下部;No.3)
 26. ヒメクグ類 果実(流路 最下部;No.3)
 28. ハヤツリグサ属B 果実(流路 上部;No.1)
 30. ギンギシ属 花被(流路 最下部;No.3)
 32. ヤナギナタニ近似種 果実(杭列5-1断ち割り;No.6)
 34. ミソンバ 果実(杭列5-1断ち割り;No.6)
 36. ベリリユ 種子(流路 中部;No.2)
 38. タガラン 果実(種子(杭列5-1断ち割り;No.6)
 40. アブナ科 種子(流路 中部;No.2)
 42. タバミ属 種子(流路 最下部;No.3)
 44. スミレ属 種子(流路 最下部;No.4)
 46. キランソウ属 果実(流路 最下部;No.4)
 48. イヌクワジュユ属 黒果(流路 最下部;No.3)
 50. シロネ属 果実(杭列5-1断ち割り;No.6)

第3節 玉名新戸舎地点出土杭列の年代と樹種

パリノ・サーヴェイ株式会社

はじめに

玉名市新戸舎地点(玉名市岩崎所在)は、菊池川の支流である繫根木川左岸冲積地に立地し、中世と考えられる流路・水田や杭列などが検出されている。

本報告では、水田 2 に伴う杭列を対象として、年代確認のための放射性炭素年代測定と、木材利用を検討するための樹種同定を実施する。

1. 試料

試料は、水田 2 に伴う杭列を構成する杭材 19 点である。内訳は、杭 1 から 3 点(№1.6.10)、杭 2 から 4 点(№4.10.14.18)、杭 3 から 5 点(№7.11.14.19.27)、杭 5 から 2 点(№4.23)、杭 4.杭 6.杭 7.杭 8.杭 9 から各 1 点である。

2. 分析方法

(1) 放射性炭素年代測定

各資料の木取りを確認した上で、実測図に書かれていない場所から、現存する中で最も外側の年輪を含む 3 ～5 年分を採取して試料とする。試料に土壤や根等の目的物と異なる年代を持つものが付着している場合、これらをピッセツト、超音波洗浄等により物理的に除去する。その後 HCl による炭酸塩等酸可溶成分の除去、NaOH による腐植酸等アルカリ可溶成分の除去、HCl によりアルカリ処理時に生成した炭酸塩等酸可溶成分を除去する酸・アルカリ・酸処理)。試料をバイコール管に入れ、1g の酸化銅(II)と銀箔(硫化物を除去するために)を加えて、管内を真空中にして封じきり、500°C(30 分)850°C(2 時間)で加熱する。液体窒素と液体窒素十タノールの温度差を利用して、真空ラインにて CO₂ を精製する。真空ラインにてバイコール管に精製した CO₂ と鉄・水素を投入し封じ切る。鉄のあるバイコール管底部分のみを 650°C で 10 時間に上加熱し、グラファイトを生成する。化処理後のグラファイト-鉄粉混合試料を内径 1mm の孔にプレスして、タンデム加速器のイオン源に装着し、測定する。

測定機器は、3MV 小型タンデム加速器をベースとした ¹⁴C-AMS 専用装置(NEC Pelletron 9SPH-2)を使用する。AMS 測定時に、標準試料である米国国立標準局(NIST)から提供されるシエウ酸(HO-X-II)ヒックグラウンド試料の測定も行う。また、測定中同時に ¹³C/¹²C の測定も行うため、この値を用いて δ-¹³C を算出する。放射性炭素の半減期は LIBBY の半減期 5,568 年を使用する。また、測定年代は 1950 年を基点とした年代(BP)であり、誤差は標準偏差(One Sigma:68%)に相当する年代である。なお、暦年較正は、RADIOCARBON CALIBRATION PROGRAM CALIB REV6.0.0(Copyright 1986–2010 M. Stuiver and P.J. Reimer)を用い、誤差として標準偏差(One Sigma)を用いる。

暦年較正とは、大気中の ¹⁴C 濃度が一定で半減期が 5,568 年として算出された年代値に対し、過去の宇宙線強度や地球磁場の変動による大気中の ¹⁴C 濃度の変動、及び半減期の違い(¹⁴C の半減期 5,730 ± 40 年)を校正することである。暦年較正については、本来 10 年単位で表すのが通例であるが、将来的に暦年較正プログラムや暦年較正曲線の改正があつた場合の再計算や再検討に対応するため、1 年単位で表している。

暦年較正結果は、測定誤差 σ、2σ(σ は統計的に真の値が 95% の確率で存在する範囲)双方の値を示す。また、表中の相対比とは、σ、2σ の範囲をそれぞれ 1 とした場合、その範囲内で真の値が存在する確率を相対的に示したものである。

(2) 樹種同定

上記年代測定用に採取した木片から、剃刀を用いて木口(横断面)・板目(接線断面)・板目(接線断面)の 3 断面の徒手切片を採取する。切片をガム・クロラール(泡水クロラール、アラビアゴム粉末、グリセリン、蒸留水の混合液)で封入し、プレパラートとする。プレパラートは、生物顯微鏡で木材組織の種類や配列を観察し、その特徴を現生標本および独立行政法人森林総合研究所の日本産木材識別データベースと比較して種類分類群を同定する。

なお、木材組織の名称や特徴は、島地・伊東(1982)や Wheeler 他(1998)を参考にする。また、日本産木材の組織配列は、林(1991)や伊東(1995,1996,1997,1998,1999)を参考にする。

3. 結果

(1) 放射性炭素年代測定

杭材の同位体効果による補正を行った測定結果(補正年代)および暦年較正結果を表 1、図 1 に示す。補正年代は、杭 1 の 3 点が 610 ± 20BP ~ 640 ± 20BP、杭 2 の 4 点が 620 ± 20BP ~ 750 ± 20BP、杭 3 の 5 点が 560 ± 20BP ~ 640 ± 20BP、杭 4 が 580 ± 30BP、杭 5 の 2 点が 560 ± 20BP と 570 ± 20BP、杭 6 が 560 ± 20BP、杭 7 が 610 ± 20BP、杭 8 が 620 ± 30BP、杭 9 が 630 ± 30BP である。また、補正年代に基づく暦年較正結果(2σ)には、杭 1 が calAD1.226 - 1.398、杭 3 が calAD1.235-1.422、杭 4 が calAD1.303-1.413、杭 5 が calAD1.309-1.421、杭 6 が calAD1.313-1.422、杭 7 が calAD1.297-1.403、杭 8 が calAD1.293-1.398、杭 9 が calAD1.289-1.397 である。

(2) 樹種同定

樹種同定結果を表 2 に示す。杭材は、針葉樹 1 分類群(マツ)属複管束亞属、広葉樹 10 分類群(コナラ属アカガシ亜属・スタジイ・イヌビワ属・タブノキ属・シバキ属・ユズリハ属・カキノキ属・ネジキ・シャシャンボ・ハイノキ属ハイノキ節)に同定された。各分類群の解剖的特徴等を記す。

・マツ属複管束亞属(*Pinus* subgen. *Diploxyloides*) マツ科
軸方向組織は仮道管と垂直樹脂道で構成される。仮道管の早材部から晚材部への移行は急～や緩やかで、晚材部の幅は広い。垂直樹脂道は晚材部に認められる。放射仮道管内壁には鋸歯状の突起が認められる。放射組織は単列、1-10 細胞高。

・コナラ属アカガシ亜属(*Quercus* subgen. *Cyclobalanopsis*) ナラ科

放射仮材で、道管壁は中庸～厚く、横断面では梢円形、單独で放射方向に配列する。道管は单穿孔を有し、壁孔は交互状に配列する。放射組織は同性、單列、1-15 細胞高のものと複合放射組織がある。

・スタジイ(*Castanopsis cuspidata* var. *sieboldii*(Makino) Nakai) ナナ科シイ属

環状性放射孔材で、道管は接線方向に 1-2 個幅で放射方向に配列する。道管は单穿孔を有し、壁孔は交互状に配列する。放射組織は同性、單列、孔圈外で急激に径を減じたのち、漸減しながら火炎状に配列する。孔圈部は 3-4 列、孔圈外で急激に細胞高。

・イヌビワ属(*Fagus*) クワ科

放射孔材で、道管壁は厚く、横断面では梢円形、單独または 2-4 個が放射方向や塊状に複合して散射する。道管は单穿孔を有し、壁孔は交互状に配列する。放射組織は異性、1-3 細胞幅、1-20 細胞高。柔組織は独立帶状で目立つ。

表1. 放射性炭素年齢測定結果(1)

表1. 放射性炭素年齢測定結果(2)

地区	杭列No.	種類	處理方法	測定年代 (前年較正用) BP	$\delta^{13}C$ (前年較正用) (‰)	前年較正結果		前年較正結果		Code No.			
						校列No.	遺物No.	種類	方法				
D区 水田2 No.1	生木	AAA	610±20	-25.24 (606±25)	610±20 (606±25)	cal AD 1,305 - cal AD 1,329	cal BP	615 -	621 - 0.407	cal AD 1,344 - cal AD 1,355	cal BP	625 -	
	水田2 No.6	生木	AAA	650±20	0	cal AD 1,340 - cal AD 1,364	cal BP	610 -	586 - 0.409	cal AD 1,393 - cal AD 1,412	cal BP	538 - 0.502	
D区 杭1 水田2	生木	AAA	650±20	2.0	cal AD 1,384 - cal AD 1,396	cal BP	566 -	554 - 0.184	cal AD 1,313 - cal AD 1,357	cal BP	539 - 0.526		
	水田2 No.10	生木	AAA	670±30	28.02 (628±25)	cal AD 1,297 - cal AD 1,373	cal BP	653 -	577 - 0.769	cal AD 1,387 - cal AD 1,422	cal BP	563 -	
D区 杭1 水田2	生木	AAA	650±20	0.49	cal AD 1,307 - cal AD 1,404	cal BP	573 -	546 - 0.231	cal AD 1,341 - cal AD 1,364	cal BP	616 -		
	水田2 No.14	生木	AAA	670±30	-27.12 (639±24)	cal AD 1,318 - cal AD 1,387	cal BP	653 -	632 - 0.390	cal AD 1,384 - cal AD 1,395	cal BP	569 -	
D区 杭2 水田2 No.4	生木	AAA	730±20	-26.73 (718±24)	cal AD 1,325 - cal AD 1,390	cal BP	598 -	577 - 0.304	cal AD 1,377 - cal AD 1,405	cal BP	577 - 0.775		
	水田2 No.10	生木	AAA	660±20	0.51	cal AD 1,289 - cal AD 1,359	cal BP	661 -	620 - 0.402	cal AD 1,377 - cal AD 1,405	cal BP	573 -	
D区 杭2 水田2 No.14	生木	AAA	670±20	-27.10 (620±24)	cal AD 1,294 - cal AD 1,312	cal BP	656 -	638 - 0.371	cal AD 1,377 - cal AD 1,386	cal BP	627 - 0.405		
	水田2 No.18	生木	AAA	680±20	0.57	cal AD 1,358 - cal AD 1,387	cal BP	592 -	583 - 0.239	cal AD 1,380 - cal AD 1,392	cal BP	581 - 0.393	
D区 杭2 水田2	生木	AAA	660±20	-27.10 (620±24)	cal AD 1,325 - cal AD 1,394	cal BP	665 -	625 - 0.391	cal AD 1,393 - cal AD 1,423	cal BP	558 - 0.202		
	水田2 No.14	生木	AAA	810±20	0.38	cal AD 1,260 - cal AD 1,280	cal BP	606 -	556 - 0.583	cal AD 1,356 - cal AD 1,398	cal BP	614 -	
D区 杭2 水田2 No.18	生木	AAA	730±20	-28.33 (680±24)	cal AD 1,226 - cal AD 1,284	cal BP	690 -	670 - 1.000	cal AD 1,297 - cal AD 1,352	cal BP	632 - 0.390		
	水田2 No.10	生木	AAA	670±20	0.57	cal AD 1,299 - cal AD 1,322	cal BP	651 -	666 - 1.000	cal AD 1,377 - cal AD 1,390	cal BP	580 -	
D区 杭2 水田2	生木	AAA	660±20	-27.10 (620±24)	cal AD 1,347 - cal AD 1,369	cal BP	603 -	581 - 0.386	cal AD 1,389 - cal AD 1,421	cal BP	573 -		
	水田2 No.14	生木	AAA	680±20	0.57	cal AD 1,380 - cal AD 1,392	cal BP	570 -	558 - 0.204	cal AD 1,335 - cal AD 1,397	cal BP	612 -	
D区 杭2 水田2 No.14	生木	AAA	810±20	-29.09 (738±24)	cal AD 1,293 - cal AD 1,333	cal BP	686 -	657 - 0.392	1) 处理方法のAAAは、処理率一アルカリ処理一酸化处理一燃焼處理一アルカリ処理一酸化處理を示す。 2) 年代の算出には、Libbyの半減期5568年を使用した。 3) 1950年代には、1950年代を含むて何年前であるかを示す。	cal AD 1,293 - cal AD 1,333	cal BP	617 -	
	水田2 No.18	生木	AAA	730±20	0.58	cal AD 1,264 - cal AD 1,284	cal BP	686 -	657 - 0.392	3) 1950年代には、測定基準 $\delta^{13}C = -68.8\text{‰}$ が入った範囲を、年代軸に換算した。			
D区 杭2 水田2 No.14	生木	AAA	810±20	-29.09 (738±24)	cal AD 1,228 - cal AD 1,233	cal BP	722 -	717 - 0.114	4) 表記した誤差は、測定基準 $\delta^{13}C = -68.8\text{‰}$ が入った範囲には、1950年代と表示している。	cal AD 1,228 - cal AD 1,233	cal BP	699 -	
	水田2 No.18	生木	AAA	730±20	0.58	cal AD 1,231 - cal AD 1,250	cal BP	713 -	690 - 0.385	5) 1950年代の計算には、1950年代と表示されるが、前年較正用年代として示した。プログラムが改正された場合の計算や既存の年代を示す。			
D区 杭2 水田2 No.14	生木	AAA	680±20	-28.33 (678±24)	cal AD 1,281 - cal AD 1,299	cal BP	669 -	651 - 0.699	6) 1950年代には、1950年代を含めていいやすいよう	cal AD 1,281 - cal AD 1,299	cal BP	570 -	
	水田2 No.18	生木	AAA	730±20	0.58	cal AD 1,260 - cal AD 1,300	cal BP	580 -	570 - 0.301	7) 年代の算出には、前年較正用年代は1桁目を丸めていいない。	cal AD 1,260 - cal AD 1,300	cal BP	573 -
D区 杭2 水田2 No.14	生木	AAA	680±20	-28.33 (678±24)	cal AD 1,275 - cal AD 1,311	cal BP	675 -	639 - 0.649	8) 算出計のこの方が正確な値は0.88%、2σは0.45%である。	cal AD 1,275 - cal AD 1,311	cal BP	573 -	
	水田2 No.18	生木	AAA	730±20	0.58	cal AD 1,295 - cal AD 1,337	cal BP	591 -	563 - 0.351	9) 相対比は、 $\sigma = 2\sigma$ のそれで1とした場合、確率的に真の値が存在する比率を相対的に示したものである。	cal AD 1,295 - cal AD 1,337	cal BP	573 -
D区 杭2 水田2 No.7	生木	AAA	720±20	-29.74	640±20 (637±23)	cal AD 1,358 - cal AD 1,386	cal BP	592 -	563 - 0.361	1) 处理方法のAAAは、	cal AD 1,358 - cal AD 1,386	cal BP	593 - 0.361
	水田2 No.7	生木	AAA	720±20	0.22	cal AD 1,287 - cal AD 1,325	cal BP	663 -	625 - 0.411	2) 年代の算出には、Libbyの半減期5568年を使用した。	cal AD 1,287 - cal AD 1,325	cal BP	625 - 0.411
D区 杭3 水田2 No.11	生木	AAA	630±20	-28.92 (653±24)	cal AD 1,344 - cal AD 1,384	cal BP	606 -	556 - 0.589	3) 1950年代には、測定基準 $\delta^{13}C = -68.8\text{‰}$ が入った範囲には、1950年代と表示している。	cal AD 1,344 - cal AD 1,384	cal BP	593 - 0.589	
	水田2 No.14	生木	AAA	630±20	0.53	cal AD 1,324 - cal AD 1,365	cal BP	626 -	565 - 0.499	4) 表記した誤差は、測定基準 $\delta^{13}C = -68.8\text{‰}$ が入った範囲には、1950年代と表示している。	cal AD 1,324 - cal AD 1,365	cal BP	565 - 0.499
D区 杭3 水田2 No.11	生木	AAA	630±20	-28.92 (653±24)	cal AD 1,393 - cal AD 1,412	cal BP	557 -	538 - 0.501	5) 1950年代には、1950年代と表示している。	cal AD 1,393 - cal AD 1,412	cal BP	538 - 0.501	
	水田2 No.14	生木	AAA	630±20	0.53	cal AD 1,312 - cal AD 1,358	cal BP	638 -	592 - 0.529	6) 1950年代には、1950年代と表示している。	cal AD 1,312 - cal AD 1,358	cal BP	592 - 0.529
D区 杭3 水田2 No.19	生木	AAA	680±20	-27.10 (642±23)	cal AD 1,287 - cal AD 1,322	cal BP	563 -	528 - 0.374	7) 年代の算出には、前年較正用年代は1桁目を丸めていいない。	cal AD 1,287 - cal AD 1,322	cal BP	528 - 0.374	
	水田2 No.19	生木	AAA	690±20	0.51	cal AD 1,287 - cal AD 1,311	cal BP	657 -	639 - 0.387	8) 算出計のこの方が正確な値は0.88%、2σは0.45%である。	cal AD 1,287 - cal AD 1,311	cal BP	639 - 0.387
D区 杭3 水田2 No.14	生木	AAA	680±20	-27.10 (642±23)	cal AD 1,344 - cal AD 1,387	cal BP	591 -	563 - 0.613	9) 相対比は、 $\sigma = 2\sigma$ のそれで1とした場合、確率的に真の値が存在する比率を相対的に示したものである。	cal AD 1,344 - cal AD 1,387	cal BP	563 - 0.613	
	水田2 No.14	生木	AAA	680±20	0.46	cal AD 1,324 - cal AD 1,365	cal BP	605 -	563 - 0.501	1) 处理方法のAAAは、	cal AD 1,324 - cal AD 1,365	cal BP	563 - 0.501
D区 杭3 水田2 No.19	生木	AAA	680±20	-28.88 (651±25)	cal AD 1,298 - cal AD 1,319	cal BP	652 -	631 - 0.400	2) 年代の算出には、前年較正用年代は1桁目を丸めていいない。	cal AD 1,298 - cal AD 1,319	cal BP	631 - 0.400	
	水田2 No.19	生木	AAA	690±20	0.51	cal AD 1,303 - cal AD 1,322	cal BP	599 -	578 - 0.374	3) 1950年代には、1950年代と表示している。	cal AD 1,303 - cal AD 1,322	cal BP	578 - 0.374
D区 杭3 水田2 No.27	生木	AAA	710±20	-29.53 (651±25)	cal AD 1,328 - cal AD 1,359	cal BP	572 -	560 - 0.226	4) 表記した誤差は、測定基準 $\delta^{13}C = -68.8\text{‰}$ が入った範囲には、1950年代と表示している。	cal AD 1,328 - cal AD 1,359	cal BP	560 - 0.226	
	水田2 No.27	生木	AAA	710±20	0.64	cal AD 1,340 - cal AD 1,361	cal BP	612 -	553 - 0.600	5) 1950年代には、1950年代と表示している。	cal AD 1,340 - cal AD 1,361	cal BP	553 - 0.600
D区 杭3 水田2 No.27	生木	AAA	710±20	-29.53 (651±25)	cal AD 1,328 - cal AD 1,359	cal BP	573 -	561 - 0.612	6) 1950年代には、1950年代と表示している。	cal AD 1,328 - cal AD 1,359	cal BP	561 - 0.612	
	水田2 No.27	生木	AAA	710±20	0.64	cal AD 1,340 - cal AD 1,361	cal BP	612 -	553 - 0.600	7) 年代の算出には、前年較正用年代は1桁目を丸めていいない。	cal AD 1,340 - cal AD 1,361	cal BP	553 - 0.600
D区 杭3 水田2 No.27	生木	AAA	710±20	-29.53 (651±25)	cal AD 1,328 - cal AD 1,359	cal BP	573 -	561 - 0.612	8) 算出計のこの方が正確な値は0.88%、2σは0.45%である。	cal AD 1,328 - cal AD 1,359	cal BP	561 - 0.612	
	水田2 No.27	生木	AAA	710±20	0.64	cal AD 1,340 - cal AD 1,361	cal BP	612 -	553 - 0.600	9) 相対比は、 $\sigma = 2\sigma$ のそれで1とした場合、確率的に真の値が存在する比率を相対的に示したものである。	cal AD 1,340 - cal AD 1,361	cal BP	553 - 0.600
D区 杭3 水田2 No.27	生木	AAA	710±20	-29.53 (651±25)	cal AD 1,328 - cal AD 1,359	cal BP	573 -	561 - 0.612	1) 处理方法のAAAは、	cal AD 1,328 - cal AD 1,359	cal BP	561 - 0.612	
	水田2 No.27	生木	AAA	710±20	0.64	cal AD 1,340 - cal AD 1,361	cal BP	612 -	553 - 0.600	2) 年代の算出には、前年較正用年代は1桁目を丸めていいない。	cal AD 1,340 - cal AD 1,361	cal BP	553 - 0.600
D区 杭3 水田2 No.27	生木	AAA	710±20	-29.53 (651±25)	cal AD 1,328 - cal AD 1,359	cal BP	573 -	561 - 0.612	3) 1950年代には、1950年代と表示している。	cal AD 1,328 - cal AD 1,359	cal BP	561 - 0.612	
	水田2 No.27	生木	AAA	710±20	0.64	cal AD 1,340 - cal AD 1,361	cal BP	612 -	553 - 0.600	4) 表記した誤差は、測定基準 $\delta^{13}C = -68.8\text{‰}$ が入った範囲には、1950年代と表示している。	cal AD 1,340 - cal AD 1,361	cal BP	553 - 0.600
D区 杭3 水田2 No.27	生木	AAA	710±20	-29.53 (651±25)	cal AD 1,328 - cal AD 1,359	cal BP	573 -	561 - 0.612	5) 1950年代には、1950年代と表示している。	cal AD 1,328 - cal AD 1,359	cal BP	561 - 0.612	
	水田2 No.27	生木	AAA	710±20	0.64	cal AD 1,340 - cal AD 1,361	cal BP	612 -	553 - 0.600	6) 1950年代には、1950年代と表示している。	cal AD 1,340 - cal AD 1,361	cal BP	553 - 0.600
D区 杭3 水田2 No.27	生木	AAA	710±20	-29.53 (651±25)	cal AD 1,328 - cal AD 1,359	cal BP	573 -	561 - 0.612	7) 年代の算出には、前年較正用年代は1桁目を丸めていいない。	cal AD 1,328 - cal AD 1,359	cal BP	561 - 0.612	
	水田2 No.27	生木	AAA	710±20	0.64	cal AD 1,340 - cal AD 1,361	cal BP	612 -	553 - 0.600	8) 算出計のこの方が正確な値は0.88%、2σは0.45%である。	cal AD 1,340 - cal AD 1,361	cal BP	553 - 0.600
D区 杭3 水田2 No.27	生木	AAA	710±20	-29.53 (651±25)	cal AD 1,328 - cal AD 1,359	cal BP	573 -	561 - 0.612	9) 相対比は、 $\sigma = 2\sigma$ のそれで1とした場合、確率的に真の値が存在する比率を相対的に示したものである。	cal AD 1,328 - cal AD 1,359	cal BP	561 - 0.612	
	水田2 No.27	生木	AAA	710±20	0.64	cal AD 1,340 - cal AD 1,361	cal BP	612 -	553 - 0.600	1) 处理方法のAAAは、	cal AD 1,340 - cal AD 1,361	cal BP	553 - 0.600
D区 杭3 水田2 No.27	生木	AAA	710±20	-29.53 (651±25)	cal AD 1,328 - cal AD 1,359	cal BP	573 -	561 - 0.612	2) 年代の算出には、前年較正用年代は1桁目を丸めていいない。	cal AD 1,328 - cal AD 1,359	cal BP	561 - 0.612	
	水田2 No.27	生木	AAA	710±20	0.64	cal AD 1,340 - cal AD 1,361	cal BP	612 -	553 - 0.600	3) 1950年代には、1950年代と表示している。	cal AD 1,340 - cal AD 1,361	cal BP	553 - 0.600
D区 杭3 水田2 No.27	生木	AAA	710±20	-29.53 (651±25)	cal AD 1,328 - cal AD 1,359	cal BP	573 -	561 - 0.612	4) 表記した誤差は、測定基準 $\delta^{13}C = -68.8\text{‰}$ が入った範囲には、1950年代と表示している。	cal AD 1,328 - cal AD			

輪界に向かつて径を漸減させる。道管は階段穿孔を有し、壁孔は対列～階段状に配列する。放射組織は異性、1-3 細胞幅、1-20 細胞高。

・ユズリハ属 (*Daphniphyllum*) ユズリハ科

散孔材で、道管壁は薄く、横断面では多角形、単独および 2-3 個が複合して散在する。道管の分布密度は比較的高い。道管は階段穿孔を有し、壁孔は対列～階段状に配列する。放射組織は異性、1-2 細胞幅、1-30 細胞高で、時に上下に連結する。

・カキノキ属 (*Diospyros*) カキノキ科

散孔材で、道管壁は厚く、横断面では扁円形、単独または 2-4 個が時に年輪界をはさんで複合する。道管は単穿孔を有し、壁孔は対列状に配列する。放射組織は異性、1-3 細胞幅、10-20 細胞幅、1-30 細胞高で、時に上下に連結する。

・ネジキ (*Lyonia ovalifolia* (Wall.) Drude Subsp. *neziki* Hara) ツツジ科ネジキ属

散孔材で、道管壁は中庸、横断面では角張った円形～多角形、ほぼ単独であるが 2-3 個が複合することもある。道管は階段穿孔を有する。放射組織は異性、1-3 細胞幅、1-30 細胞高。

・シャシャンボ (*Vaccinium bracteatum* Thunb.) ツツジ科スノキ属

散孔材で、道管はほぼ単独で年輪界一様に分布し、その分布密度は高い。道管は单穿孔および階段穿孔を有し、内壁にはせん肥厚が認められる。放射組織は異性、單列で 8 細胞高前後のものと 5-7 細胞幅、30-60 細胞高のものがある。放射組織には群細胞が認められる。

・ハイノキ属ハイノキ節 (*Symplocos sect. Loddra*) ハイノキ科

散孔材で、道管壁は薄く、横断面では多角形～角張った扁円形、単独または 2-5 個が複合して散財する。道管は階段穿孔を有する。放射組織は異性、1-2 細胞幅、1-20 細胞高で、時に上下に連結する。

4. 考察

(1) 杭材の年代

放射性炭素年代測定を実施した杭材は、芯持丸木が多く、樹皮が残存している資料も認められる。樹皮が残存していない資料についても、樹皮が剥がれただけで、基本的には伐採時の最外年輪が残存していると考えられる。これらの杭材の年代測定結果では、曆年較正結果で 14 世紀代を中心に 13 ～ 15 世紀前半頃の年代が得られており、杭列が中世と考えられていることも調和的である。

杭列ごとにみると、杭 1 は 3 点の資料の測定結果が近似しており、13 世紀末～15 世紀初頭頃の杭列と考えられる。杭 7、杭 8、杭 9(も杭 1)と近い年代を示しており、ほぼ同時期の可能性がある。

杭 4、杭 5、杭 6 は、補正年代では杭 1.7.8.9 よりも若干新しい年代を示しており、曆年較正結果では 14 世紀代から 15 世紀前半の年代が得られている。杭 1.7.8.9 と重複している時期があるが、測定結果などを考慮すれば、若干新しい時期の杭材の可能性がある。

杭 2(は、曆年較正結果で 13 世紀を示す資料(No.4.14)と、それよりも若干新しい 13 世紀末頃～14 世紀代を示す資料(No.10.18)があり、2 時期の杭材が混在している可能性がある。13 世紀代を示す 2 点については、水田 2 に伴う杭材の中で最も古い時期の杭材の可能性がある。13 世紀末～14 世紀代の年代を示す杭材は、杭 1 と同時期の可能性が考えられる。

杭 3 は、13 世紀末～14 世紀代を示す資料が多いが、No.11 については、他よりも新しい 14 世紀代～15 世紀前半を示すことから、他の 4 点よりも新しい時期の杭材の可能性がある。

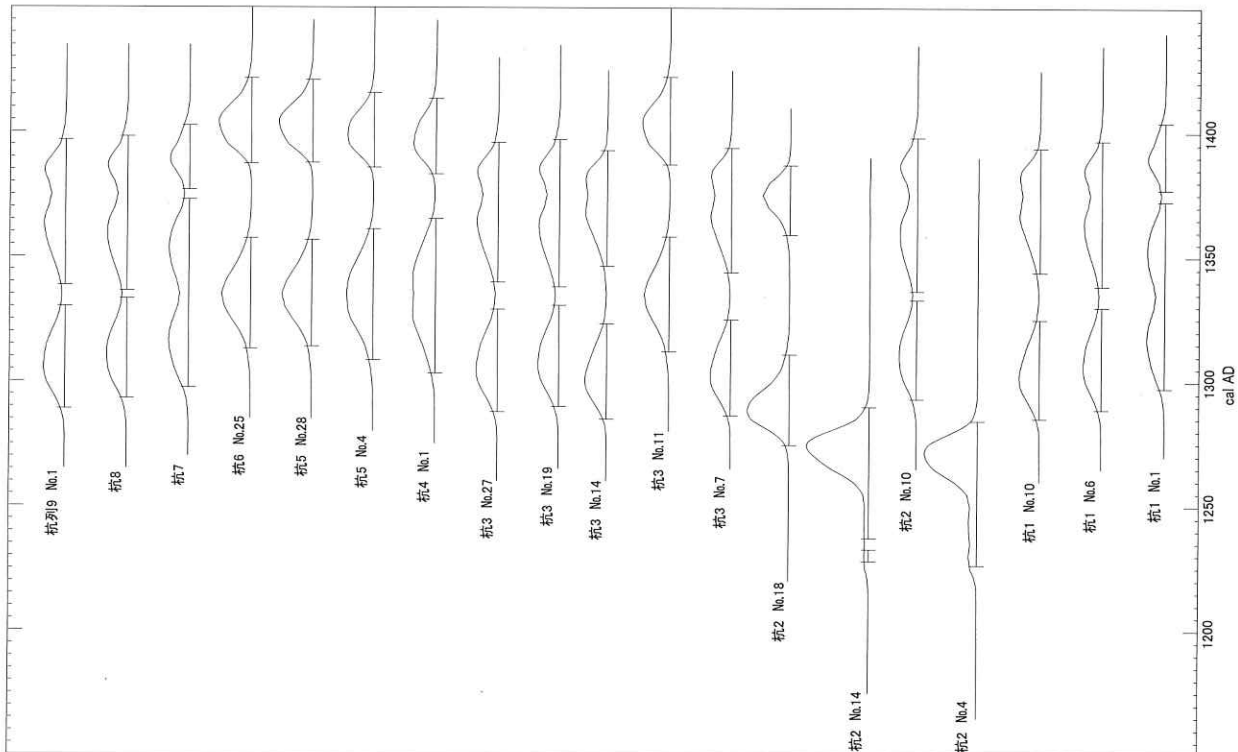


図 1. 杭材の曆年較正結果(2σ)

(2)木材利用・古植生

杭材には、合計 11 種類が認められた。各種類の材質をみると、針葉樹のマツ属複維管束亞属は、堅軟であるが、強度・保存性是比较的高い。アガシ属、スダジイ、ツバキ属、ユズリハ属、ハイノキ属、ネジキ、シヤンボン、カキノキ属は、比較的堅硬で強度が高い。タブノキ属は、強度は中庸であるが、保存性是比较的高い。イヌビワ属は、やや堅軟で強度・保存性は低い。材質的には、比較的強度の高い木材を中心としているが、堅軟な木材も認められ、利用している木材の材質は幅広い。材質の幅が広いこと、多数の樹種が利用されていることを考慮すれば、木材は周辺に生育し、入手が可能な樹木を利用したと考えられる。

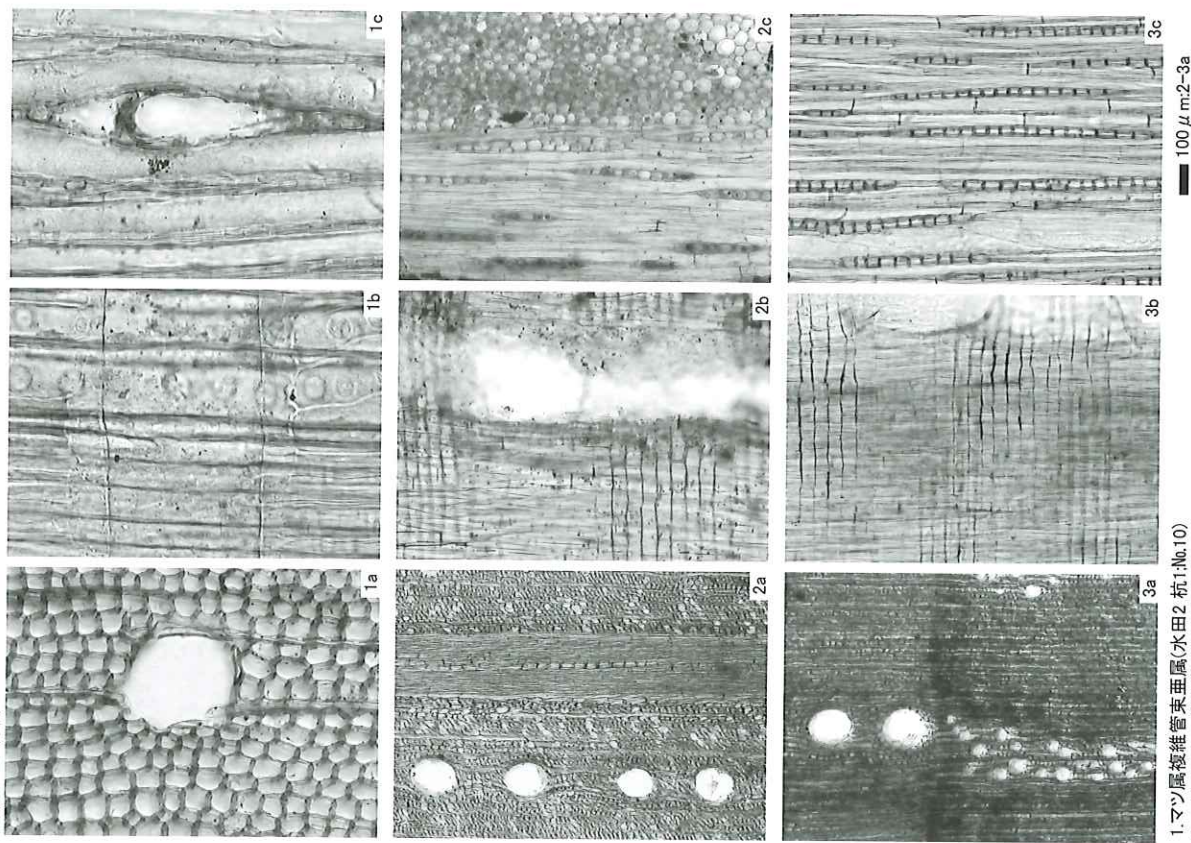
各種類の生態などを考慮すると、山地の尾根筋や斜面上部にかけてスダジイやタブノキ属、ネジキ、シャンボン等、斜面下部から谷筋にかけてアガシ属、カキノキ属等、林縁部や二次林に複維管束亞属やイヌビワ属等が生育していたと考えられる。こうした植生は、現在の木葉山西斜面や小岱山に残る自然植生と似ており(濱田,1993)、同様の植生が中世にも見られたと考えられる。当時は、植林地も今より狭かつたと考えられ、より広範囲でこうした自然植生が見られたと考えられる。

なお、杭材は、年代測定結果から、いくつかの時期に分けられる可能性があるが、年代別に樹種同定結果をみても、時期による種類構成の違いは認められない。杭列別の種類構成については、未同定の杭材も含めて検討する必要がある。

引用文献

- 濱田善利,1993植物「玉名市史 資料篇 3 自然・民俗」玉名市史編集委員会(編),玉名市,86-117.
- 林 昭三,1991日本産木材 脳微鏡写真集,京都大学木質科学研究所.
- 伊東隆夫,1995.日本産広葉樹材の解剖学的記載Ⅰ.木材研究・資料,31,京都大学木質科学研究所,81-181.
- 伊東隆夫,1996.日本産広葉樹材の解剖学的記載Ⅱ.木材研究・資料,32,京都大学木質科学研究所,66-176.
- 伊東隆夫,1997.日本産広葉樹材の解剖学的記載Ⅲ.木材研究・資料,33,京都大学木質科学研究所,83-201.
- 伊東隆夫,1998.日本産広葉樹材の解剖学的記載Ⅳ.木材研究・資料,34,京都大学木質科学研究所,30-166.
- 伊東隆夫,1999.日本産広葉樹材の解剖学的記載Ⅴ.木材研究・資料,35,京都大学木質科学研究所,47-216.
- Richter H.G. Grosser D.Heinz I. and Gasson P.E.(編),2006針葉樹材の識別,IAWAによる光学顕微鏡的特徵リスト.伊東隆夫・藤井智之・佐野雄三・安部 久・内海泰弘(日本語版監修).海青社,70p.[Richter H.G. Grosser D.Heinz I. and Gasson P.E.(2004)IAWA List of Microscopic Features for Softwood Identification].
- 島地 謙・伊東隆夫,1982.図説木材組織,地球社,176p.
- Wheeler E.A.,Bass P. and Gasson P.E.(編),1998.広葉樹材の識別 IAWAによる光学顕微鏡的特徵リスト.伊東隆夫・藤井智之・佐伯 浩(日本語版監修).海青社,122p.[Wheeler E.A.,Bass P. and Gasson P.E.(1989)IAWA List of Microscopic Features for Hardwood Identification].

図版1 木材(1)



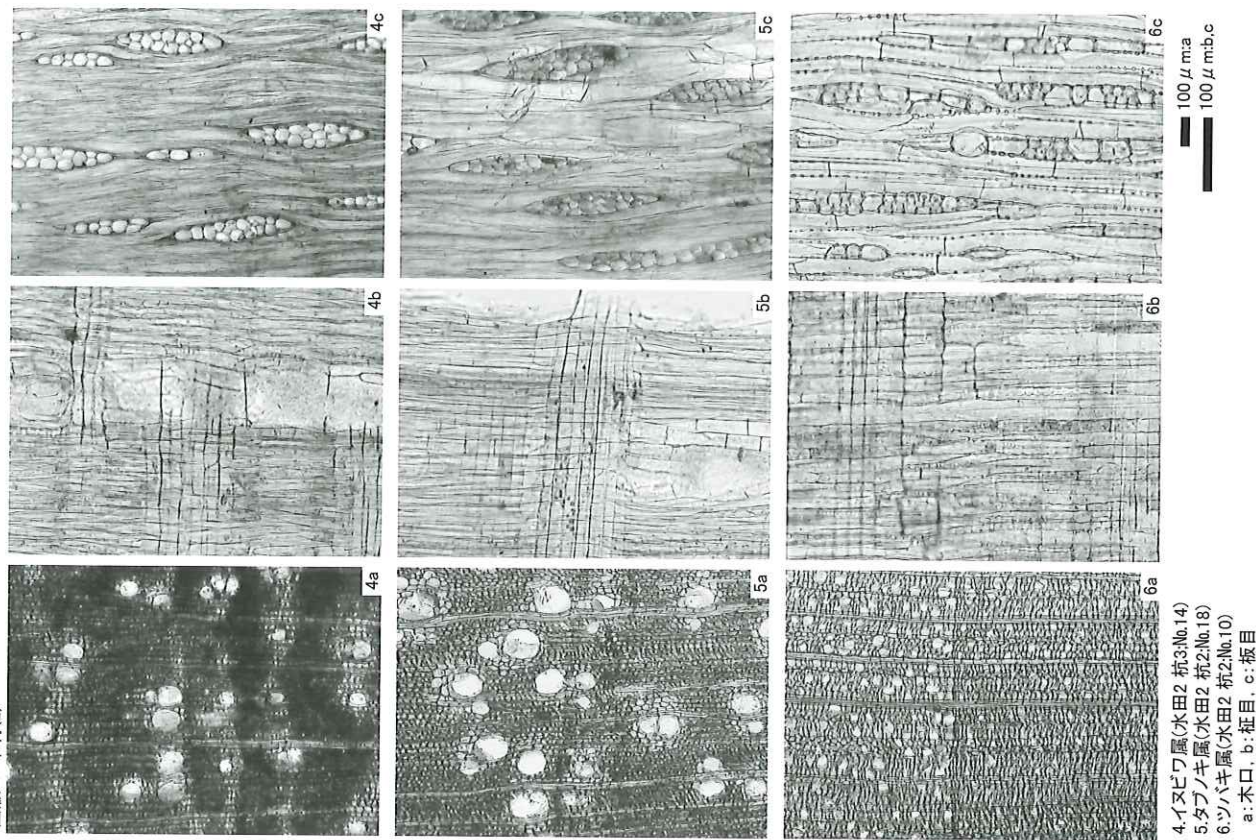
1. マツ属
2. コナラ属
3. タモ属

1. ツバキ属
2. キクイチ属
3. シラカバ属

1. No.10
2. No.11
3. No.12

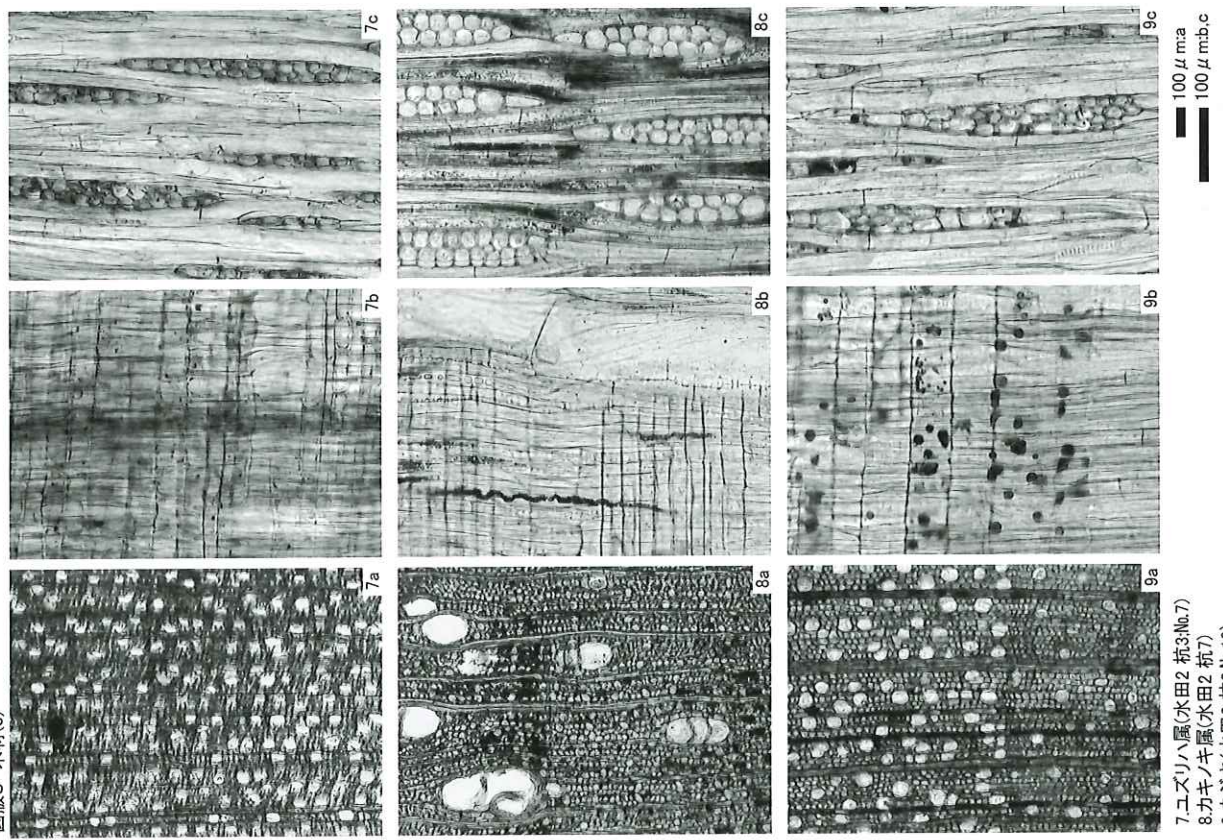
100 μ m
100 μ m
100 μ m

図版2 木材(2)

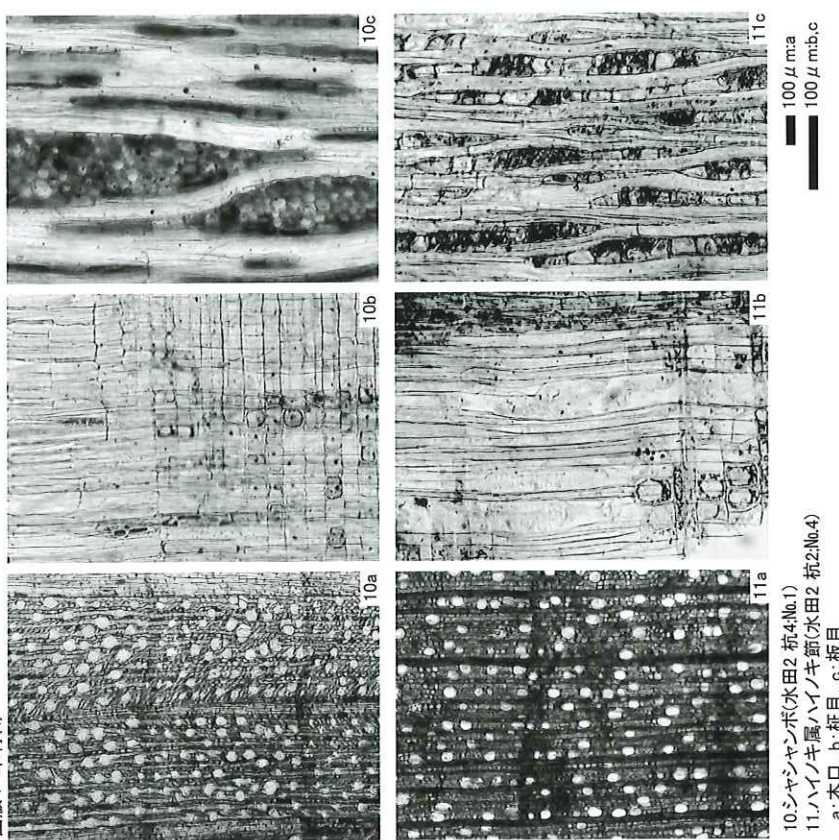


100 μ m
100 μ m
100 μ m

図版3 木材(3)



図版4 木材(4)



第VI章　まとめ

今回発掘調査を行った川原遺跡・紺町遺跡は旧玉名平野条里跡で、試掘調査時に検出された畦畔状遺構を条里跡に伴う遺構と考えていた。しかし、本調査時に検出される遺物の大半が中世のものであったため、中世期の水田関連遺構と判断した。木製品の年代測定結果からも13世紀～14世紀を中心とする水田関連遺構である。

【遺構】

本遺跡では遺構面2層を確認した。主な遺構は水田、畦状遺構、杭列、溝状遺構である。水田1面の水田床面と畦状遺構は標高3m～3.5m内に位置する。調査区の中央部に東西に延びる畦状遺構を中心に東側に南北方向に延びる畦状遺構と北東方向に延びる畦状遺構に仕切られ、4つの水田面が確認された。水田の採水は主に西側から入っている。畦状遺構も同様に西側が若干ではあるが高くなっている、調査地の西側を流れる繁根木川の上流部から水を引いていたと考えられる。

水田2面の水田床面と畦状遺構は標高2.5m～3m内に位置する。調査区内を北東から南西に流れる溝状遺構は2時期あり調査区南西部で広がった溝を杭列を用いて整備している。この溝状遺構から北側の水田は北方向が高く南側に低くなっている。畦状遺構は東側に南北に延びる畦状遺構は一段高く、他の畦状遺構はあまり高低差はないが溝状遺構周辺部のみ高くなる。溝状遺構から南側は北東方向が高くなっている、南側に低くなる。畦状遺構は溝に近いほど高い。治水のため溝状遺構周辺は高くなる。

溝状遺構（流路）は調査区南西部の左岸では、末広がりに成っている溝を杭列を用いて上流部と同じ溝幅になるように造成している。また、杭の抜痕が残っていたことから、杭は再利用されたと考えられる。

【遺物】

本遺跡出土の遺物は土師器、瓦器（碗）、瓦質土器、青磁、白磁などで木製品の杭が出土している。弥生土器が1点出土しているが、摩耗が激しく周辺からの流れ込みと考えられる。土師器や青磁は13世紀前後のもので、杭の年代測定結果と相応する。

以上のことから当時の水田を想定することはできるが、各種土壤の分析を委託した内で珪藻分析の結果から、水田2面の床土は海水生種が多く、湾奥の沿岸部汽水域（泥質干潟）のような環境であった。また、直上の層で水田内の土は淡水生種が増加しており、水域の淡水化が進行したと判明した。現在の菊池川流路または繁根木川流路では海水は流入しない。

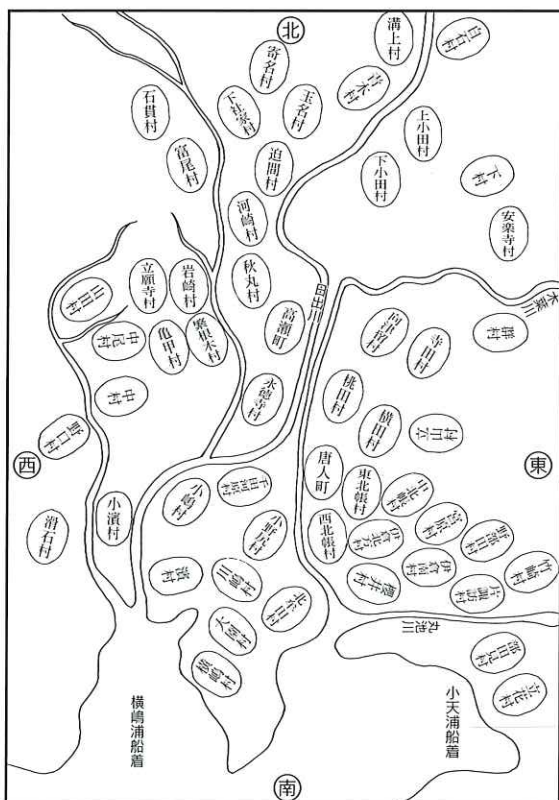
玉名市史絵図・地図篇に掲載されている肥後国絵図によると高瀬地区北側で菊池川流路が西側から流れ込む流路（第63図）と東側から流れ込む流路（第64図）が確認される。流路は肥後国（元禄国絵図）が描かれたと推定される元禄14年（1701）以降から玉名郡絵図が描かれた宝曆14年（1764）の間に西側流路から東側流路に変わっている。さらに流路変更時期を

絞り込むため、この期間内である宝暦年間の検地帳の検証を行った。その結果、旧河川の名残か高瀬・秋丸に塘は設けられていないが、西側流路に沿って右岸の河崎・両迫間・玉名と左岸の向津留・寺田・津留・下に塘が設けられており、宝暦8年（1758）には東側からの流路であった。よって流路の変更は元禄14年（1701）から宝暦8年（1758）であることが分かる。この流路変更が行われる以前は、調査地周辺まで菊池川が入り込んでいたことが想定される。

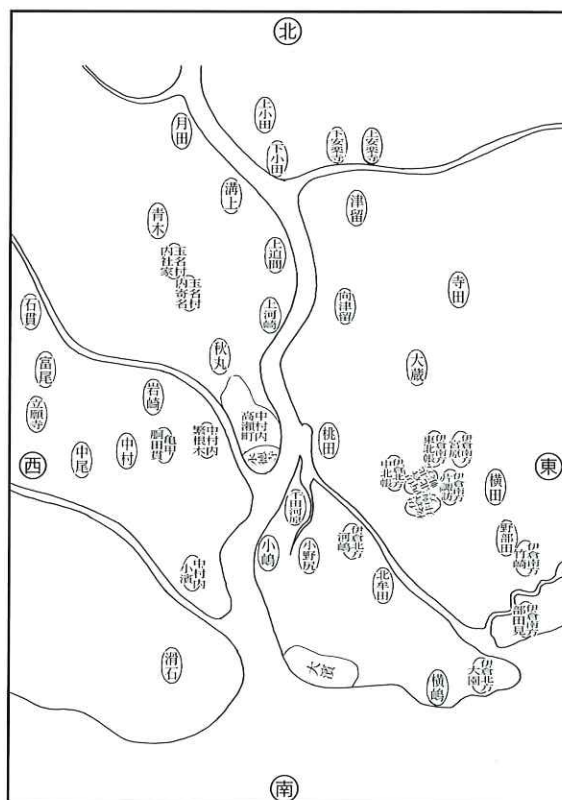
今後、周辺での発掘調査や土壤調査での資料により更なる検討が重ねられるよう期待したい。

【参考文献】

- 玉名市史編纂委員会編「玉名市史資料篇1 絵図・地図」玉名市、1992
 玉名市史編纂委員会編「玉名市歴史資料集成第十三集 玉名市検地帳集四
 一宝暦年中下ヶ名寄帳一」玉名市 1995

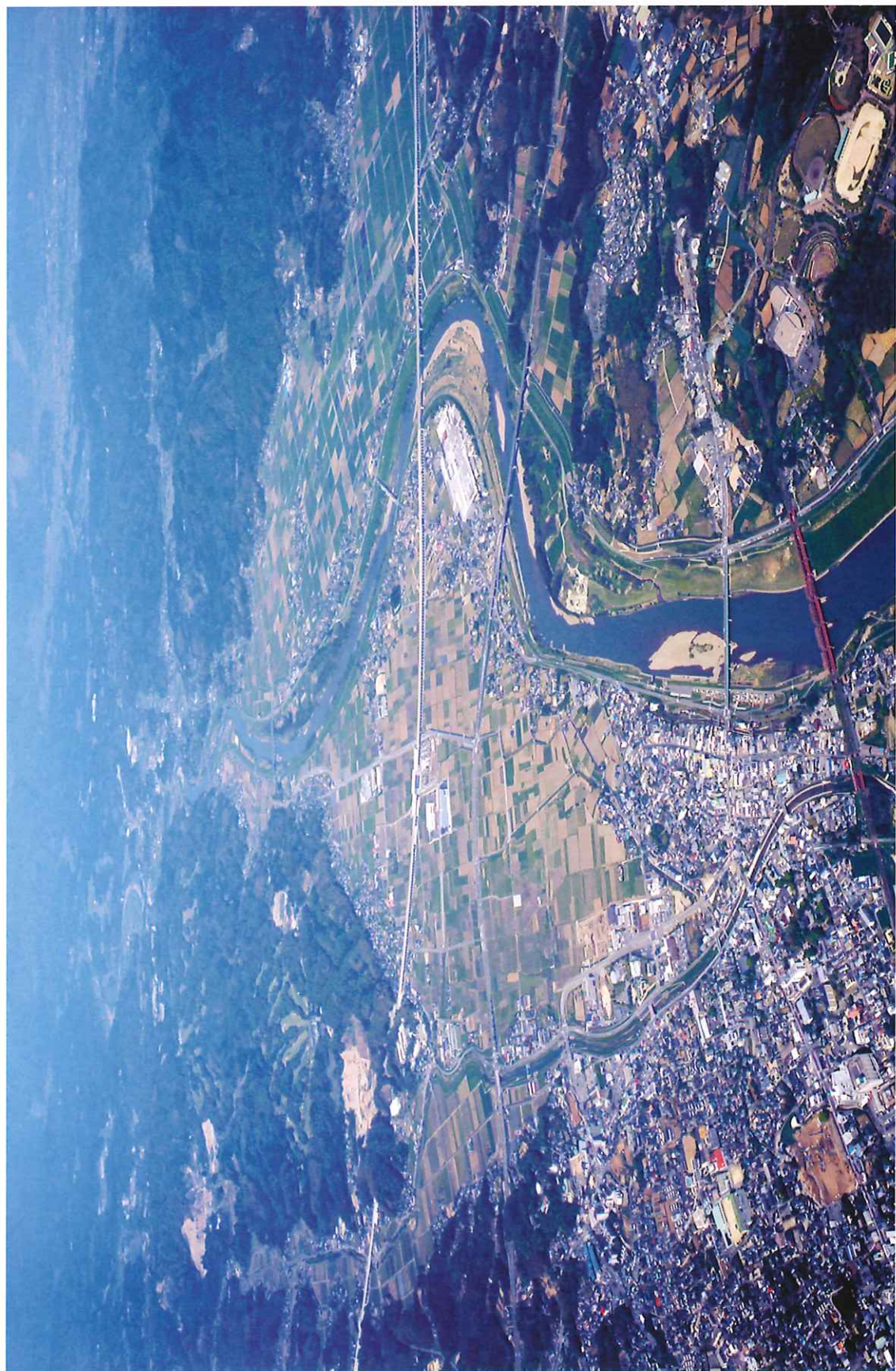


第63図 肥後国（元禄国絵図）トレース版



第64図 玉名郡絵図トレース版

図版 1



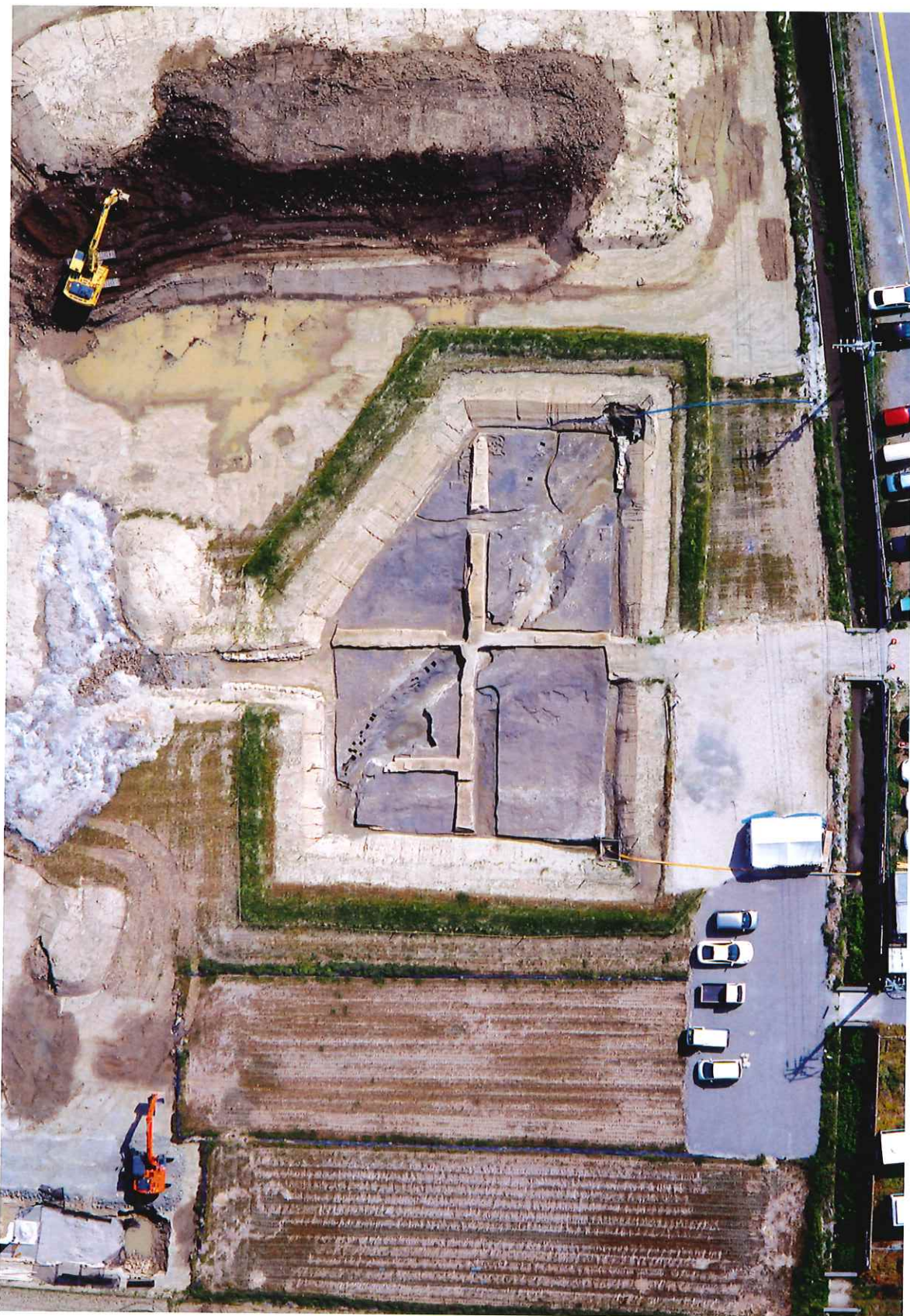
菊池川右岸の玉名平野

図版2



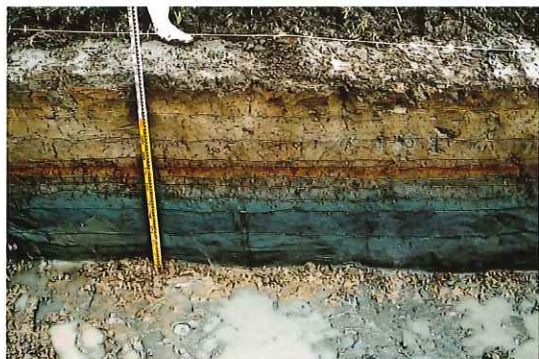
遺跡遠景（上空より）

図版3



遺跡全景（上空より）

図版4



1 確認調査第1トレンチ 北壁土層



2 確認調査第2トレンチ 全景



3 確認調査第2トレンチ 北壁土層



4 確認調査第3トレンチ 北壁土層



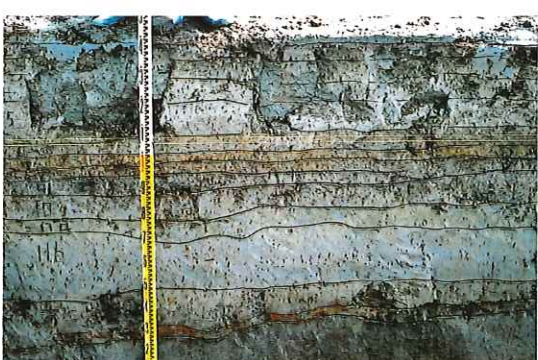
5 確認調査第4トレンチ 東壁土層



6 確認調査第5トレンチ 東壁土層



7 確認調査第6トレンチ 北壁土層



8 確認調査第7トレンチ 東壁土層

図版5



1 確認調査第7トレンチ 作業風景



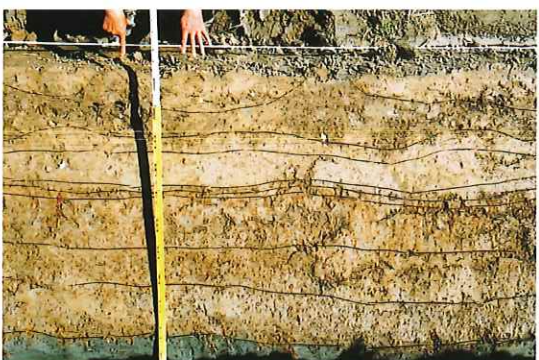
2 確認調査第8トレンチ 北壁土層



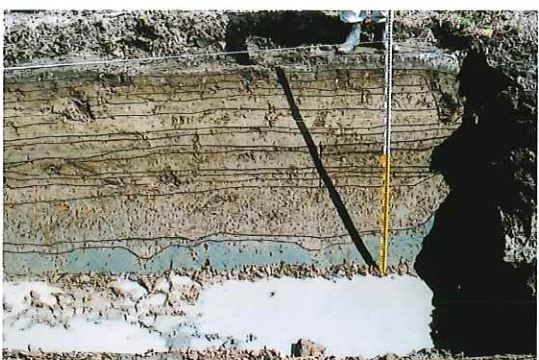
3 確認調査第8トレンチ東端 北壁土層



4 確認調査第9トレンチ 東壁土層



5 確認調査第10トレンチ 東壁土層



6 確認調査第11トレンチ 東壁土層



7 確認調査第12トレンチ 北壁土層



8 確認調査第13トレンチ 杭検出状況

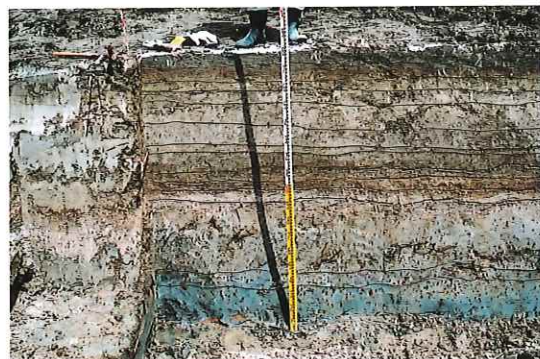
図版6



1 確認調査第14トレンチ 北壁土層



2 確認調査第15トレンチ 北壁土層



3 確認調査第16トレンチ 北壁土層



4 確認調査第16トレンチ 作業風景



5 確認調査第17トレンチ 東壁土層



6 確認調査第18トレンチ 全景



7 確認調査第18トレンチ 北壁土層

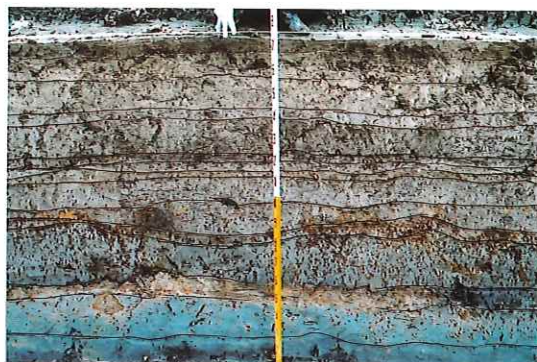


8 確認調査第19トレンチ 東壁土層

図版7



1 確認調査第20トレンチ 東壁土層



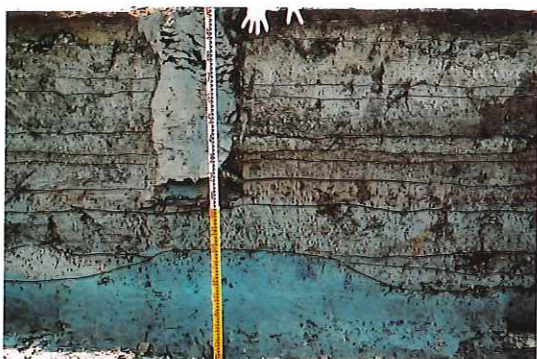
2 確認調査第21トレンチ 北壁土層



3 確認調査第21トレンチ 作業風景



4 確認調査第22トレンチ 東壁土層



5 確認調査第23トレンチ 東壁土層



6 確認調査第24トレンチ 東壁土層



7 確認調査第25トレンチ 東壁土層



8 確認調査第26トレンチ 東壁土層

図版8



1 水田1 (A区 北から)



2 水田1 (A・B区 西から)



3 水田1 (B区 北から)

図版9



1 水田1 (C・D区 北から)



2 水田1 (C・D区 東から)



3 水田1 (C・D区南端 東から)

図版10



1 水田2南北ベルト① (A区 西から)



2 水田2南北ベルト② (D区 西から)



3 水田2南北ベルト③ (D区 西から)

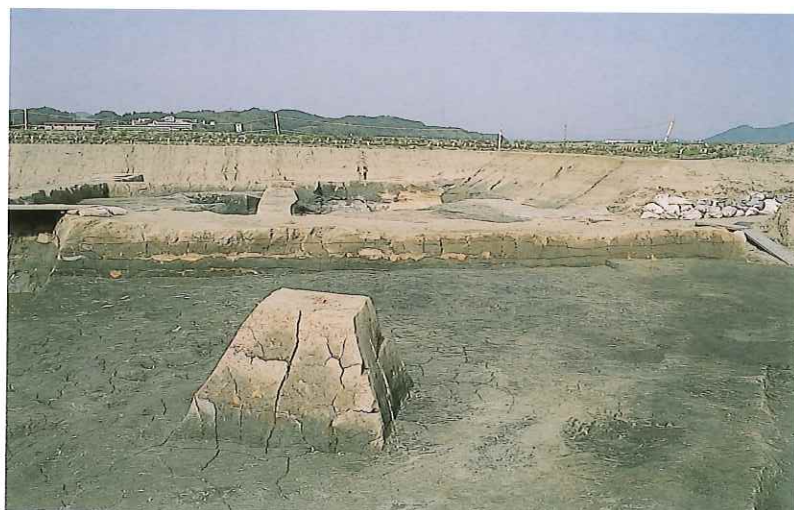
図版11



1 水田2東西ベルト (B区内 北から)

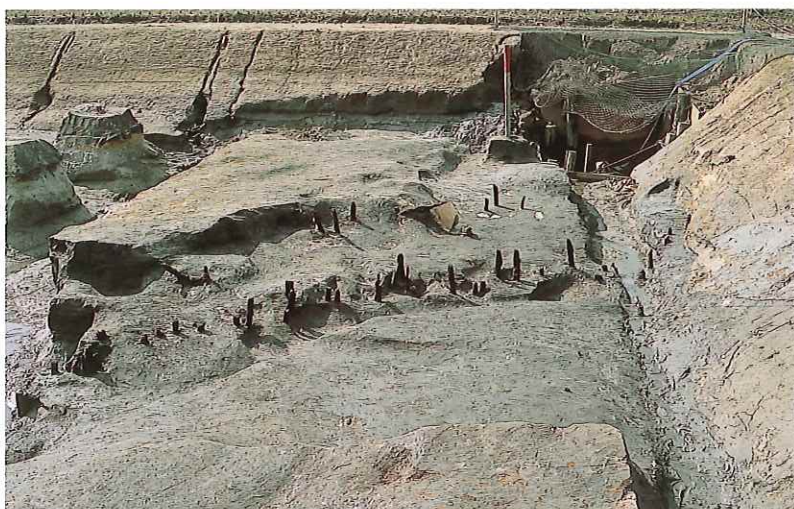


2 水田2東西ベルト① (D区 南から)



3 水田2東西ベルト② (C区 南から)

図版12



1 水田2杭列1・3 (D区 北から)



2 水田2杭列1・2・3 (D区 北東から)



3 水田2杭列1・2・3 (D区 南西から)

図版13



1 水田2杭列1・3 (D区 北西から)



2 水田2杭列2 (D区 北西から)



3 水田2杭列4 (D区 北から)

図版14



1 水田2杭列5の一部 (北から)



2 水田2杭列5の一部 (北から)



3 水田2杭列6の一部 (北から)

図版15



1 水田2杭列7の一部 (北から)

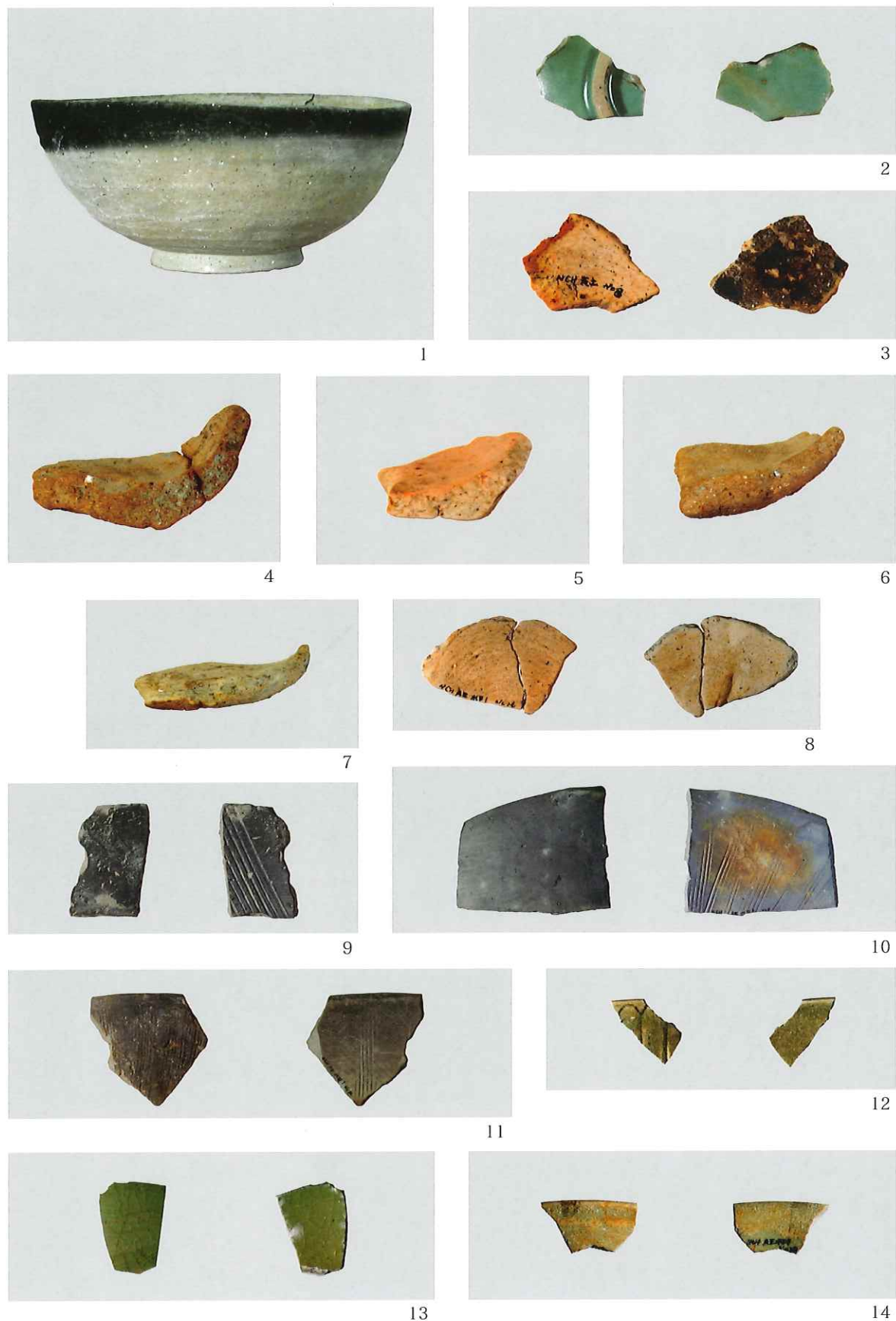


2 水田2南北ベルトの畔状隆起 (西から)



3 水田2溝状遺構 (南西から)

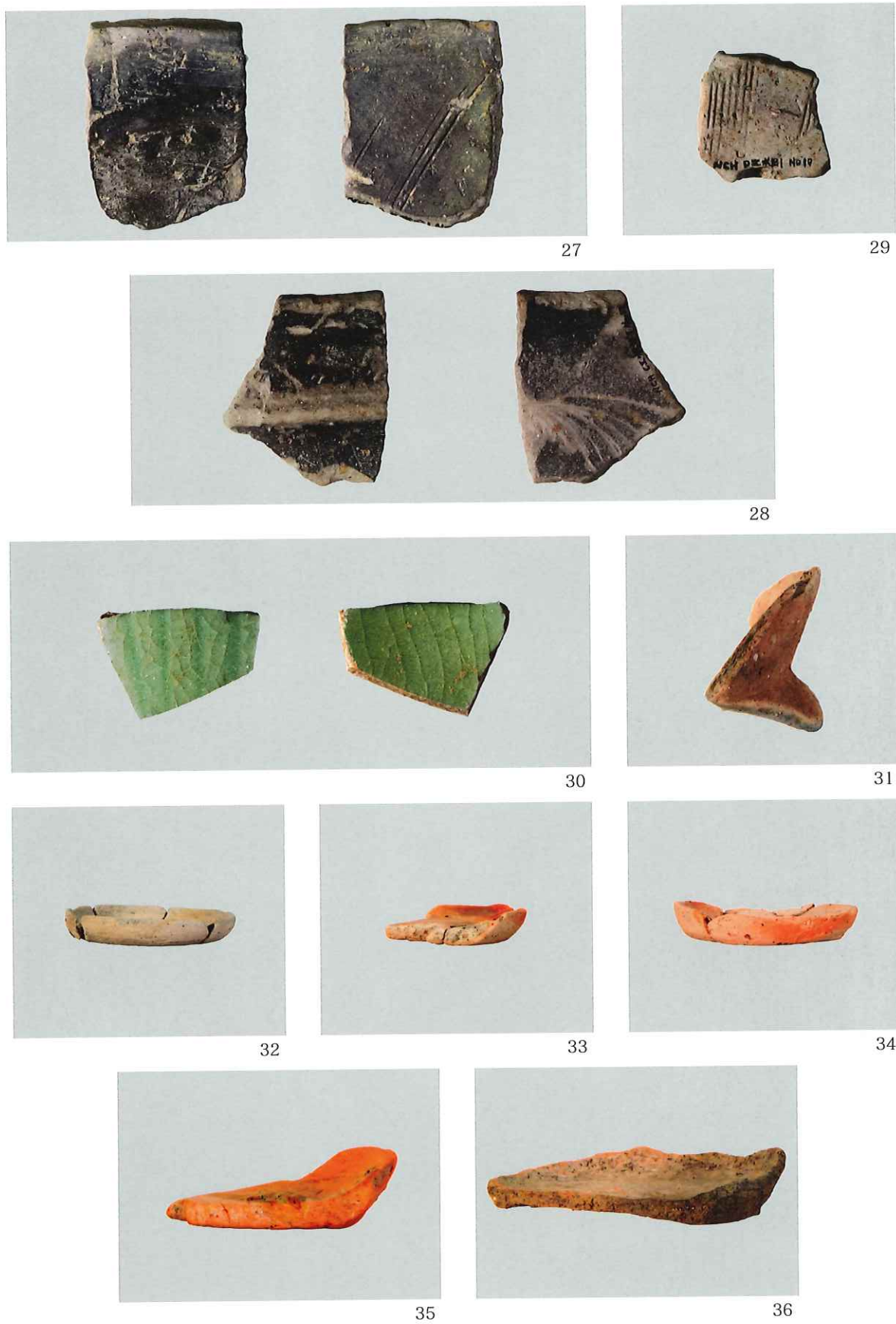
図版16



図版17



図版18



図版19



37



38



39



40



41



42



43



44



45



46



47



48



49



50



51

報告書名録

ふりがな	カワハライセキ・コンマチイセキ							
書名	川原遺跡・紺町遺跡							
副書名	玉名市新庁舎建設事業に伴う発掘調査報告書							
巻次								
シリーズ名	玉名市文化財調査報告 第29集							
編著者名	兵谷有利							
編集機関	玉名市教育委員会							
所在地	〒869-0292 熊本県玉名市岱明町野口2129 TEL0968(57)4429							
発行年月日	平成26年 2月 28日							
所収遺跡名	所在地	コード		北緯	東経	調査期間	調査面積	調査要因
		市町村	遺跡番号					
カワハライセキ 川原遺跡	熊本県	玉名市 (206)	307	32°55' 55.75	130°33' 53.88	2012. 12.3 ~ 2013. 3.29	525m ²	新庁舎建設に伴な う事前調査
コンマチイセキ 紺町遺跡			315	32°55' 54.62	130°33' 53.02			
所収遺跡名	種別	主な時代	主な遺構	主な遺物		特記事項		
川原遺跡	生産 遺跡	中世	畦畔 溝状遺構 杭列 流路	土師器 瓦質土器 青磁 白磁		玉名平野における 中世期の土地利用 状況を確認		
紺町遺跡								

玉名市文化財調査報告 第29集

川原遺跡・紺町遺跡

－玉名市新庁舎建設事業に伴う発掘調査報告書－

平成26年2月28日発行

編集・発行 玉名市教育委員会

〒865-0292 熊本県玉名市岱明町野口2129

TEL0968-57-4429・FAX0968-57-4442

印刷・製本 株式会社 有明印刷

〒865-0022 熊本県玉名市寺田123-1

TEL0968-73-2055・FAX0968-72-3504